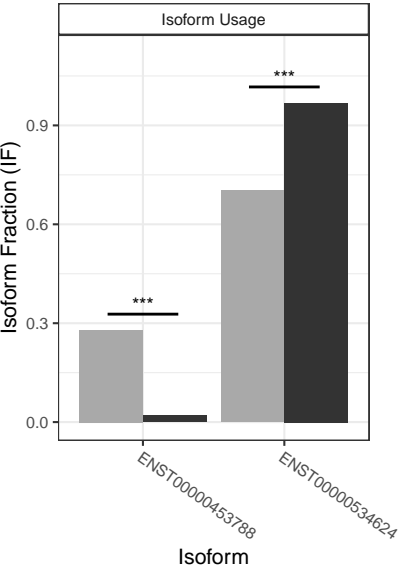
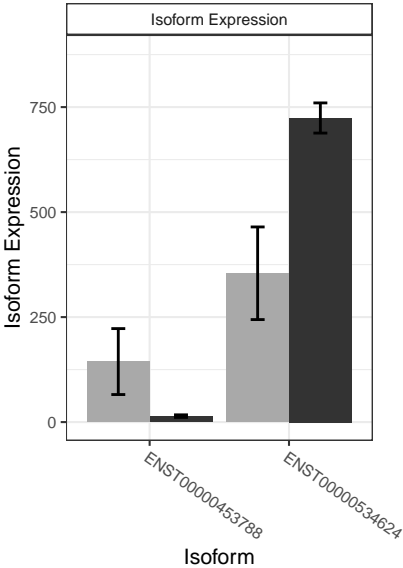
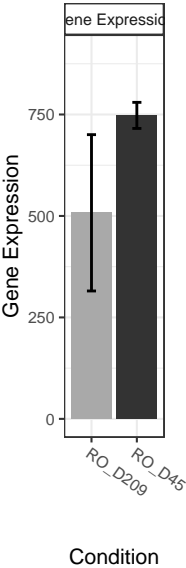
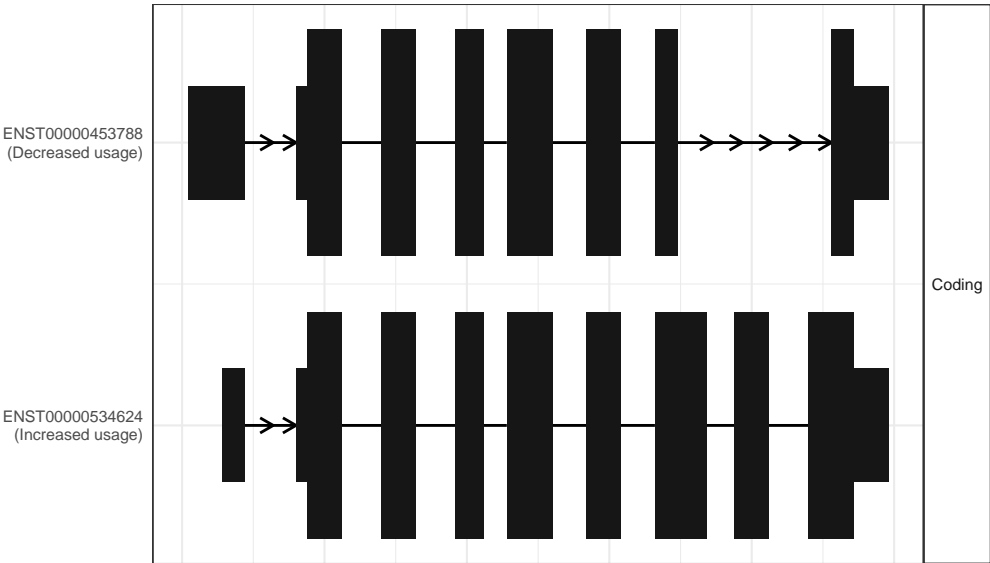
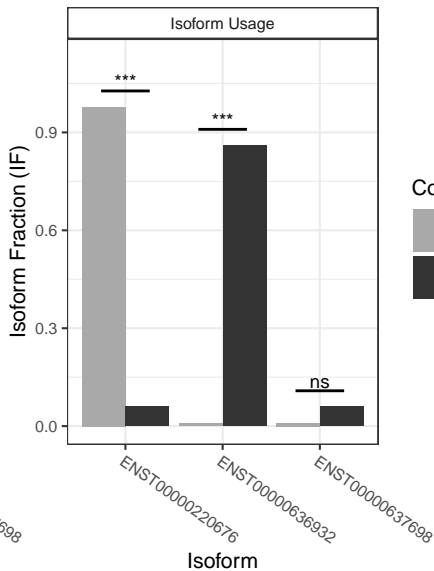
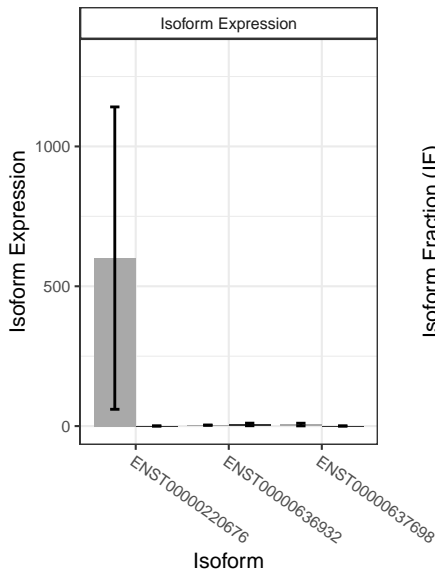
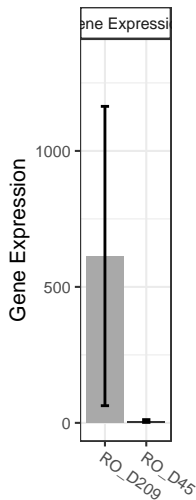
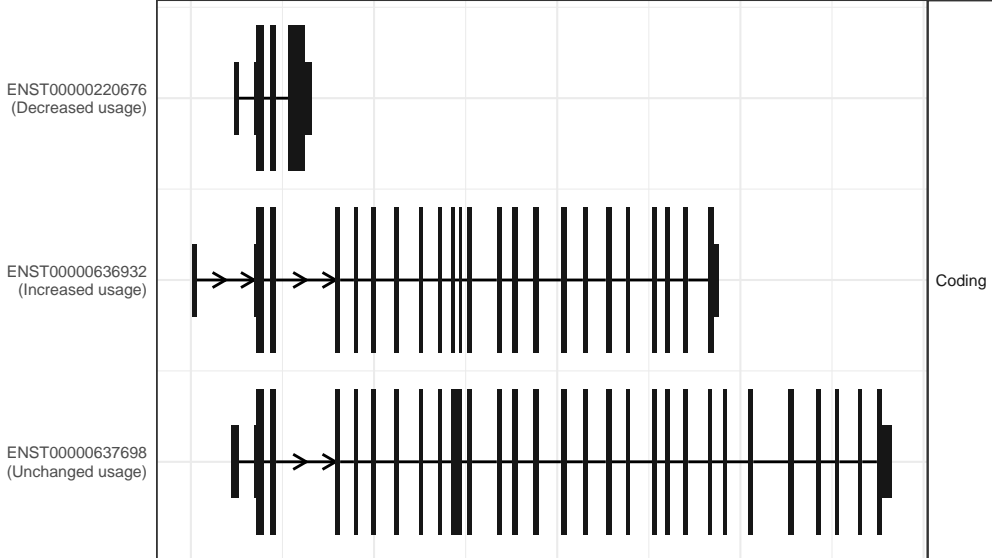


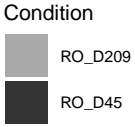
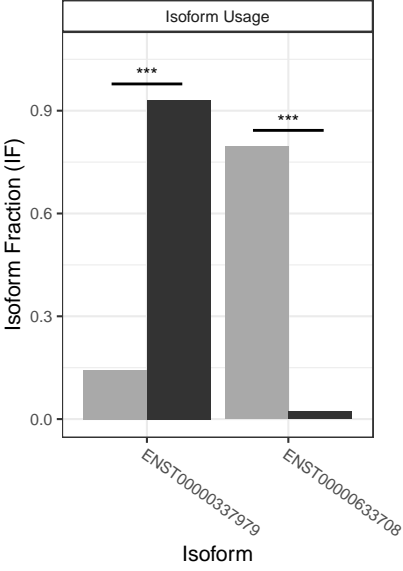
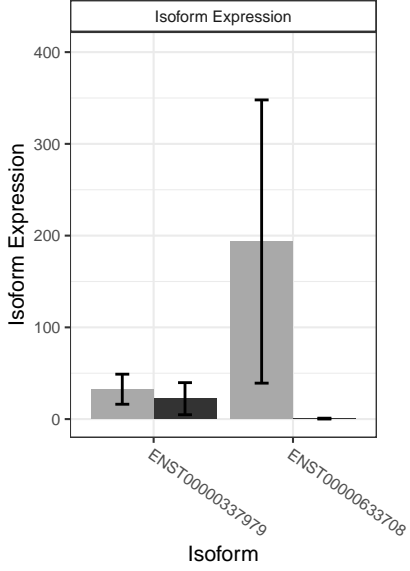
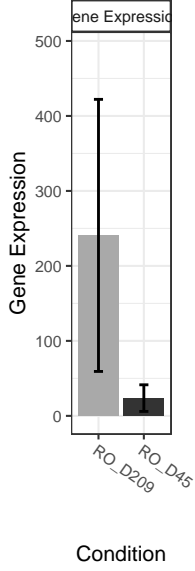
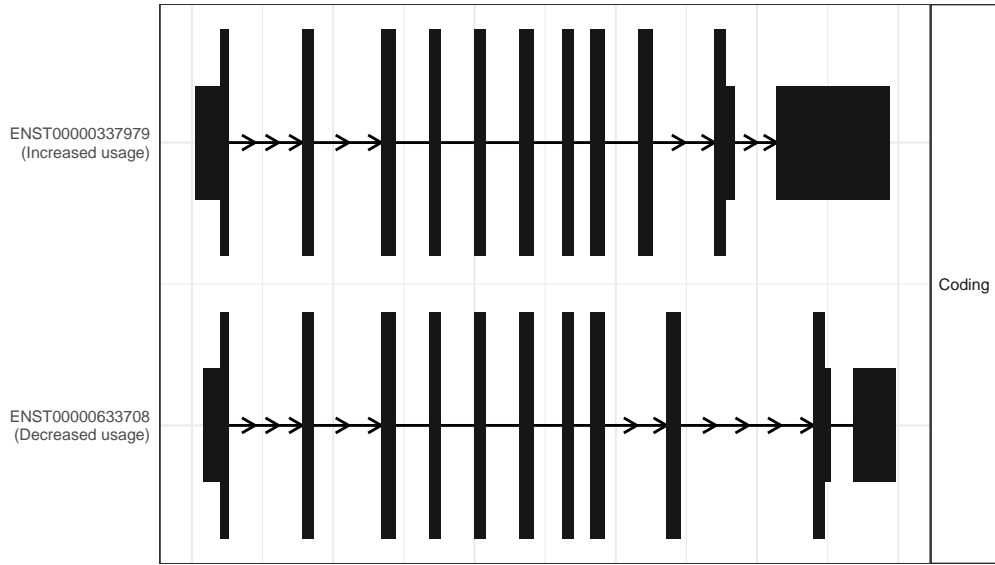
The isoform switch in HSPA8 (RO_D209 vs RO_D45)



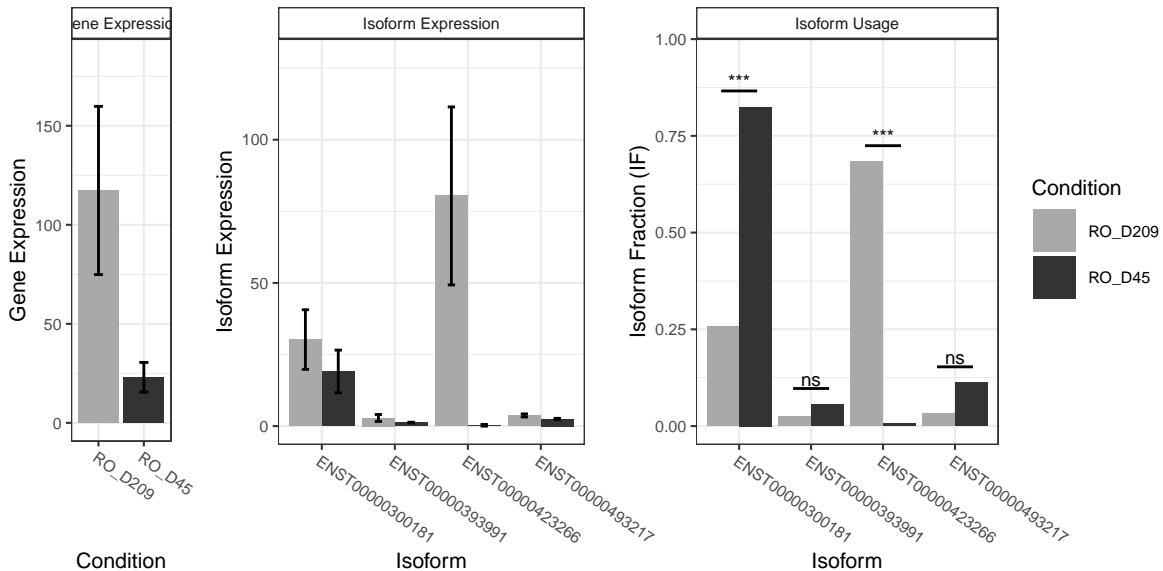
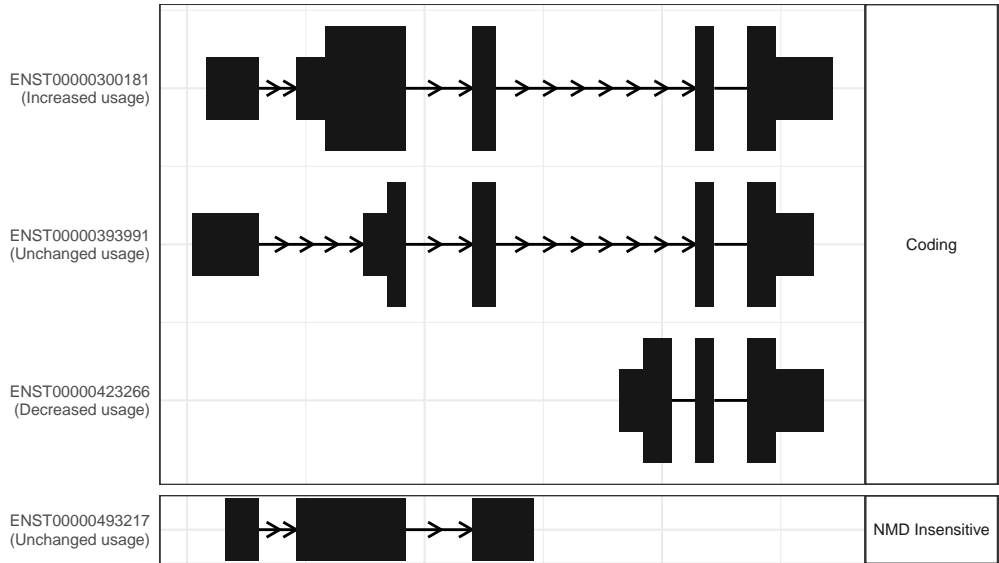
The isoform switch in RP1 (RO_D209 vs RO_D45)



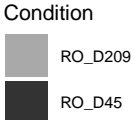
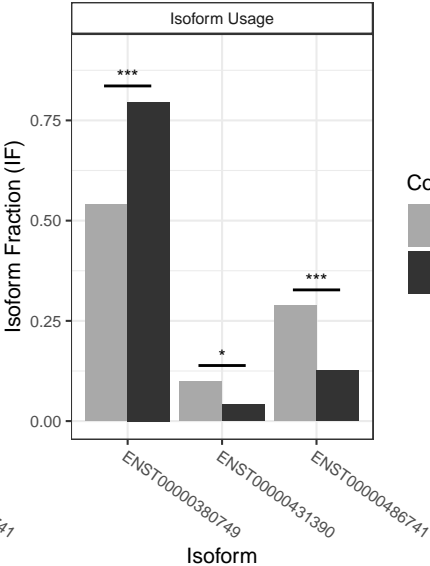
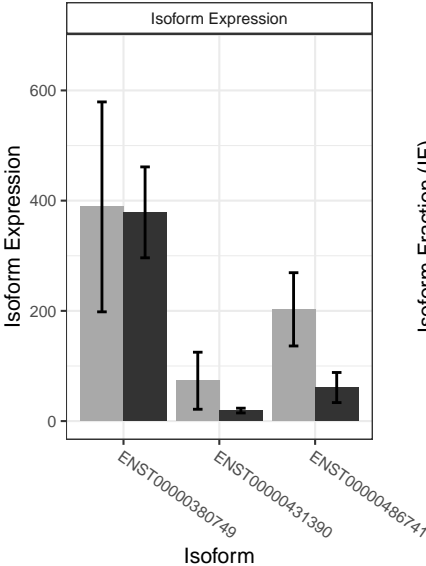
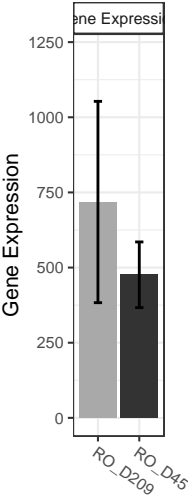
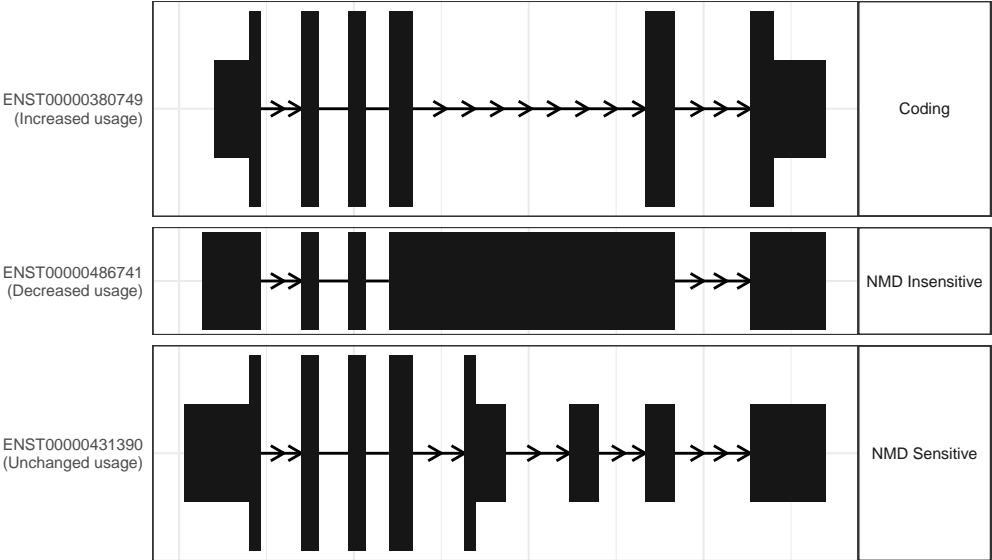
The isoform switch in STX3 (RO_D209 vs RO_D45)



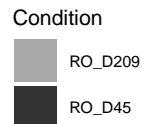
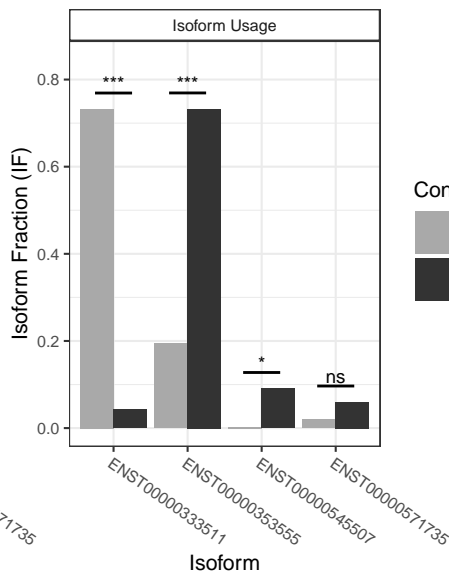
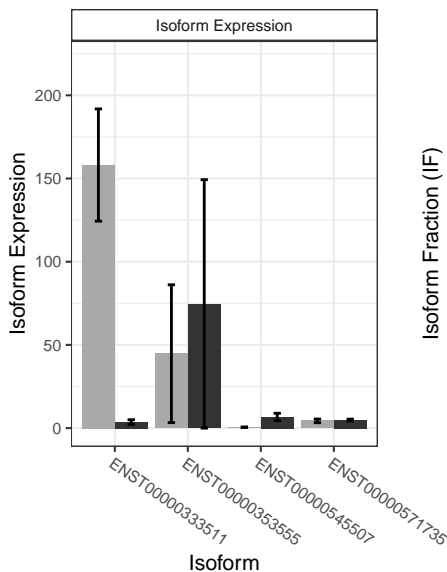
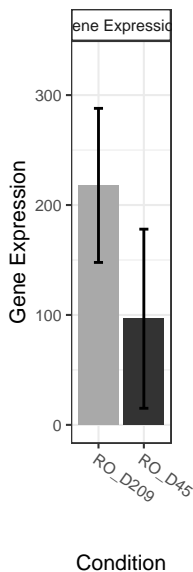
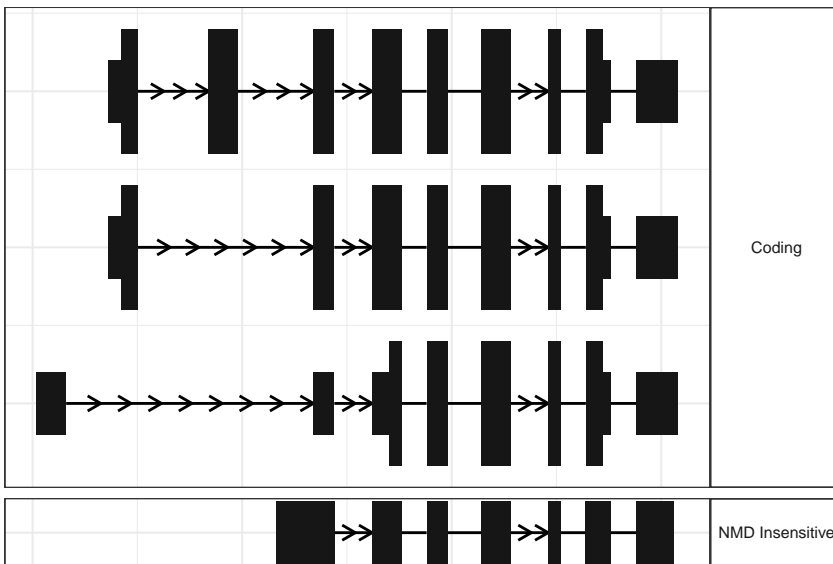
The isoform switch in TSC22D4 (RO_D209 vs RO_D45)



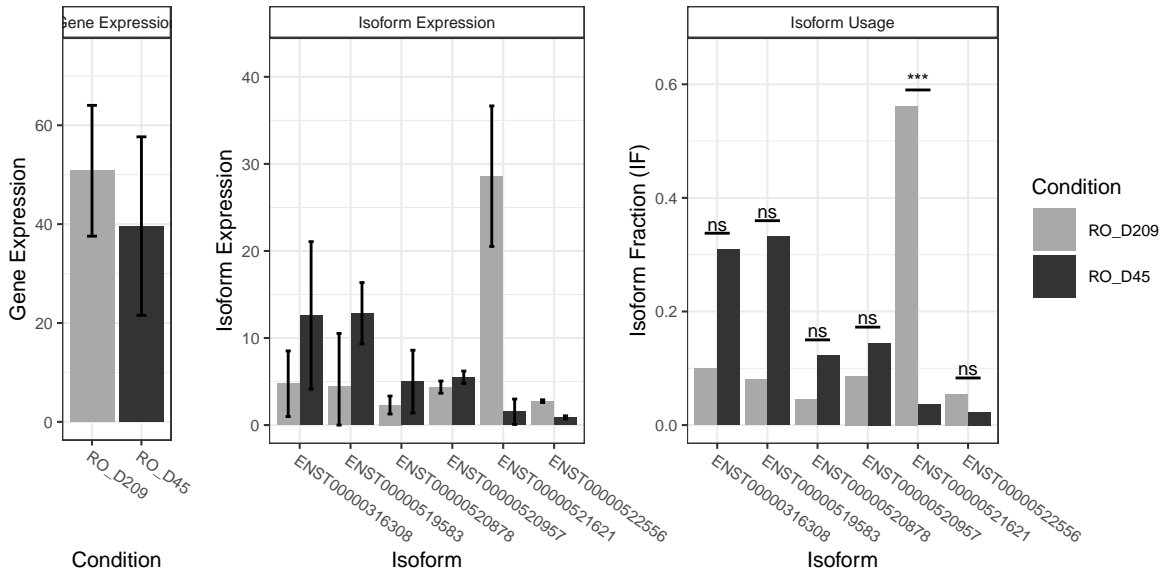
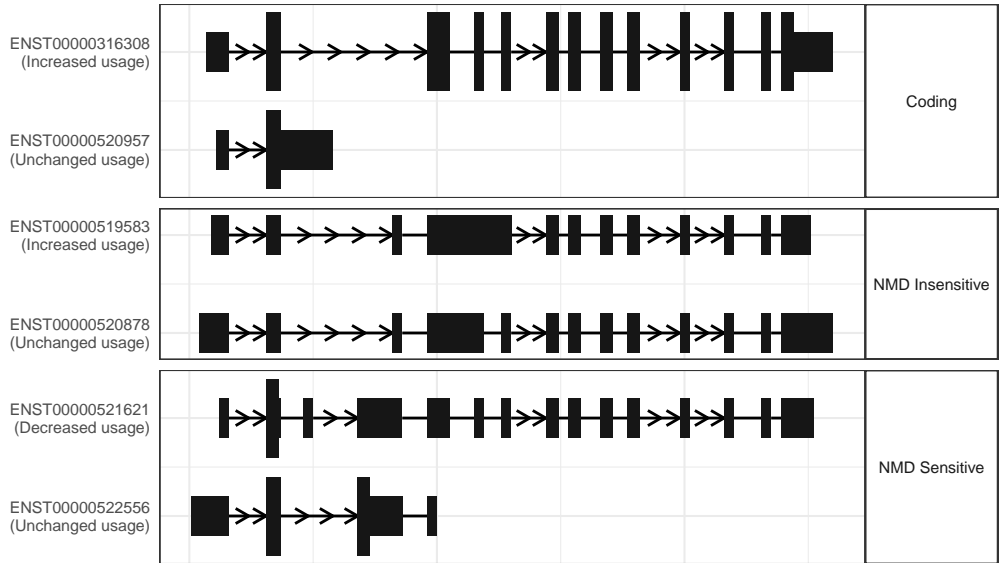
The isoform switch in HMGN1 (RO_D209 vs RO_D45)



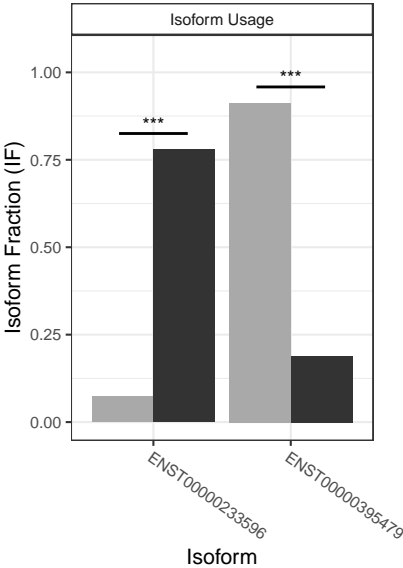
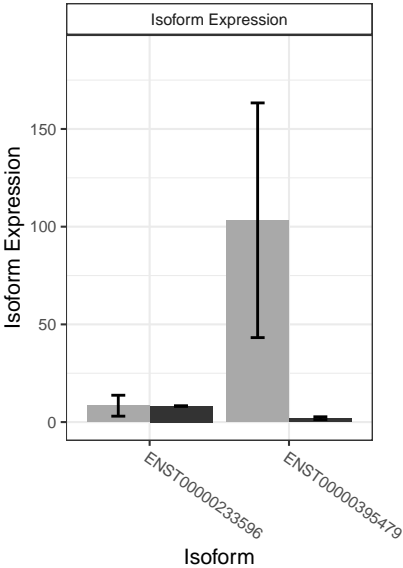
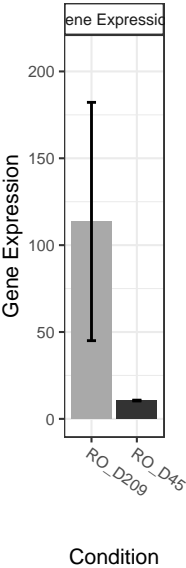
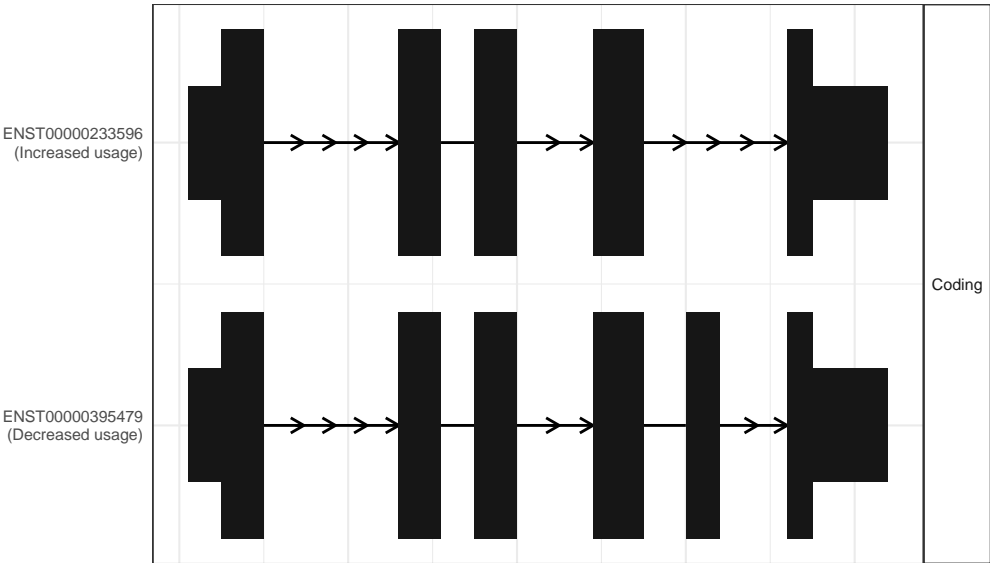
The isoform switch in BSG (RO_D209 vs RO_D45)



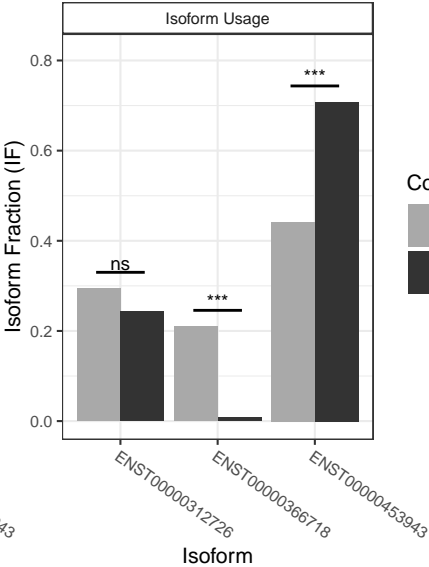
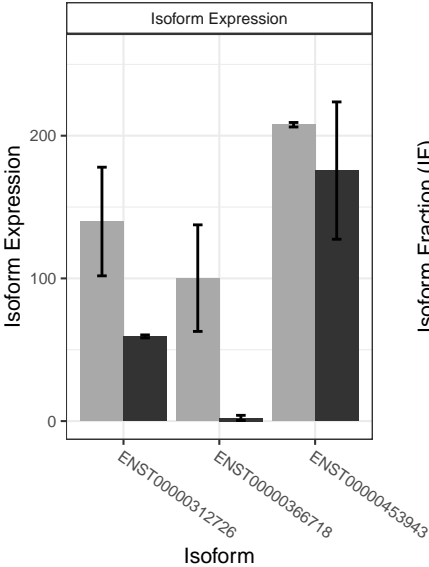
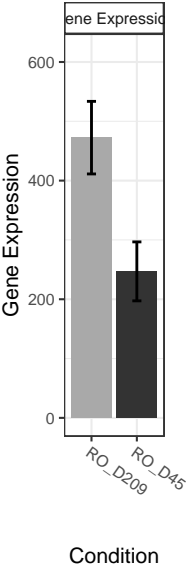
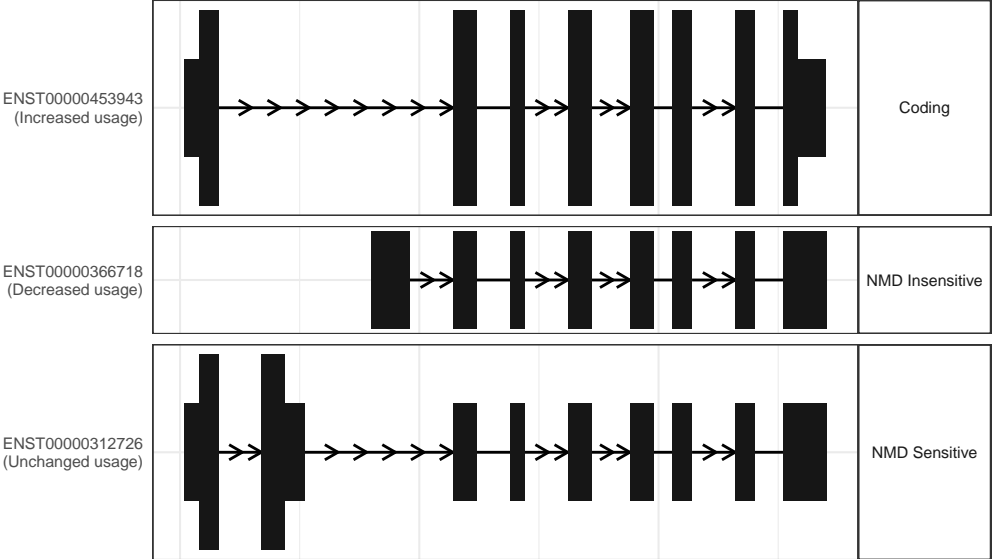
The isoform switch in CLK4 (RO_D209 vs RO_D45)



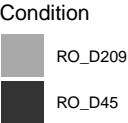
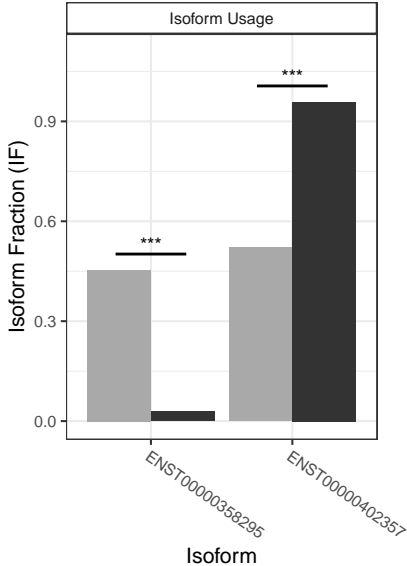
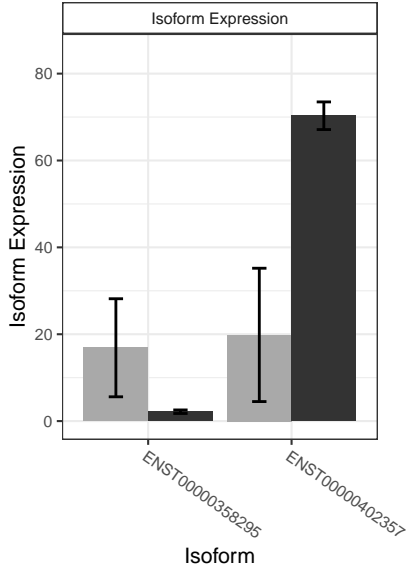
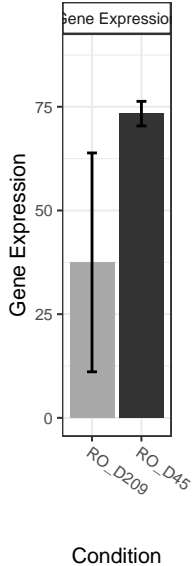
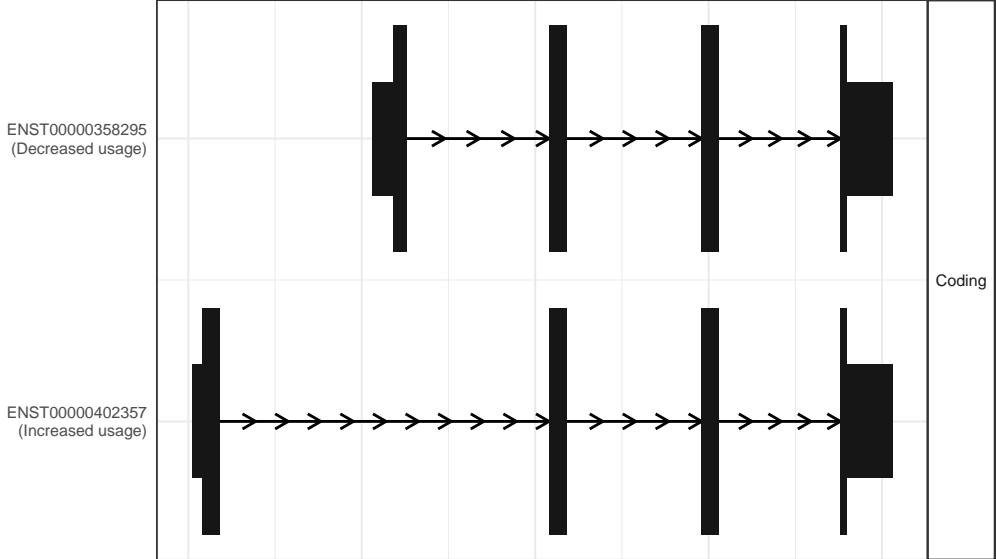
The isoform switch in REEP6 (RO_D209 vs RO_D45)



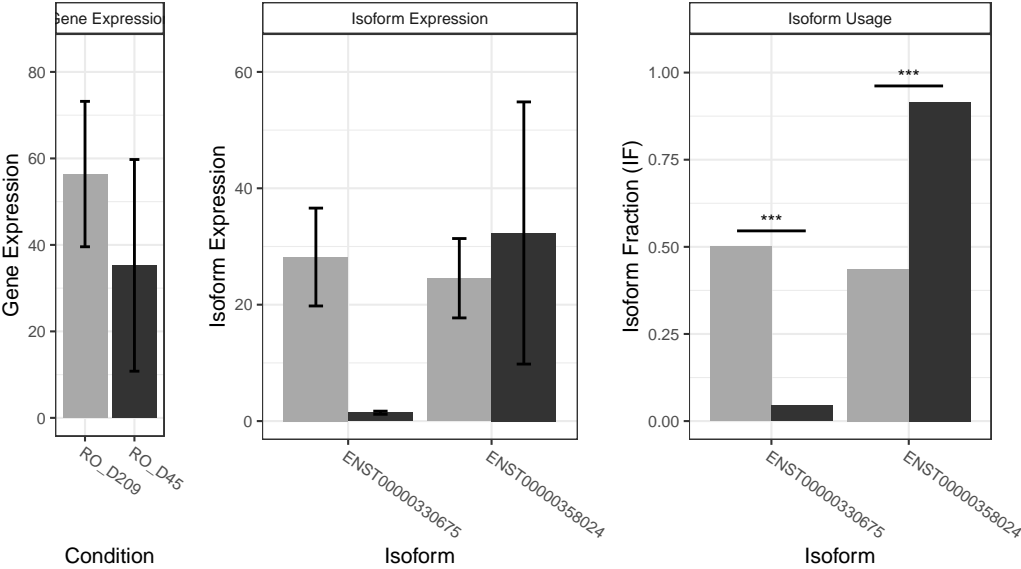
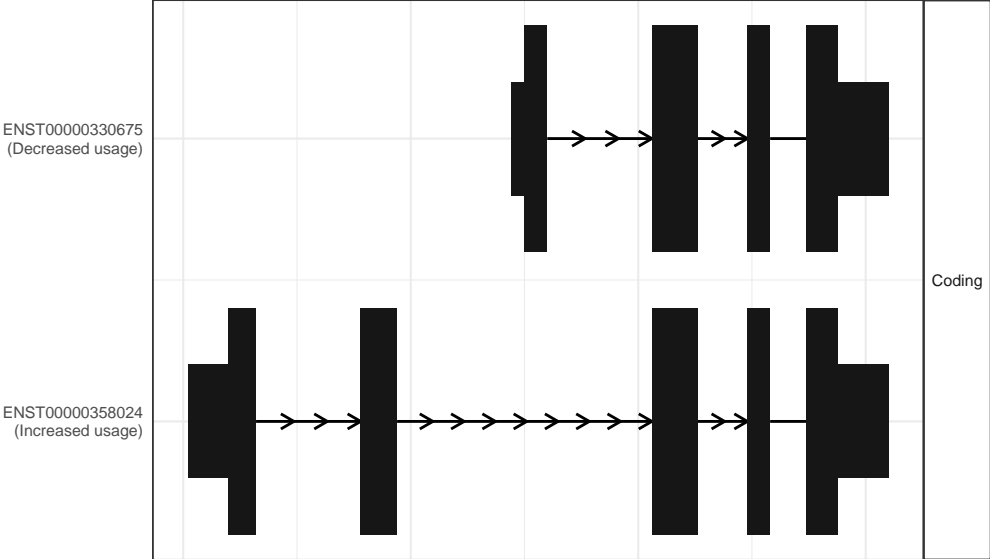
The isoform switch in GUK1 (RO_D209 vs RO_D45)



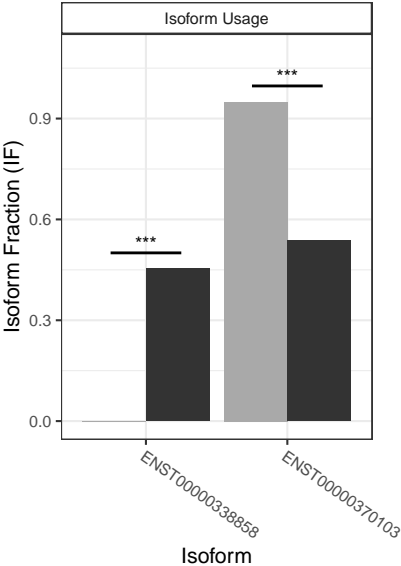
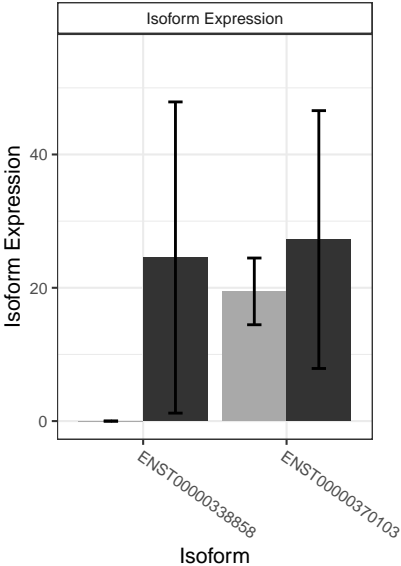
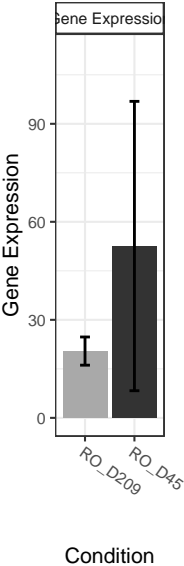
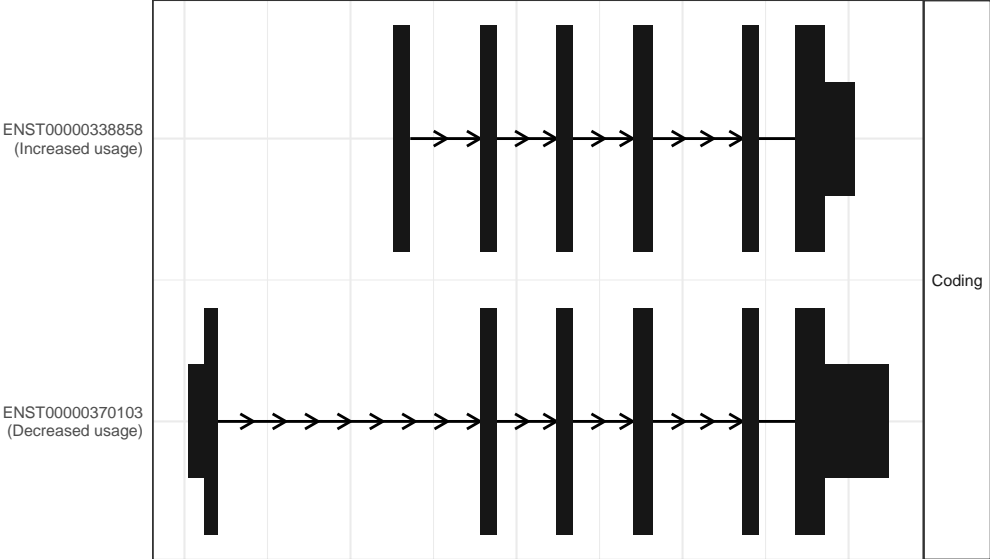
The isoform switch in TAFA5 (RO_D209 vs RO_D45)



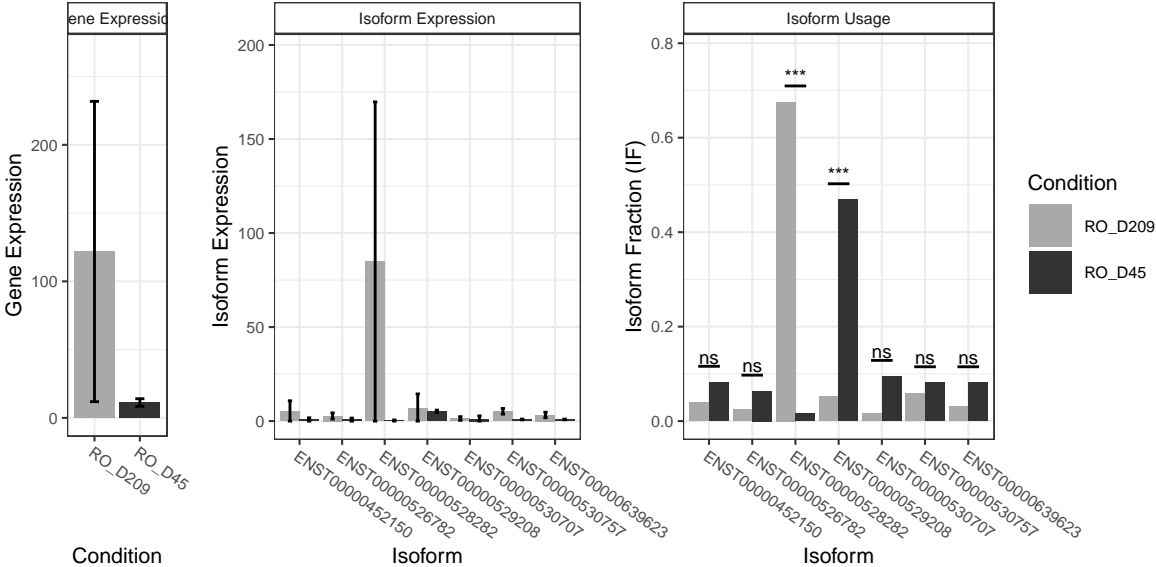
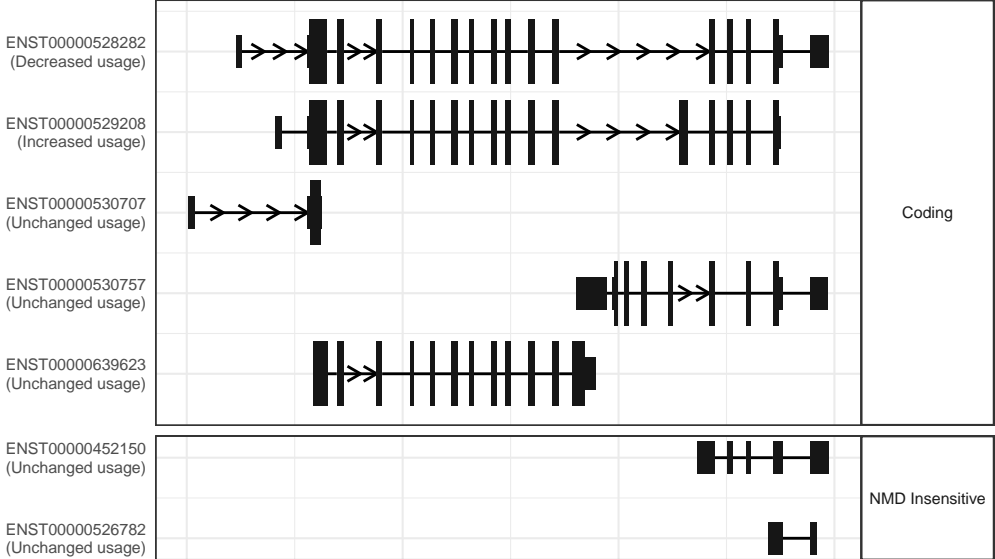
The isoform switch in TMCC2 (RO_D209 vs RO_D45)



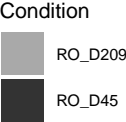
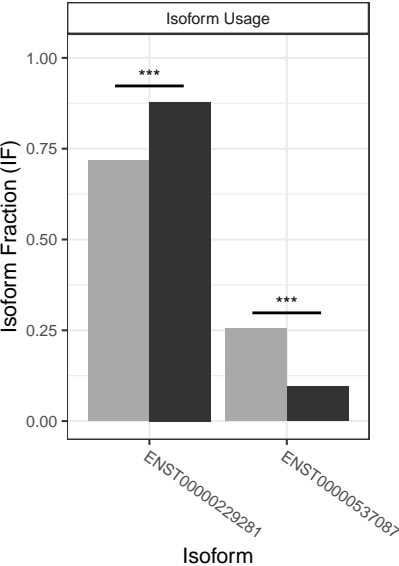
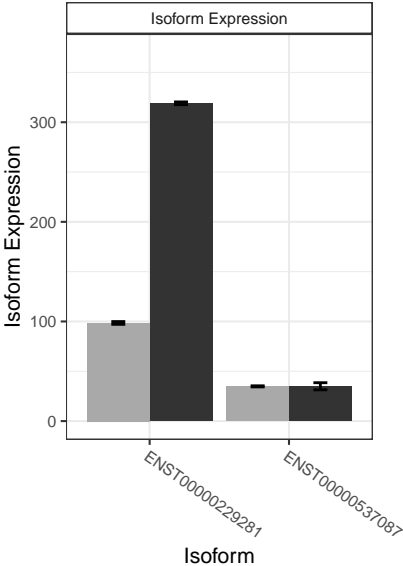
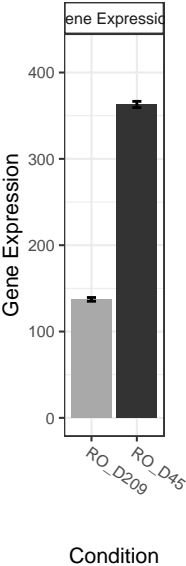
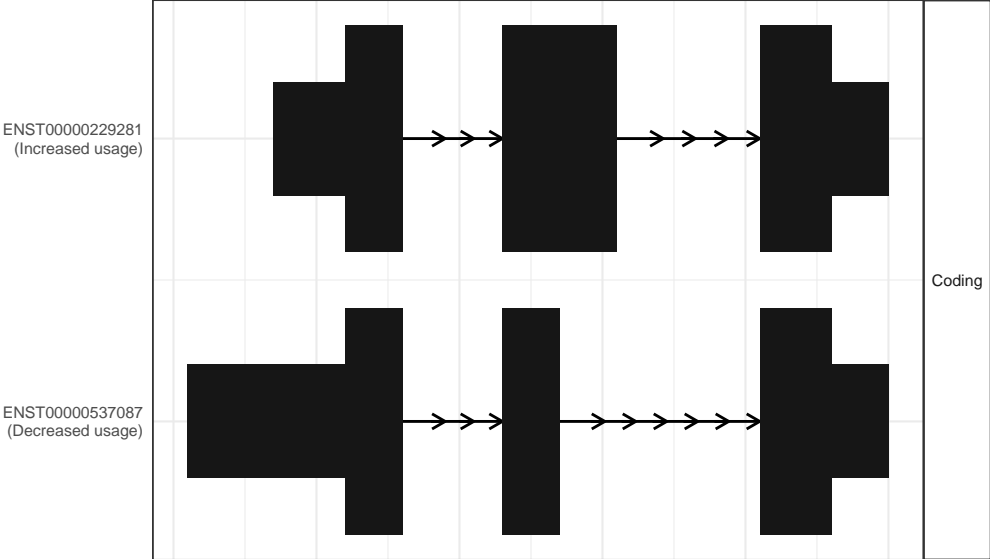
The isoform switch in OLFM3 (RO_D209 vs RO_D45)



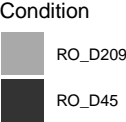
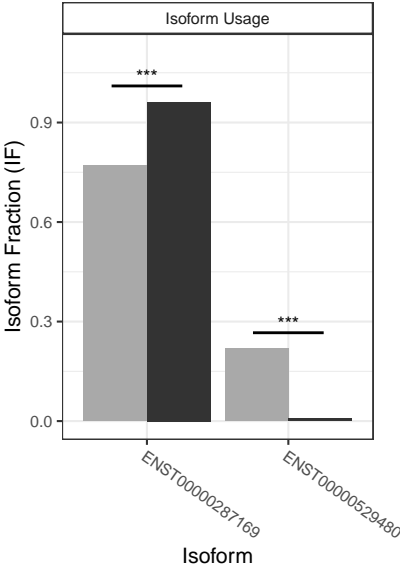
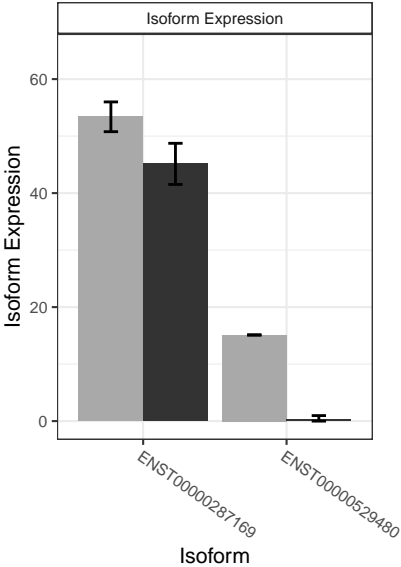
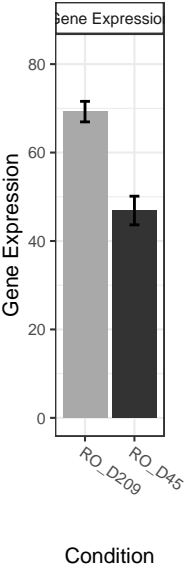
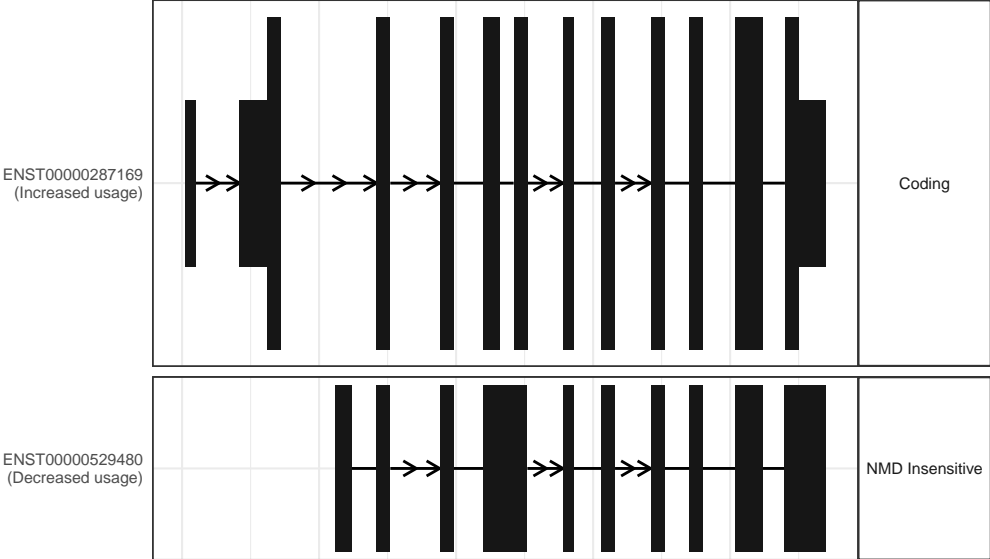
The isoform switch in EPB41L2 (RO_D209 vs RO_D45)



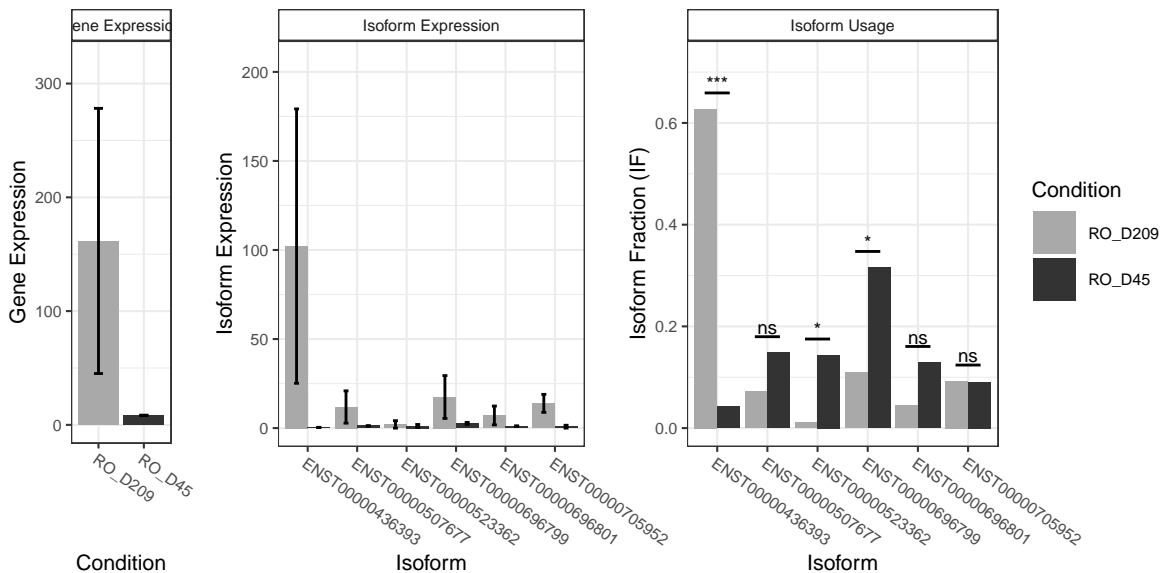
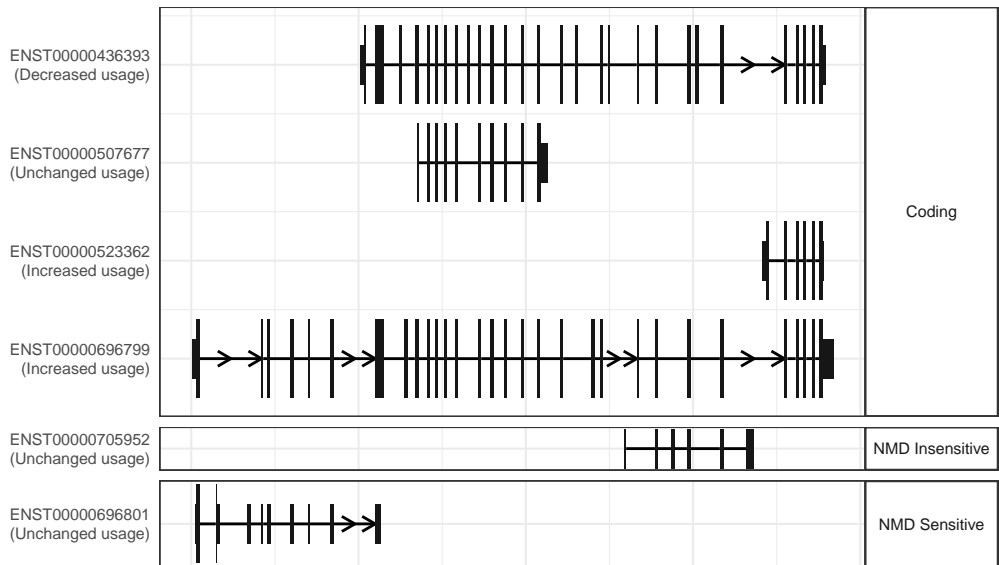
The isoform switch in C12orf57 (RO_D209 vs RO_D45)



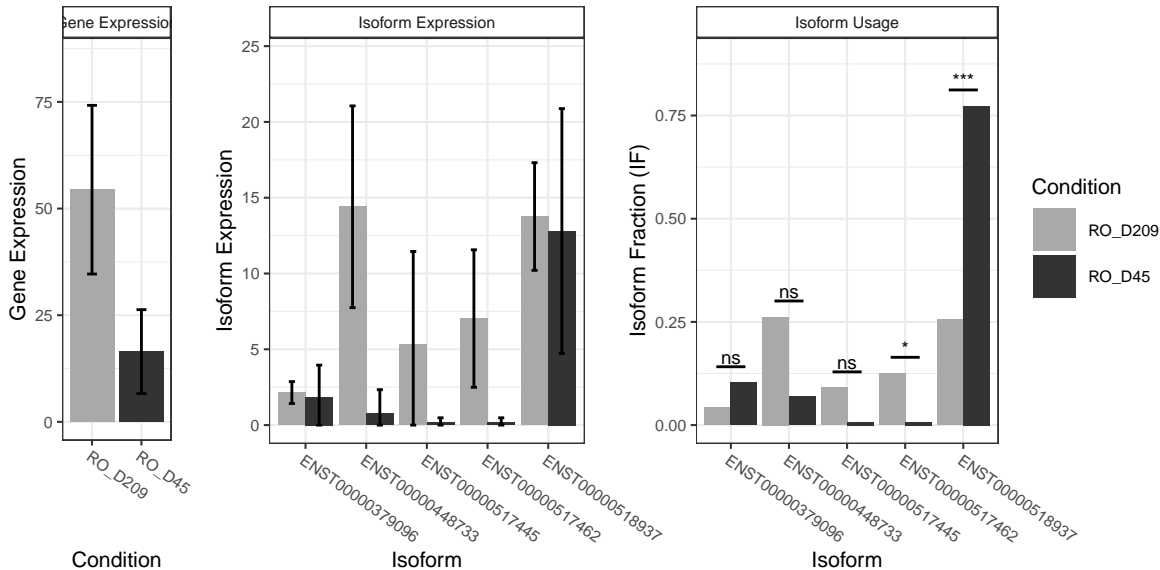
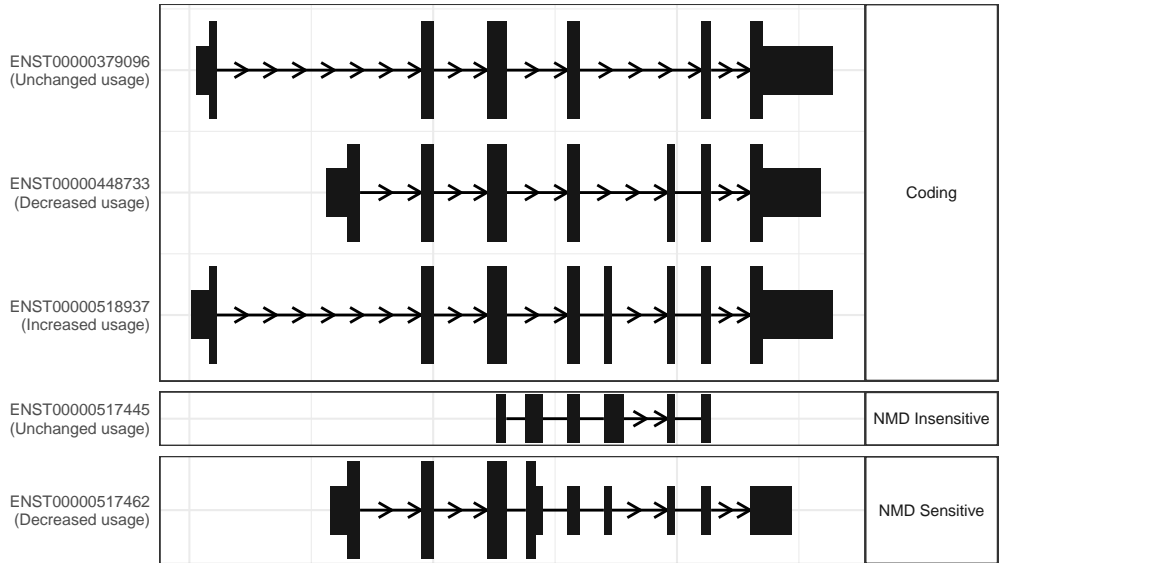
The isoform switch in ZDHHC5 (RO_D209 vs RO_D45)



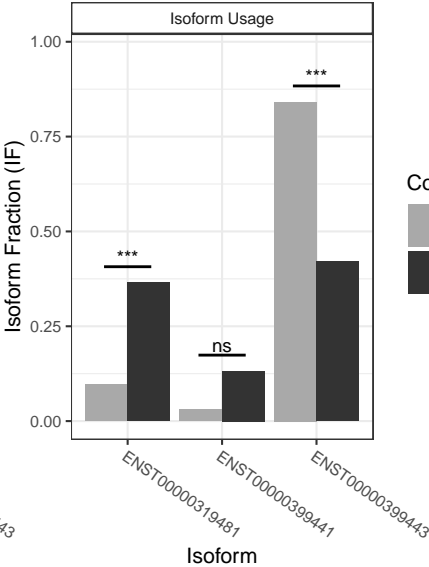
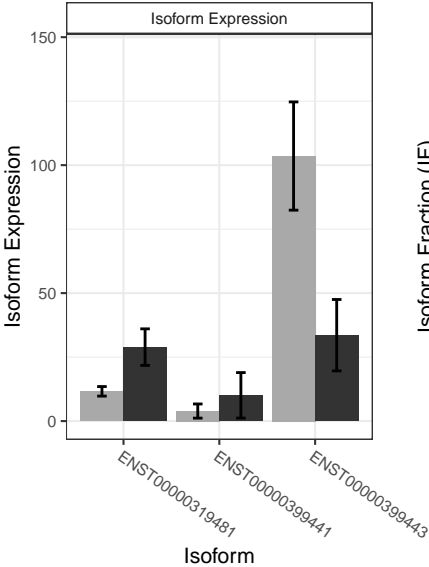
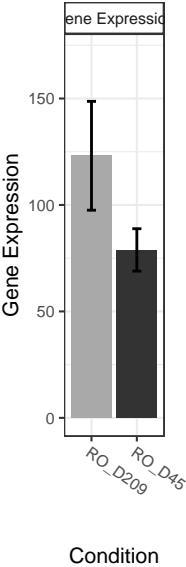
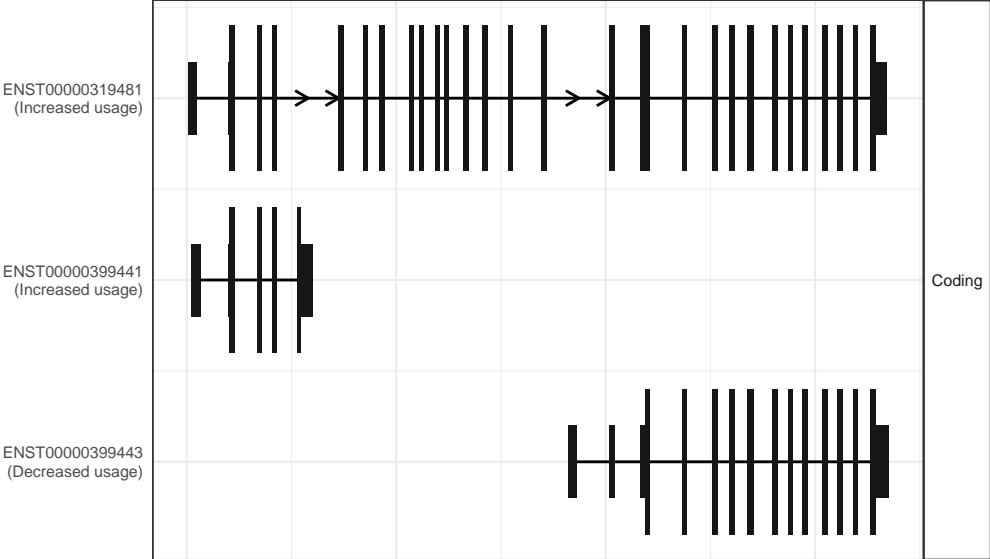
The isoform switch in RIMS2 (RO_D209 vs RO_D45)



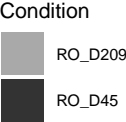
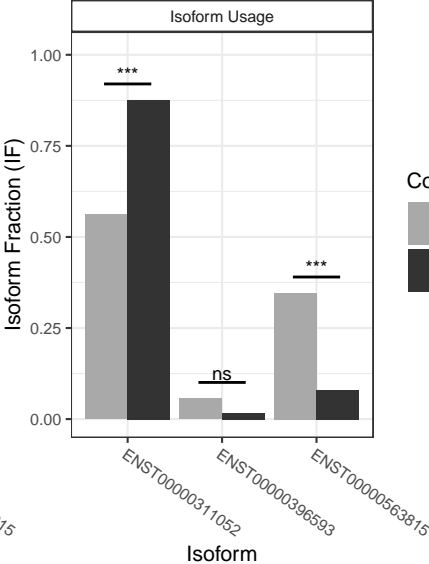
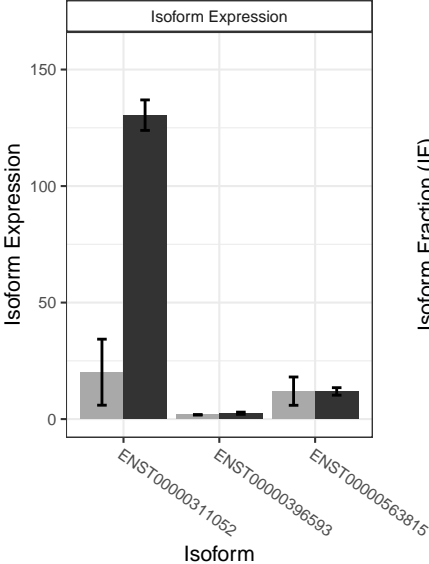
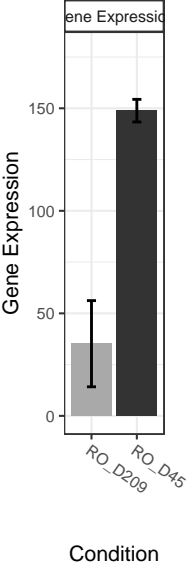
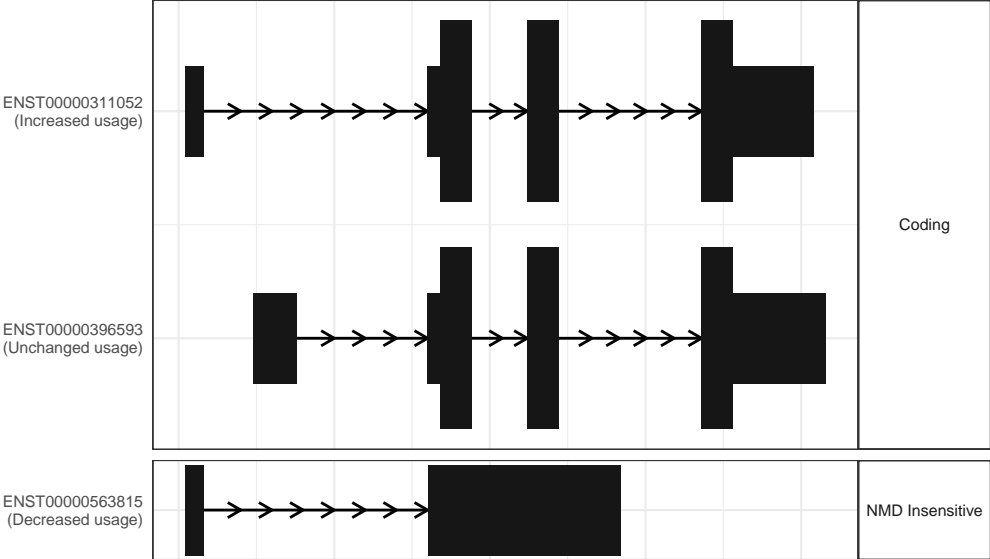
The isoform switch in TPD52 (RO_D209 vs RO_D45)



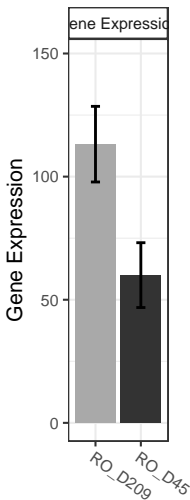
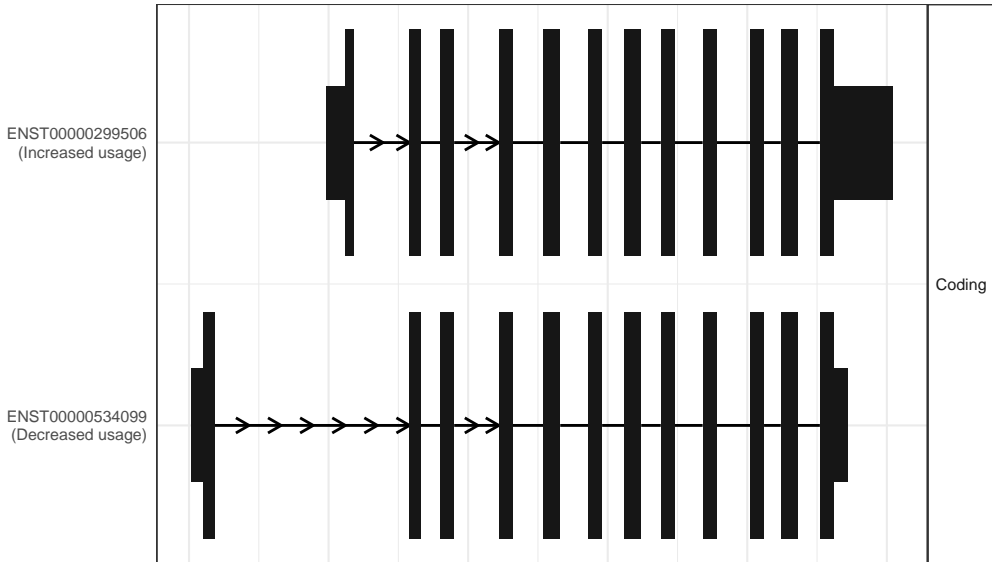
The isoform switch in OSBPL1A (RO_D209 vs RO_D45)



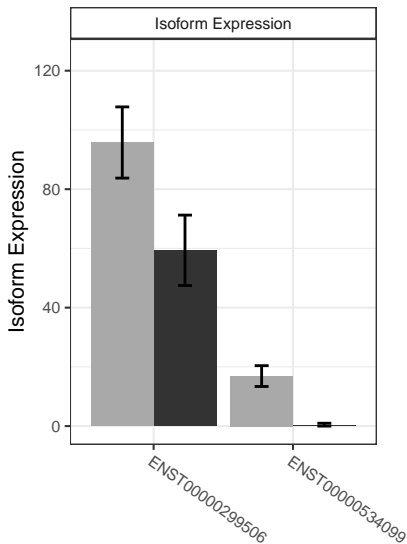
The isoform switch in CARHSP1 (RO_D209 vs RO_D45)



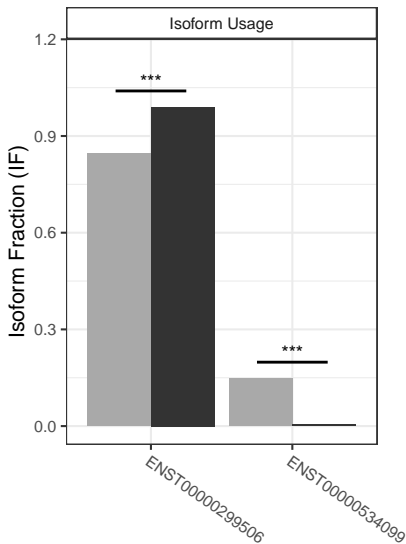
The isoform switch in TUB (RO_D209 vs RO_D45)



Condition



Isoform

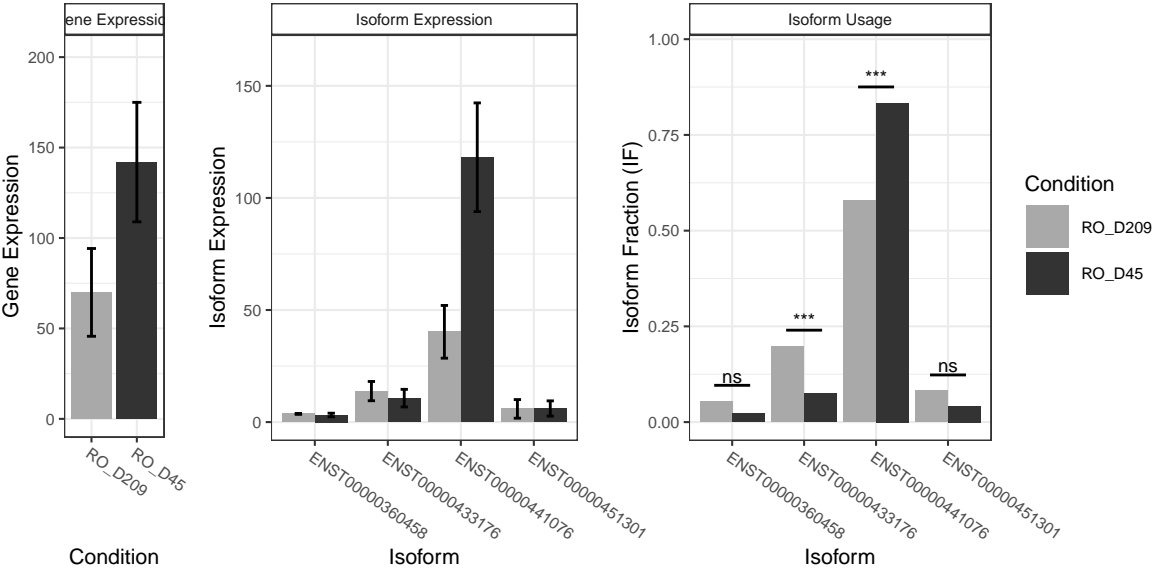
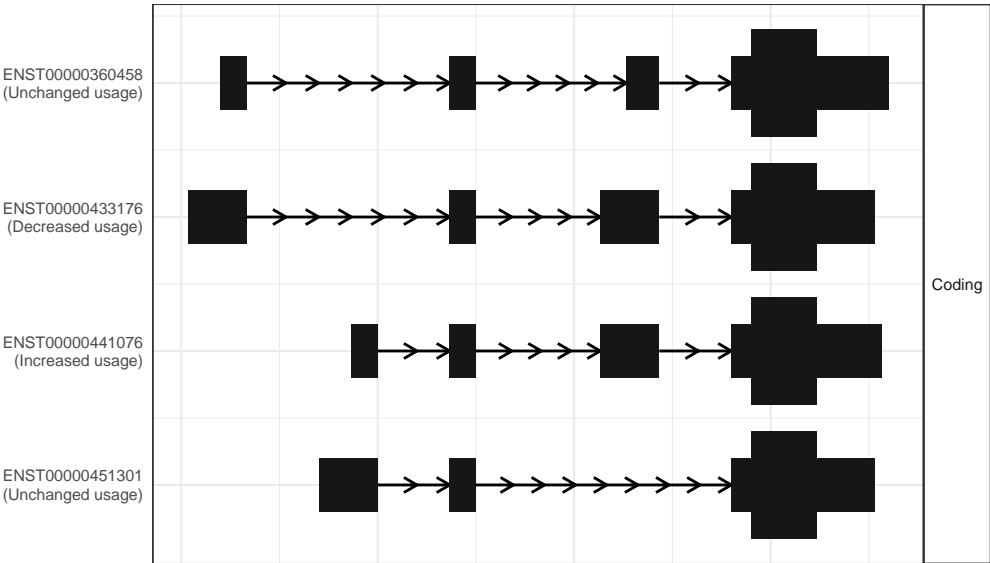


Isoform

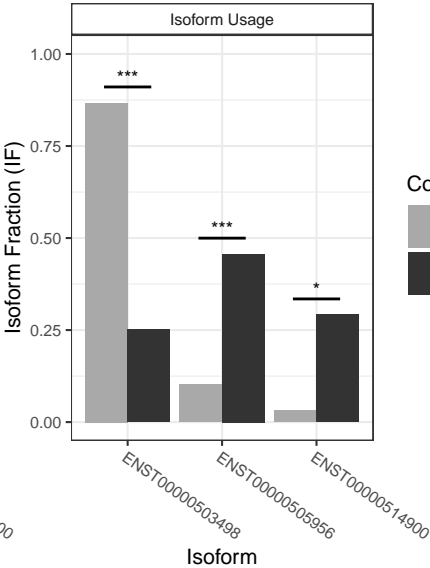
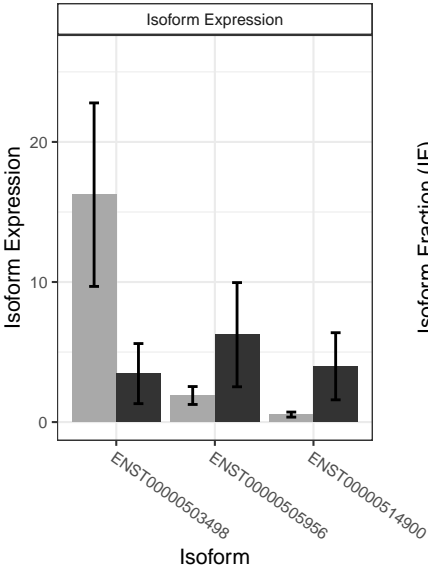
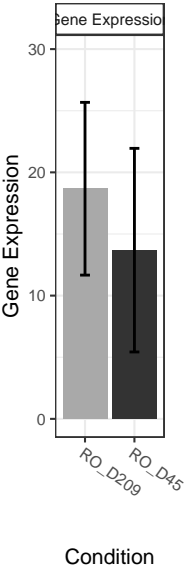
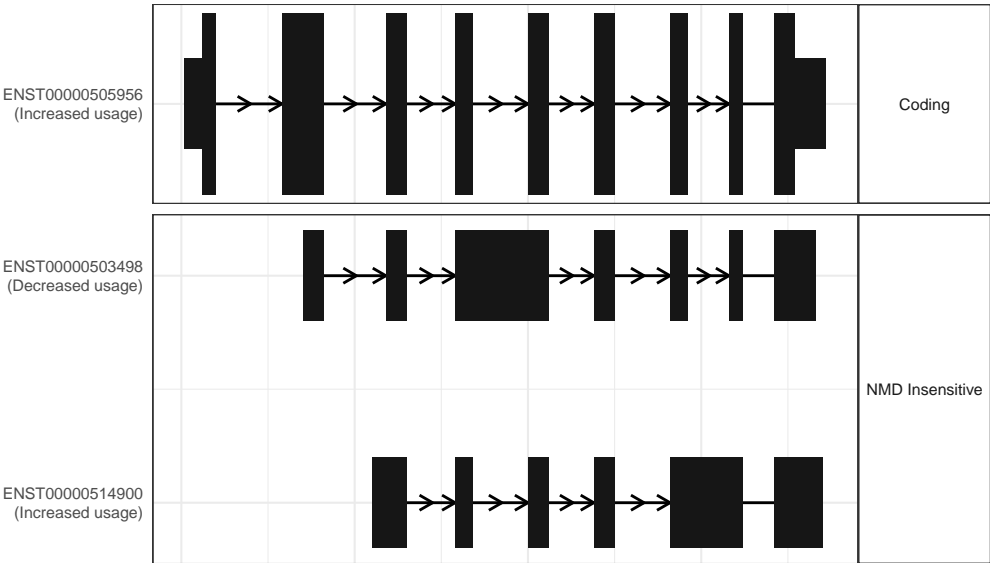
Condition



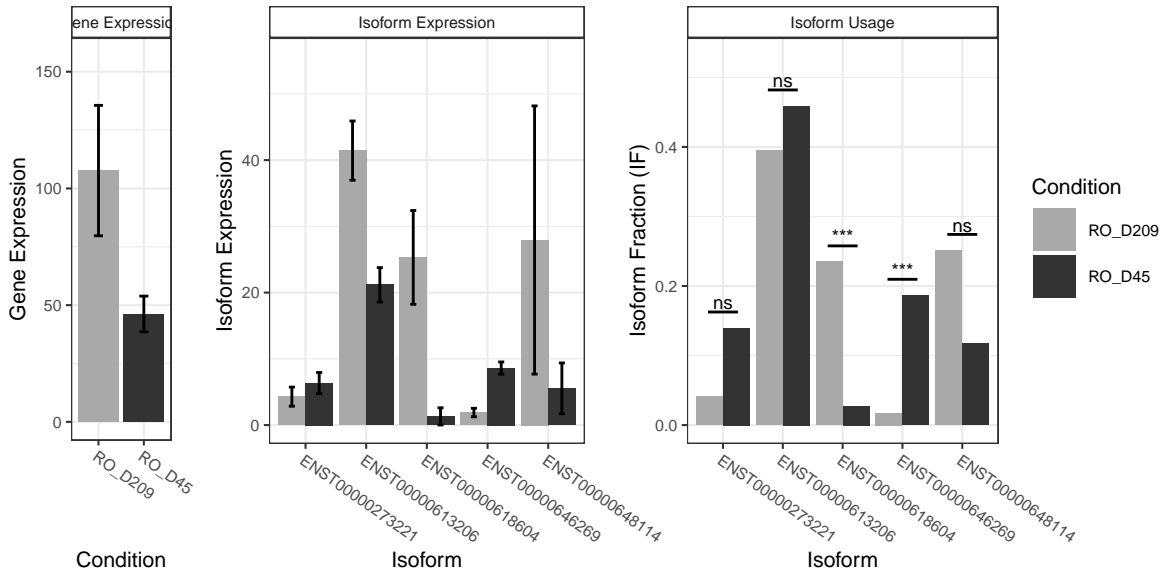
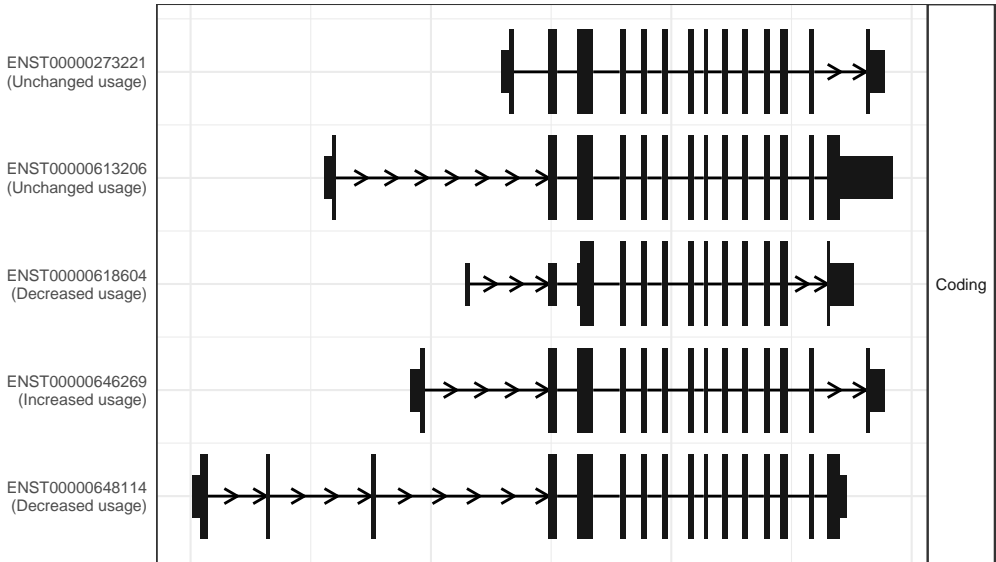
The isoform switch in MORF4L2 (RO_D209 vs RO_D45)



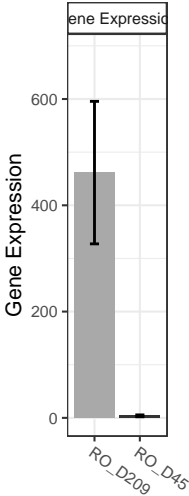
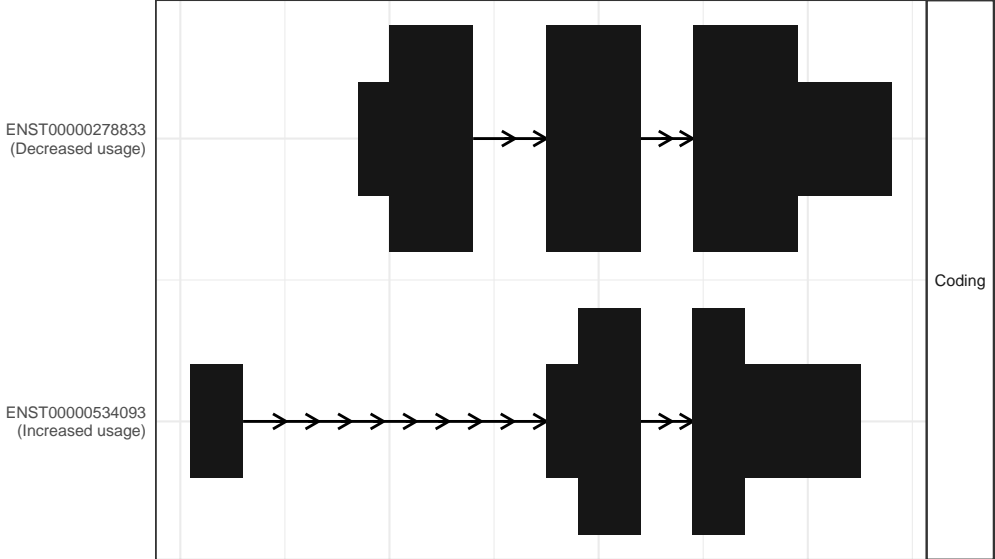
The isoform switch in EFCAB12 (RO_D209 vs RO_D45)



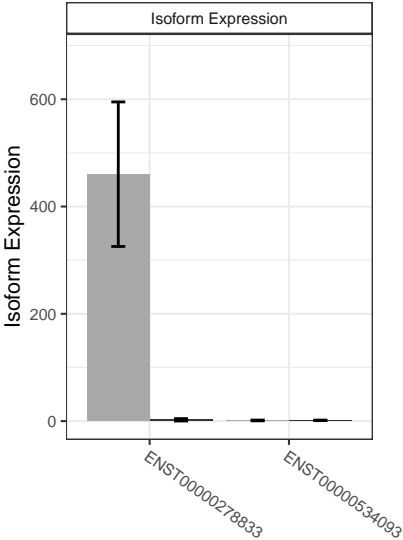
The isoform switch in IQSEC1 (RO_D209 vs RO_D45)



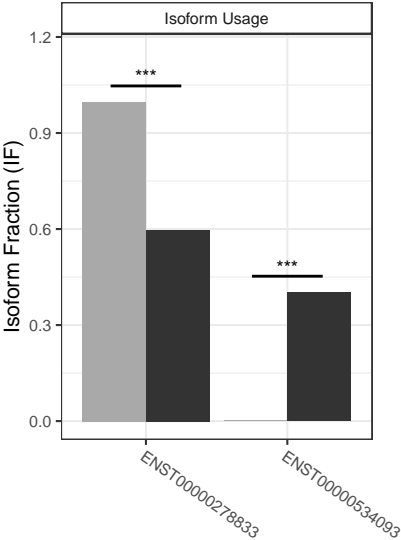
The isoform switch in ROM1 (RO_D209 vs RO_D45)



Condition

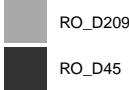


Isoform

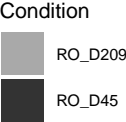
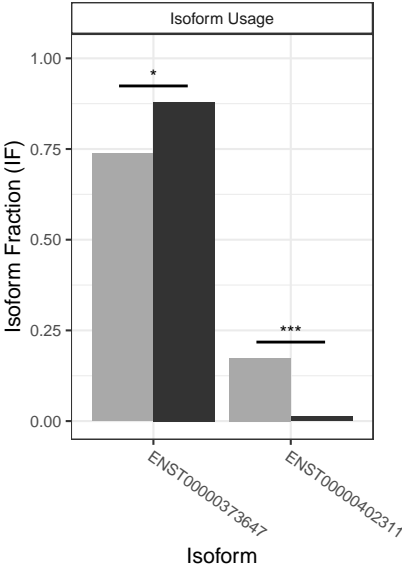
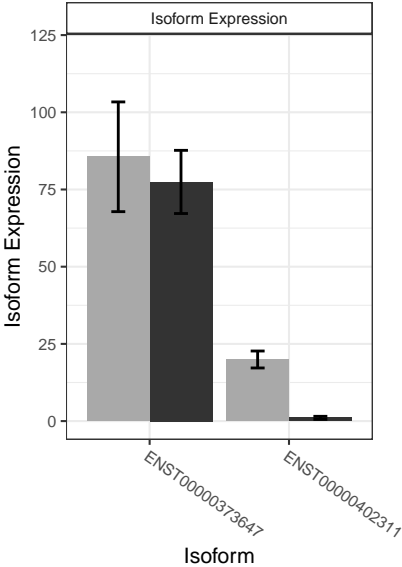
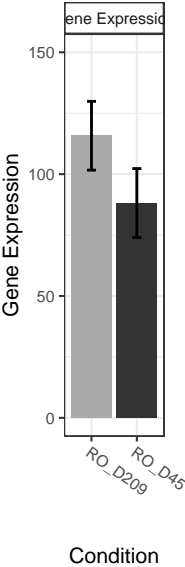
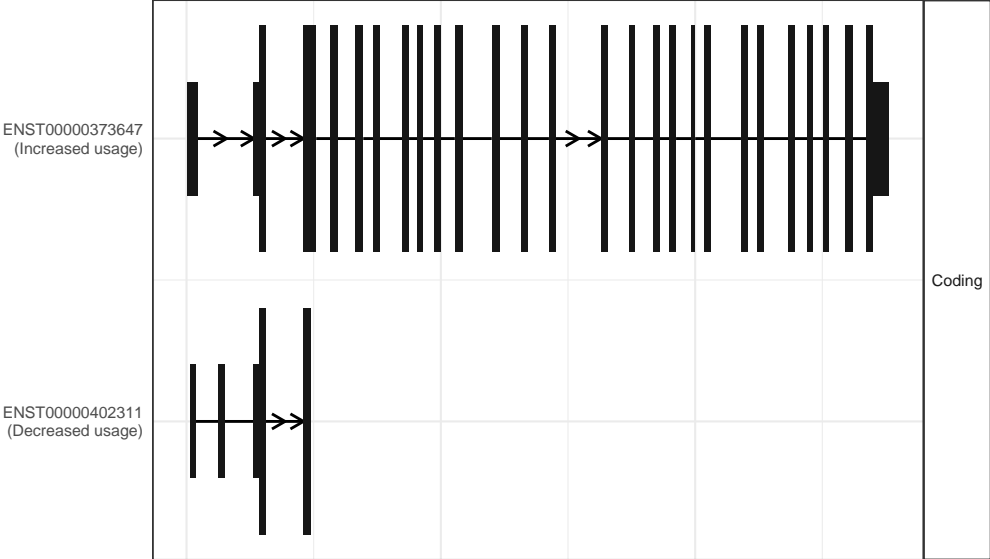


Isoform

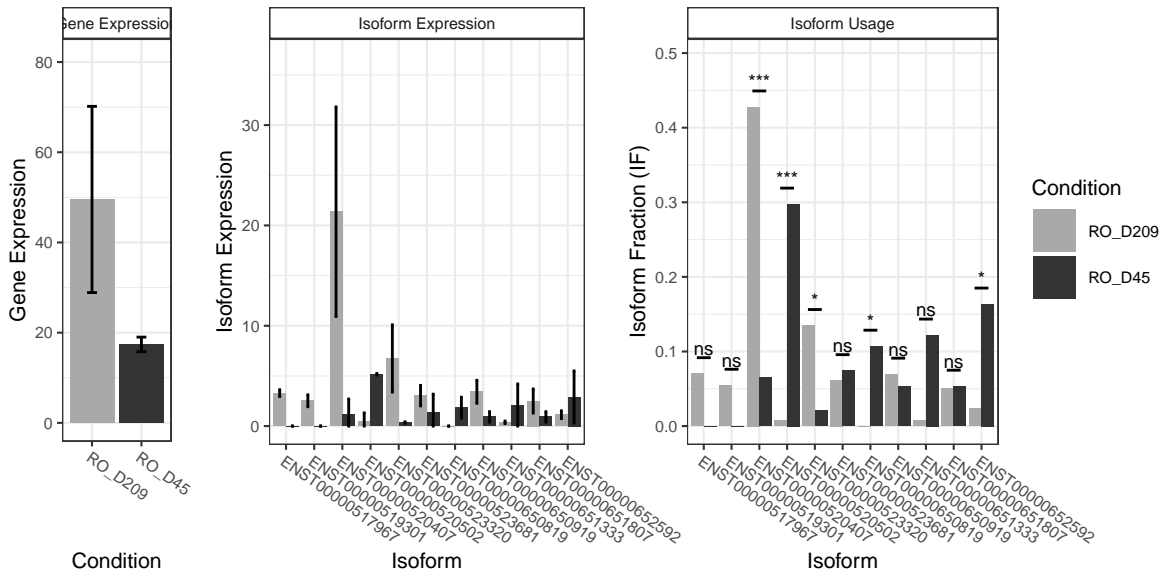
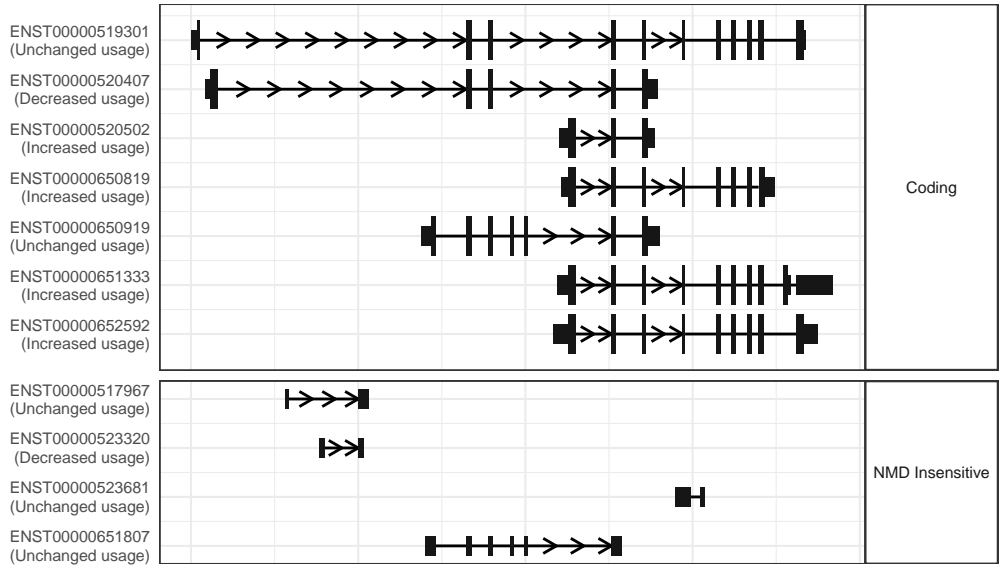
Condition



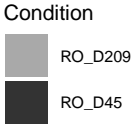
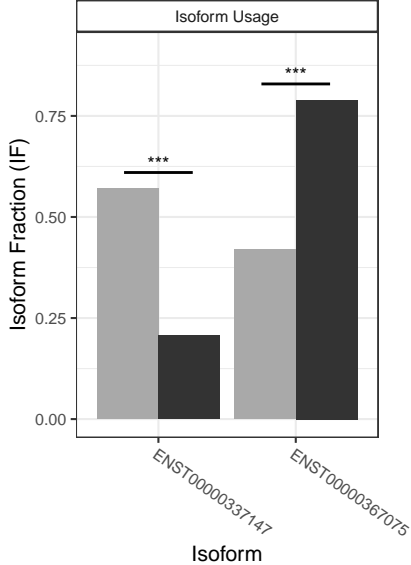
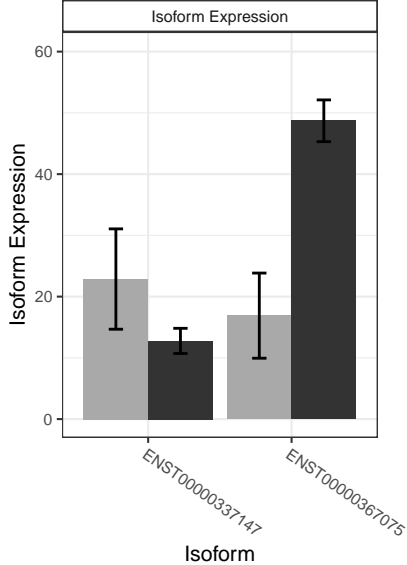
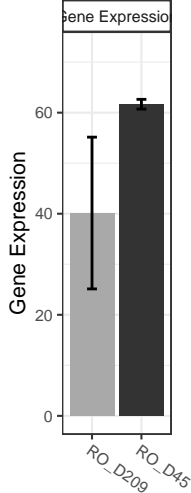
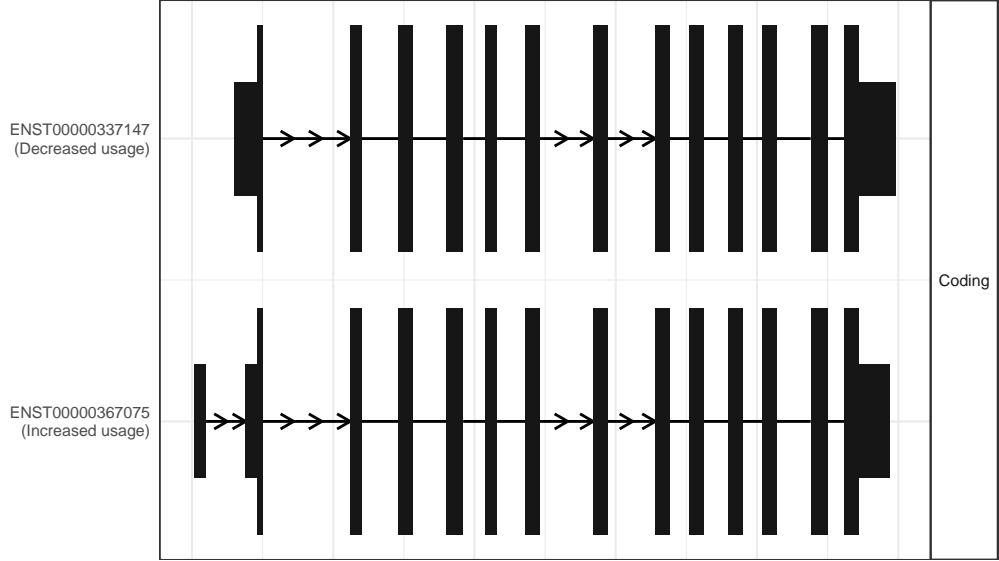
The isoform switch in RABGAP1 (RO_D209 vs RO_D45)



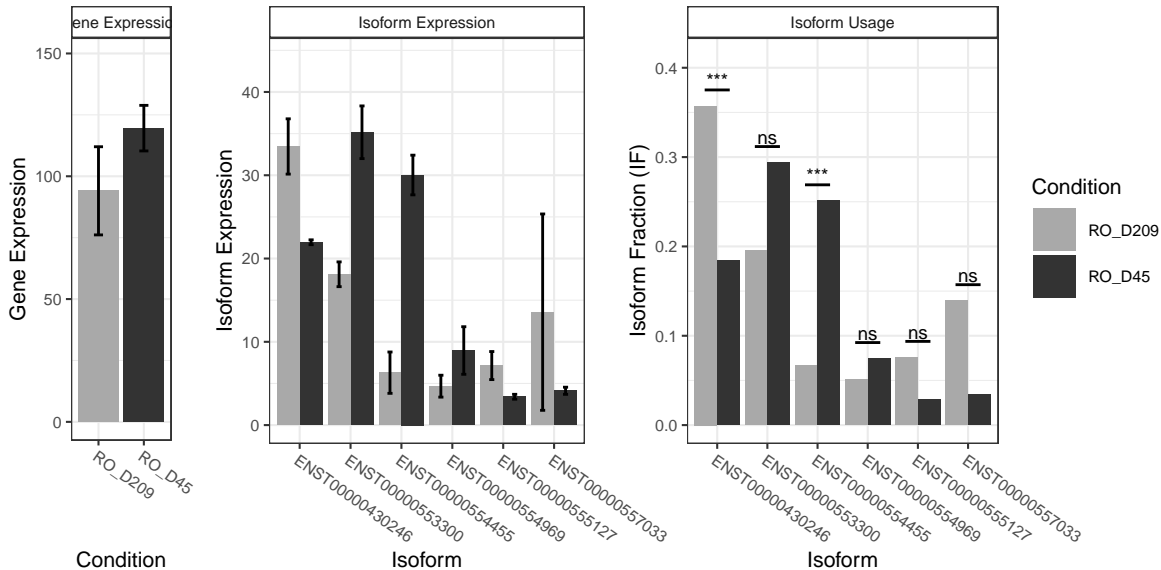
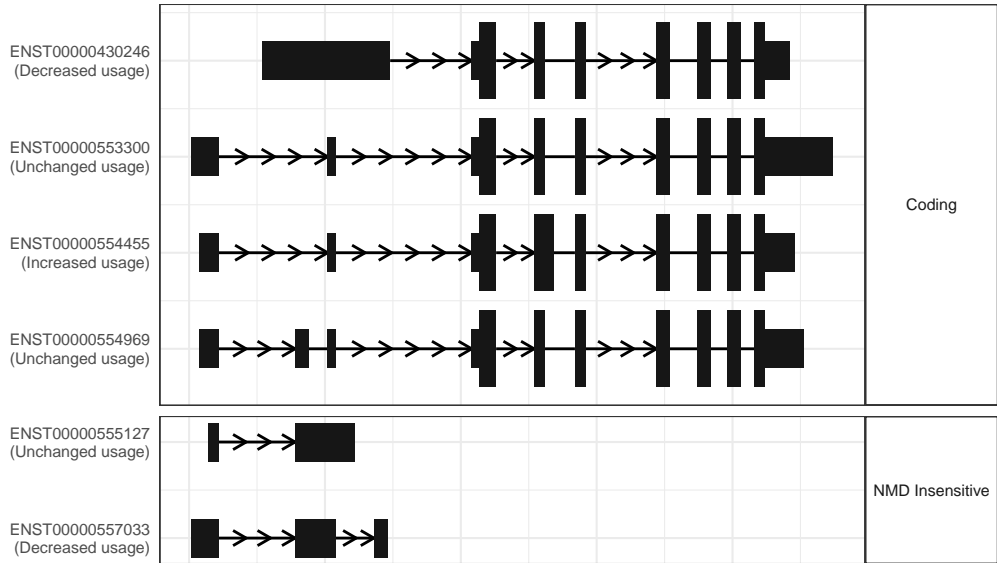
The isoform switch in NRG1 (RO_D209 vs RO_D45)



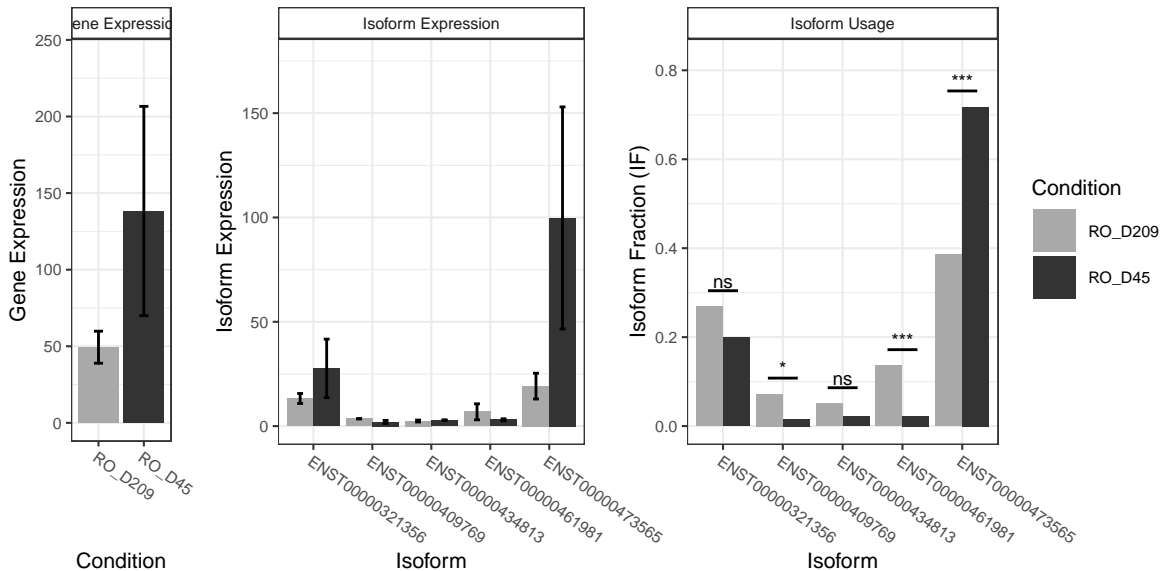
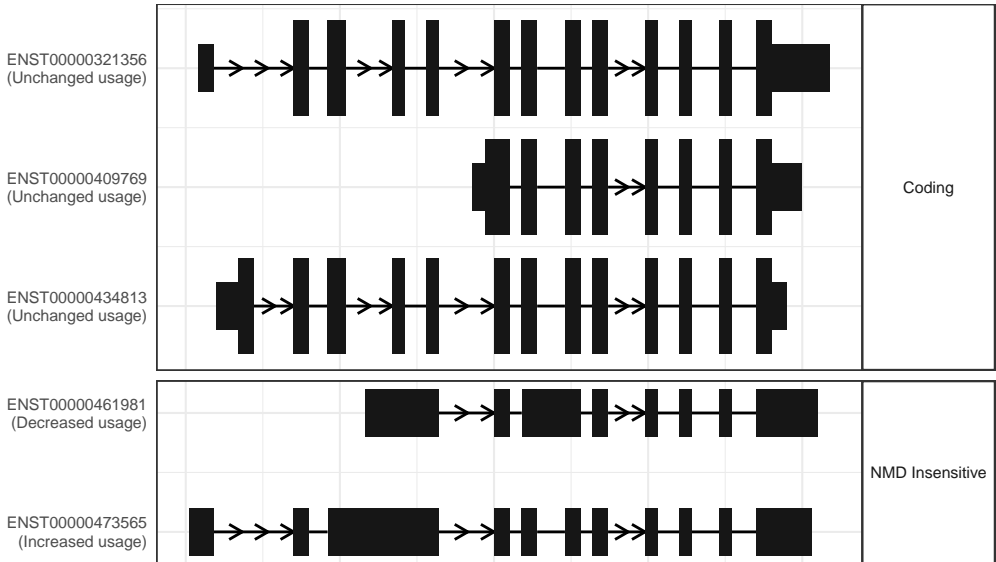
The isoform switch in EZR (RO_D209 vs RO_D45)



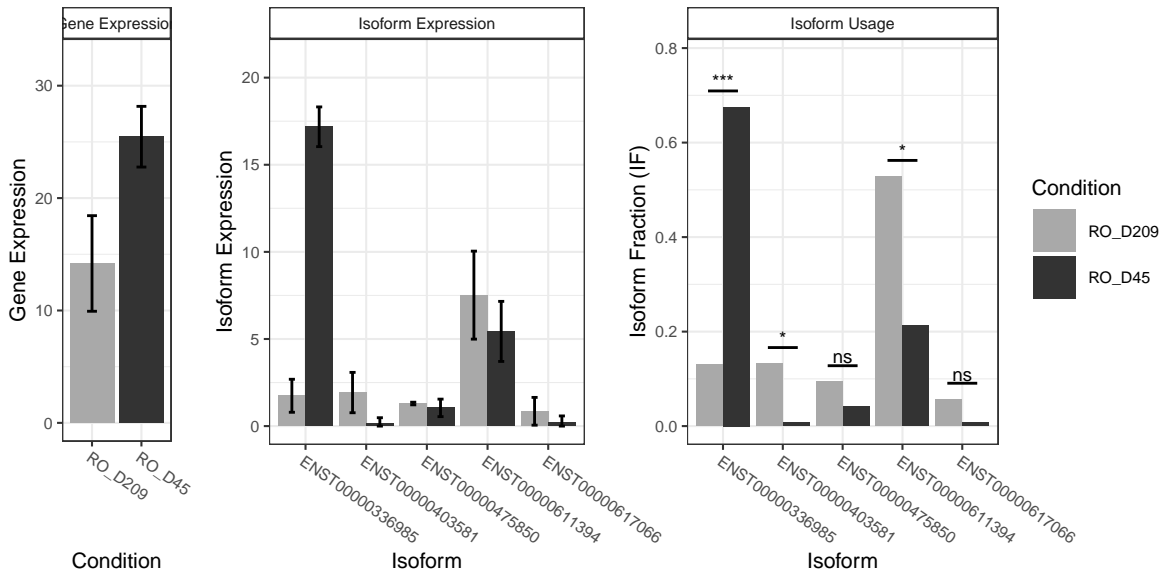
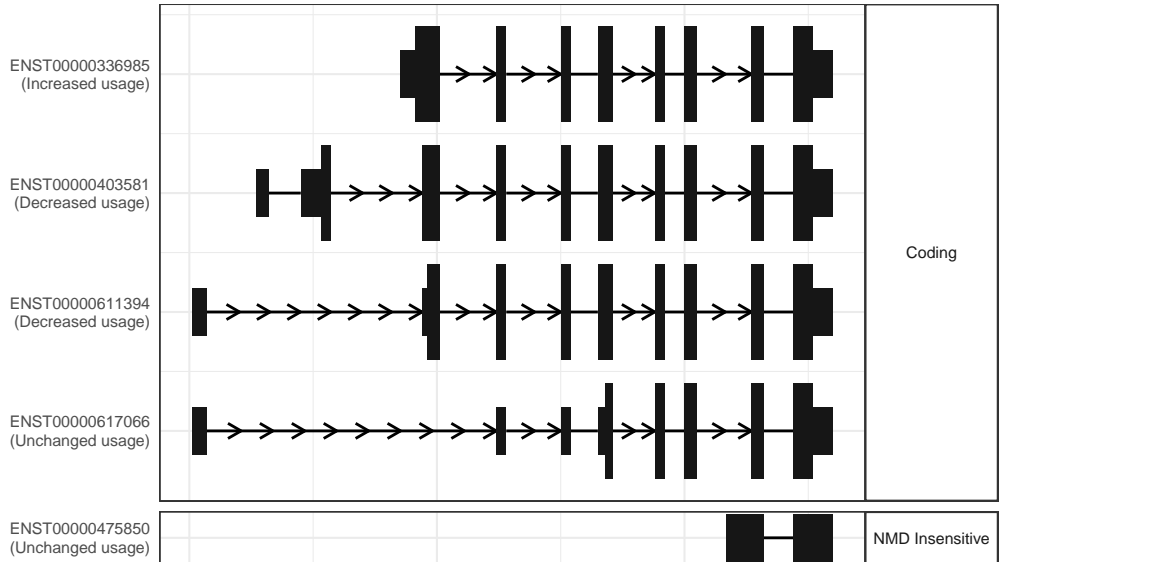
The isoform switch in HNRNPC (RO_D209 vs RO_D45)



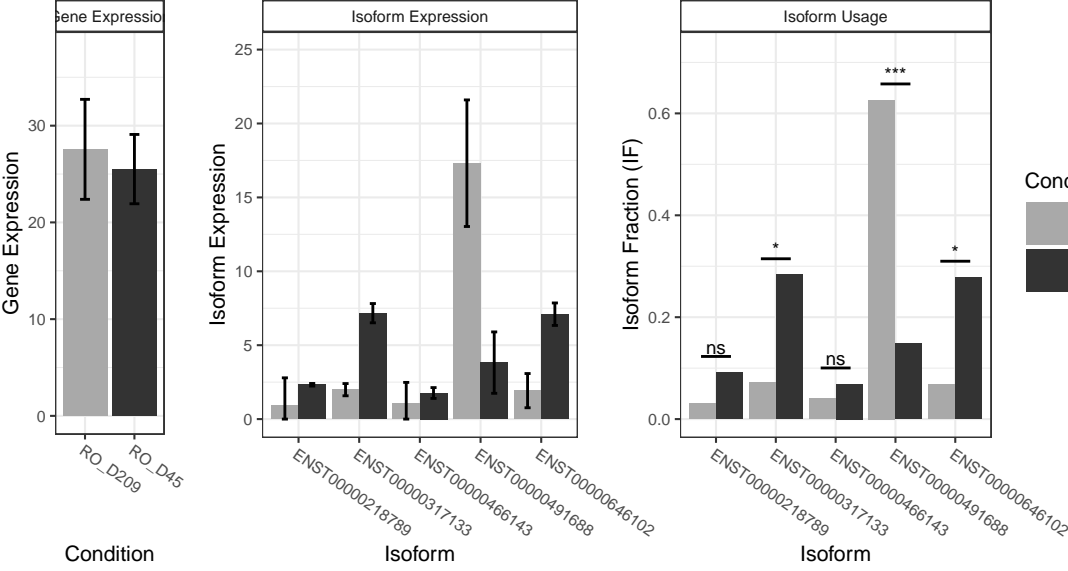
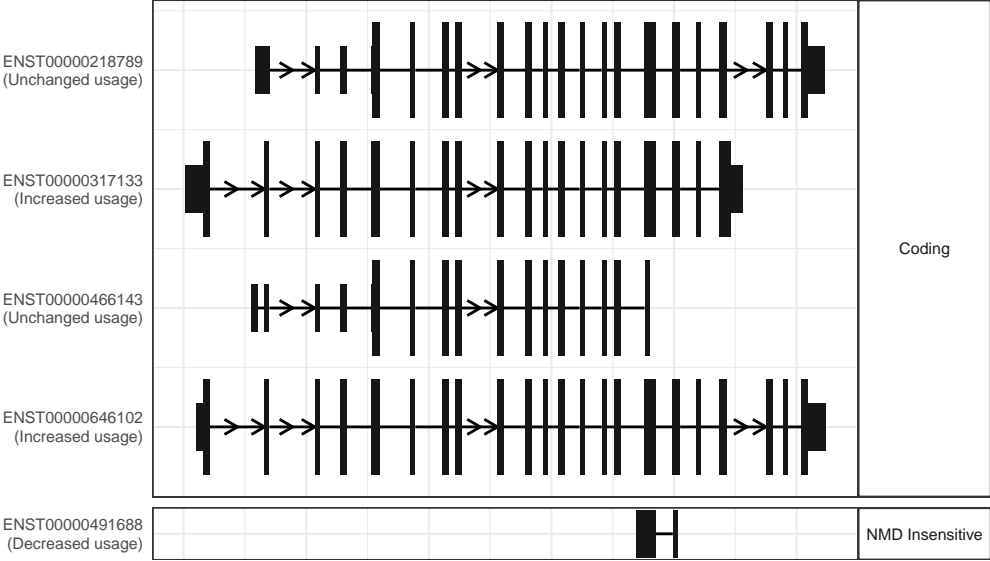
The isoform switch in CLK1 (RO_D209 vs RO_D45)



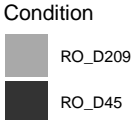
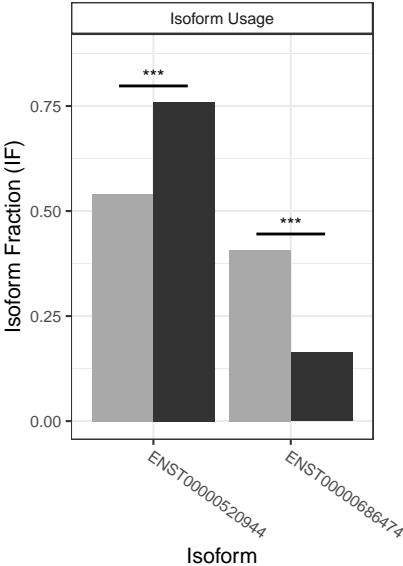
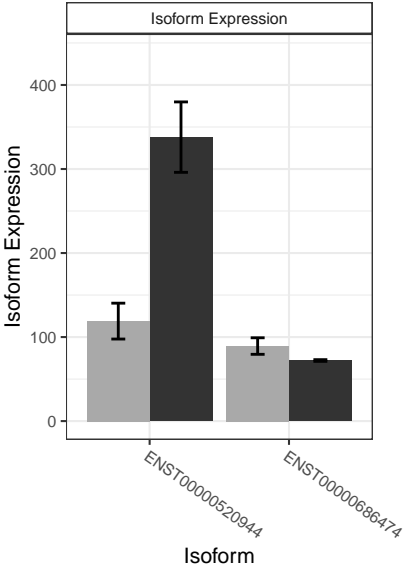
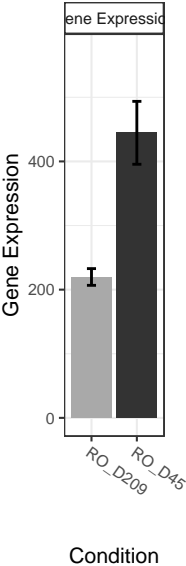
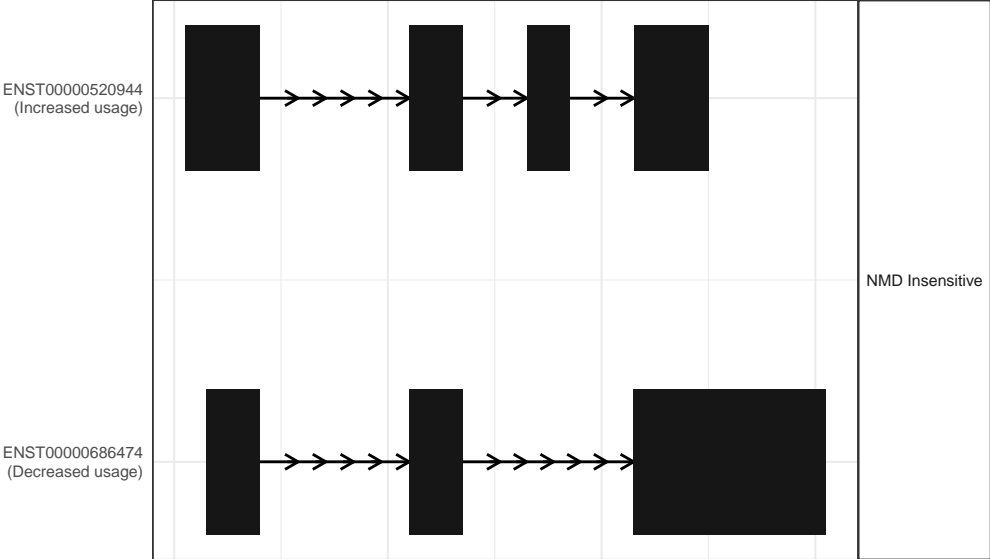
The isoform switch in PRR5 (RO_D209 vs RO_D45)



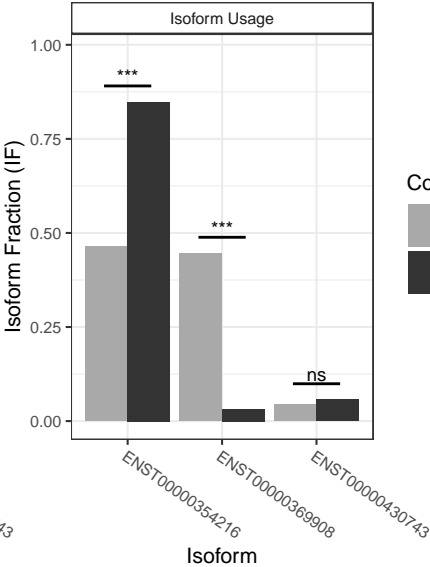
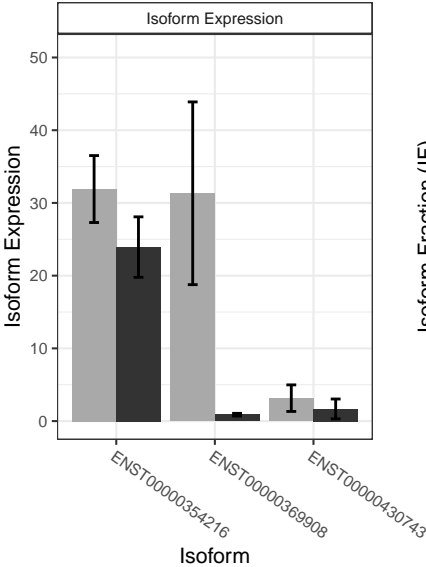
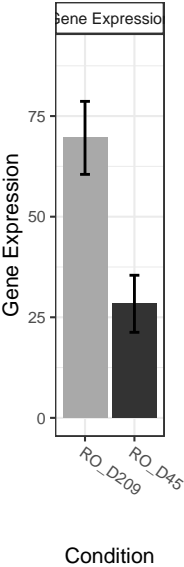
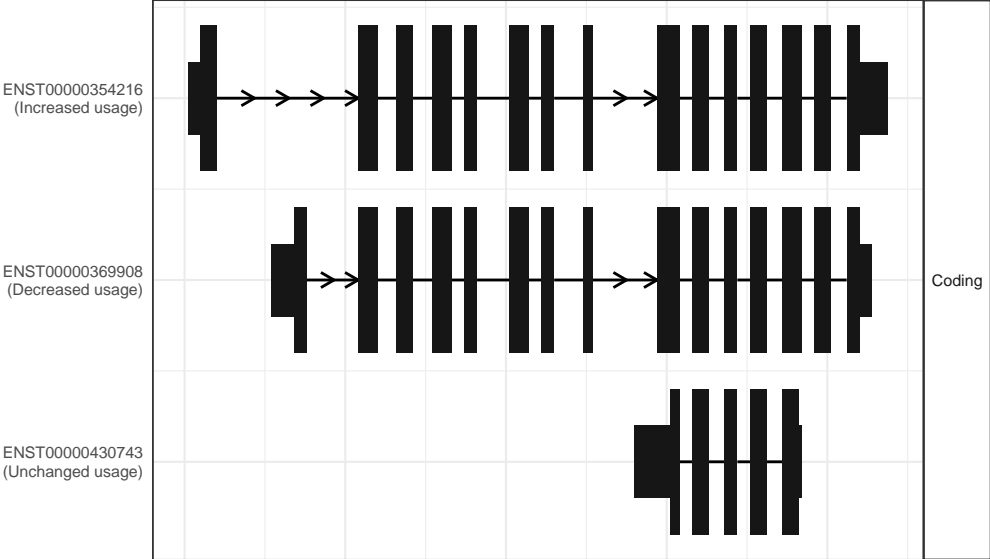
The isoform switch in ARHGEF7 (RO_D209 vs RO_D45)



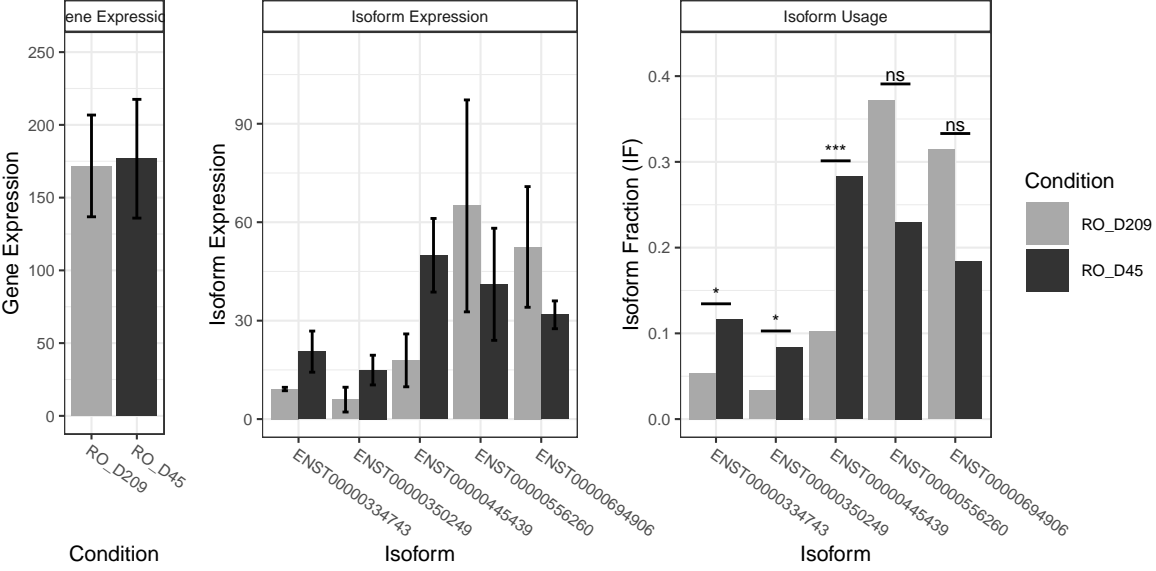
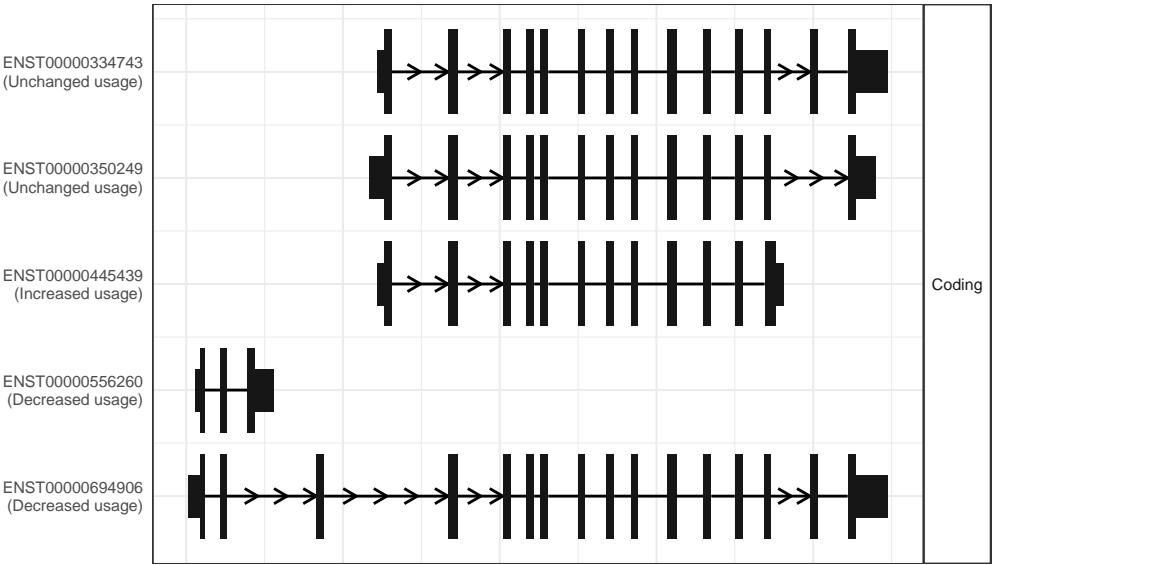
The isoform switch in SNHG6 (RO_D209 vs RO_D45)



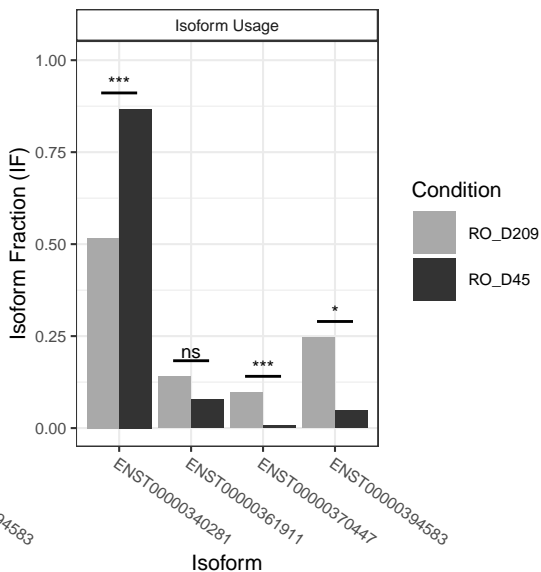
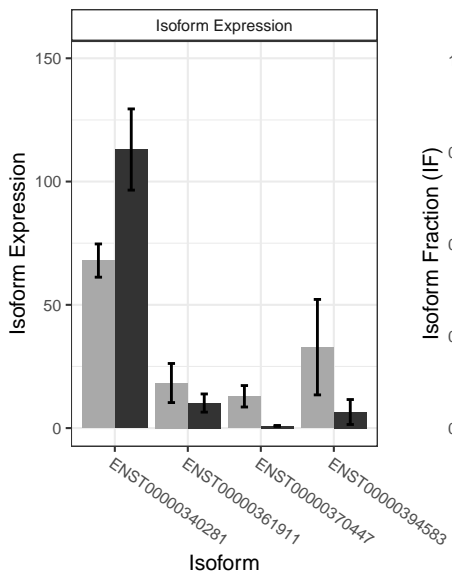
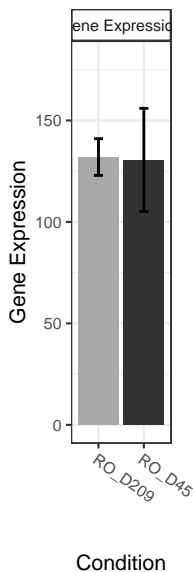
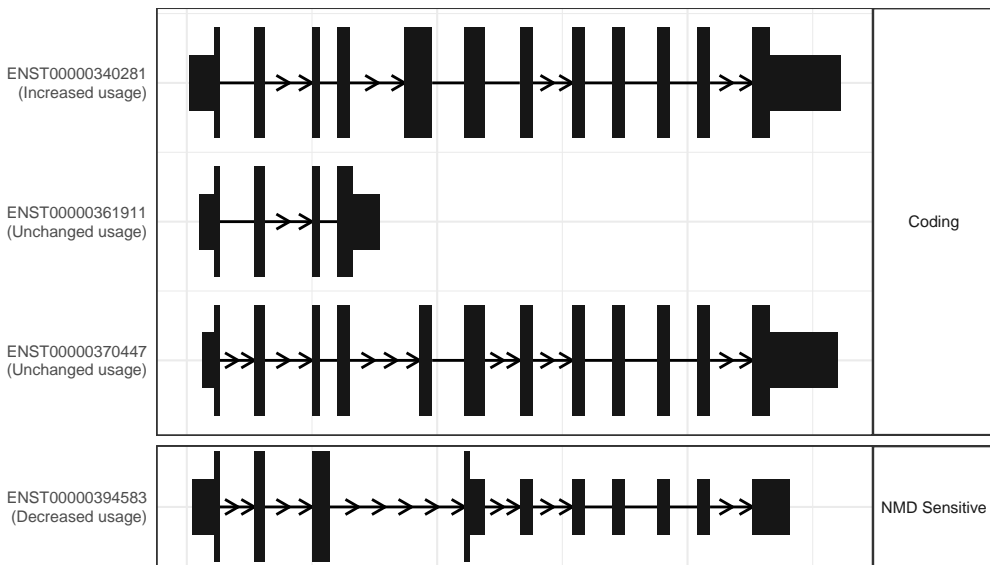
The isoform switch in UCKL1 (RO_D209 vs RO_D45)



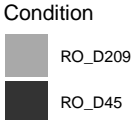
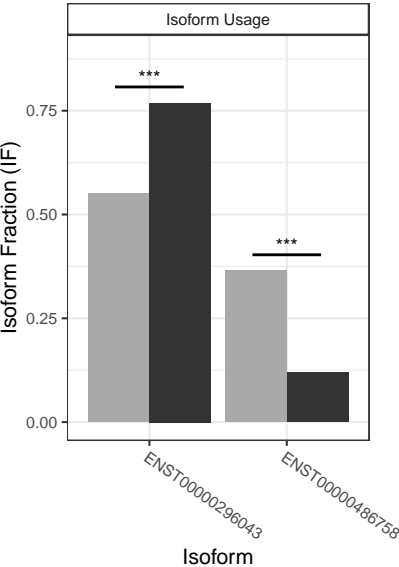
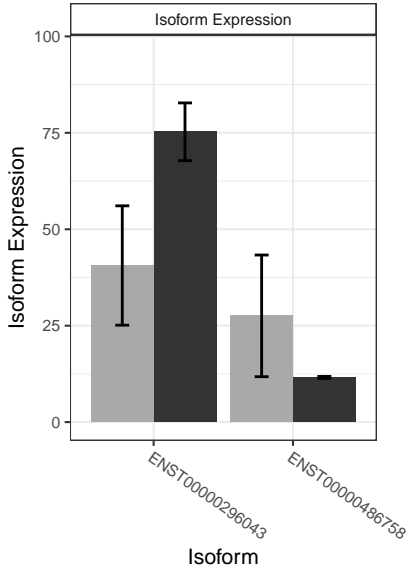
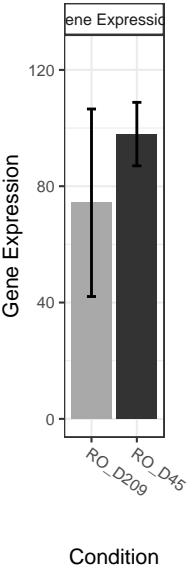
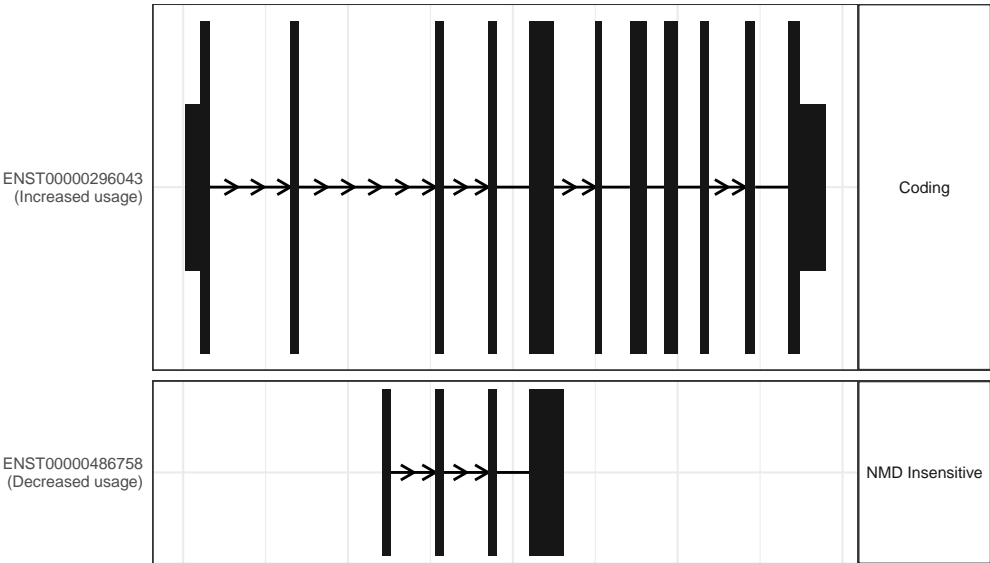
The isoform switch in PPP2R5C (RO_D209 vs RO_D45)



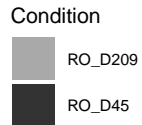
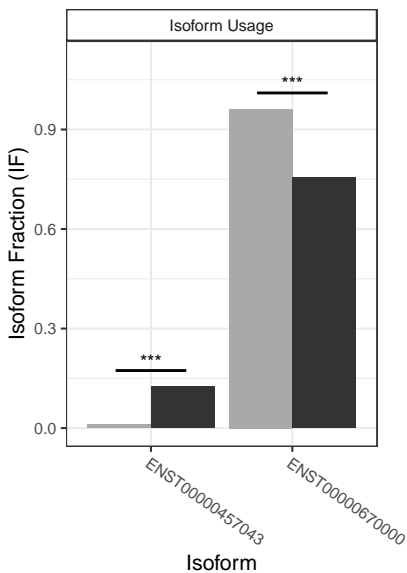
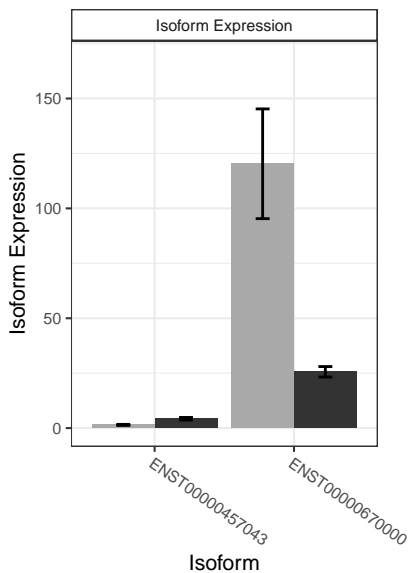
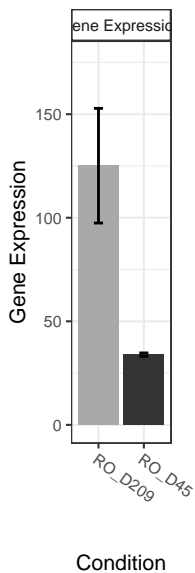
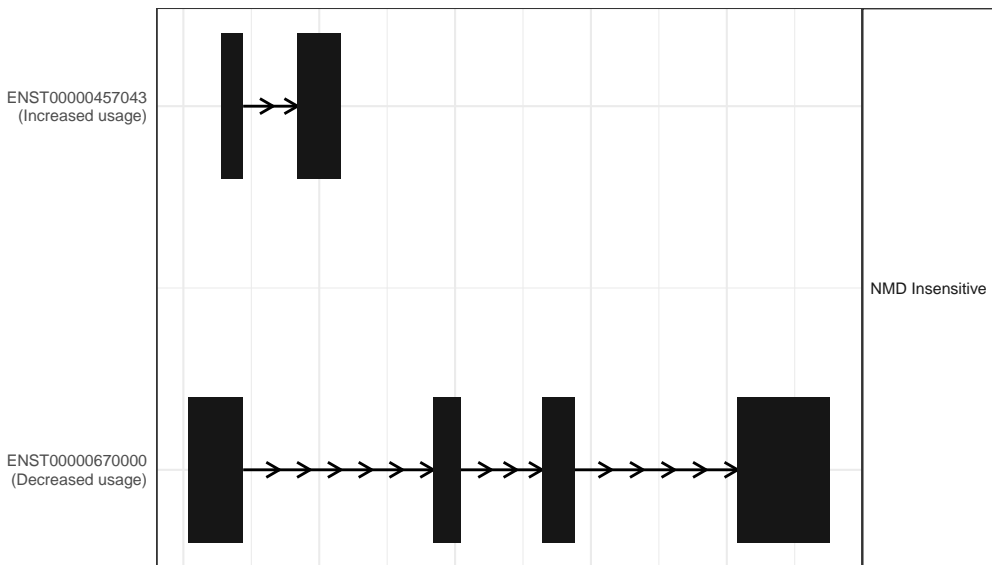
The isoform switch in ZNF326 (RO_D209 vs RO_D45)



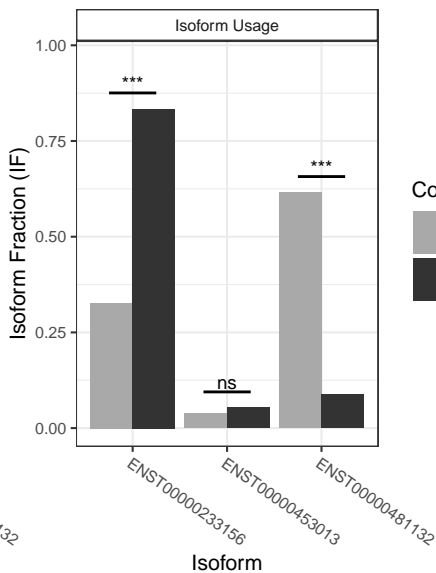
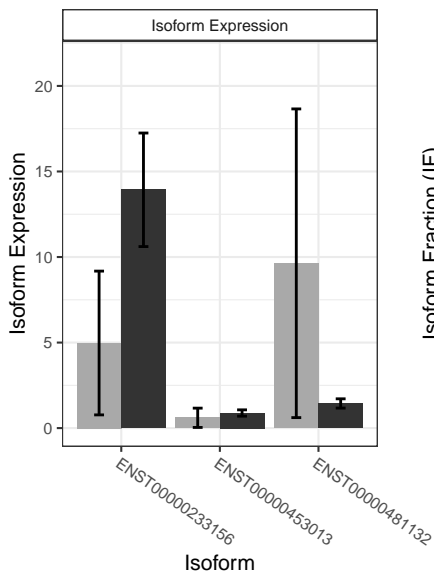
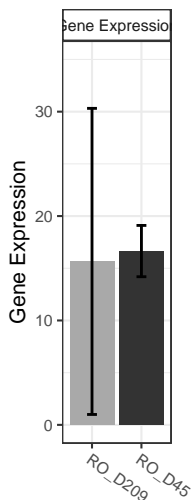
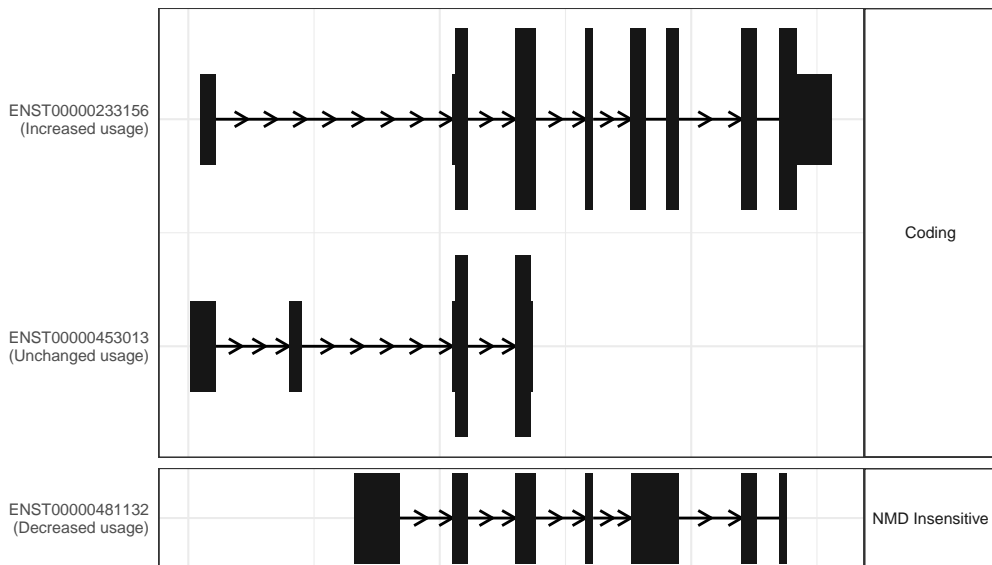
The isoform switch in SHROOM3 (RO_D209 vs RO_D45)



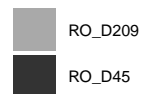
The isoform switch in WARS2-AS1 (RO_D209 vs RO_D45)



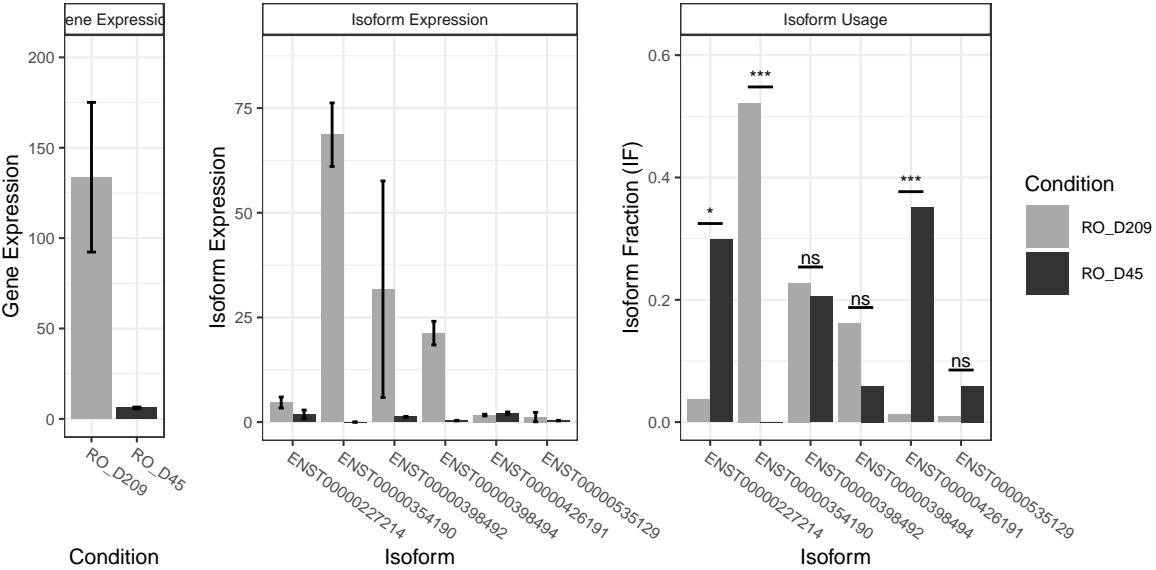
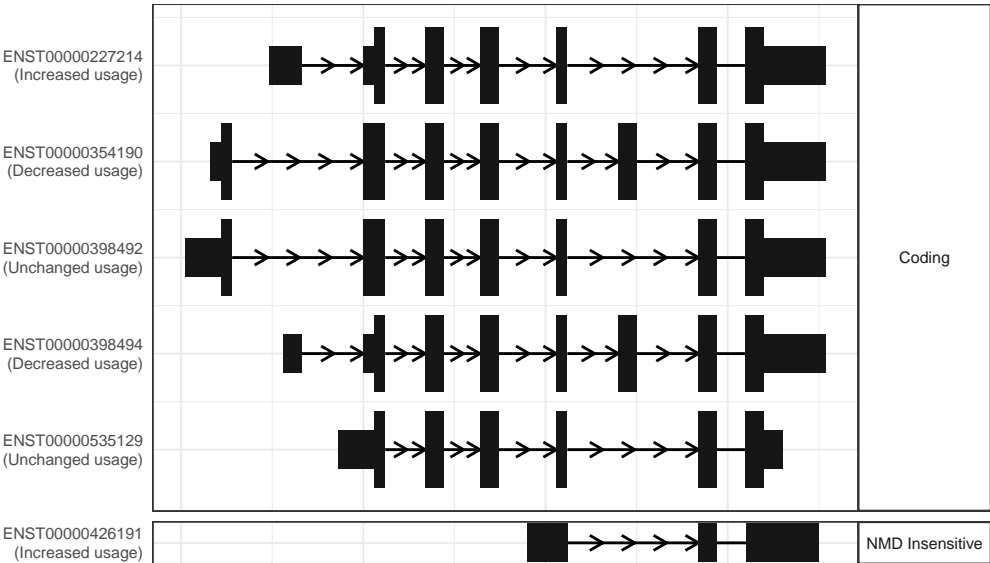
The isoform switch in TFPI (RO_D209 vs RO_D45)



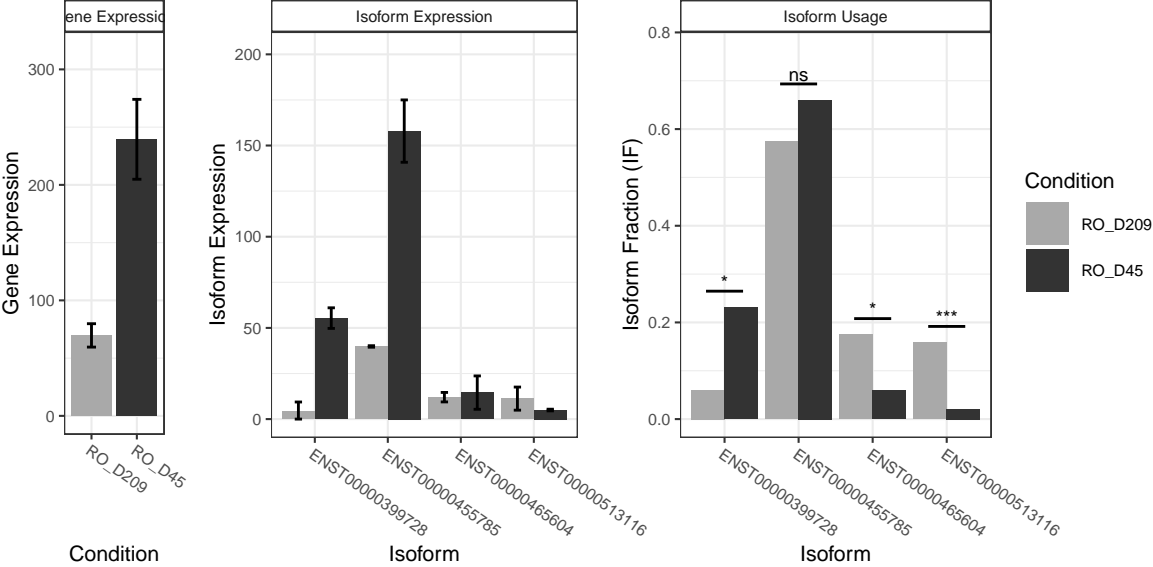
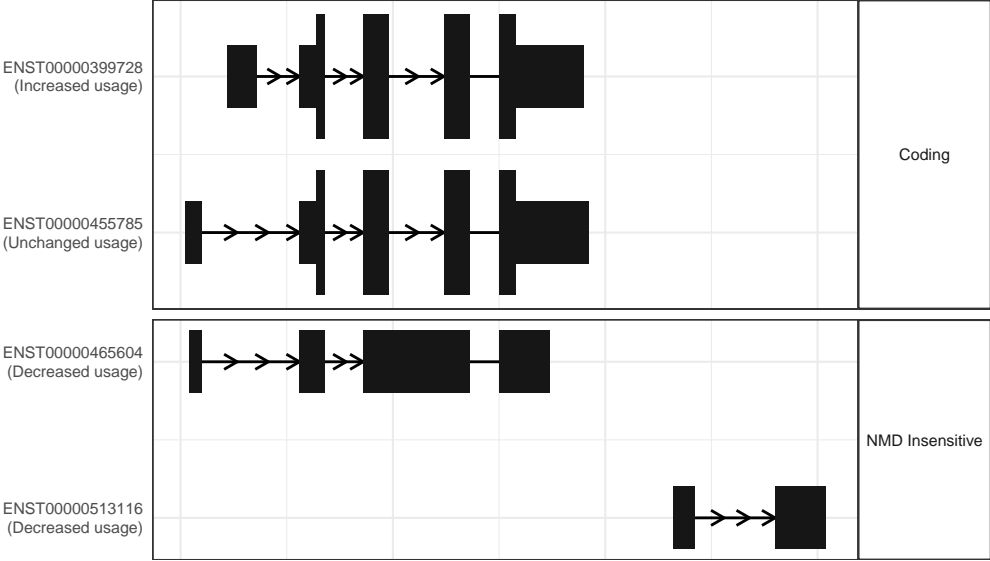
Condition



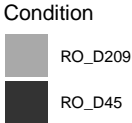
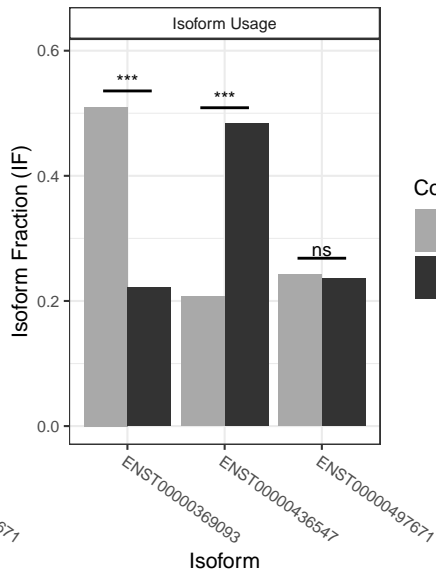
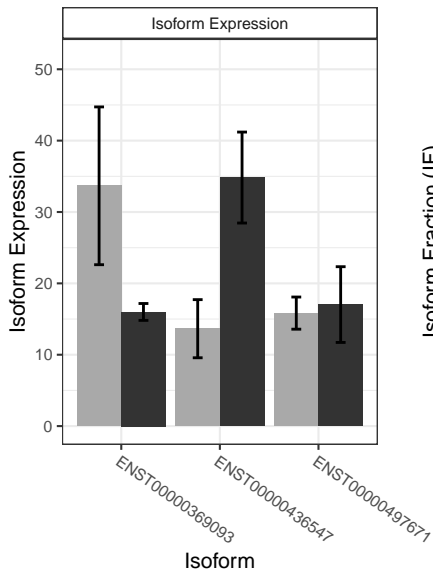
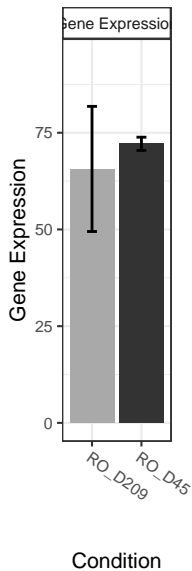
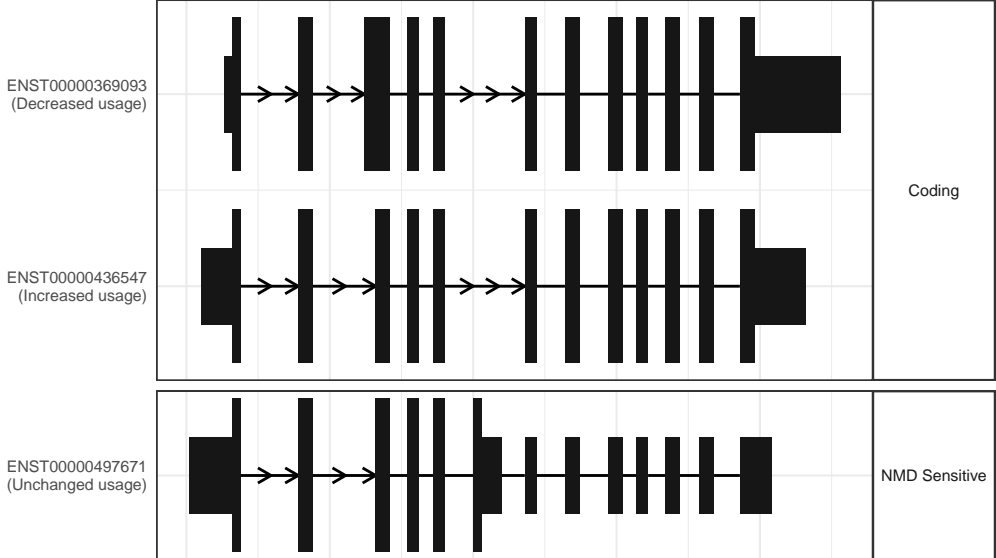
The isoform switch in PLEKHB1 (RO_D209 vs RO_D45)



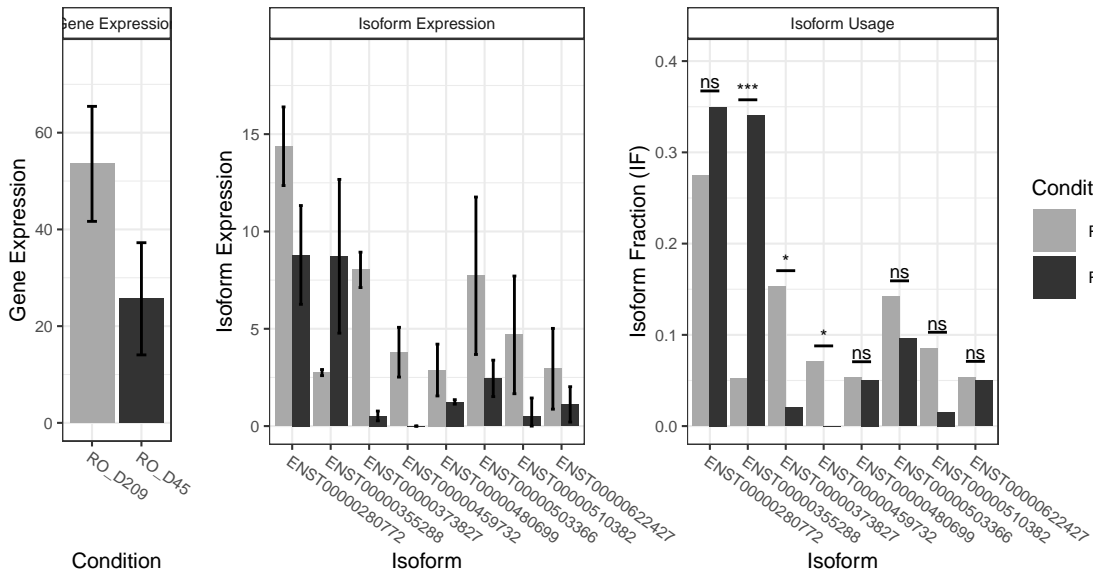
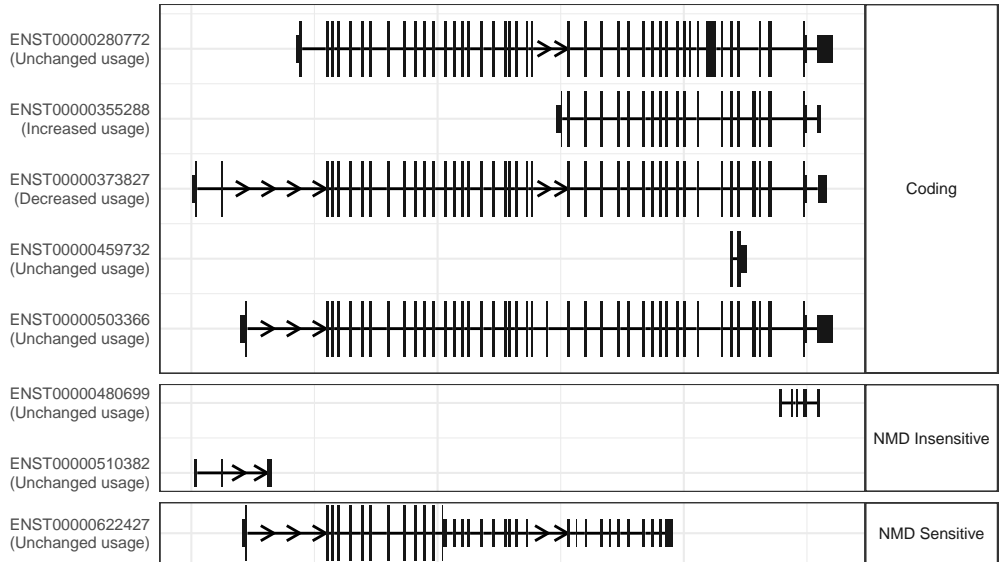
The isoform switch in STMN1 (RO_D209 vs RO_D45)



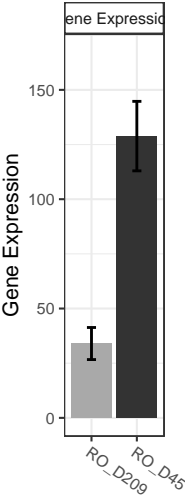
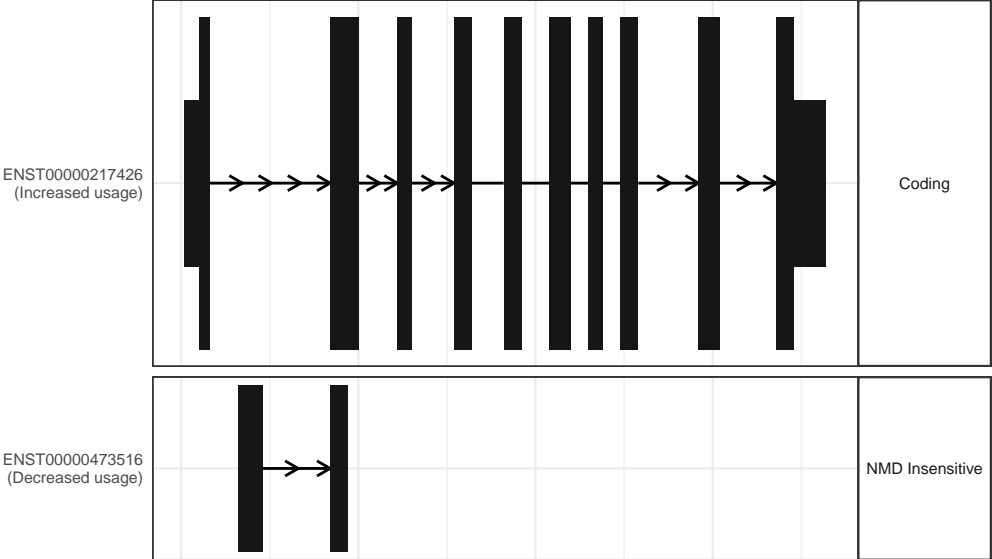
The isoform switch in TIAL1 (RO_D209 vs RO_D45)



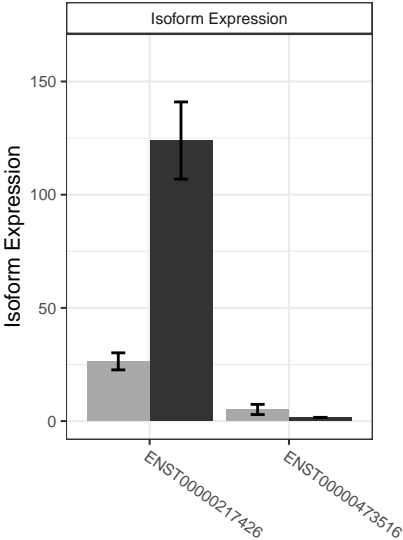
The isoform switch in ANK3 (RO_D209 vs RO_D45)



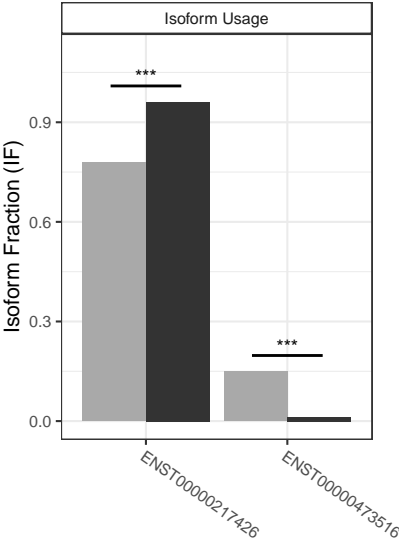
The isoform switch in AHCY (RO_D209 vs RO_D45)



Condition



Isoform

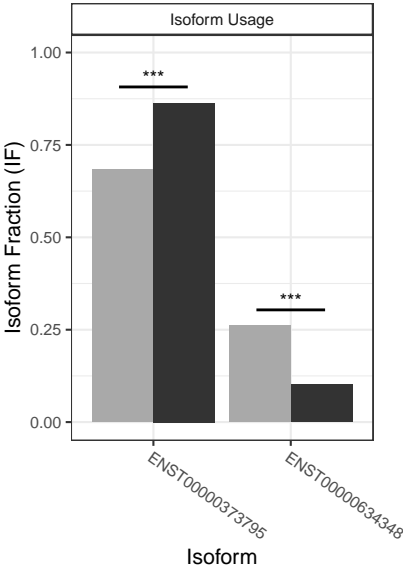
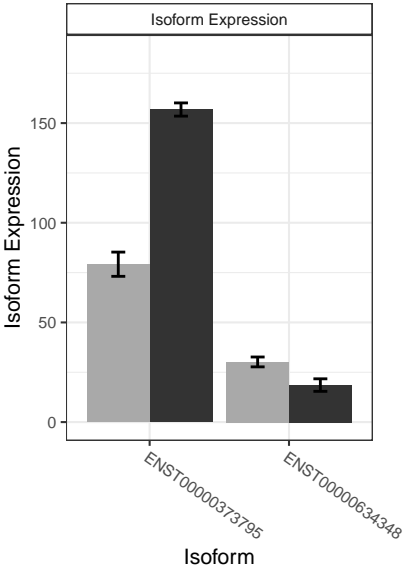
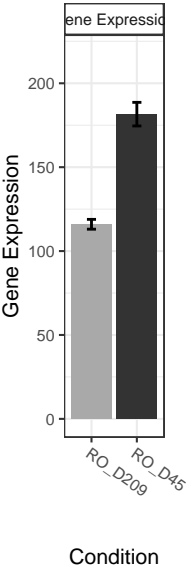
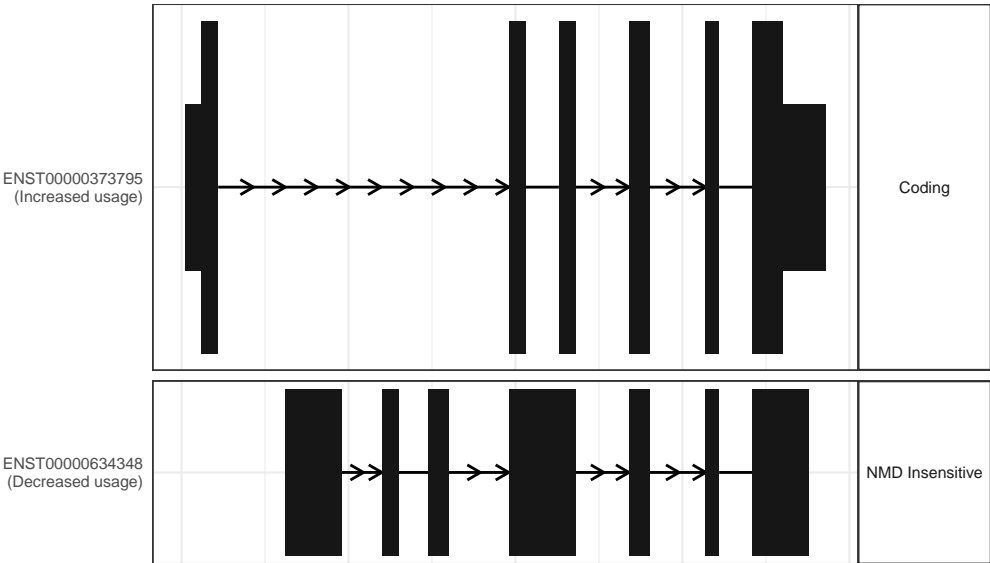


Isoform

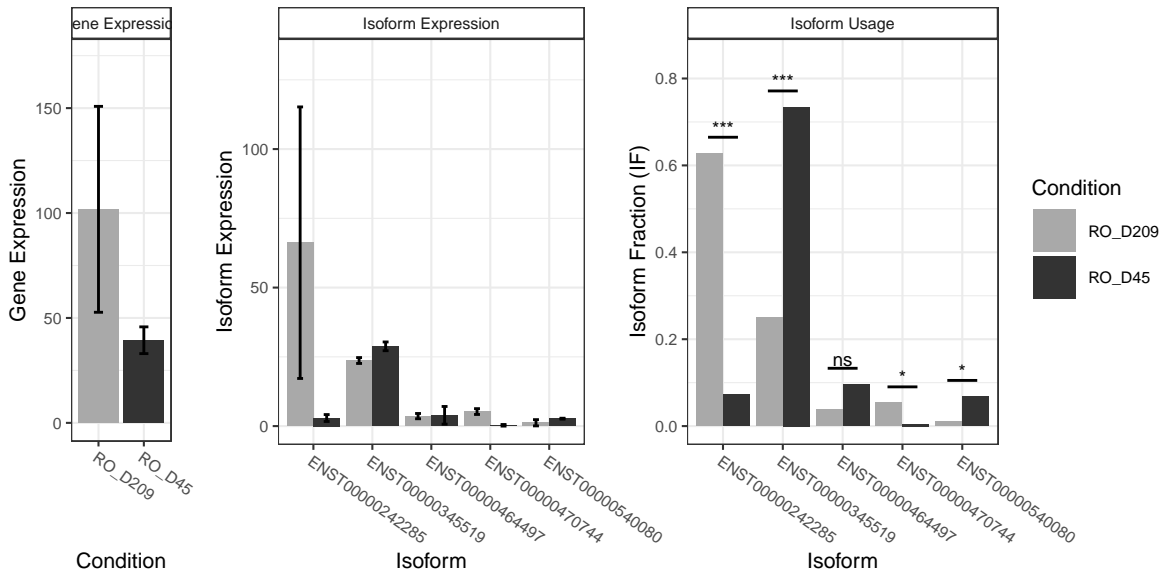
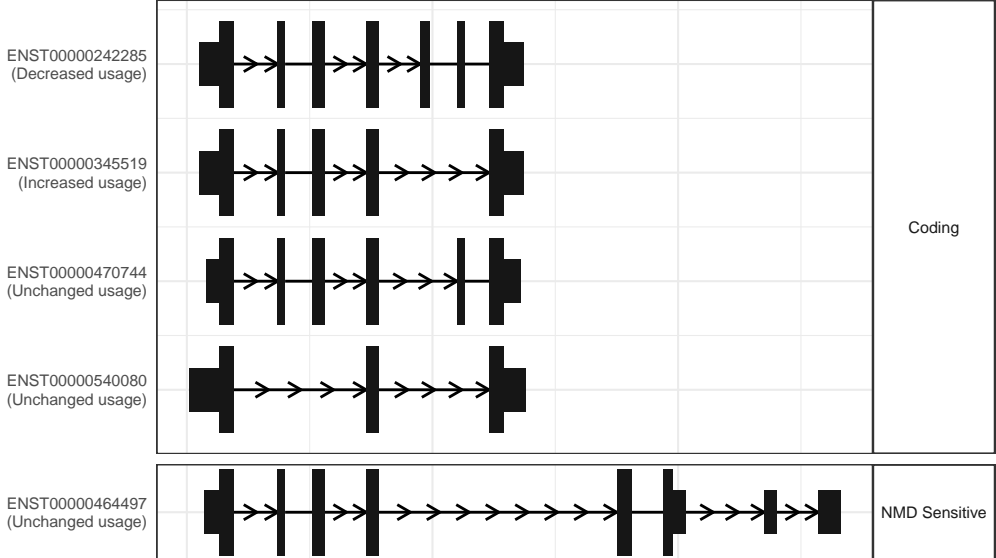
Condition



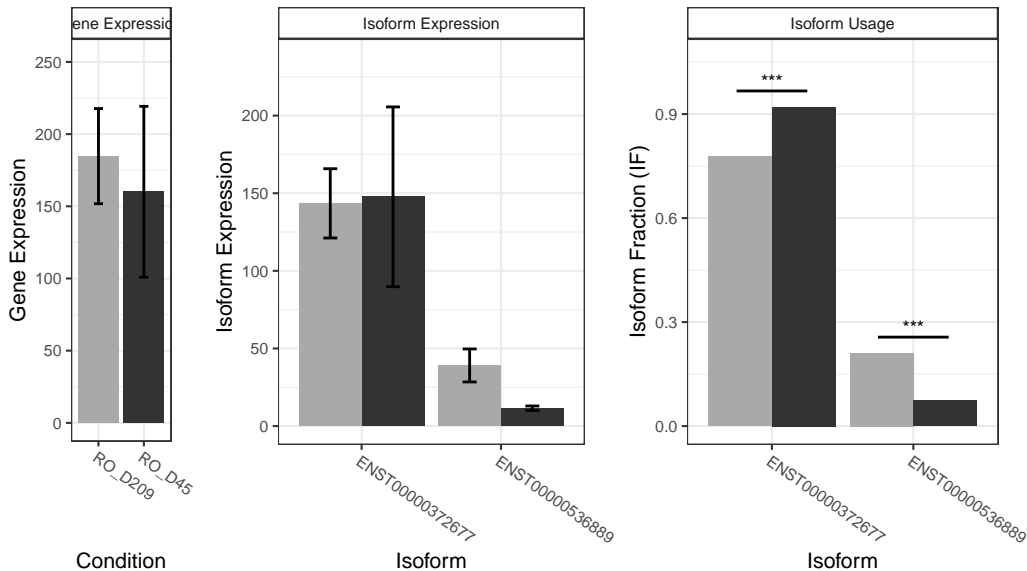
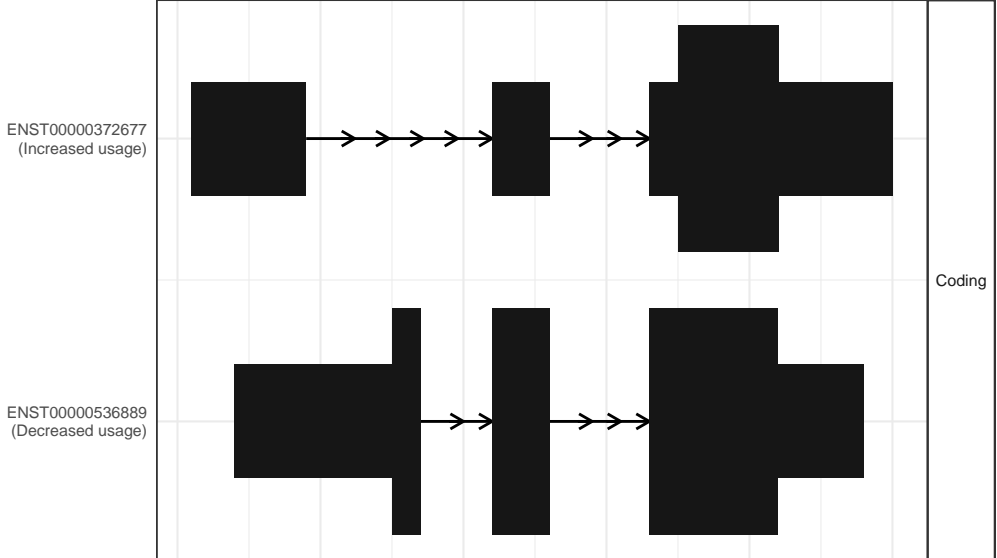
The isoform switch in SRSF4 (RO_D209 vs RO_D45)



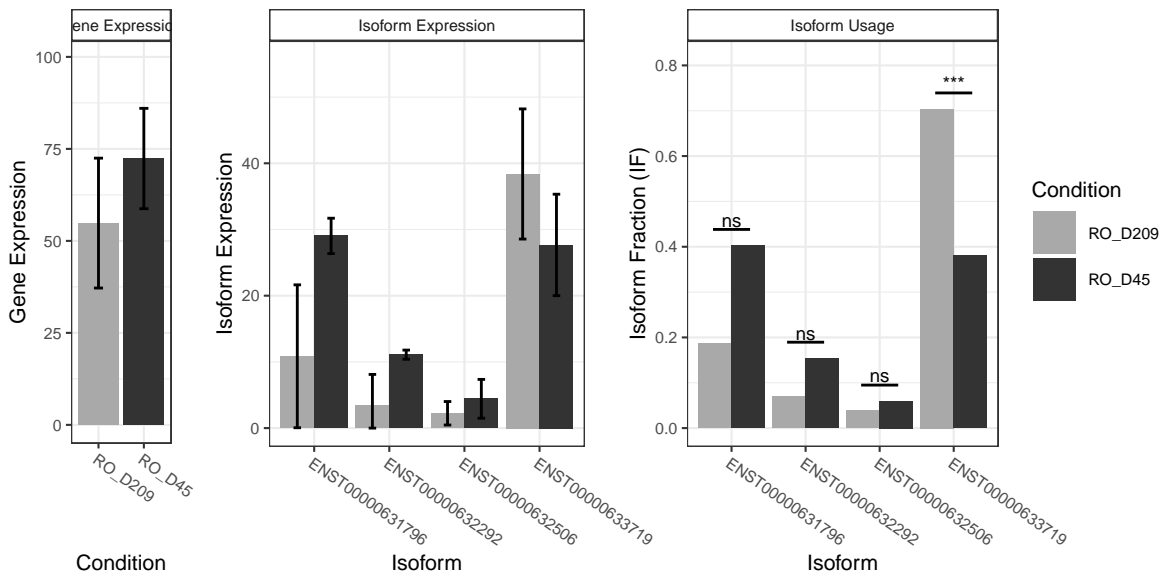
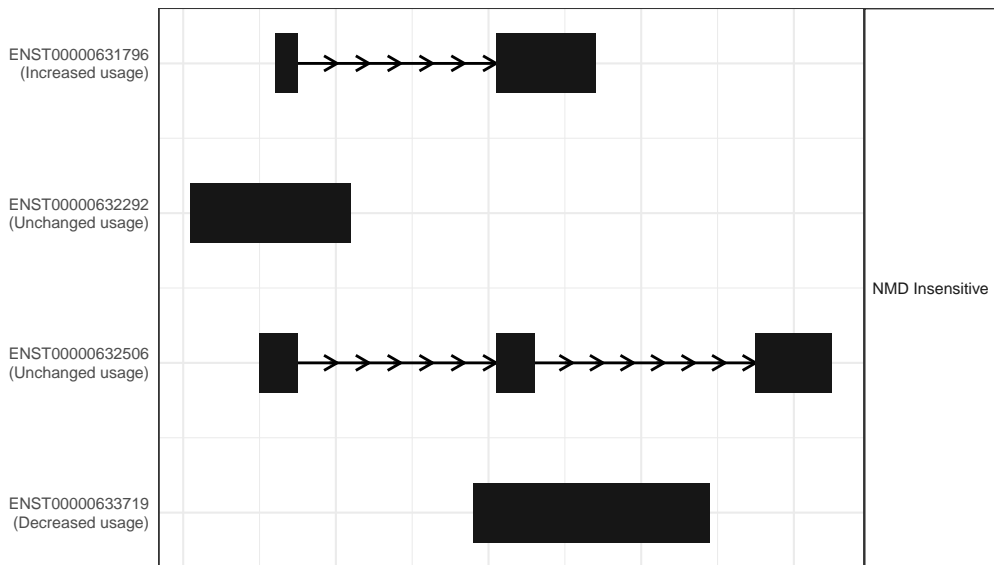
The isoform switch in CLTA (RO_D209 vs RO_D45)



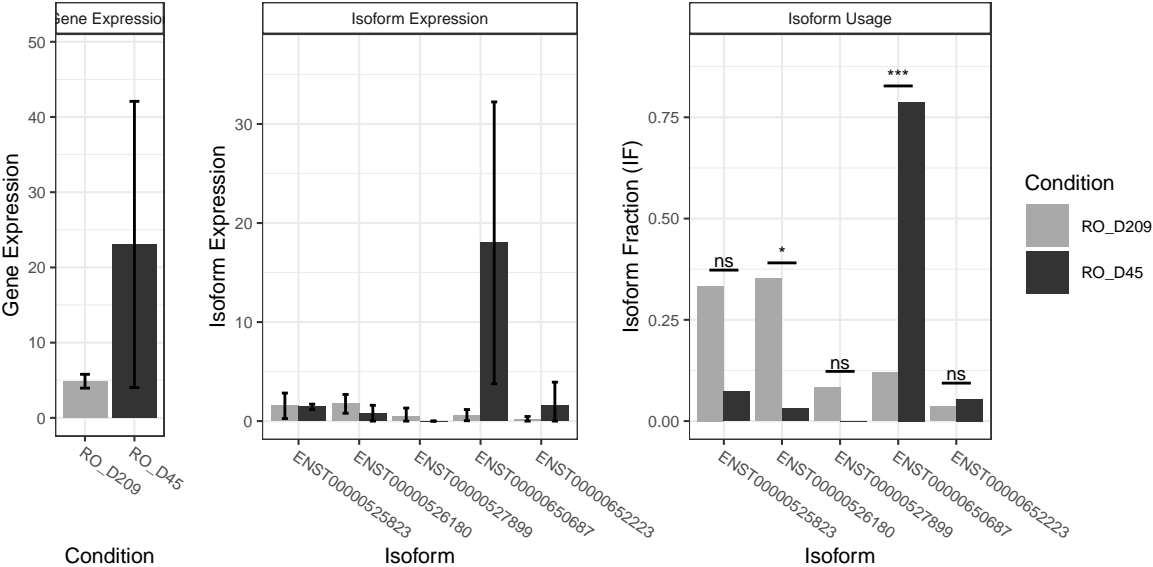
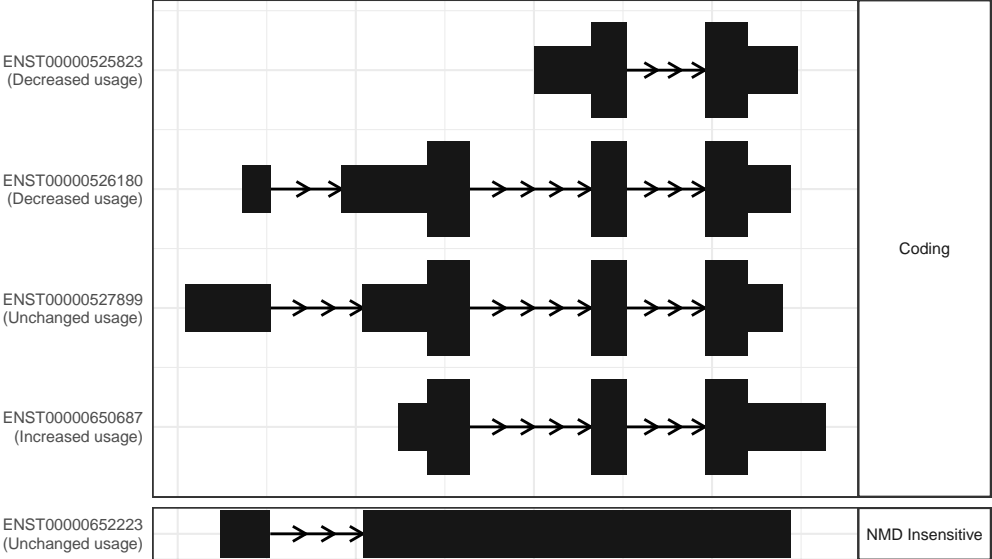
The isoform switch in BEX2 (RO_D209 vs RO_D45)



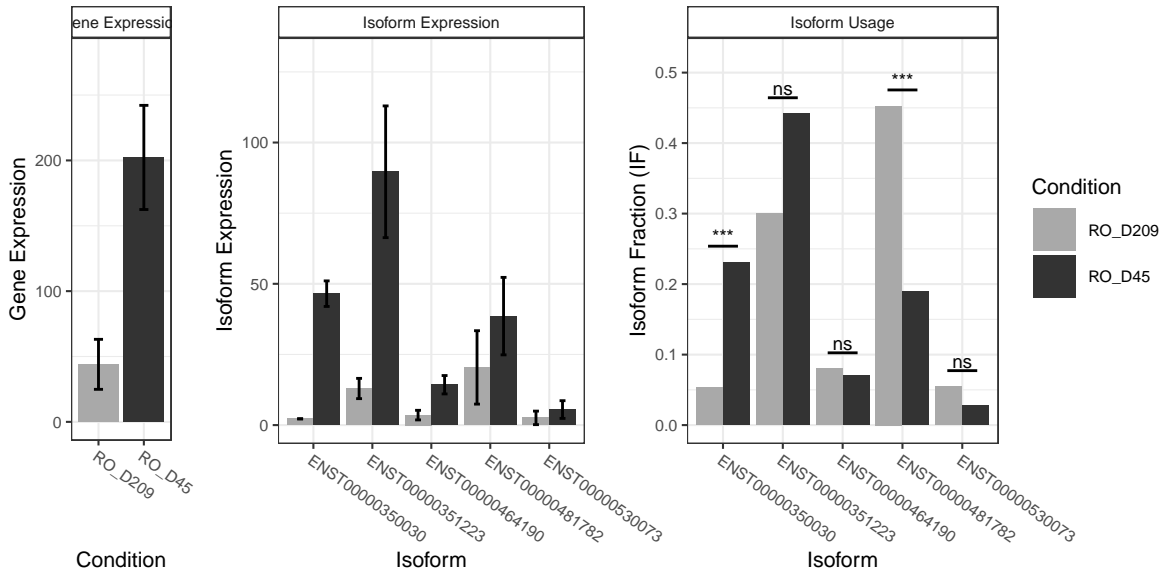
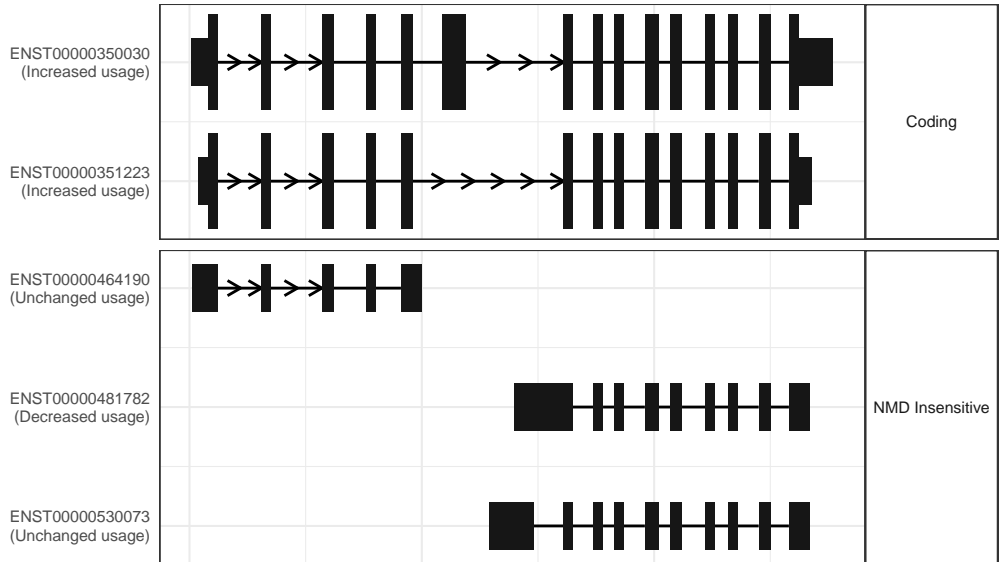
The isoform switch in WASH5P (RO_D209 vs RO_D45)



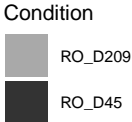
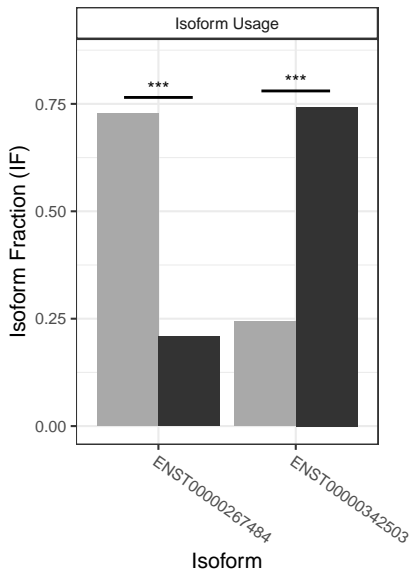
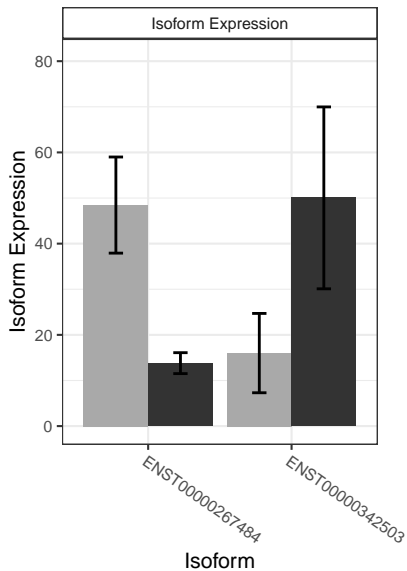
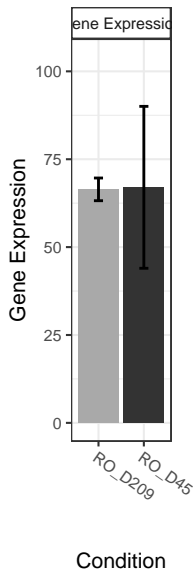
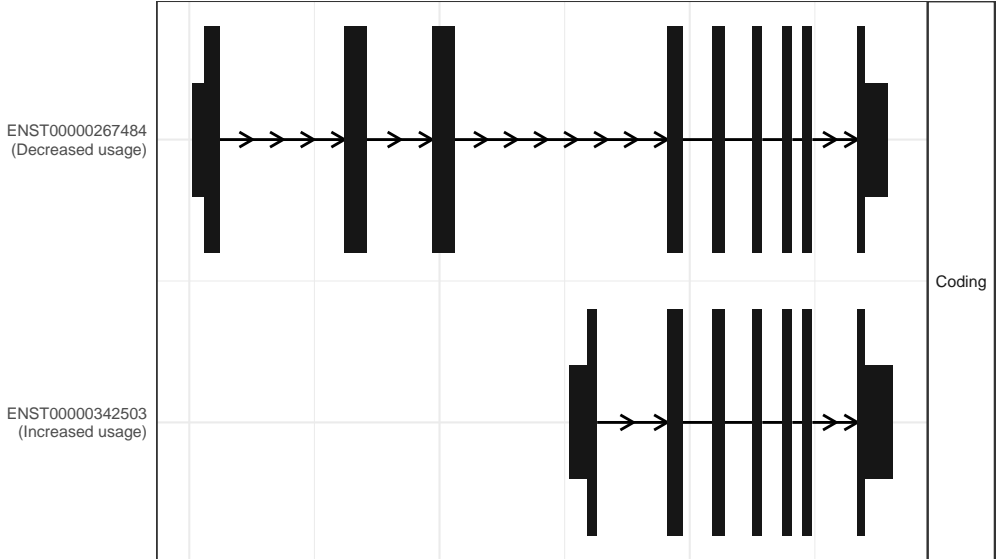
The isoform switch in CRYAB (RO_D209 vs RO_D45)



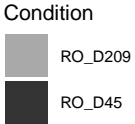
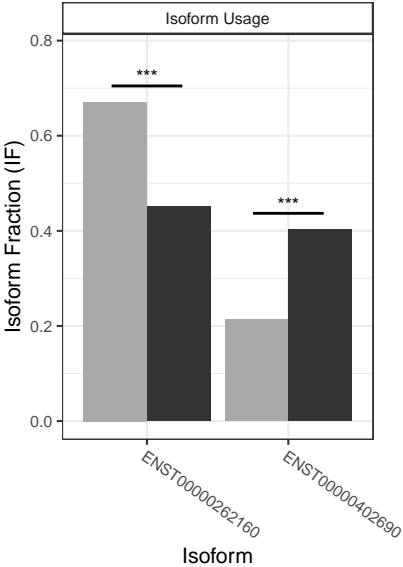
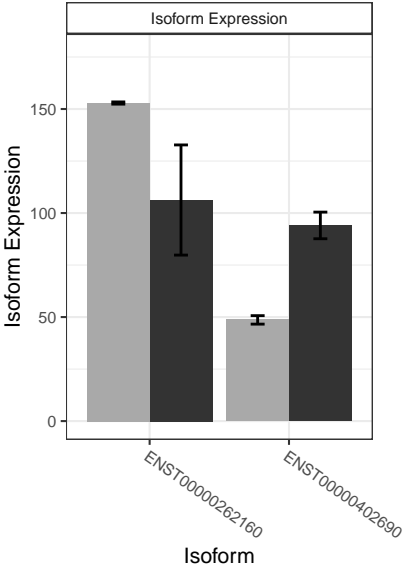
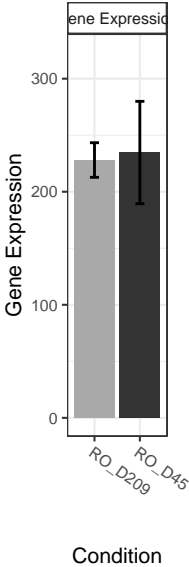
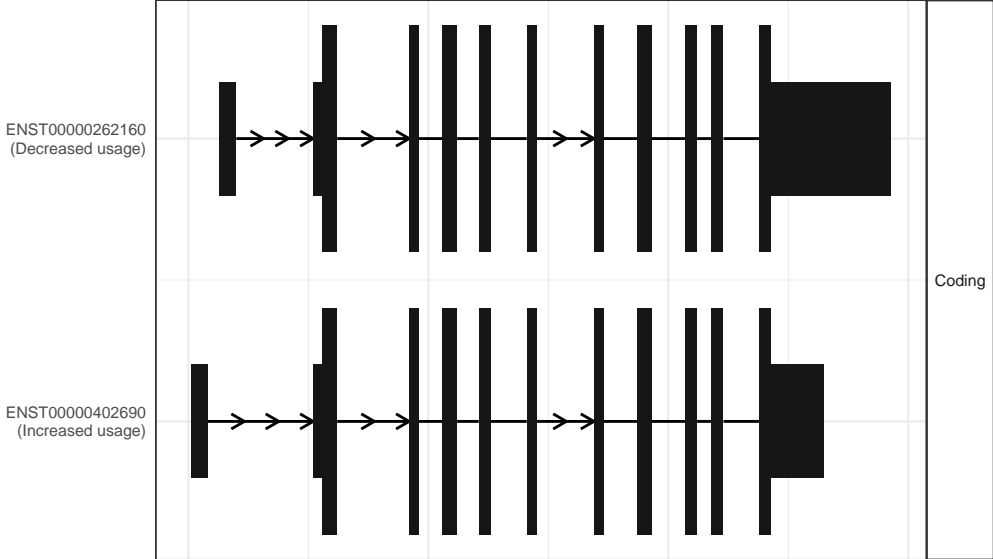
The isoform switch in NASP (RO_D209 vs RO_D45)



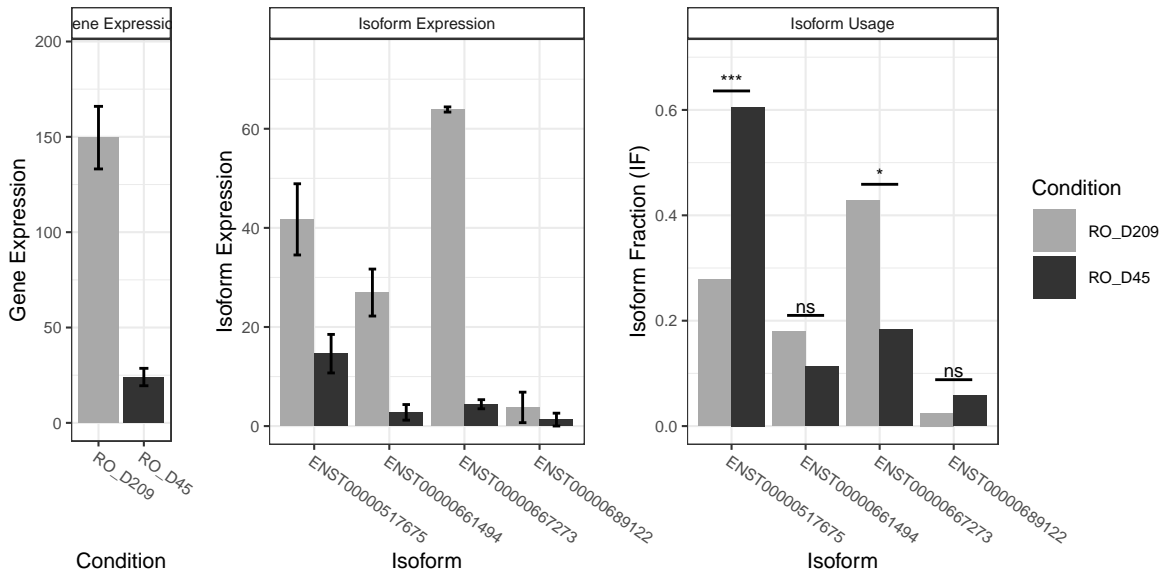
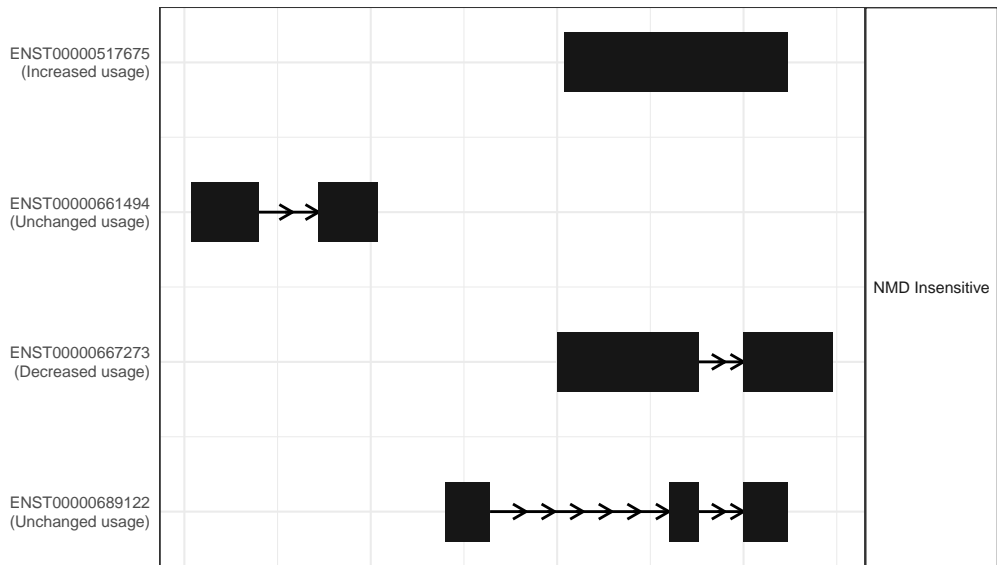
The isoform switch in RTN1 (RO_D209 vs RO_D45)



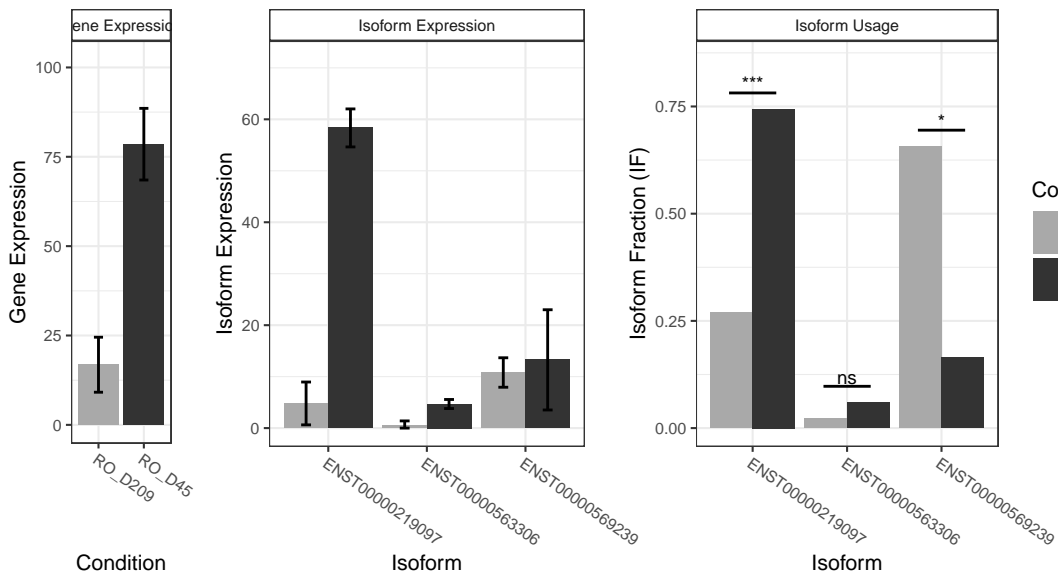
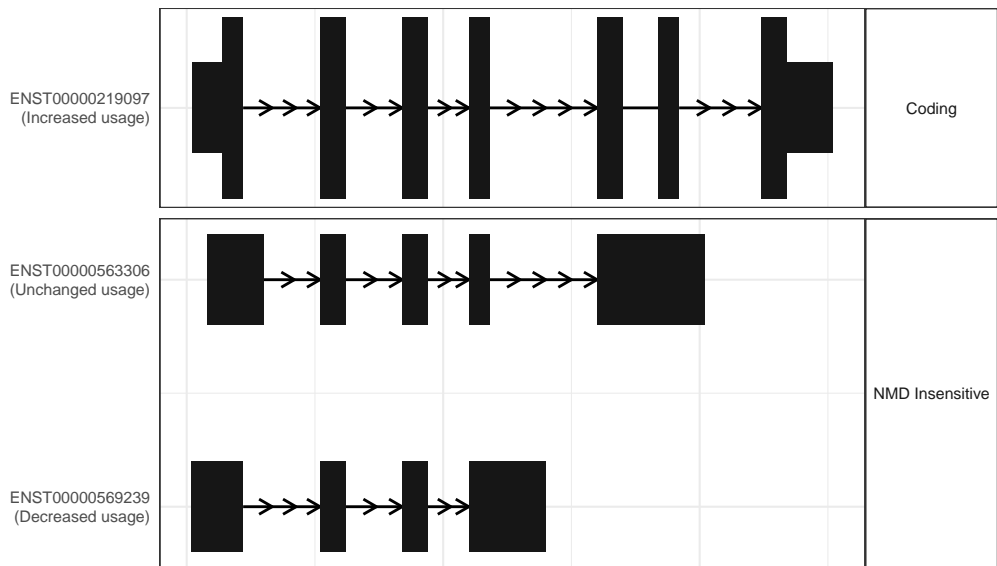
The isoform switch in SMAD2 (RO_D209 vs RO_D45)



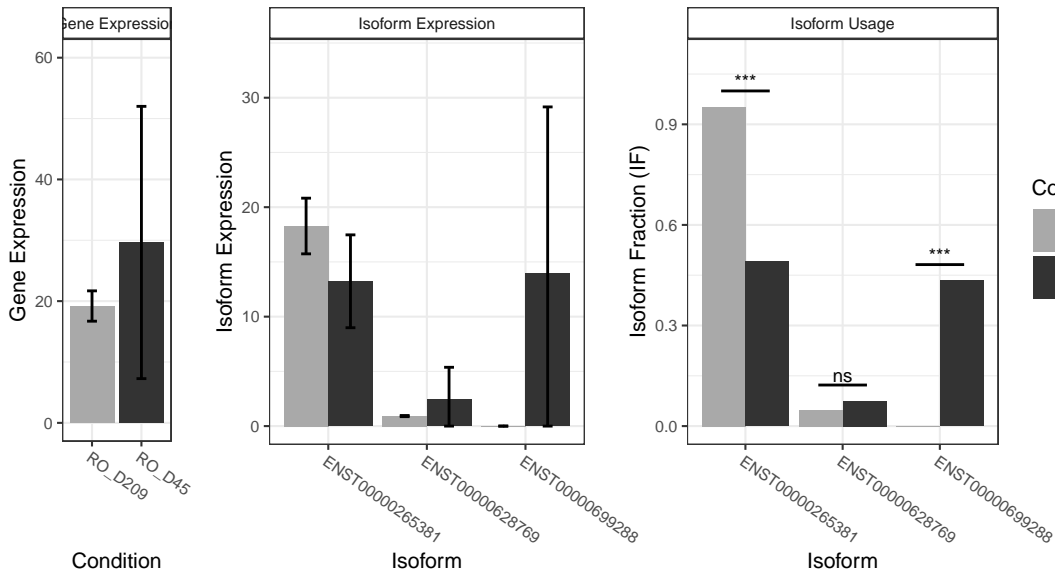
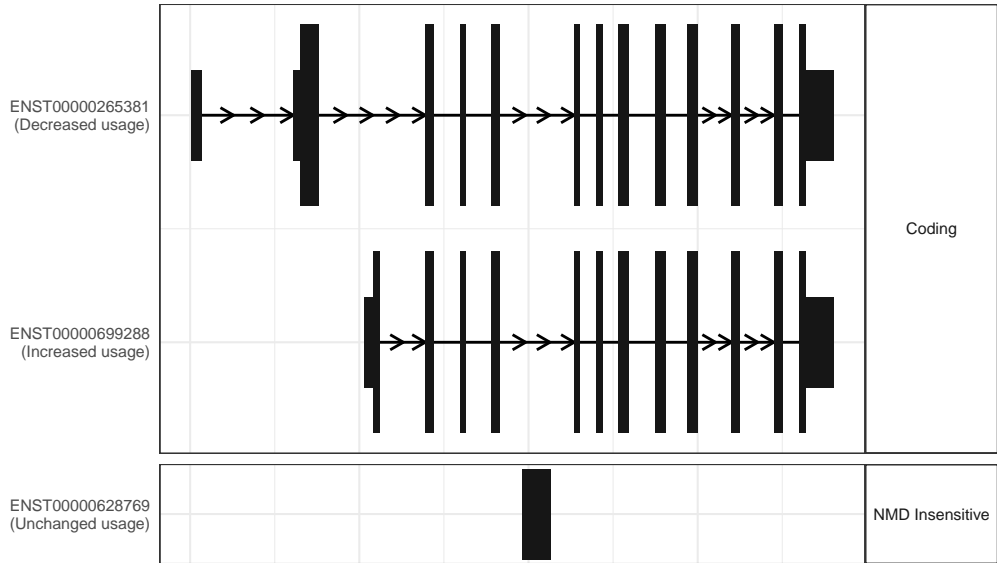
The isoform switch in MIR124-1HG (RO_D209 vs RO_D45)



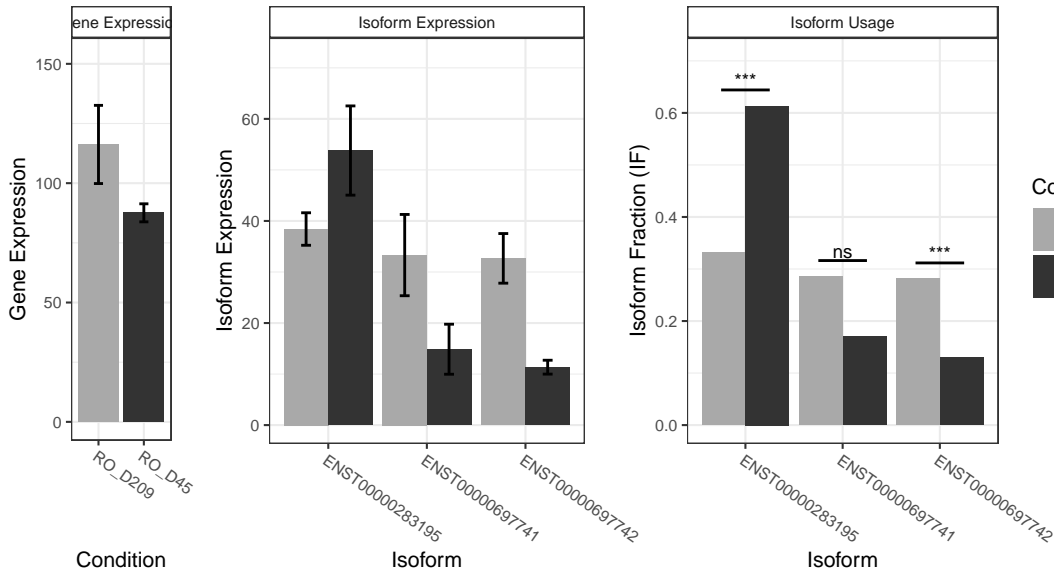
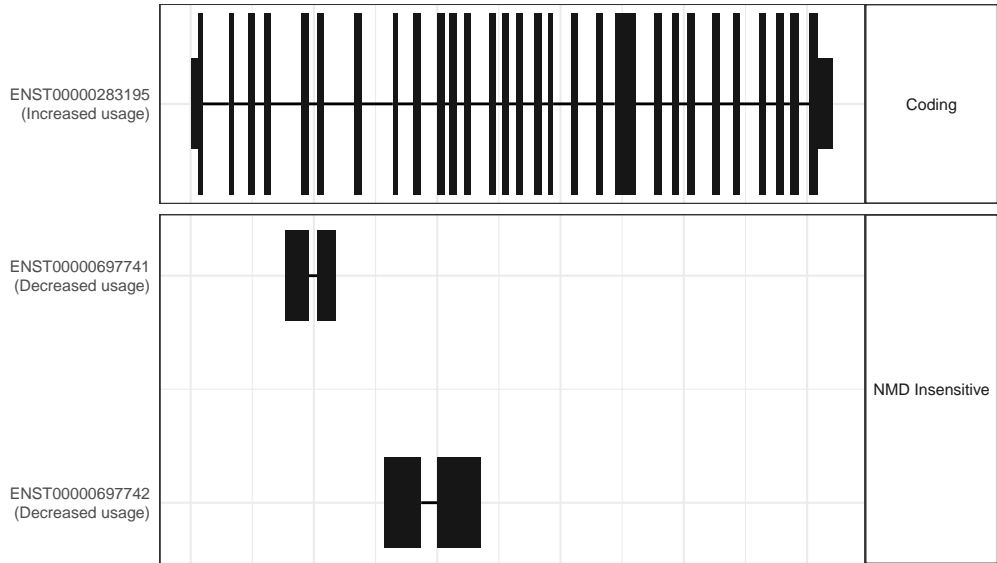
The isoform switch in ORC6 (RO_D209 vs RO_D45)



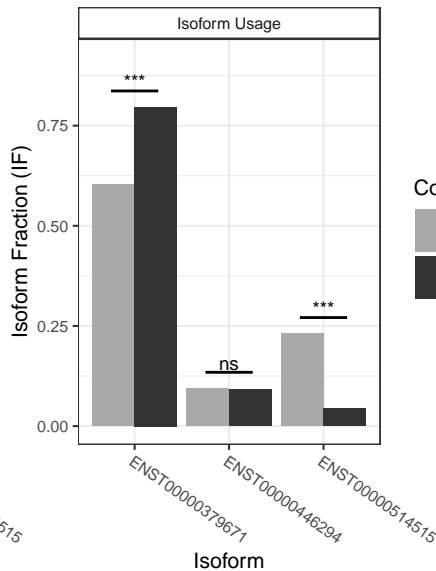
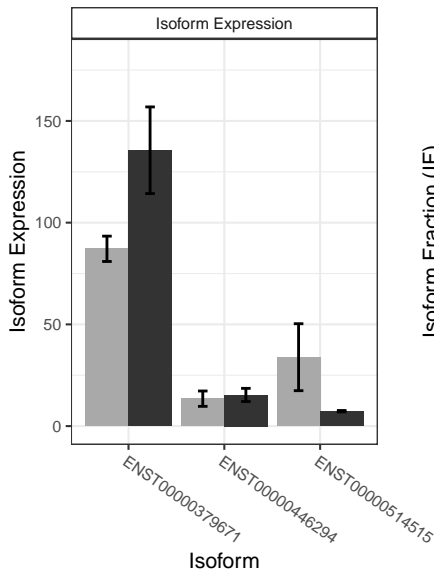
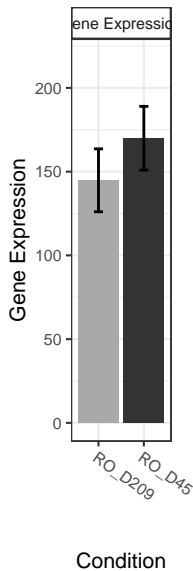
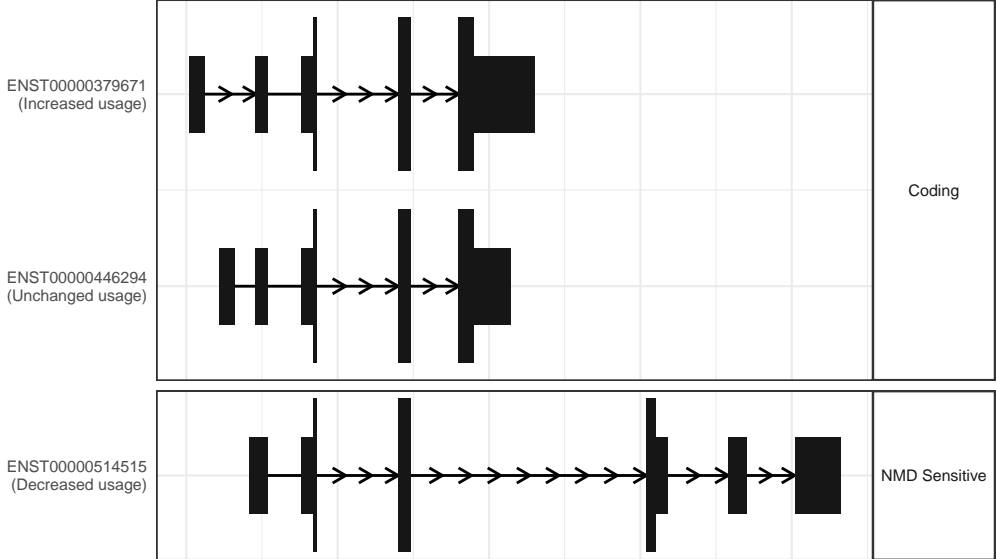
The isoform switch in APBA1 (RO_D209 vs RO_D45)



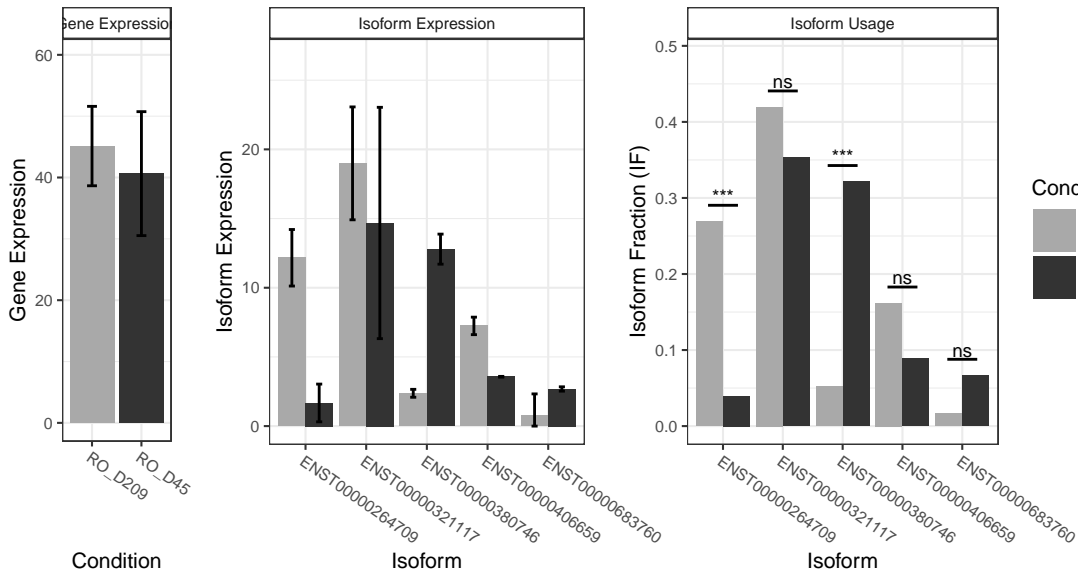
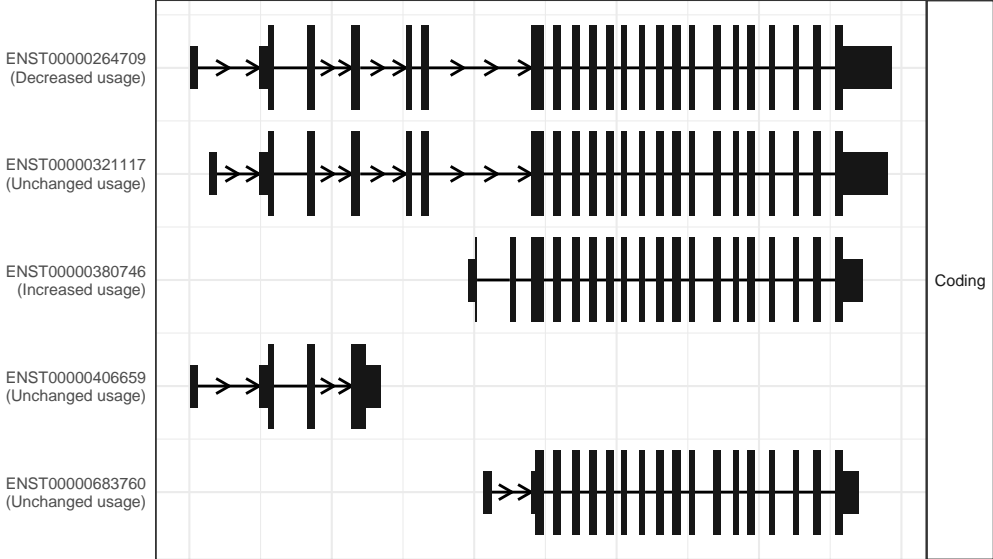
The isoform switch in RANBP2 (RO_D209 vs RO_D45)



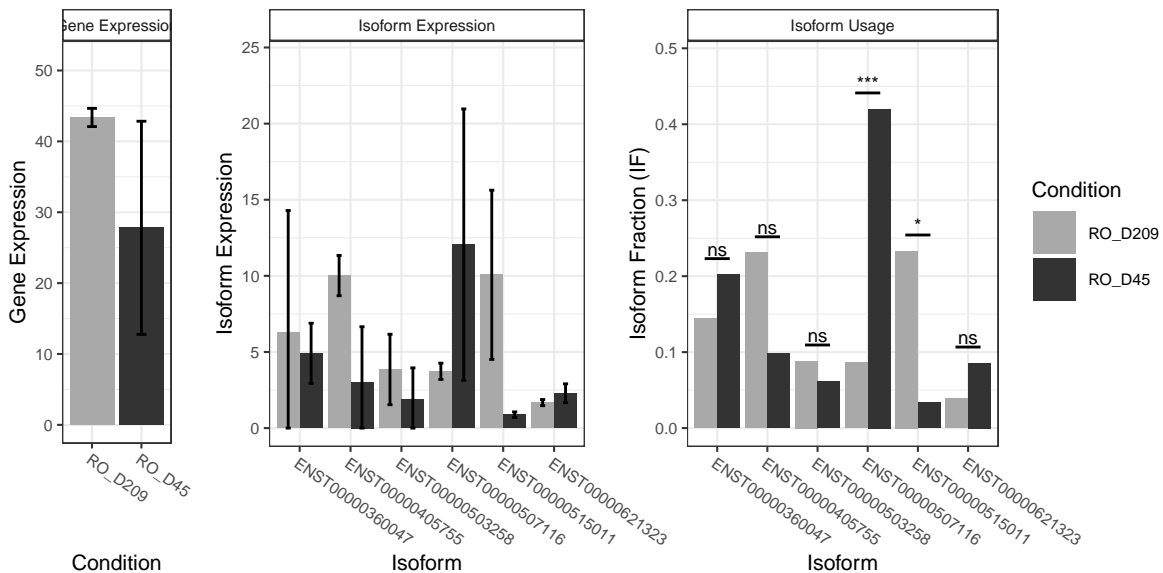
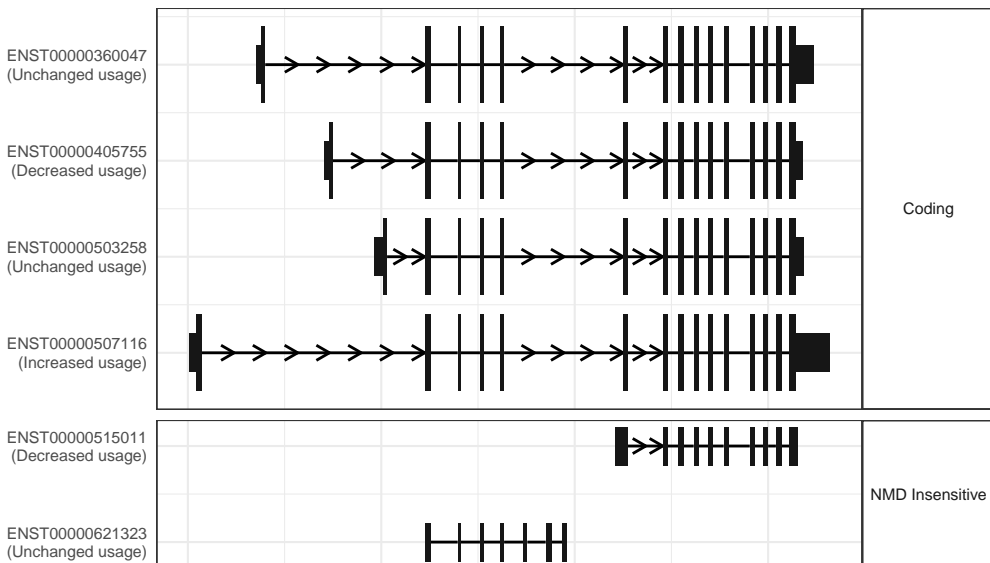
The isoform switch in NREP (RO_D209 vs RO_D45)



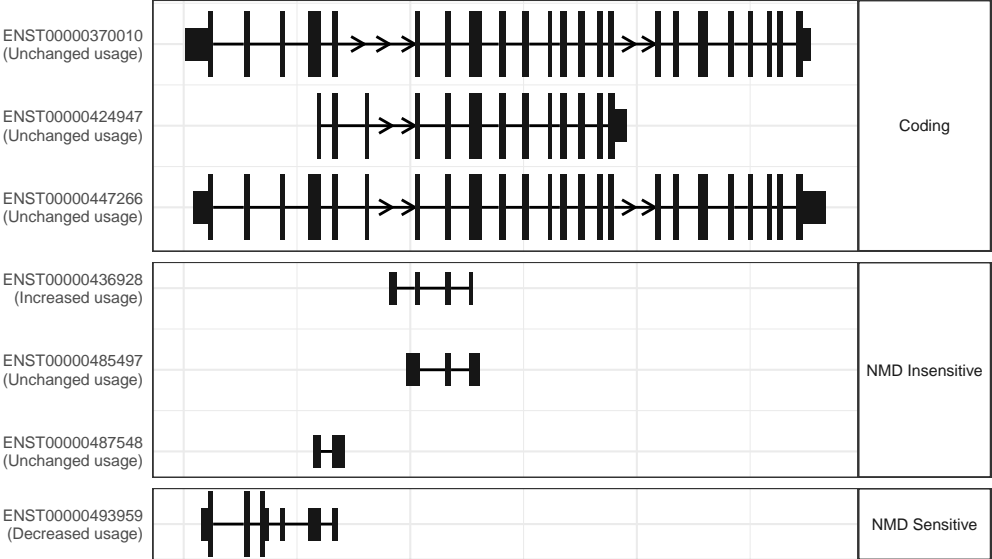
The isoform switch in DNMT3A (RO_D209 vs RO_D45)



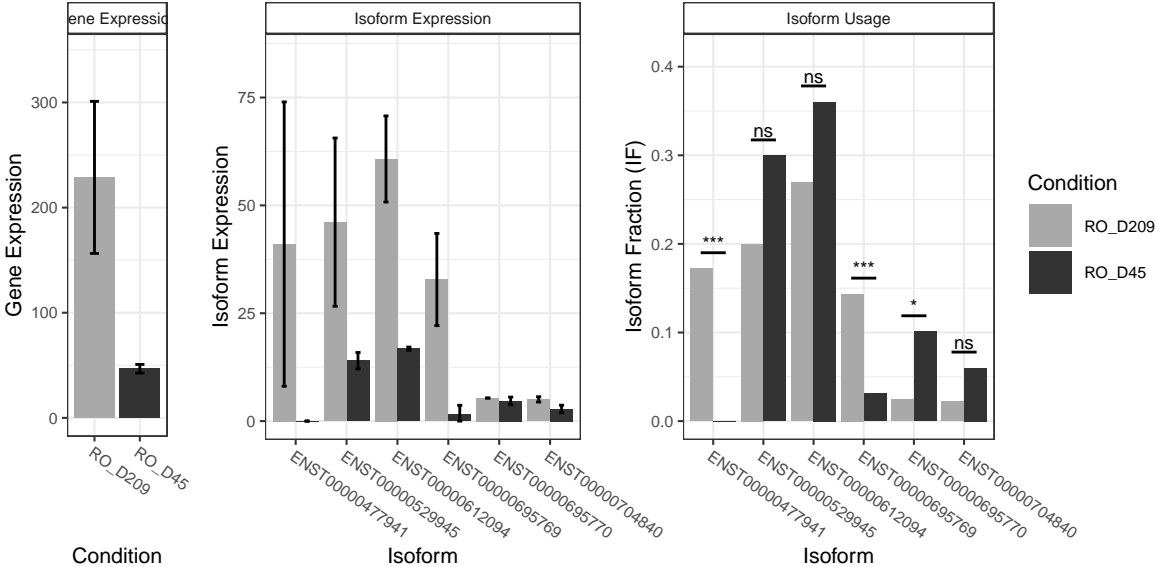
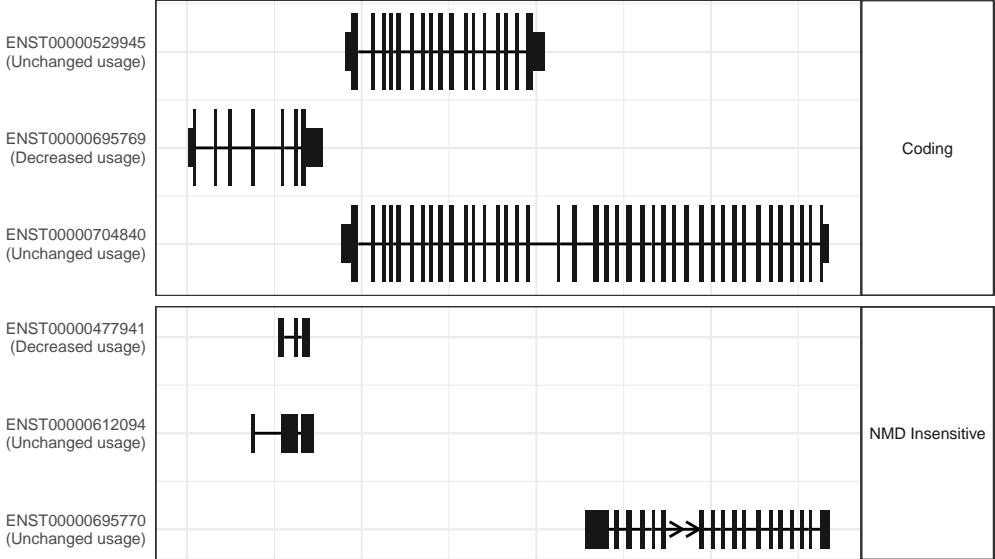
The isoform switch in PDE4D (RO_D209 vs RO_D45)



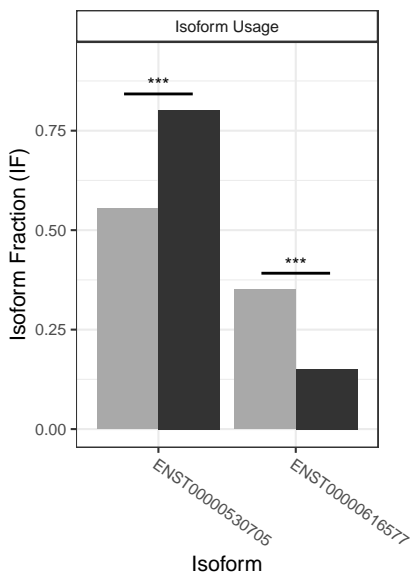
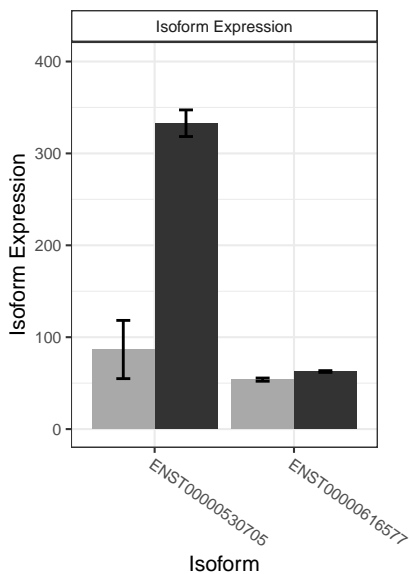
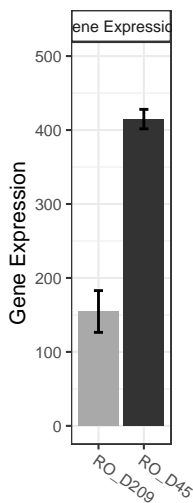
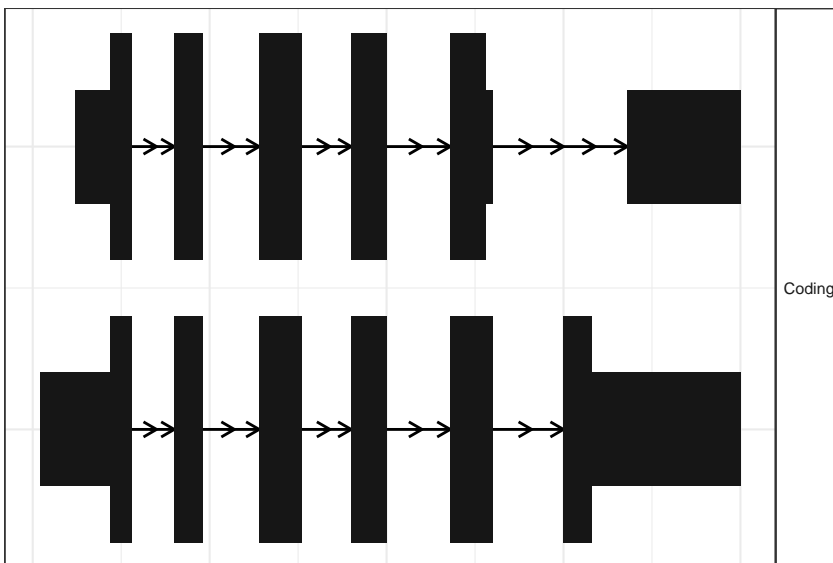
The isoform switch in SENP6 (RO_D209 vs RO_D45)



The isoform switch in PDE4DIP (RO_D209 vs RO_D45)



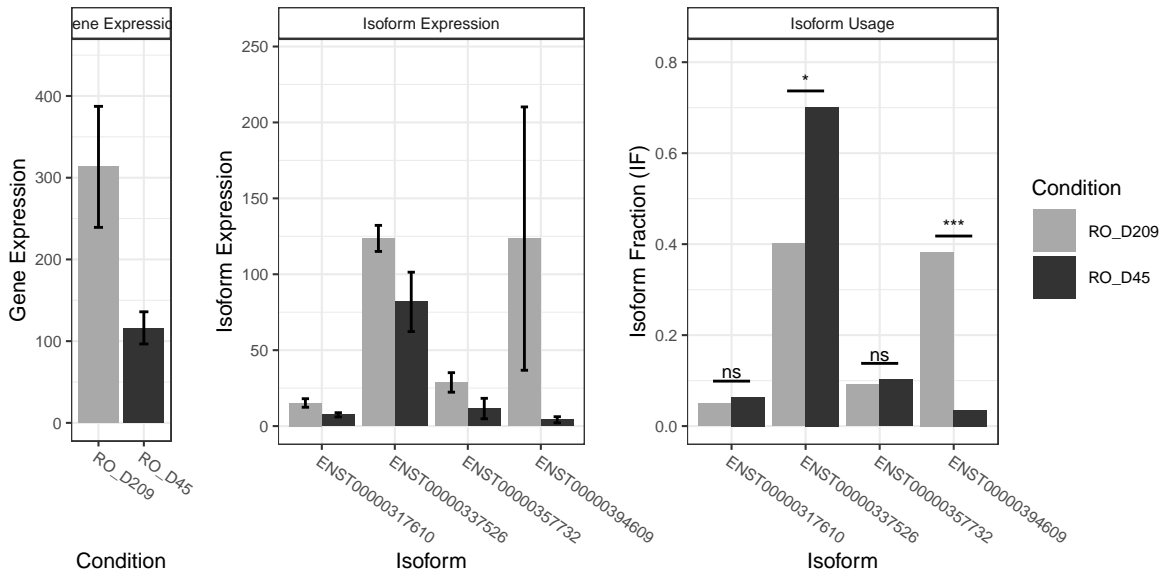
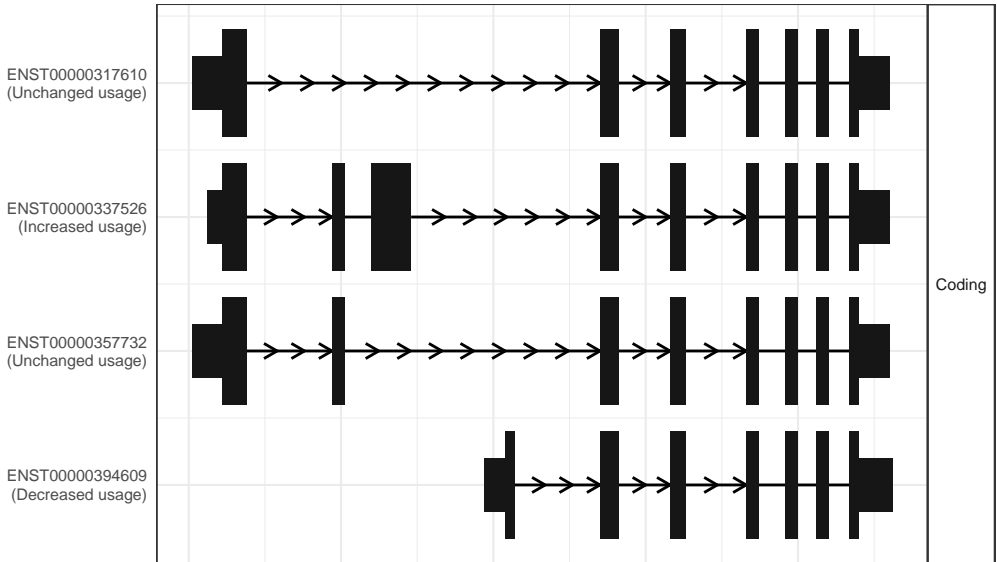
The isoform switch in TPT1 (RO_D209 vs RO_D45)



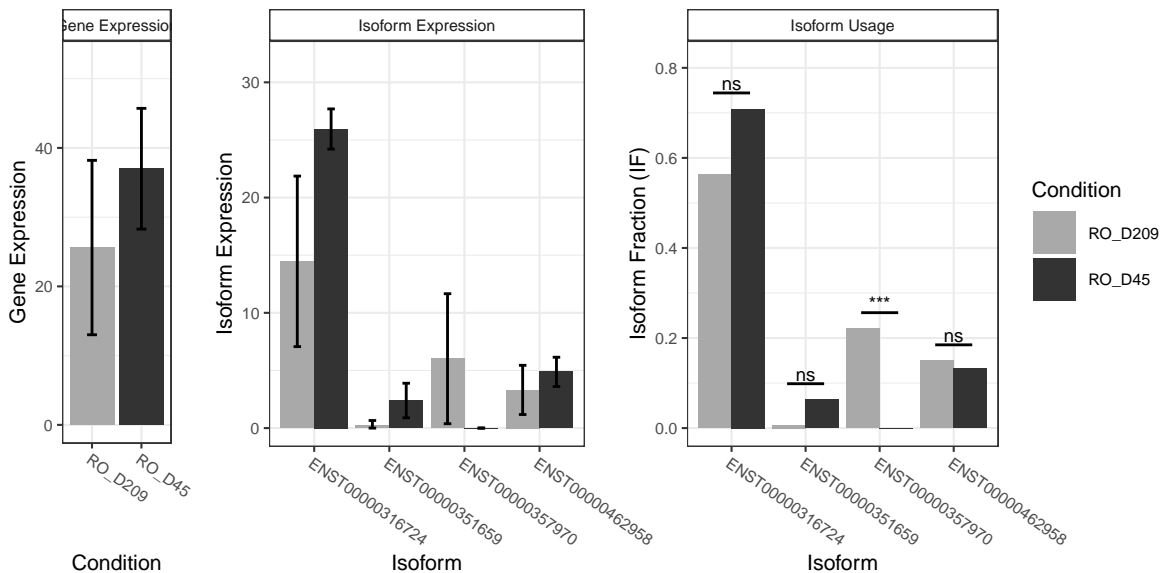
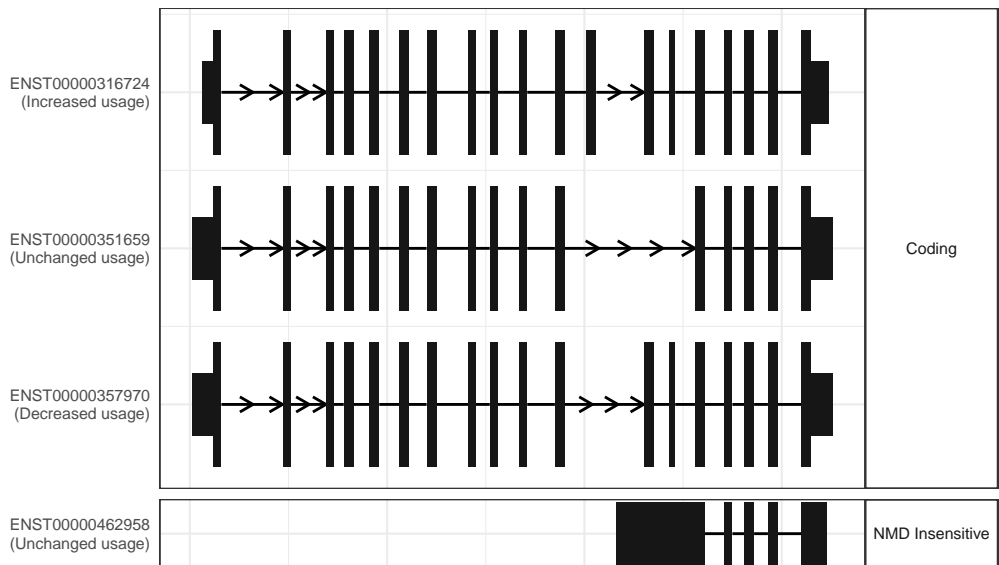
Condition



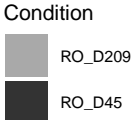
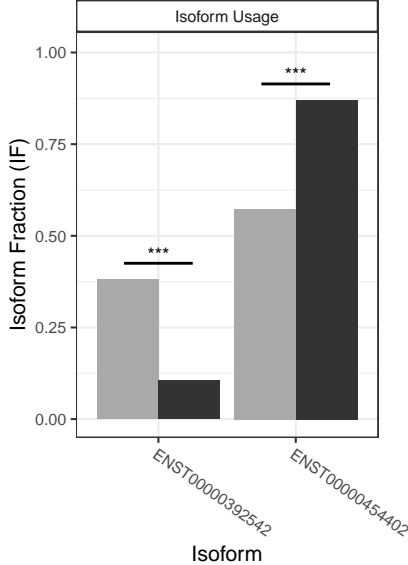
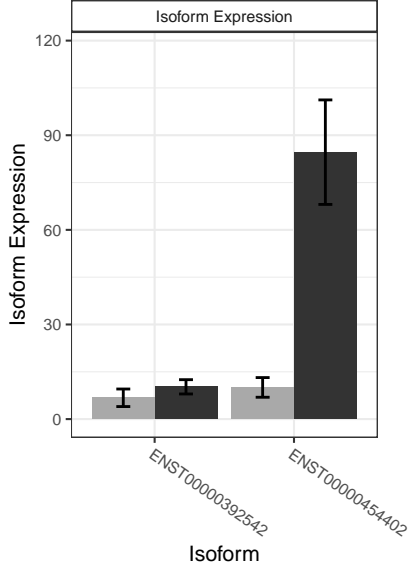
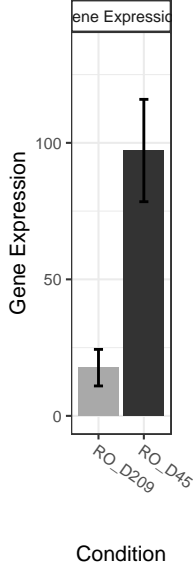
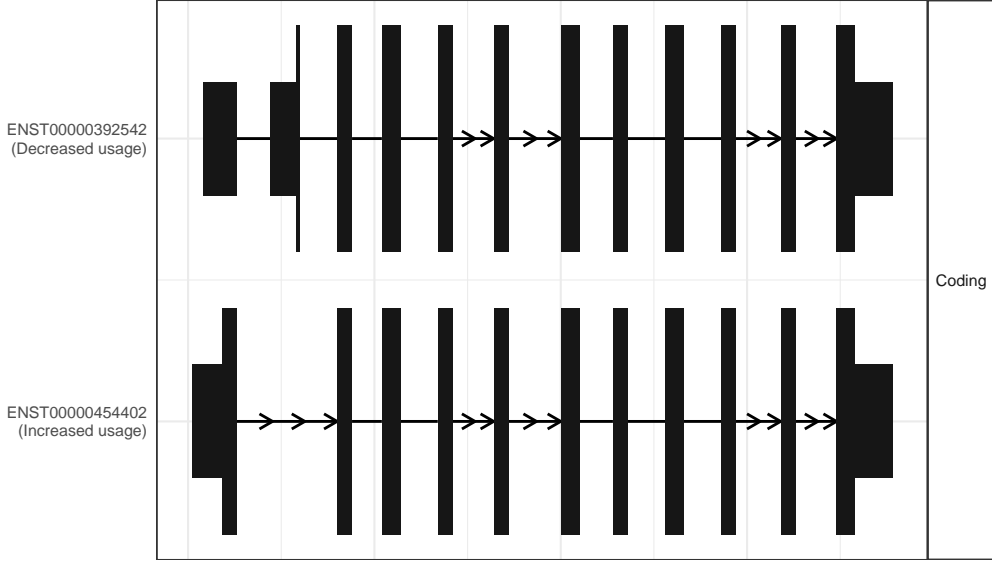
The isoform switch in RTN4 (RO_D209 vs RO_D45)



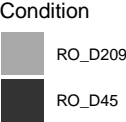
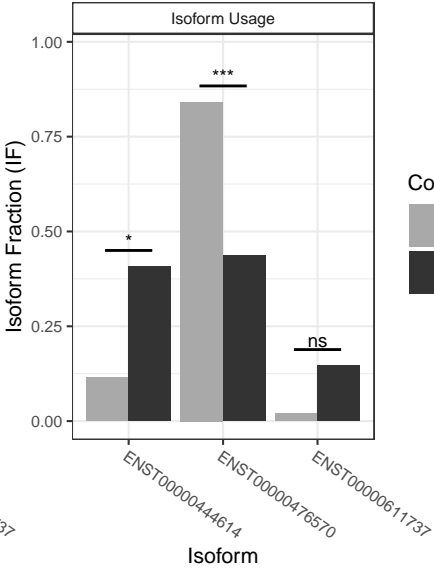
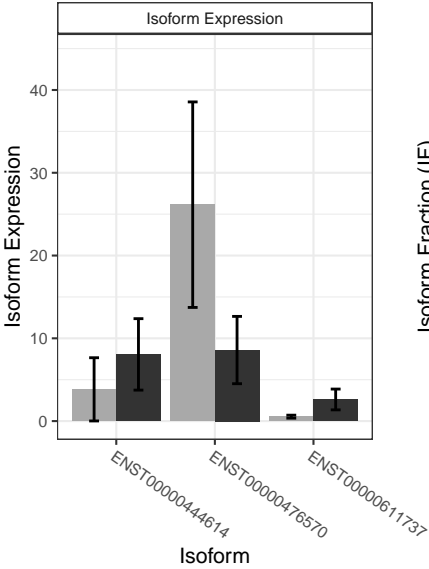
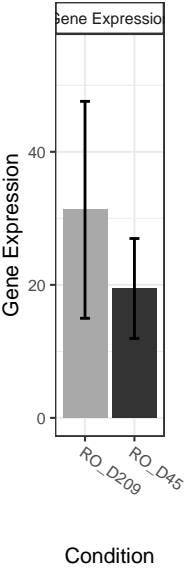
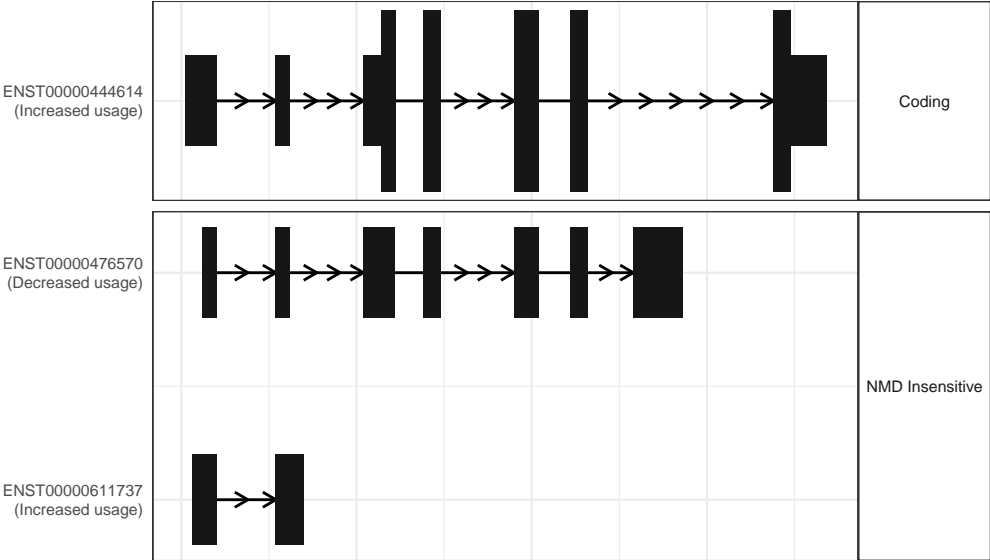
The isoform switch in BIN1 (RO_D209 vs RO_D45)



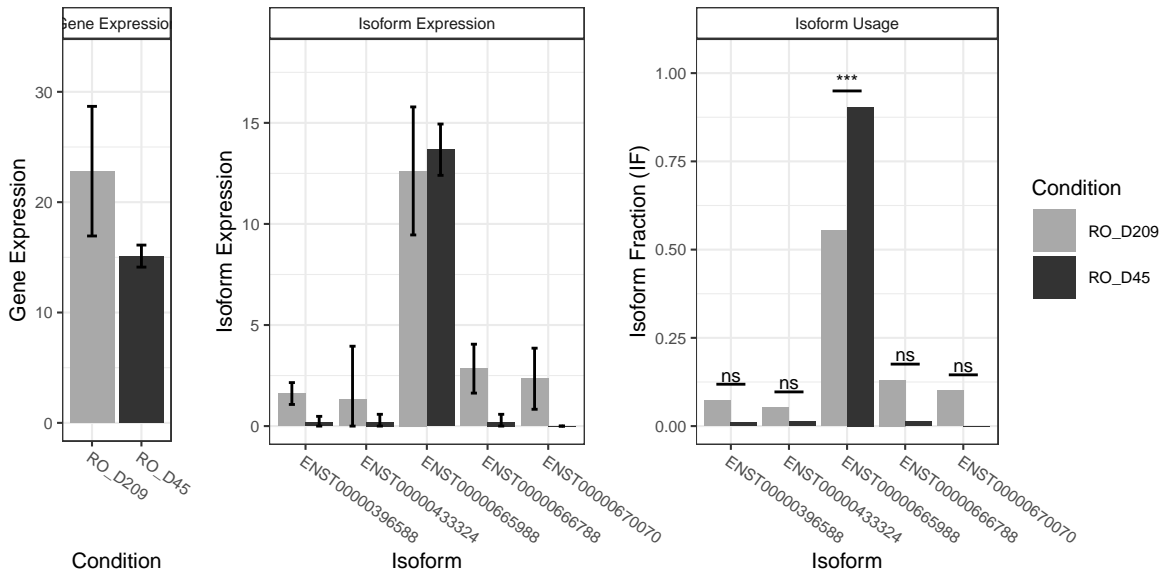
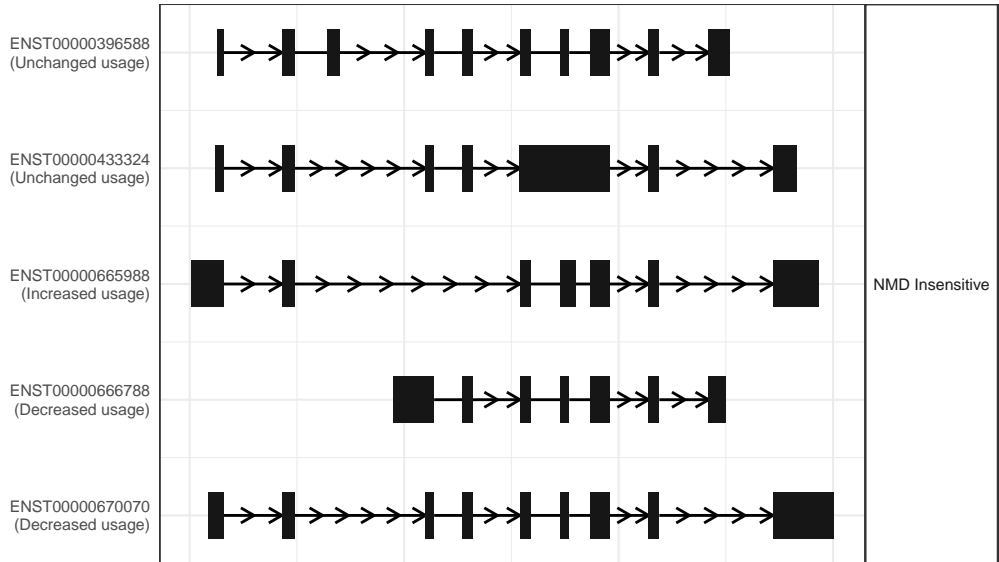
The isoform switch in RFC5 (RO_D209 vs RO_D45)



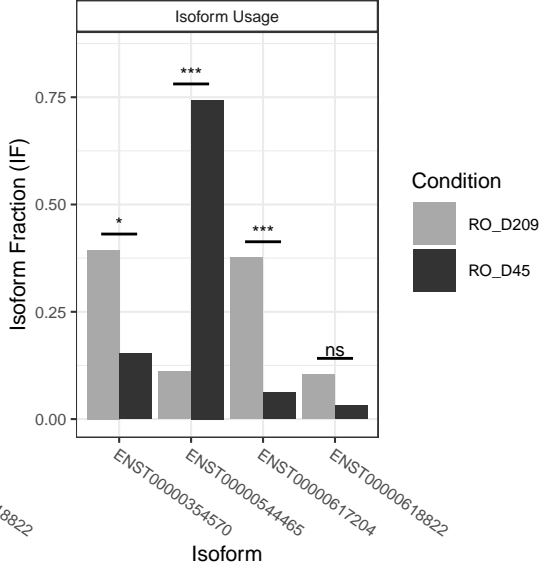
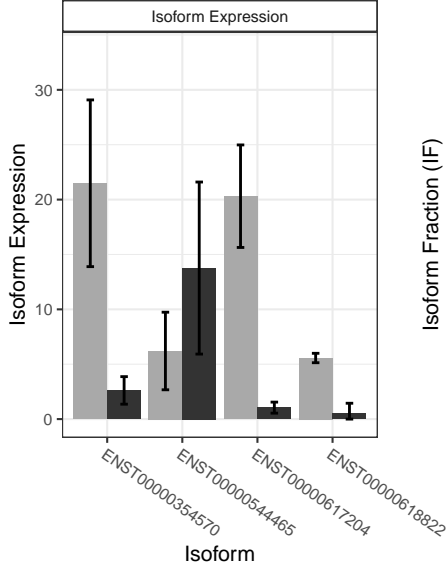
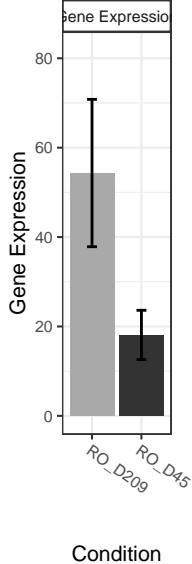
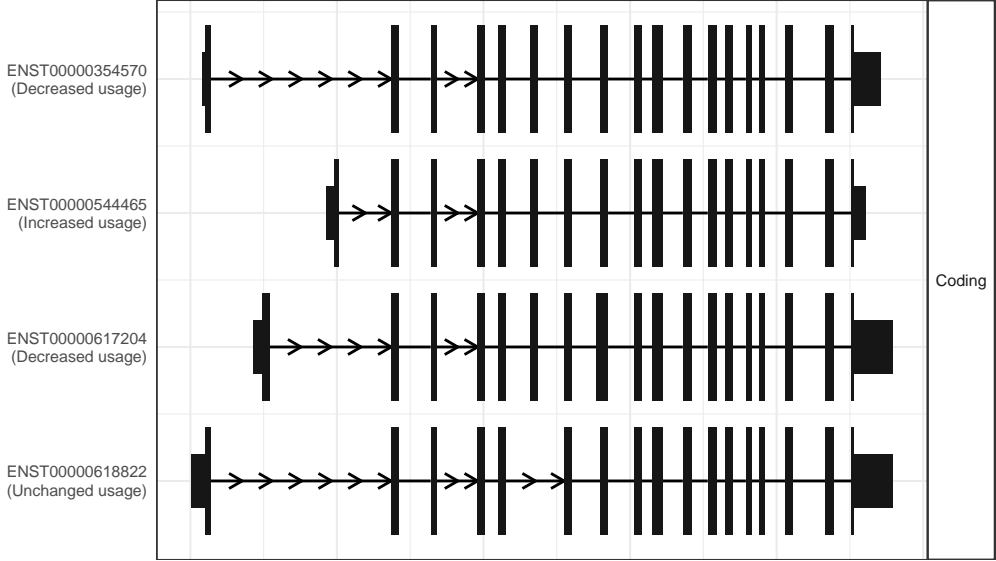
The isoform switch in CCDC122 (RO_D209 vs RO_D45)



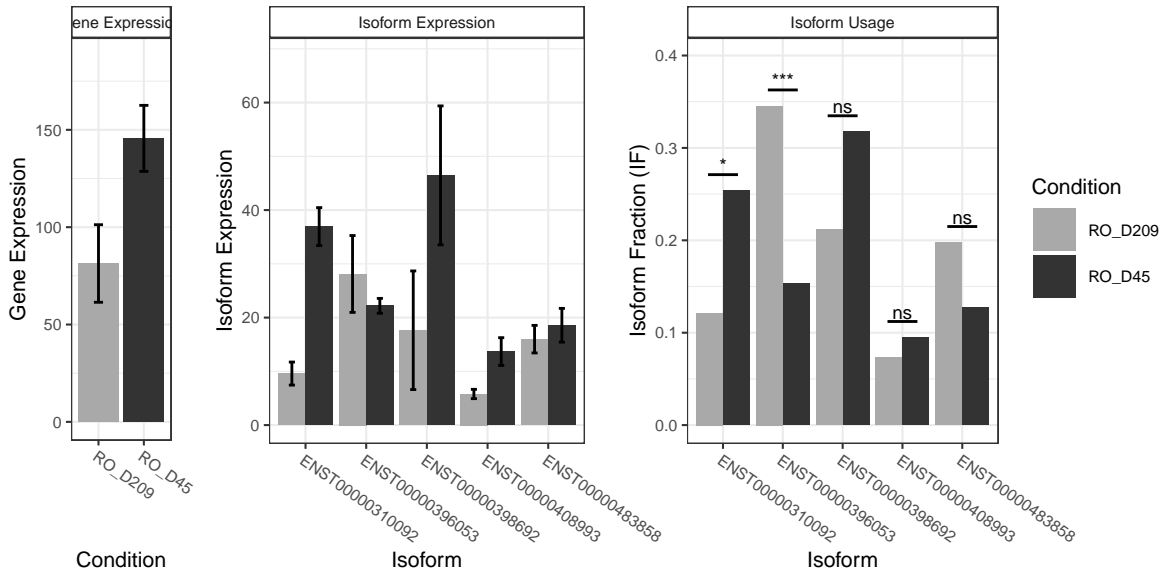
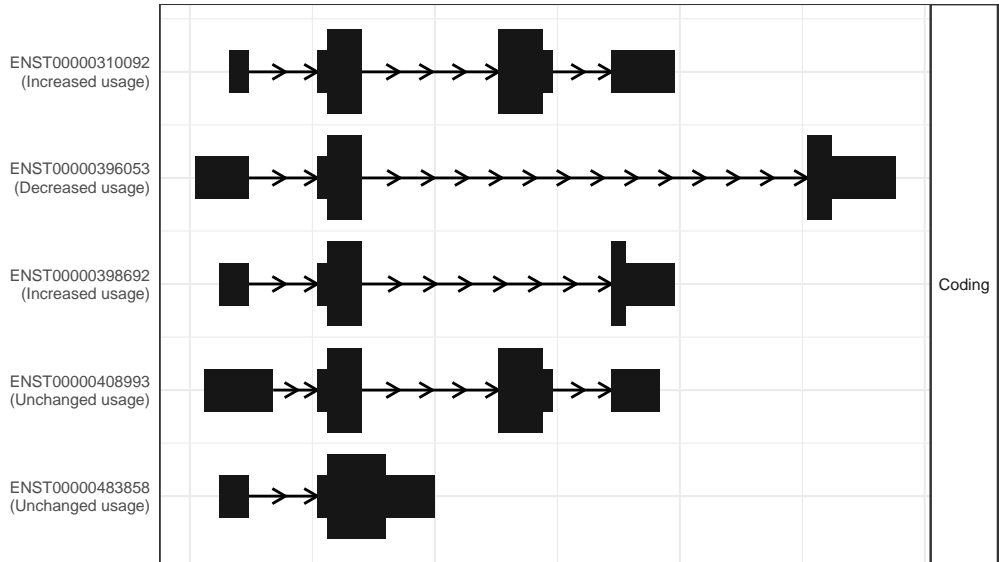
The isoform switch in MFF-DT (RO_D209 vs RO_D45)



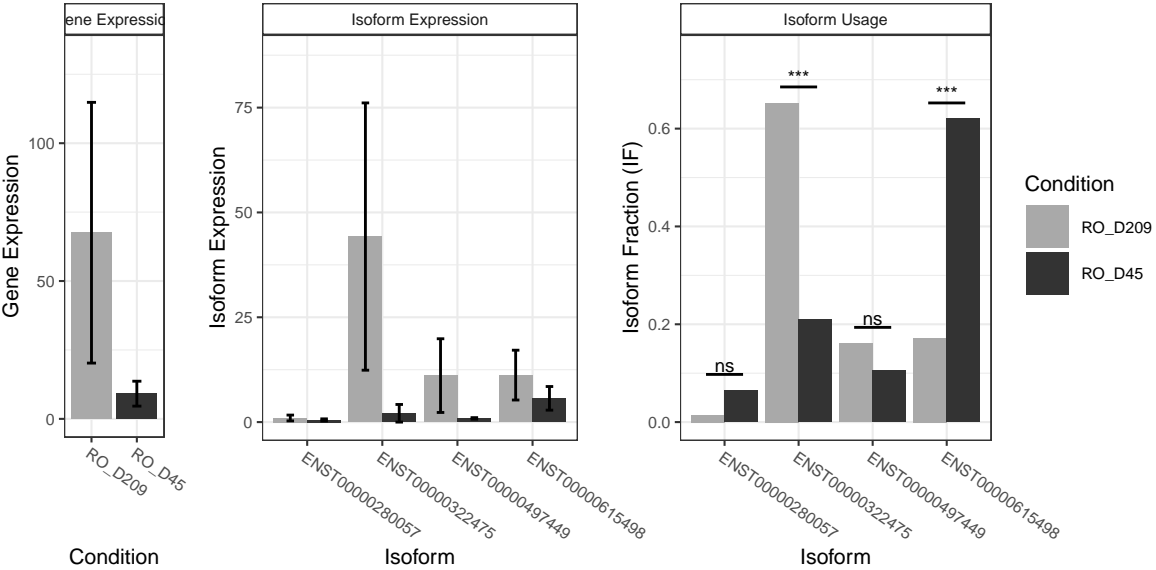
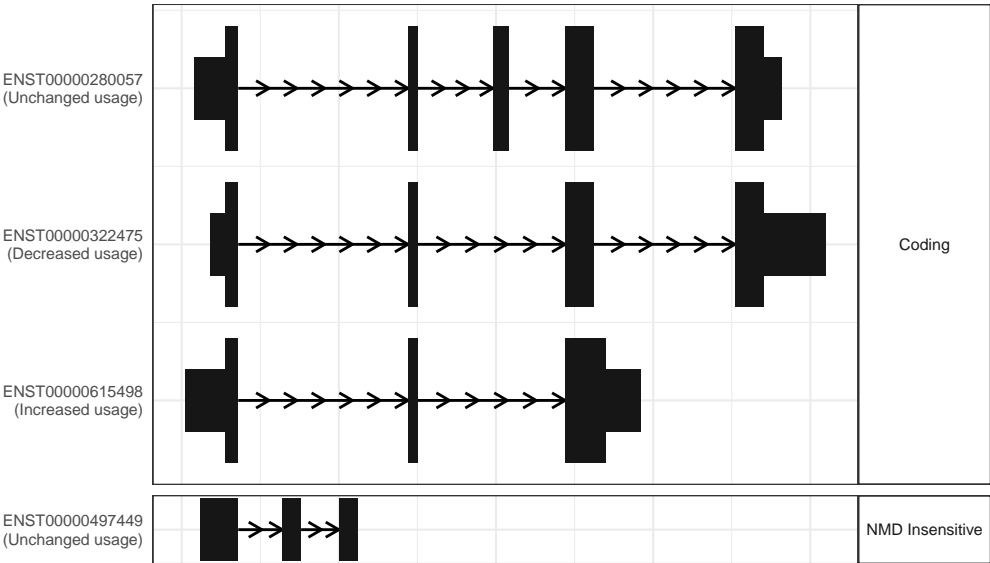
The isoform switch in MAP7 (RO_D209 vs RO_D45)



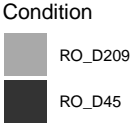
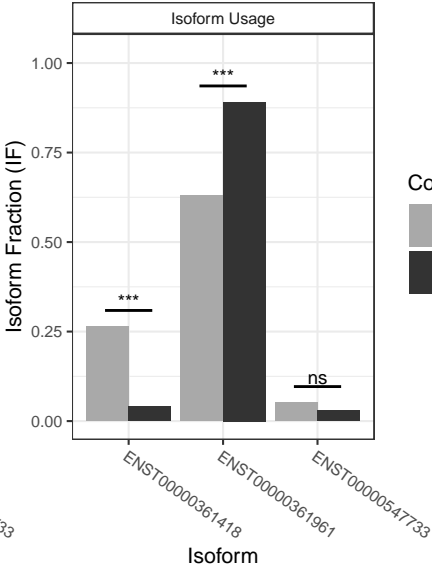
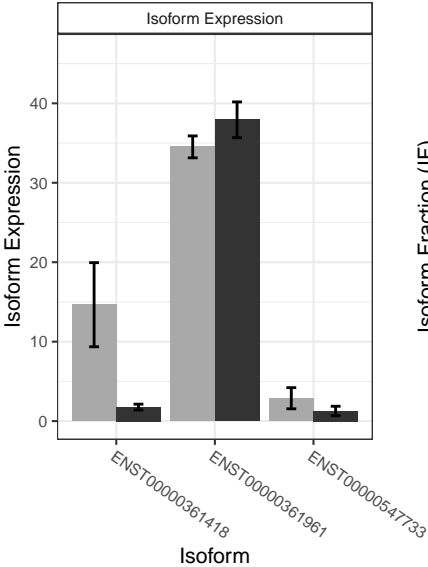
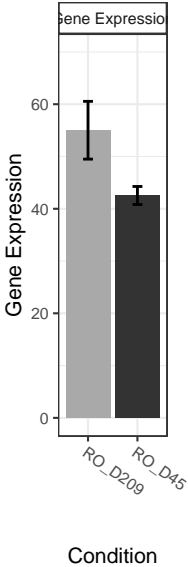
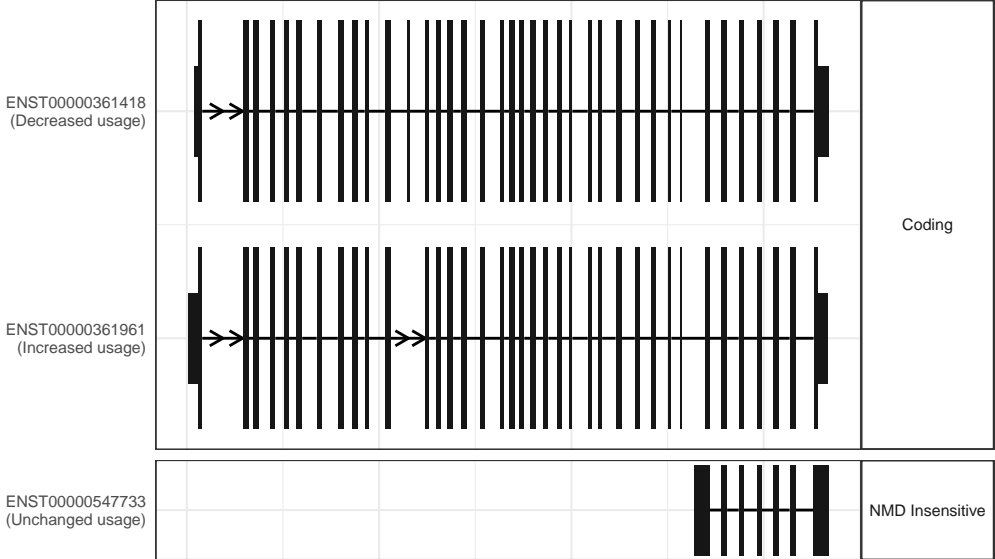
The isoform switch in RBM4 (RO_D209 vs RO_D45)



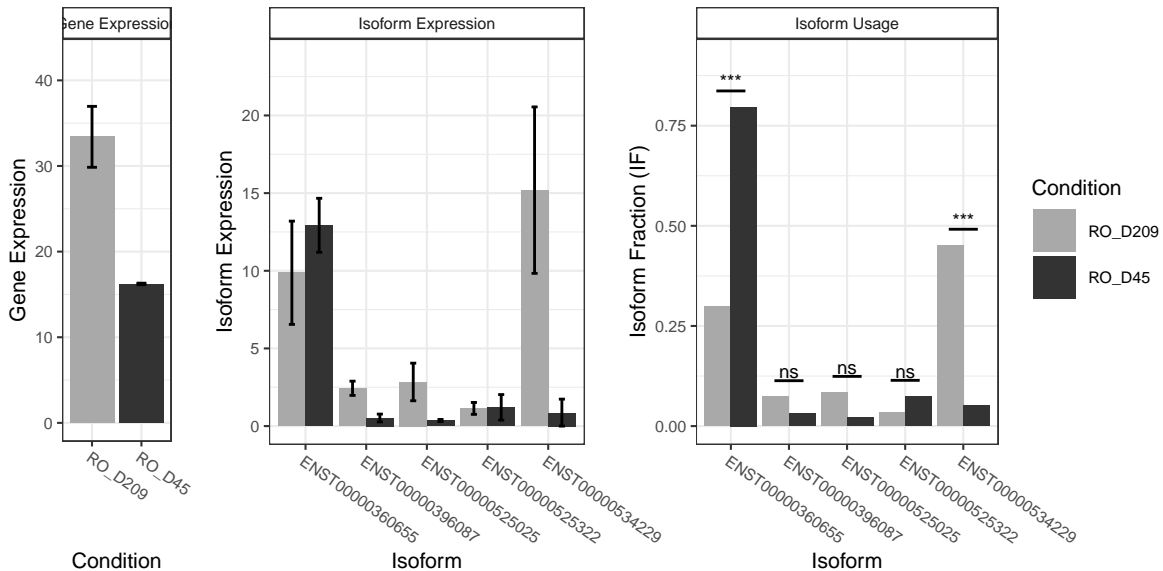
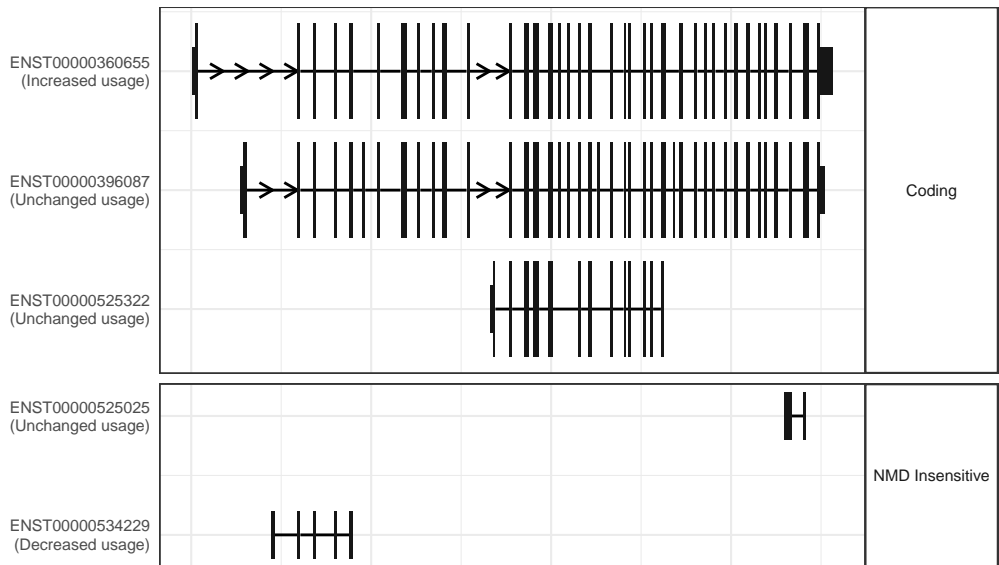
The isoform switch in FAM124A (RO_D209 vs RO_D45)



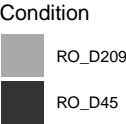
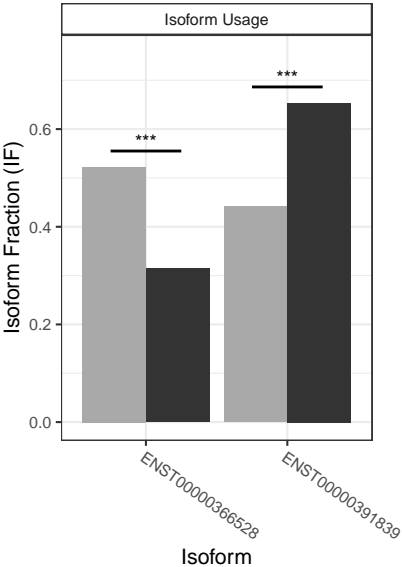
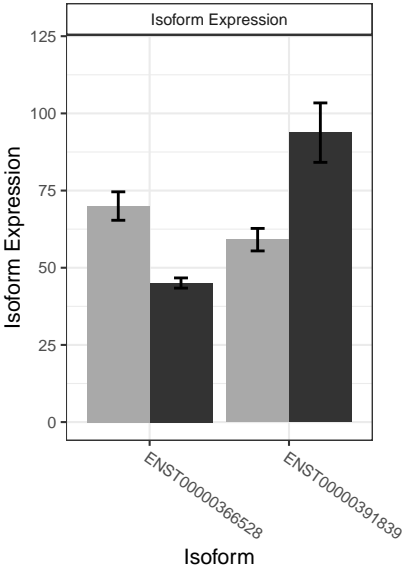
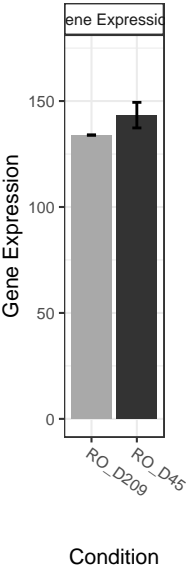
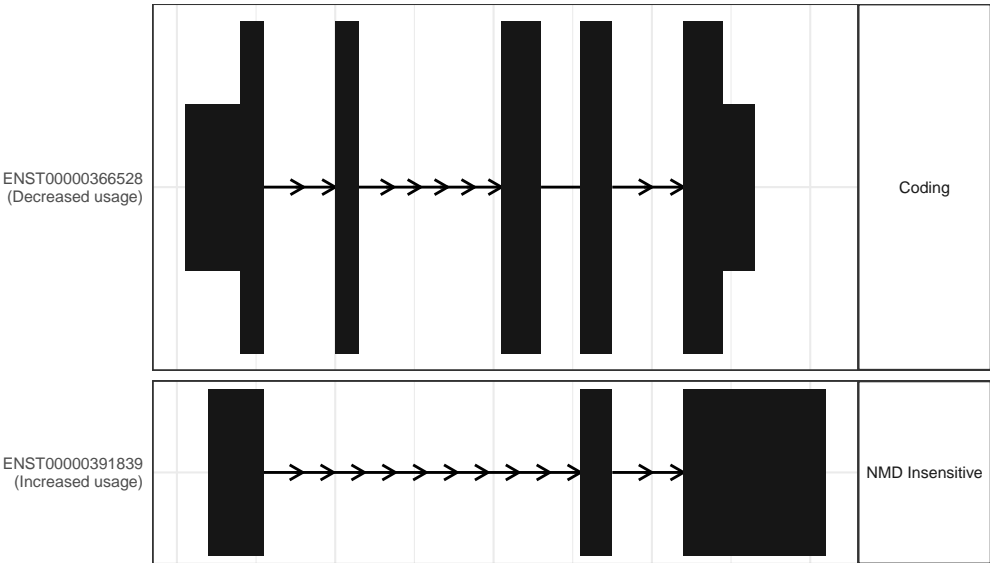
The isoform switch in KIF21A (RO_D209 vs RO_D45)



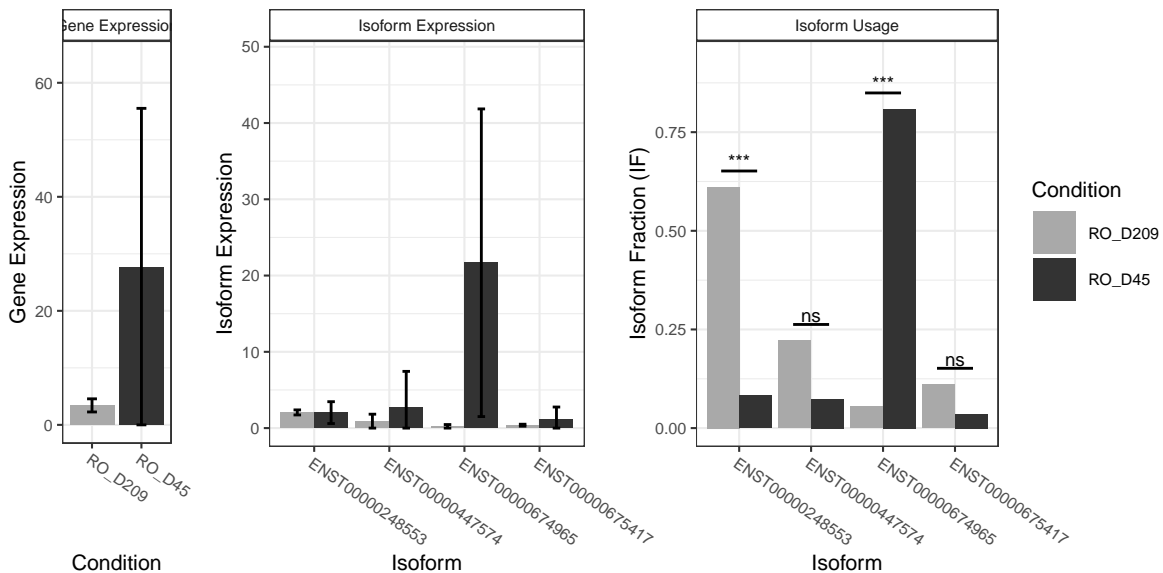
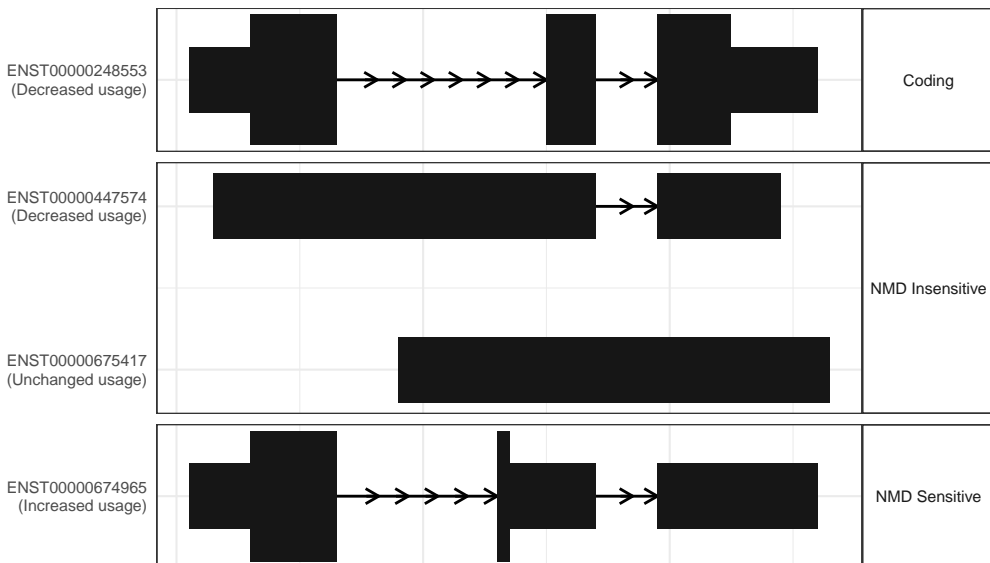
The isoform switch in NAV2 (RO_D209 vs RO_D45)



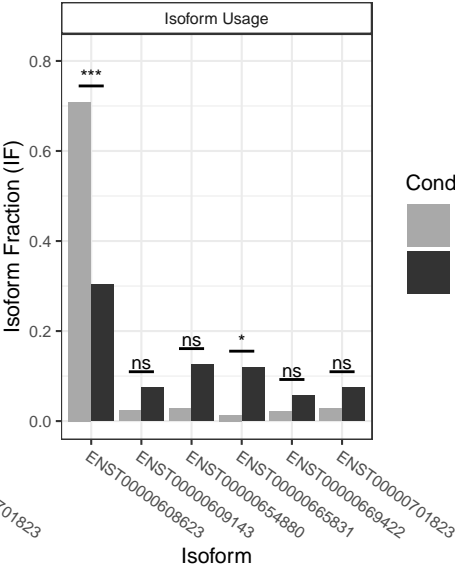
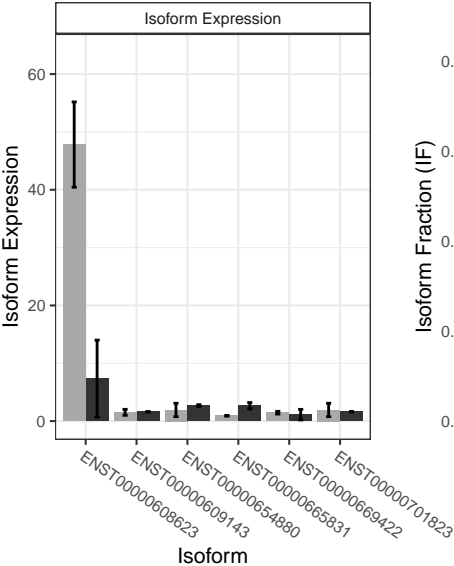
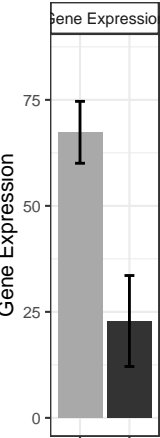
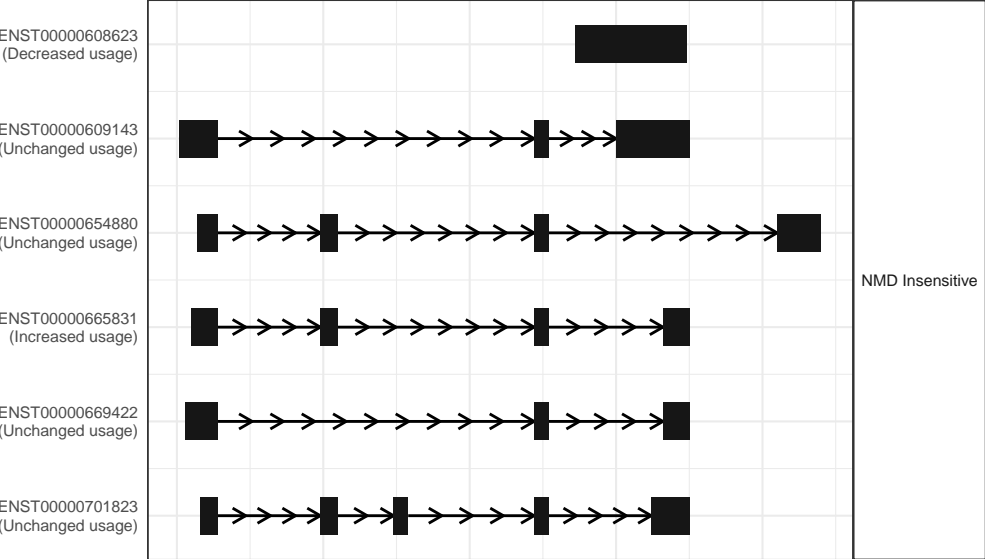
The isoform switch in COX20 (RO_D209 vs RO_D45)



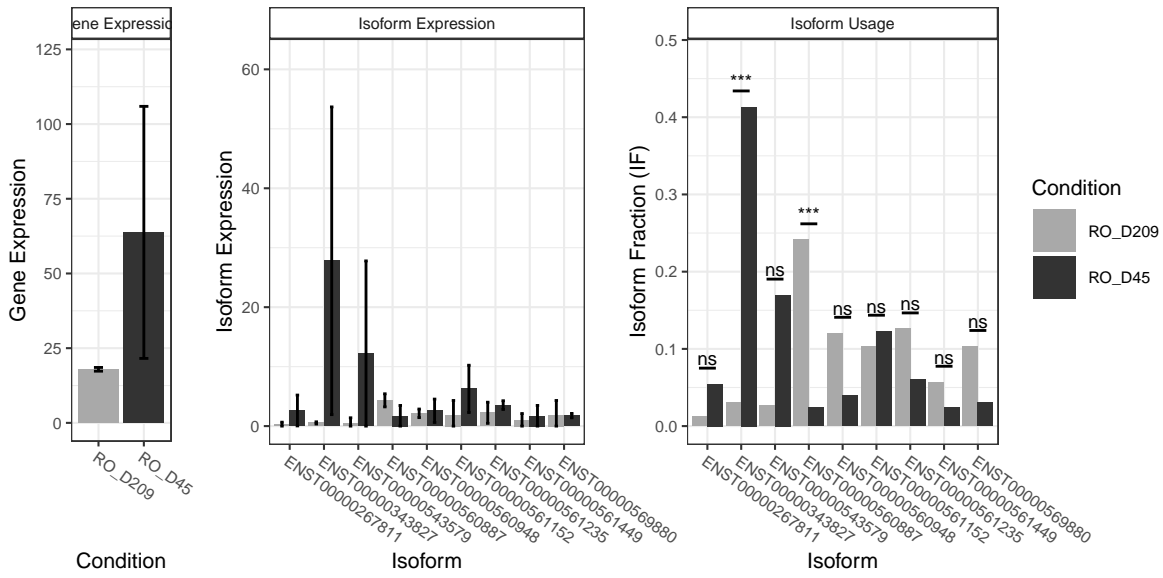
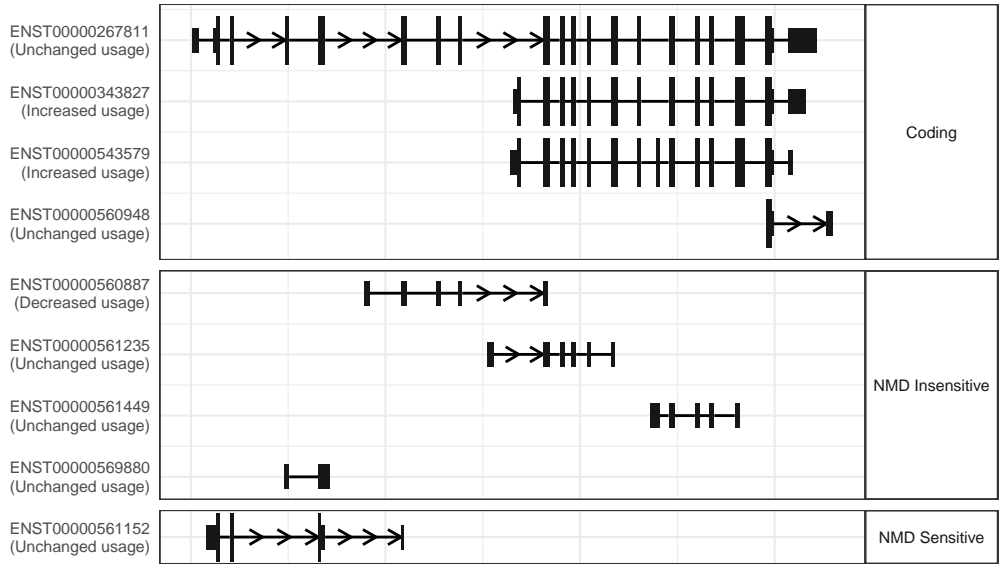
The isoform switch in HSPB1 (RO_D209 vs RO_D45)



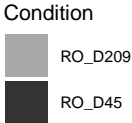
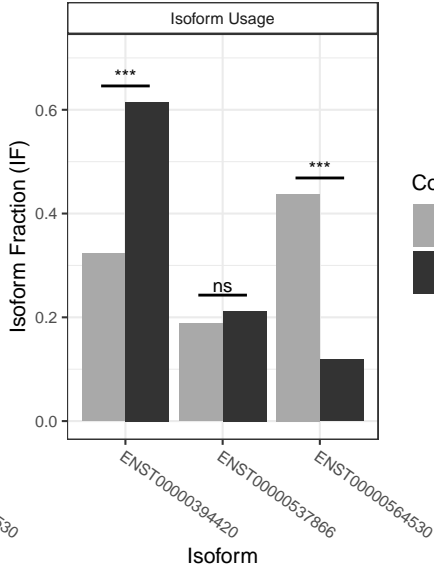
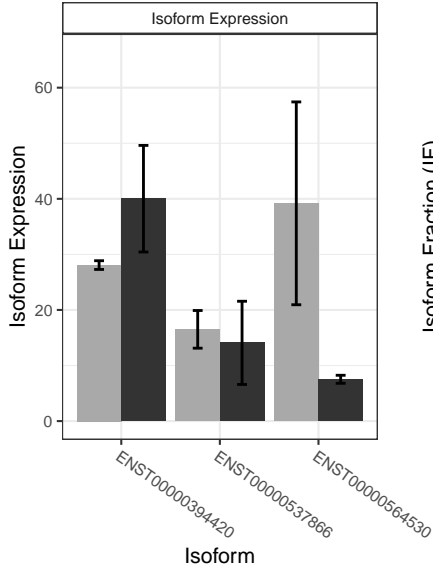
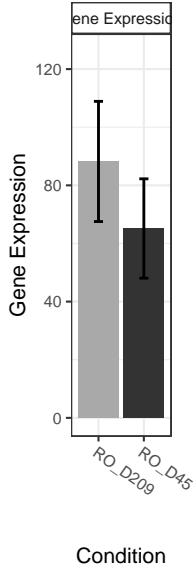
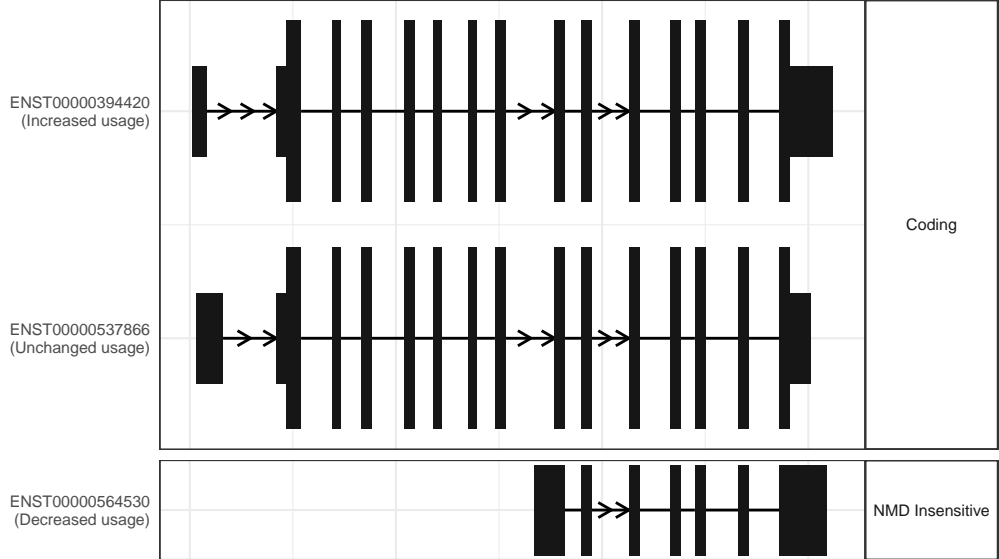
The isoform switch in LINC01278 (RO_D209 vs RO_D45)



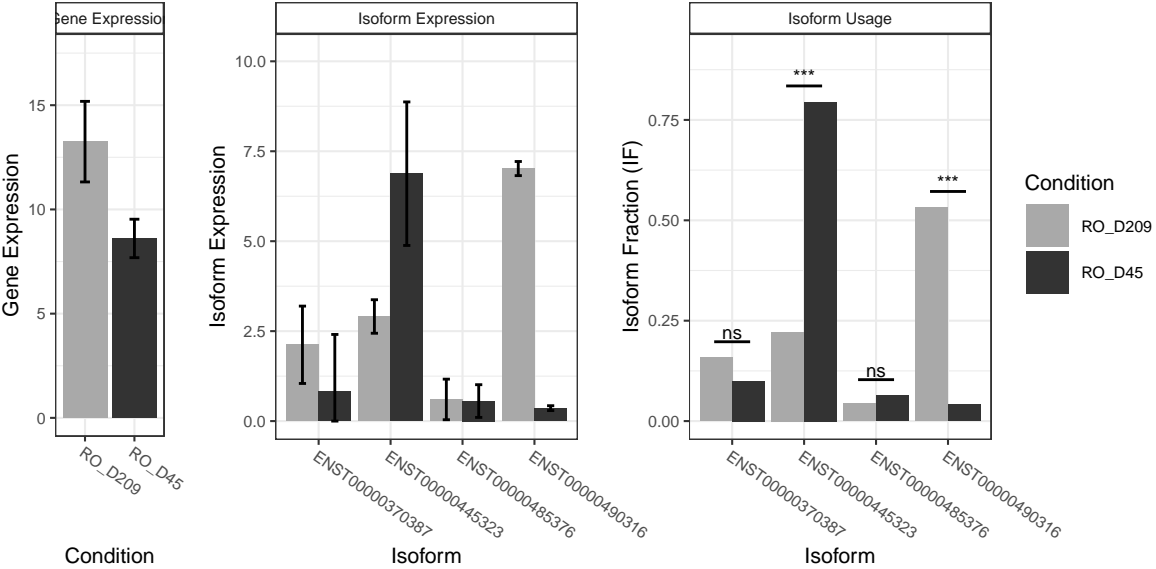
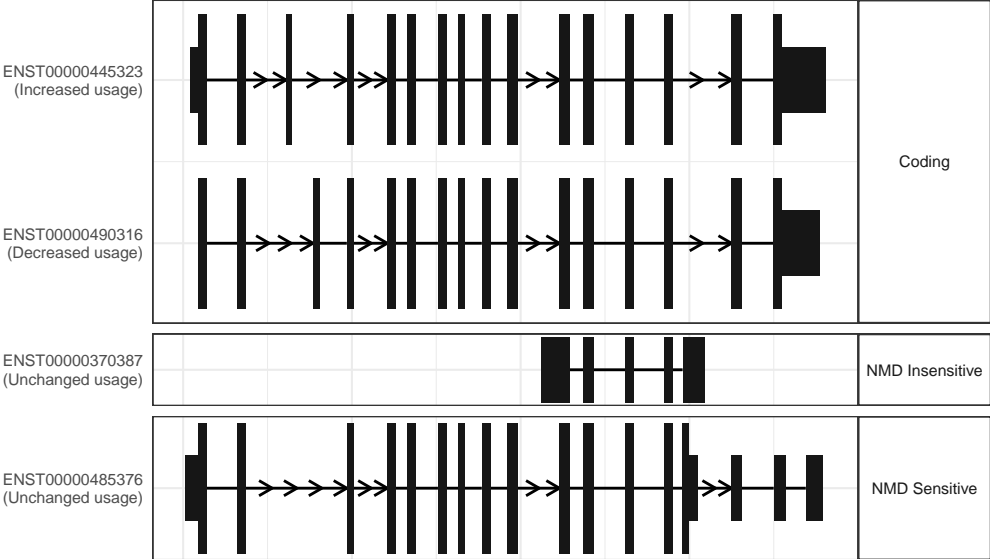
The isoform switch in TCF12 (RO_D209 vs RO_D45)



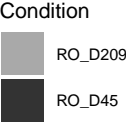
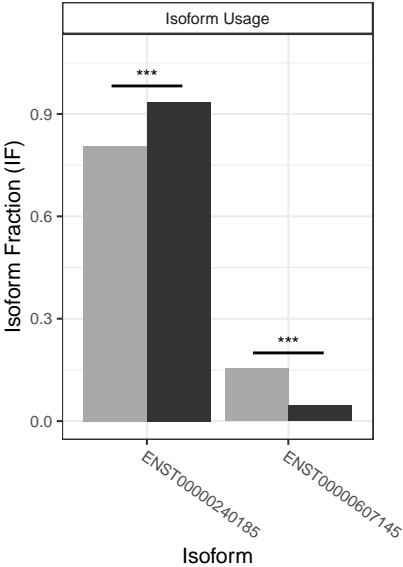
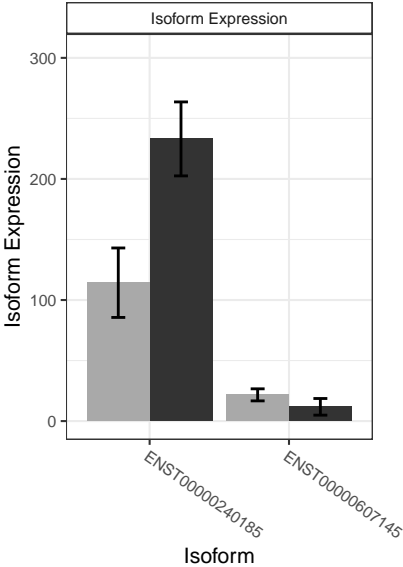
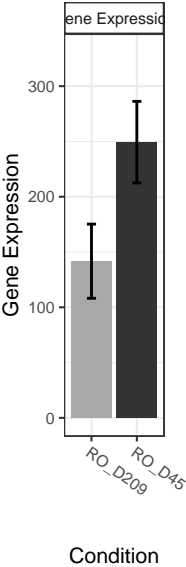
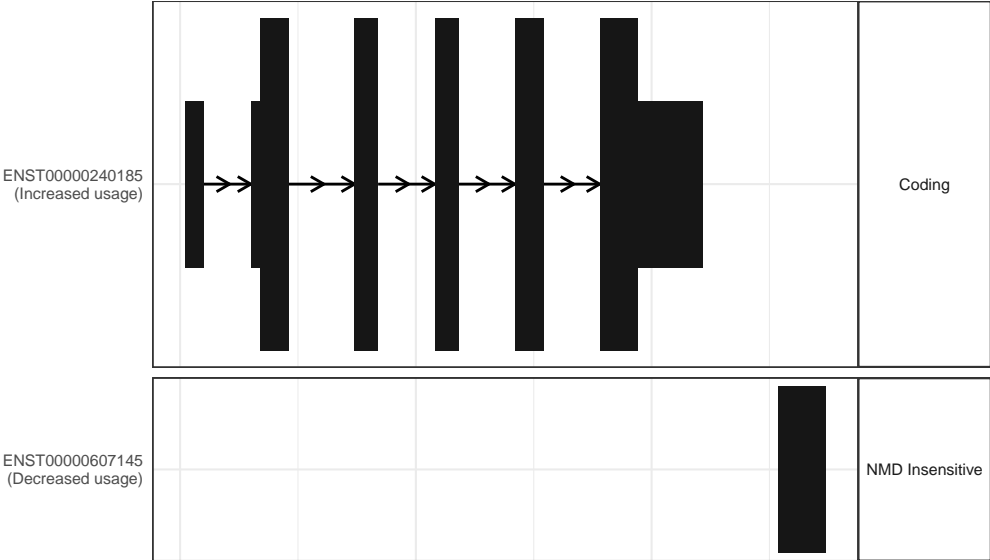
The isoform switch in RSPRY1 (RO_D209 vs RO_D45)



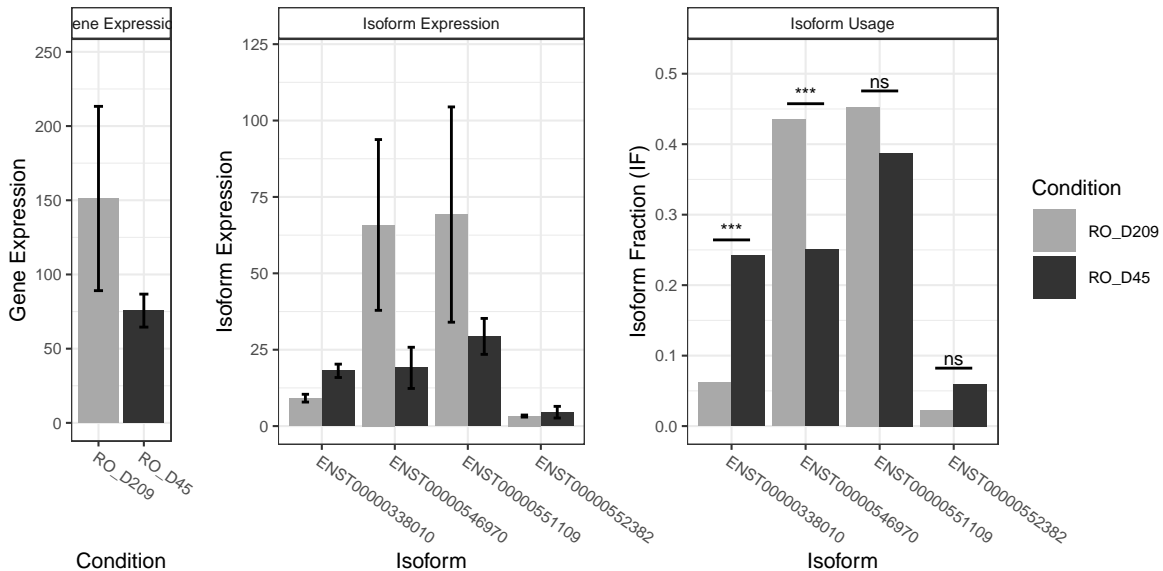
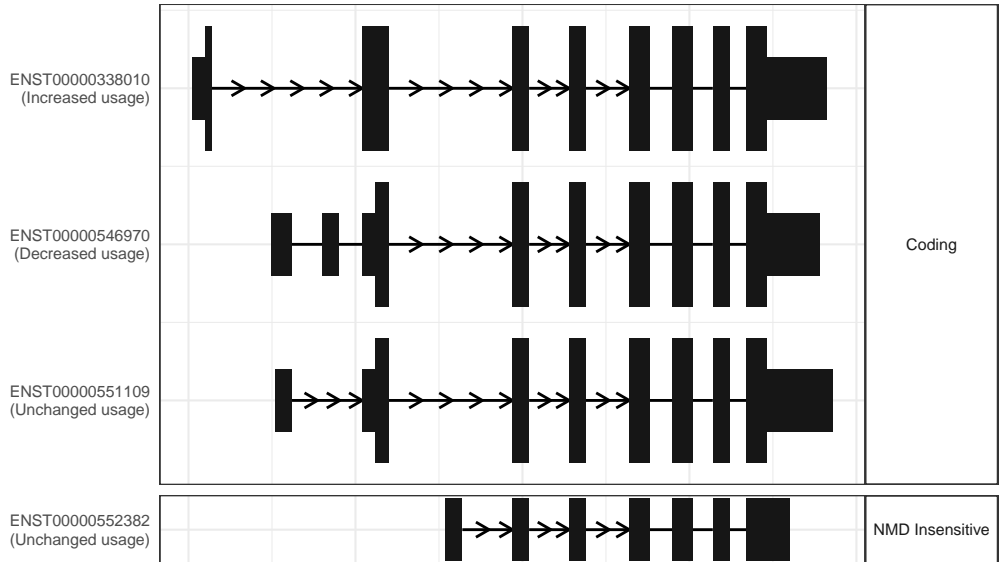
The isoform switch in MTMR1 (RO_D209 vs RO_D45)



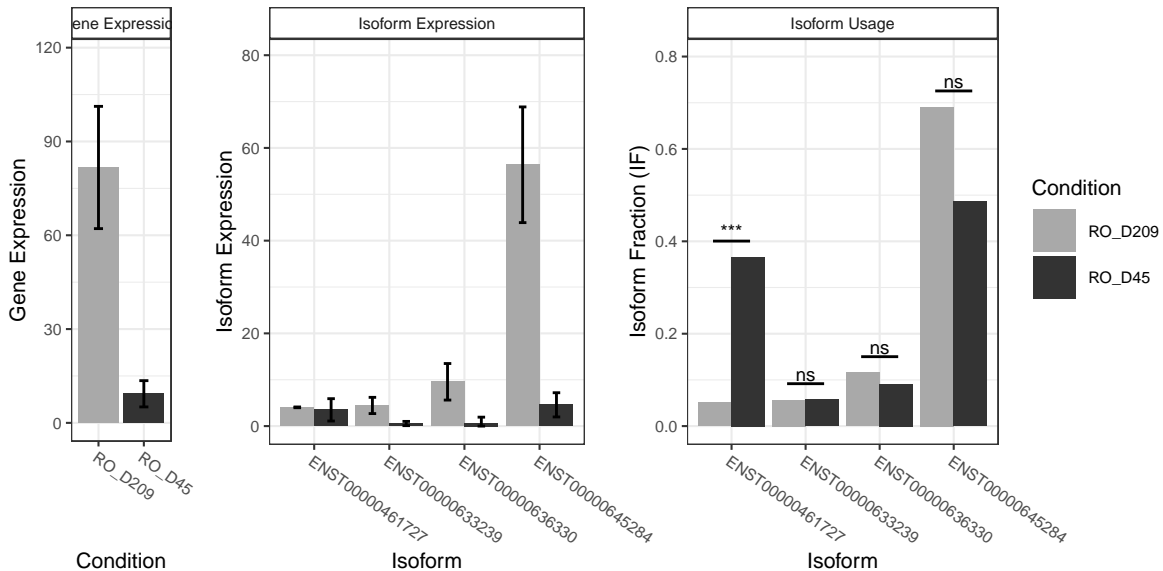
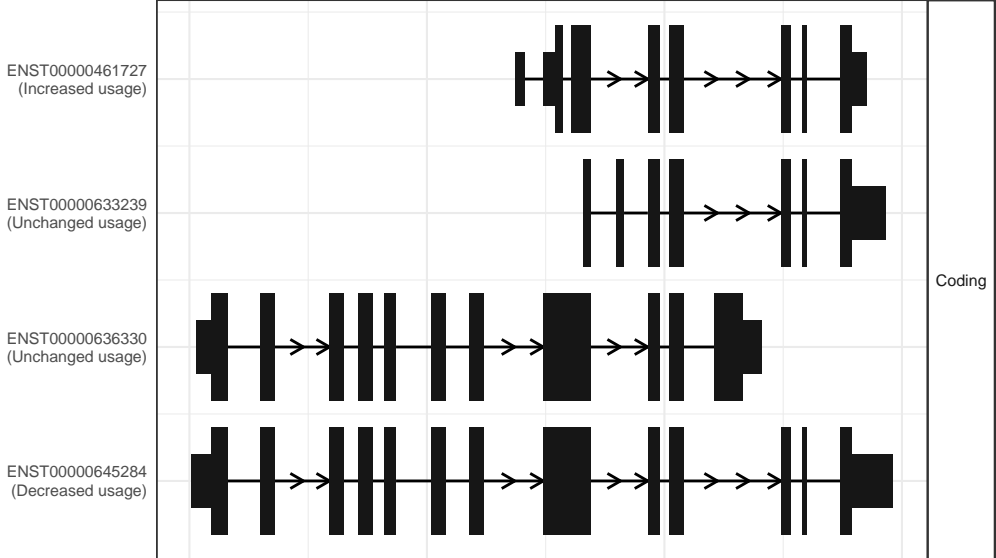
The isoform switch in TARDBP (RO_D209 vs RO_D45)



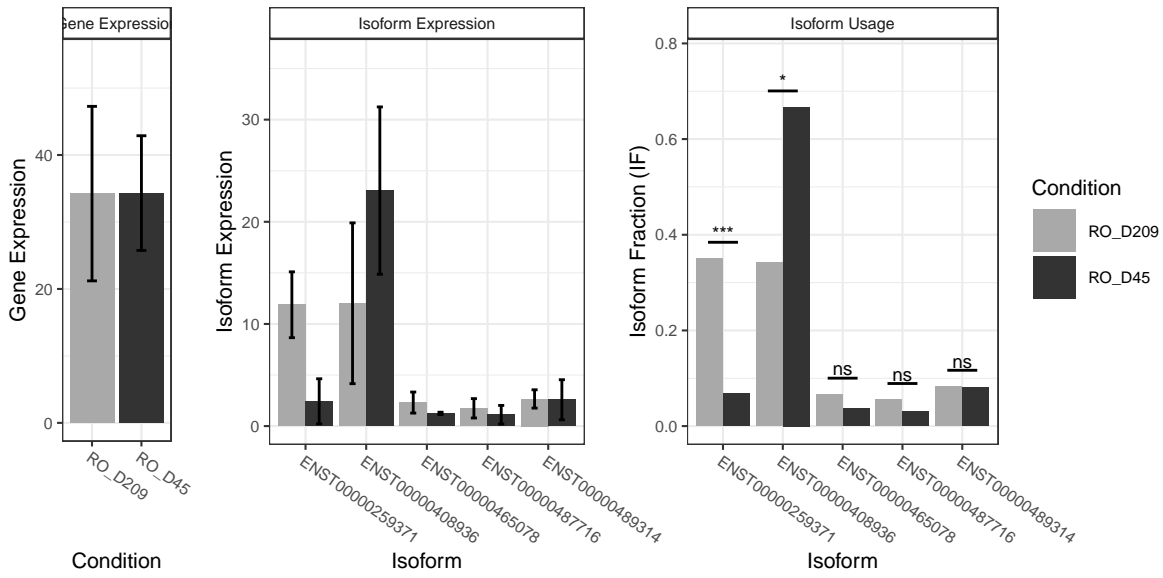
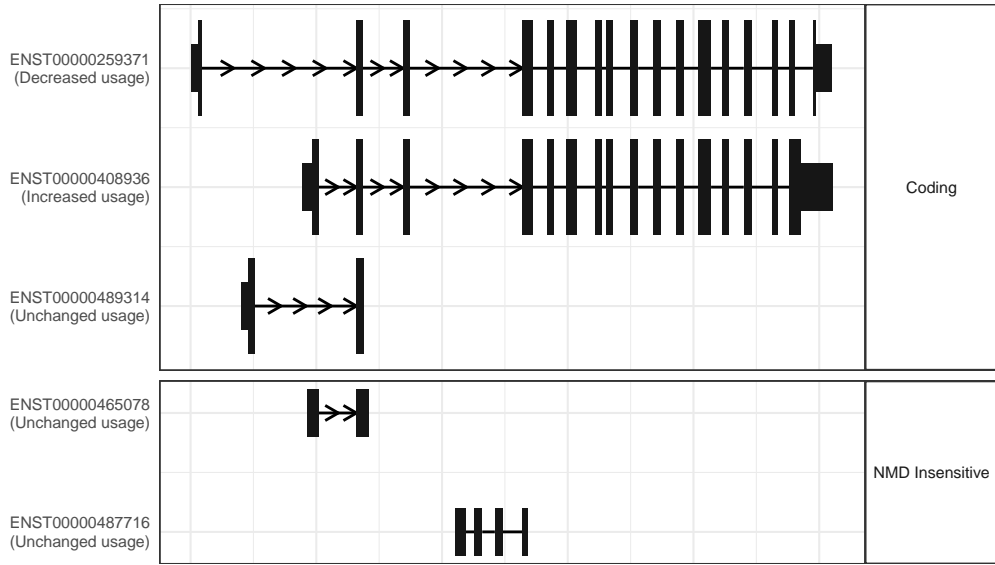
The isoform switch in ZNF385A (RO_D209 vs RO_D45)



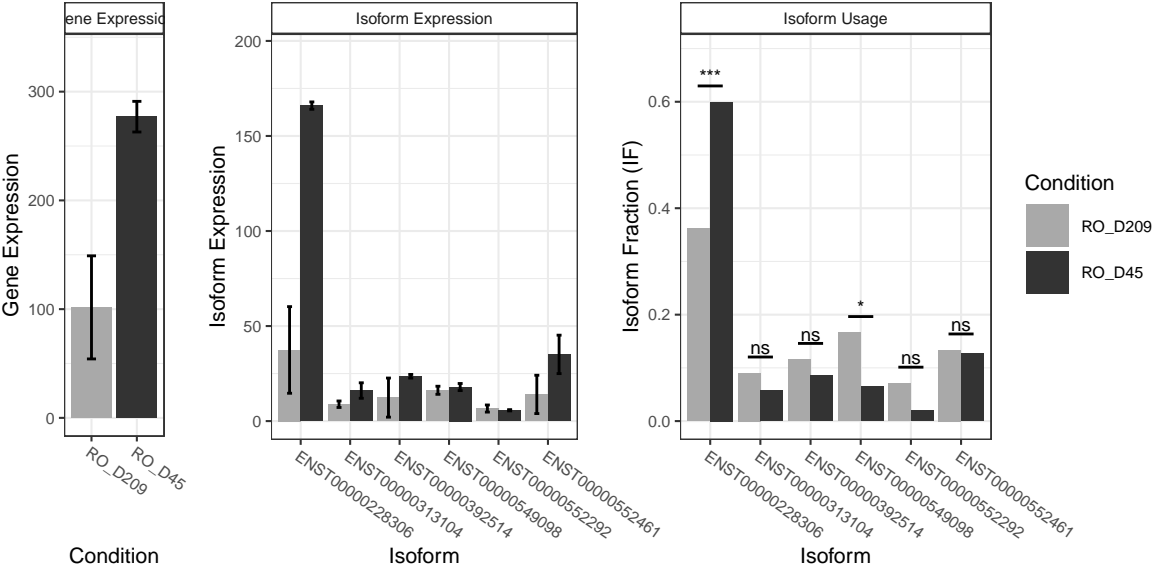
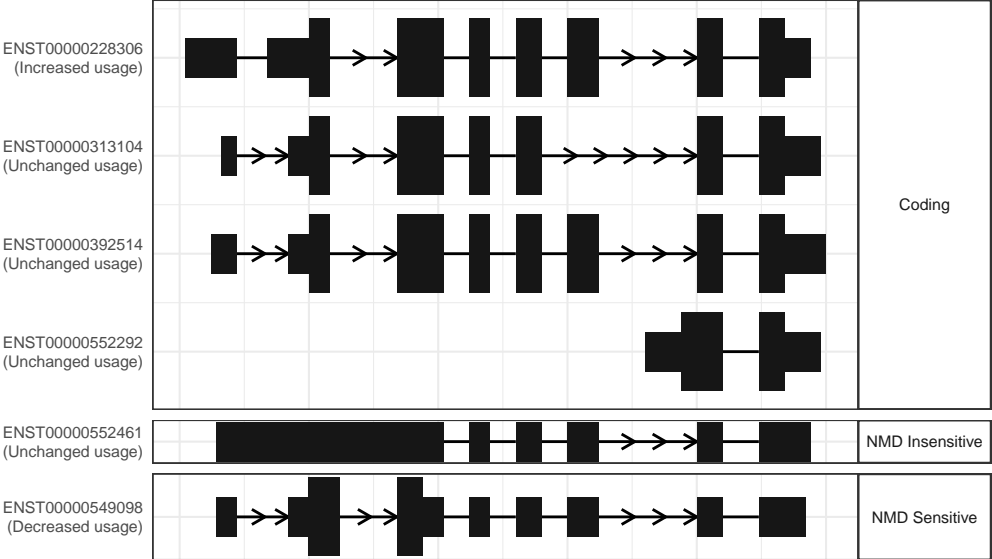
The isoform switch in ESPN (RO_D209 vs RO_D45)



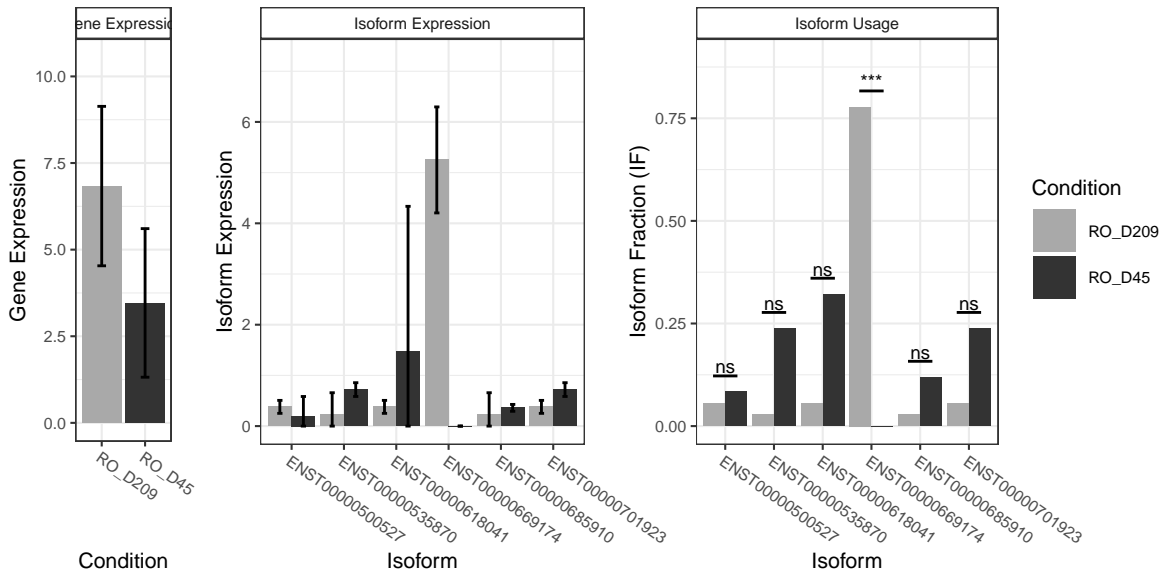
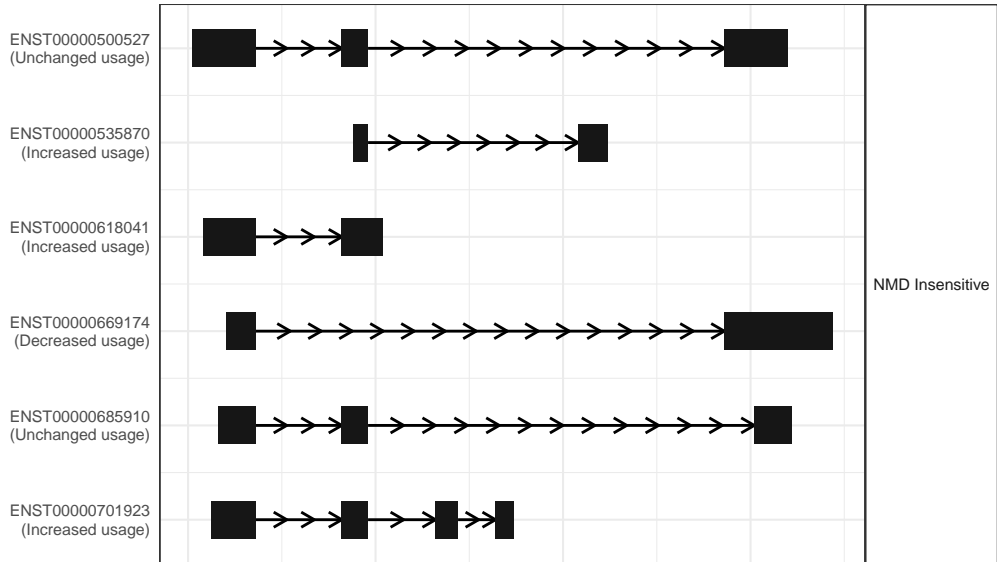
The isoform switch in DAB2IP (RO_D209 vs RO_D45)



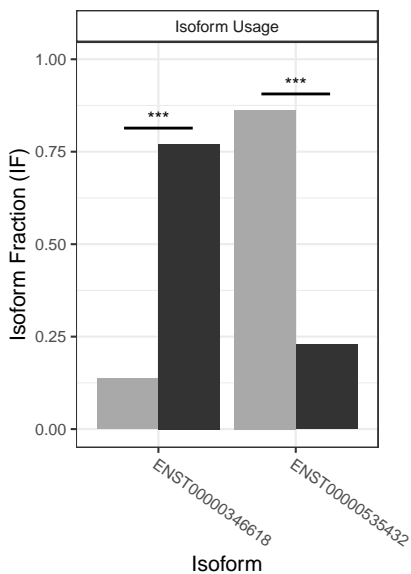
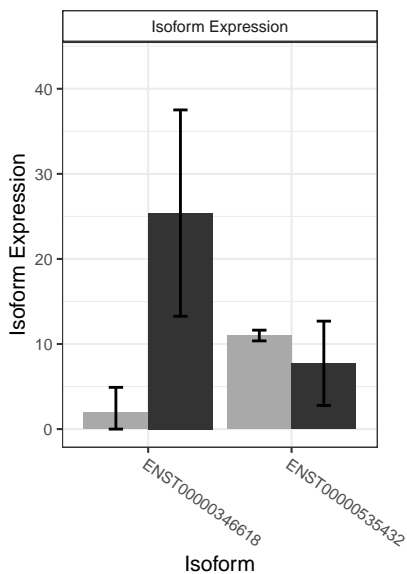
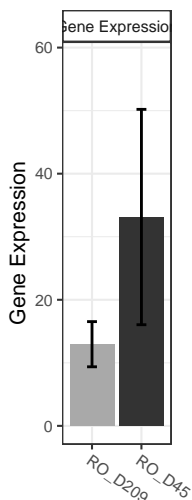
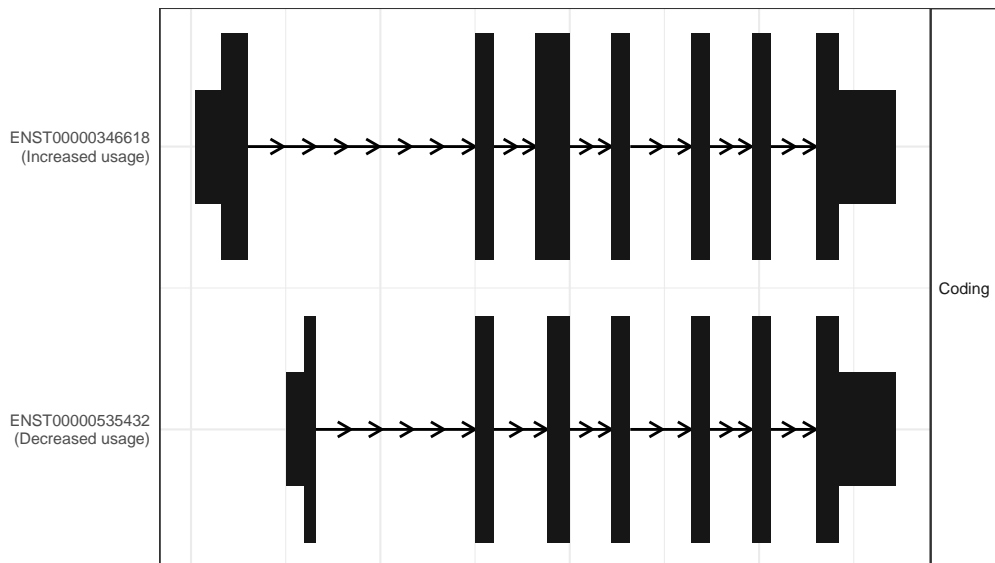
The isoform switch in RPLP0 (RO_D209 vs RO_D45)



The isoform switch in DDX11-AS1 (RO_D209 vs RO_D45)



The isoform switch in E2F3 (RO_D209 vs RO_D45)

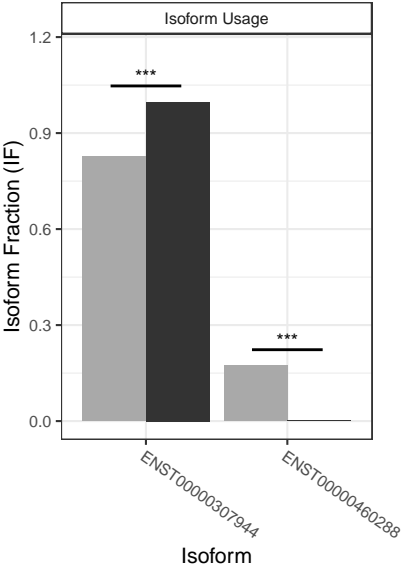
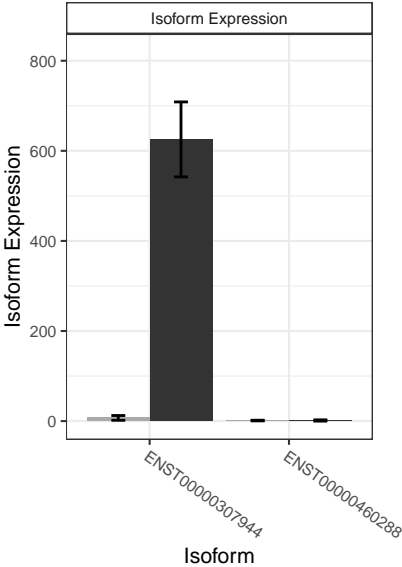
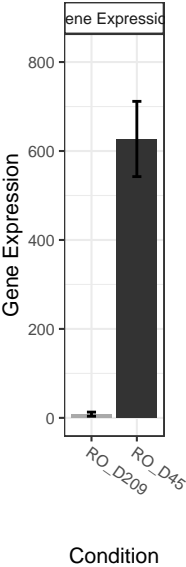
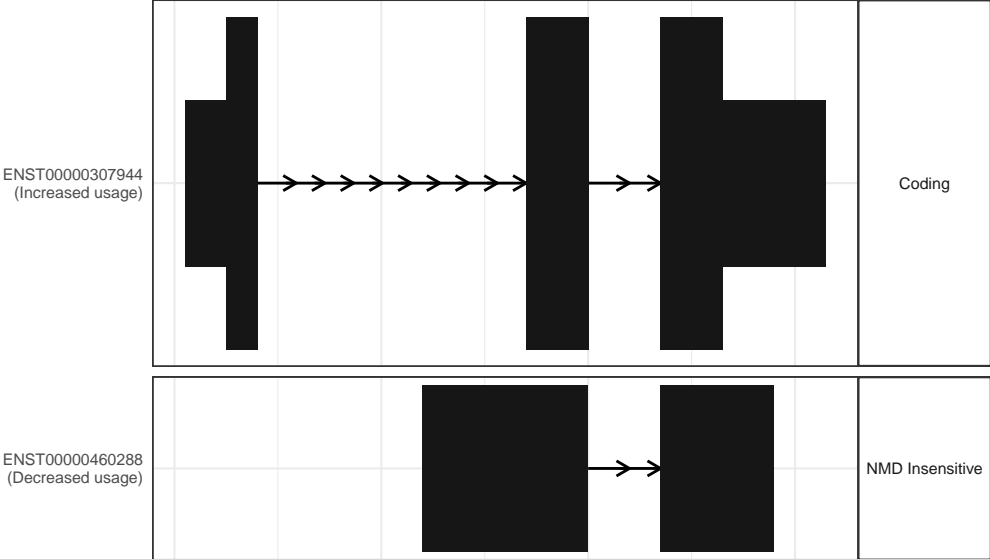


Condition

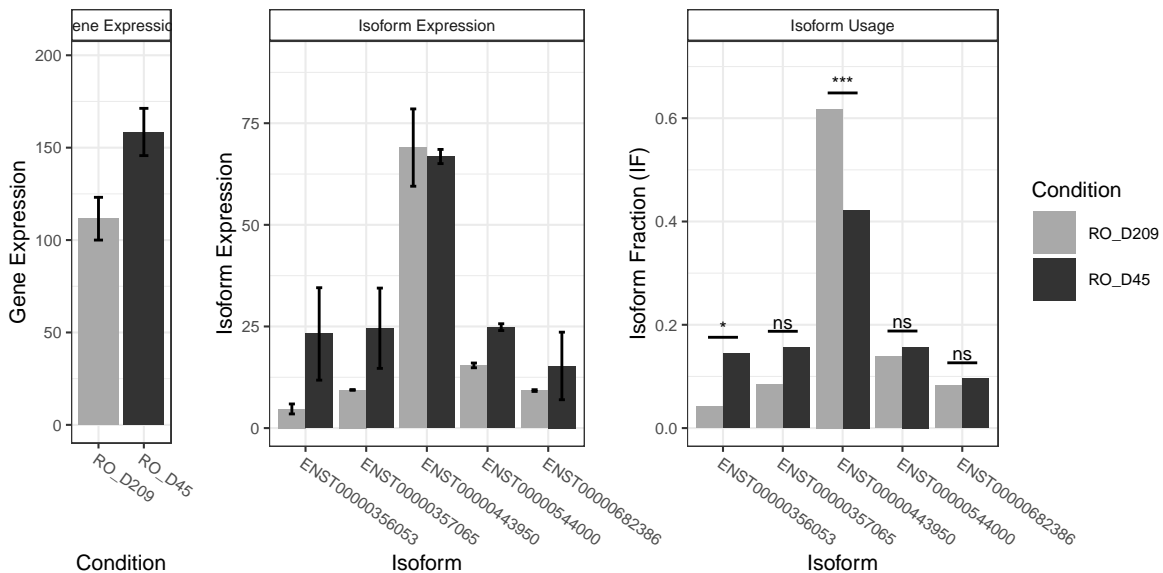
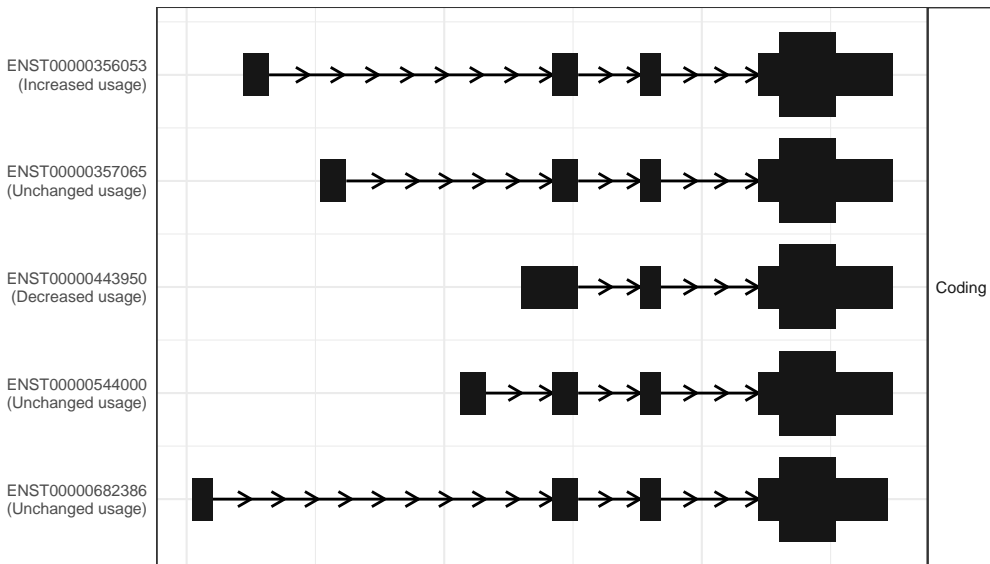
RO_D209

RO_D45

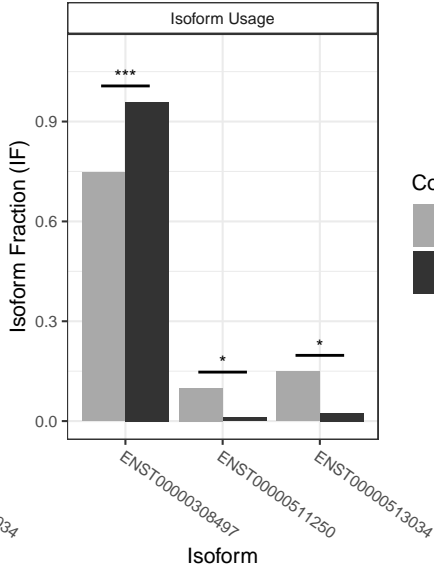
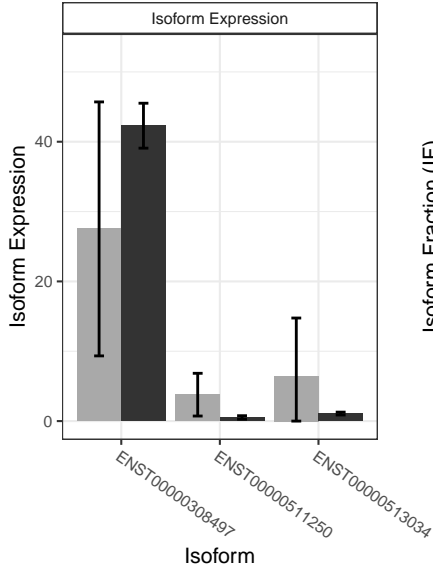
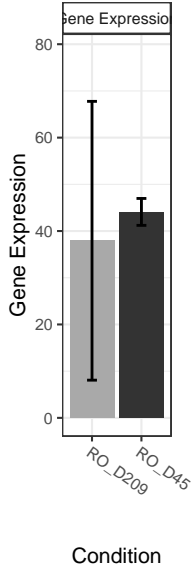
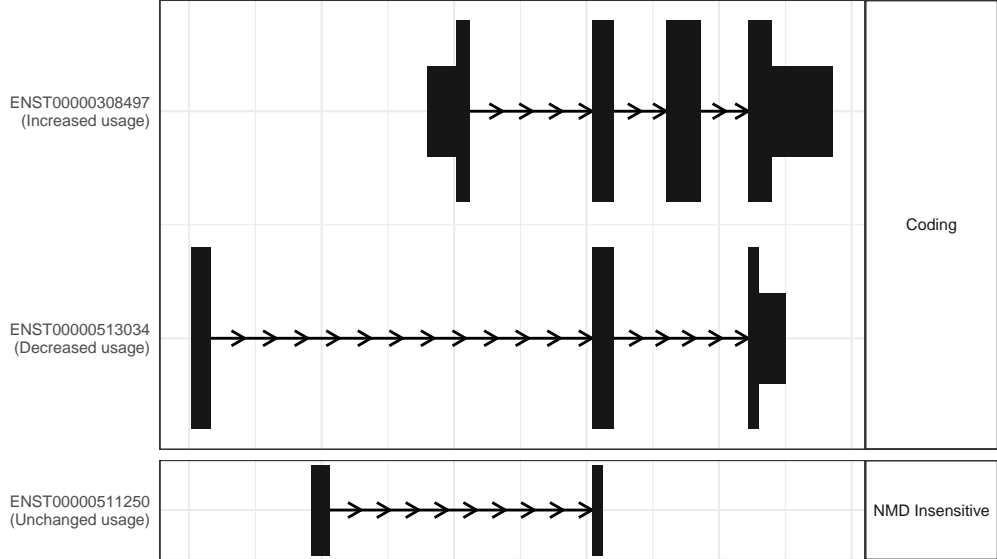
The isoform switch in CRYGS (RO_D209 vs RO_D45)



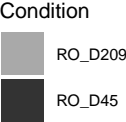
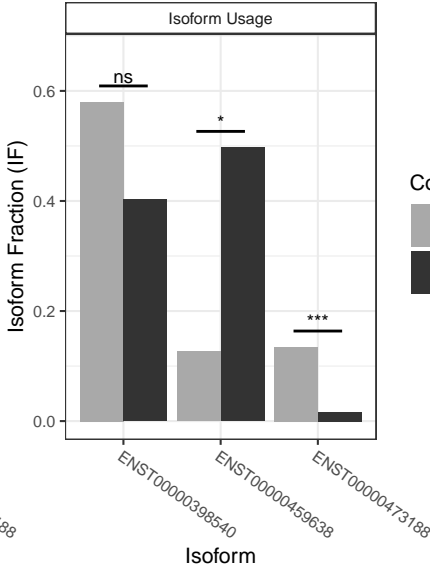
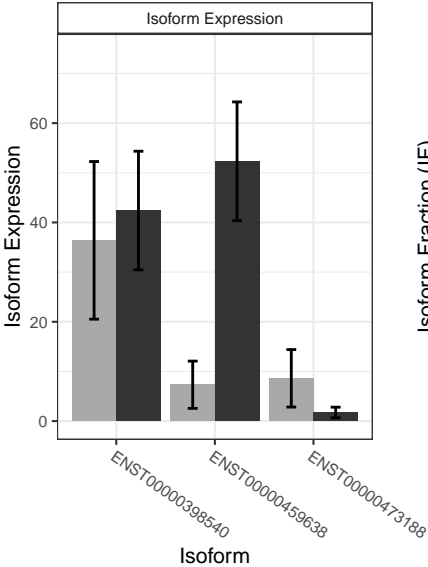
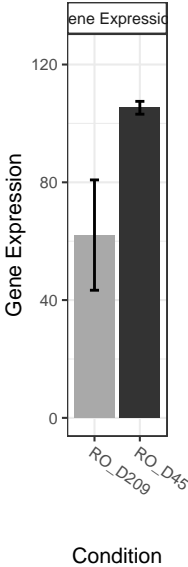
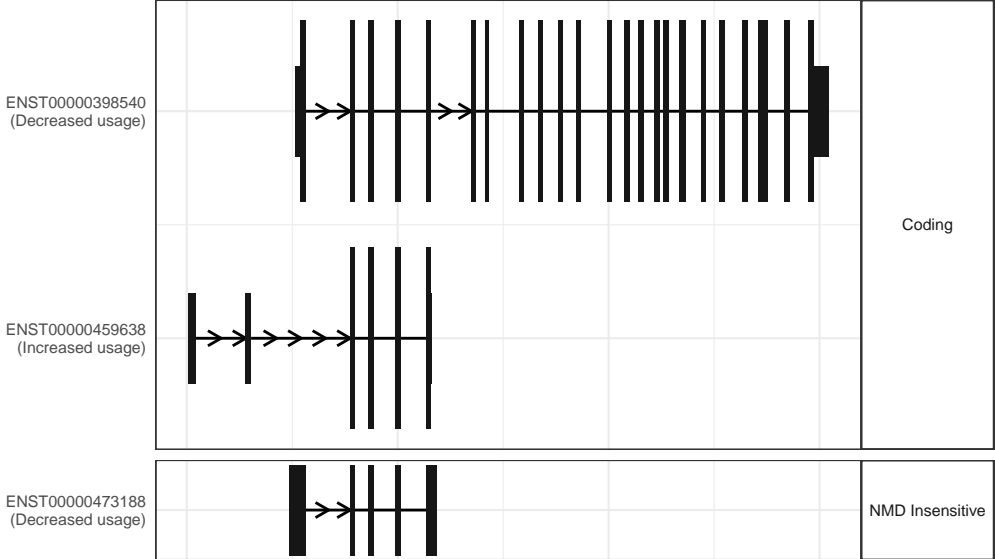
The isoform switch in HNRNPF (RO_D209 vs RO_D45)



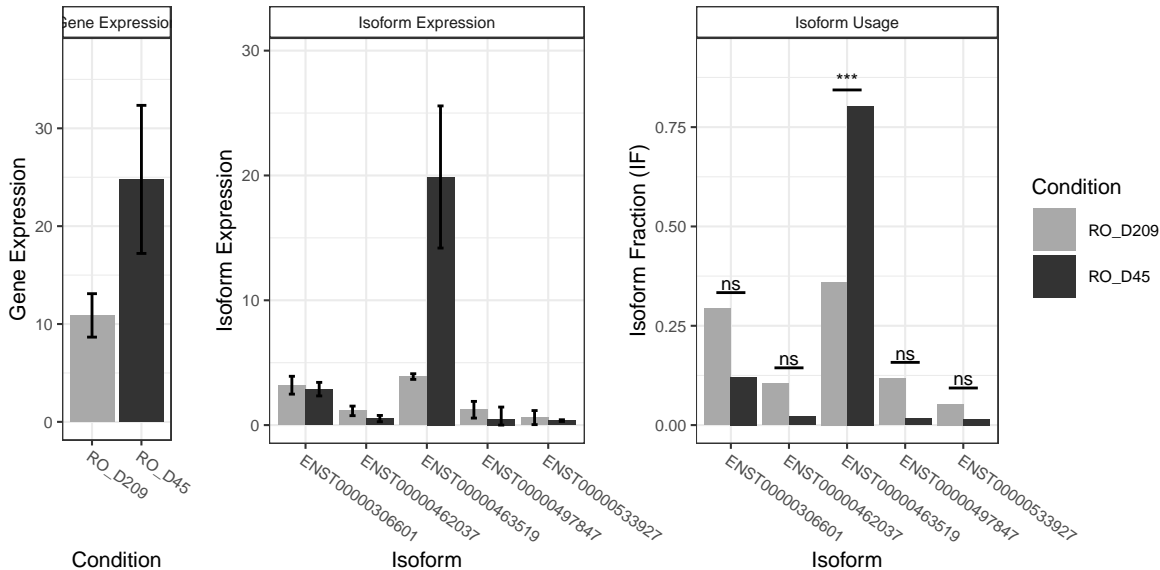
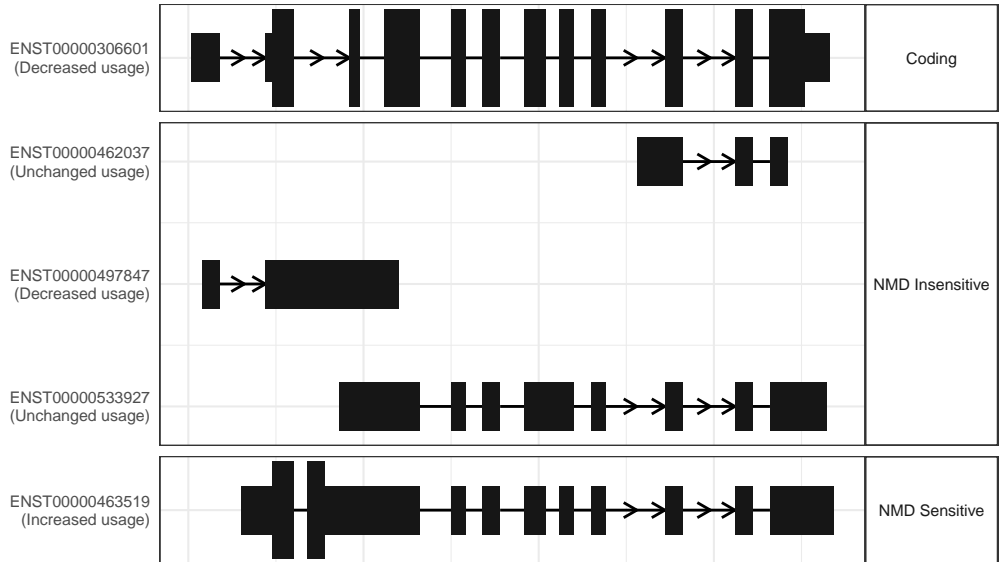
The isoform switch in STOX2 (RO_D209 vs RO_D45)



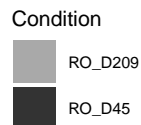
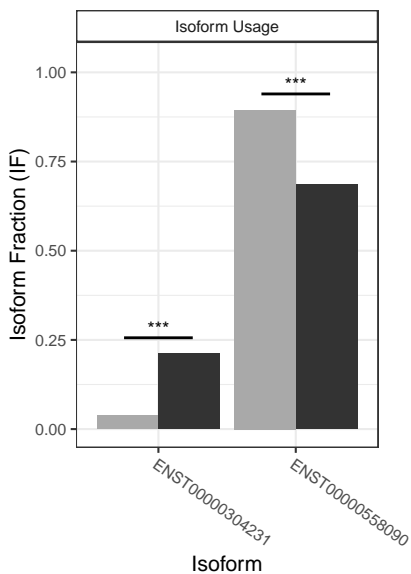
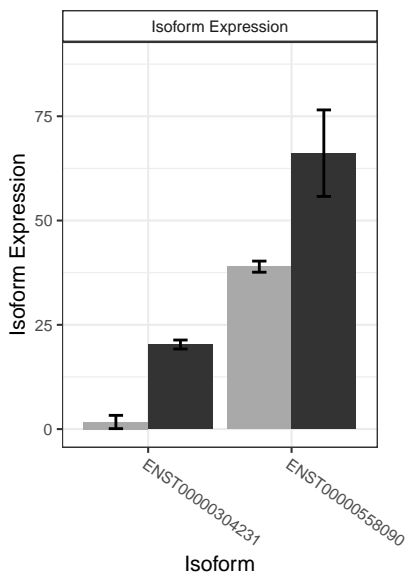
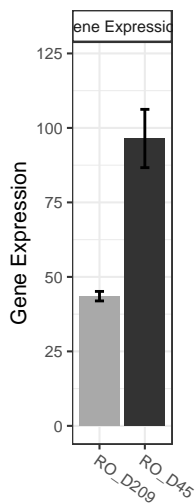
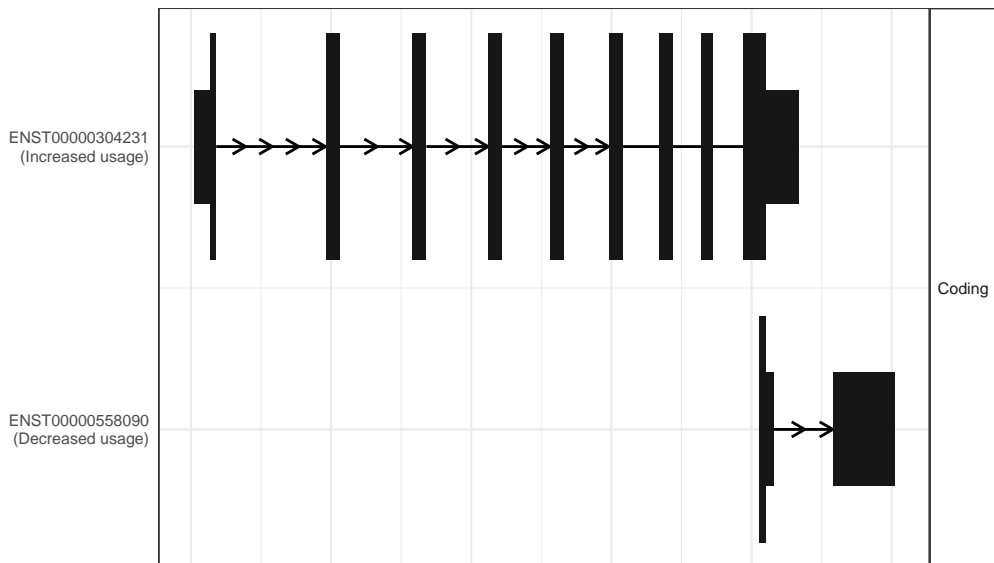
The isoform switch in FRMD4B (RO_D209 vs RO_D45)



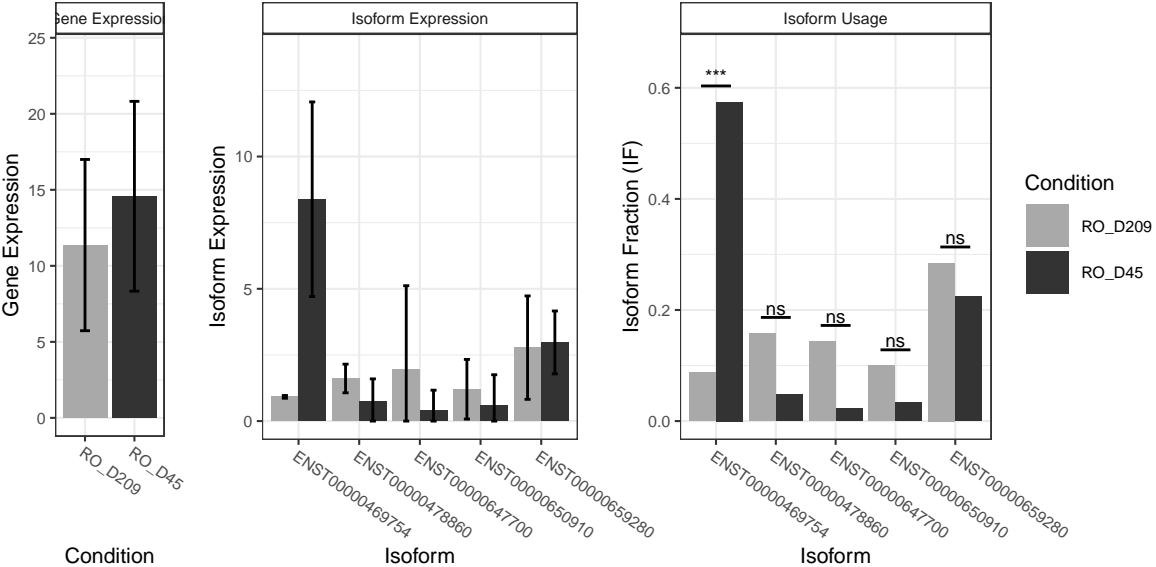
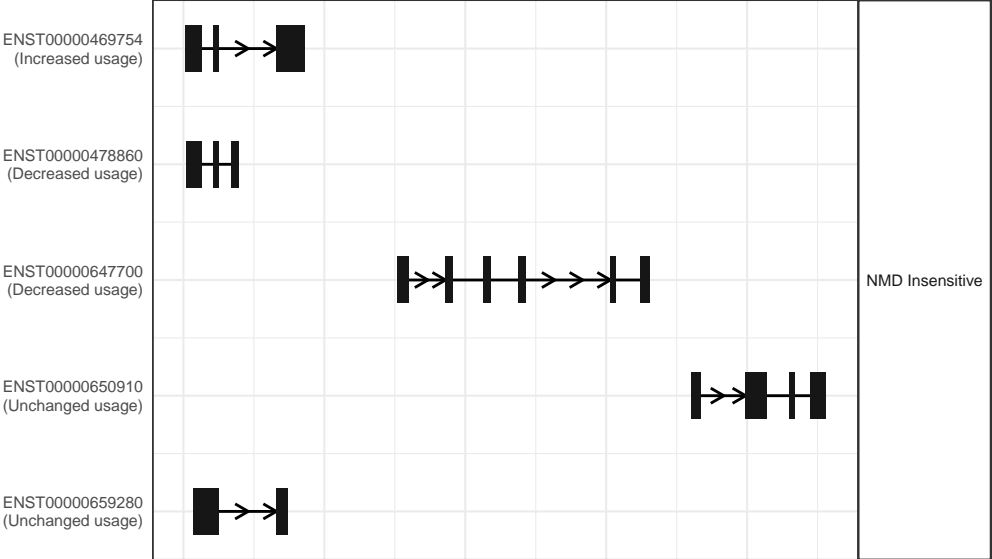
The isoform switch in ZNF692 (RO_D209 vs RO_D45)



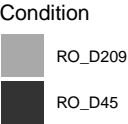
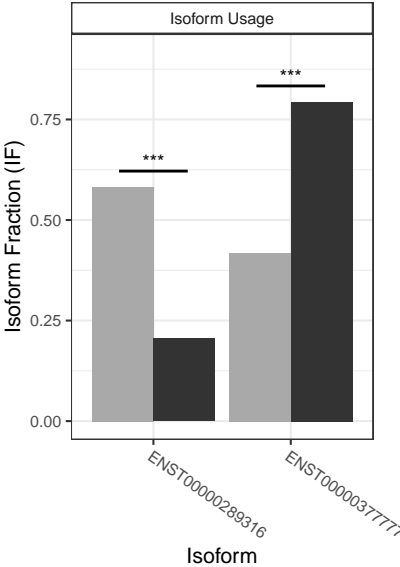
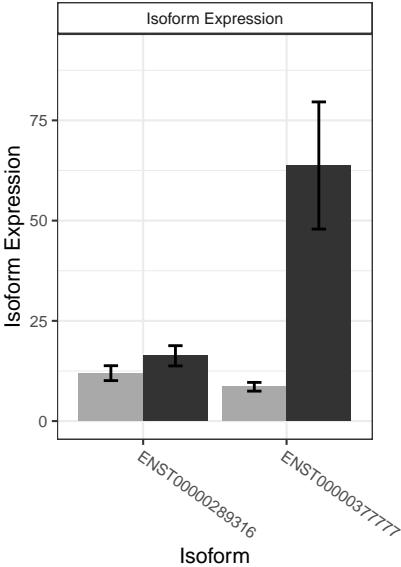
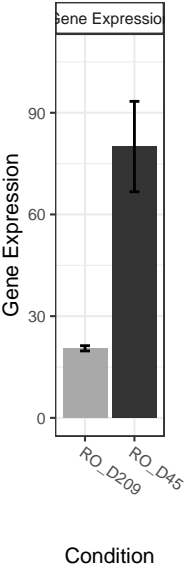
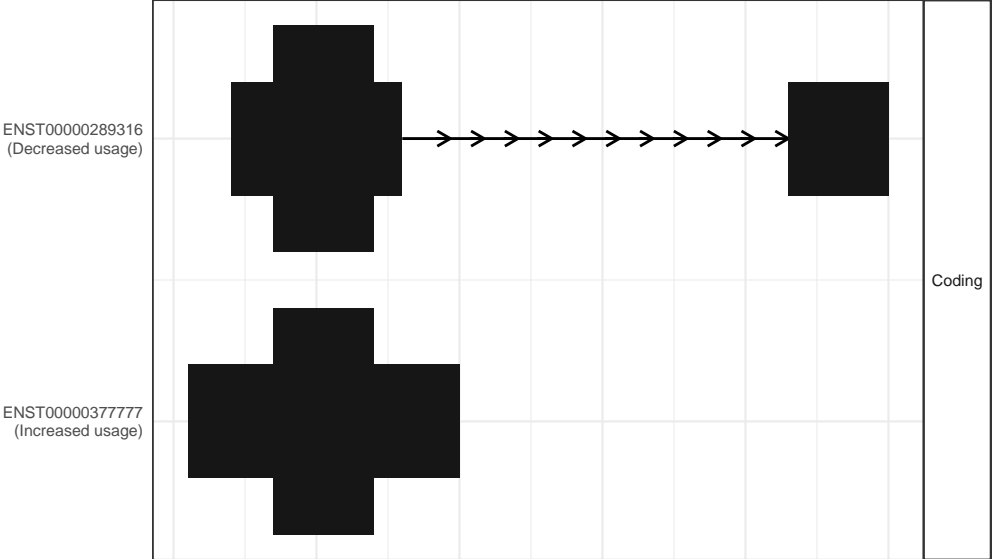
The isoform switch in HOMER2 (RO_D209 vs RO_D45)



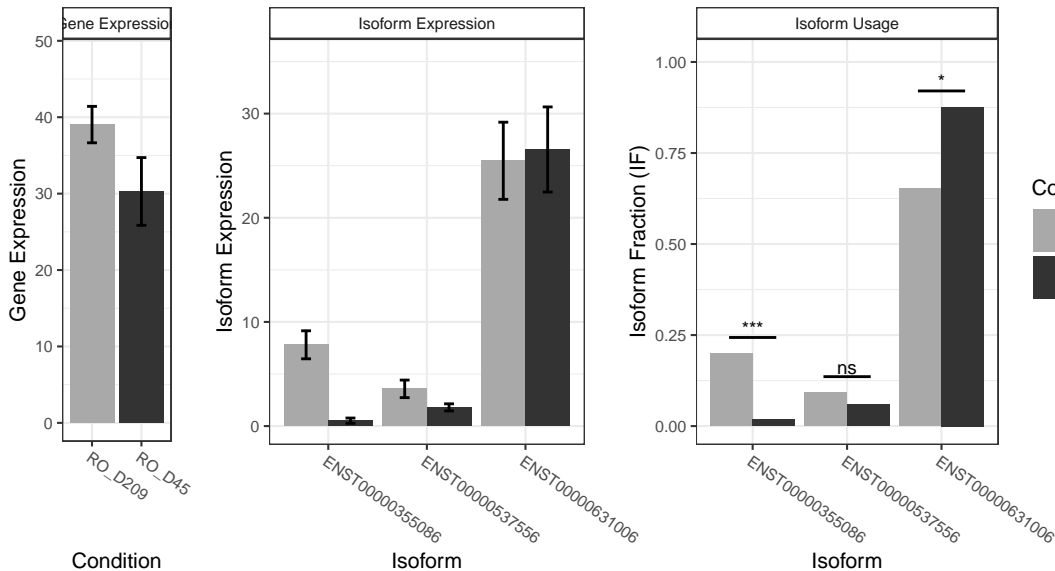
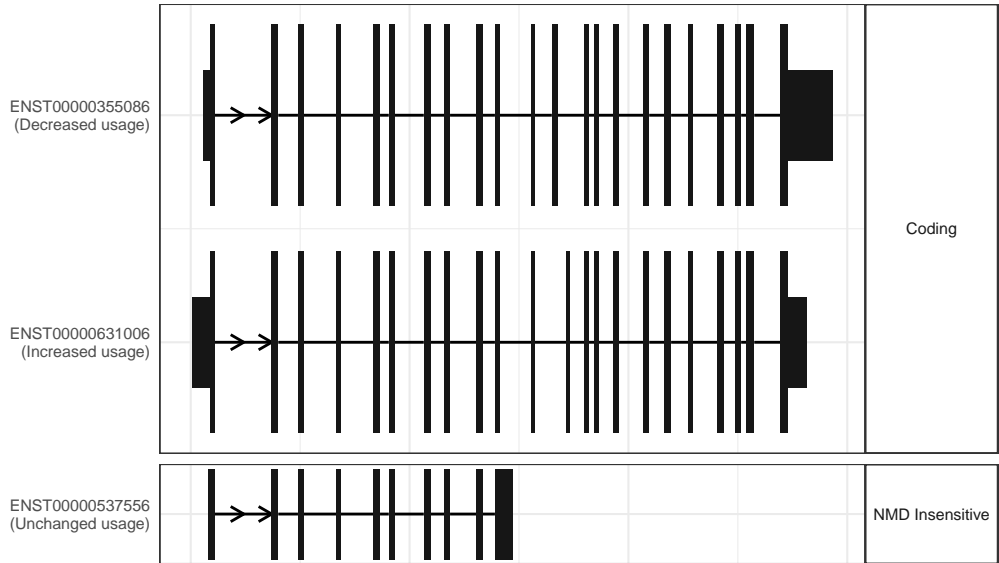
The isoform switch in DLEU1 (RO_D209 vs RO_D45)



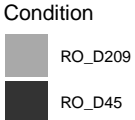
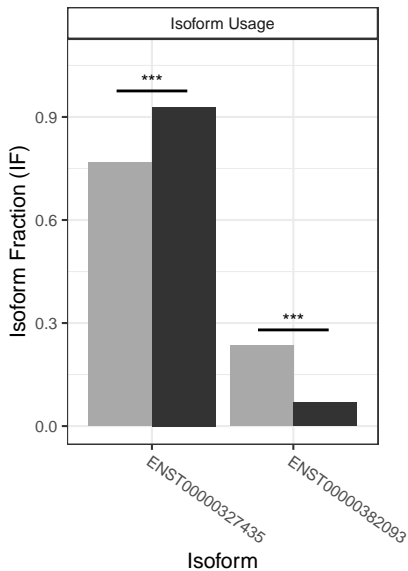
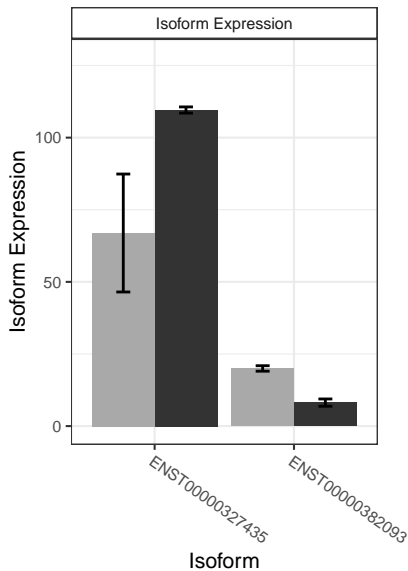
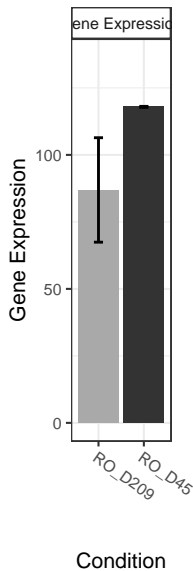
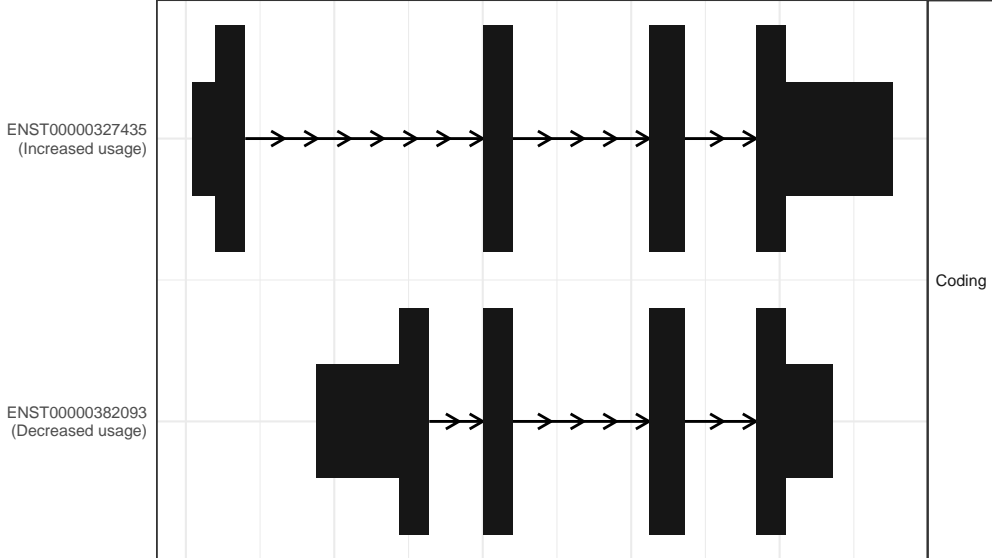
The isoform switch in H2BC5 (RO_D209 vs RO_D45)



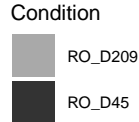
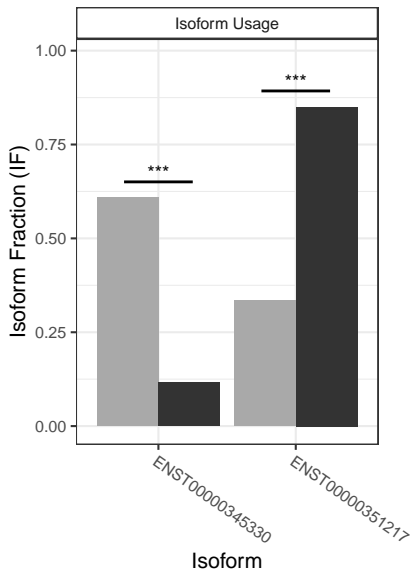
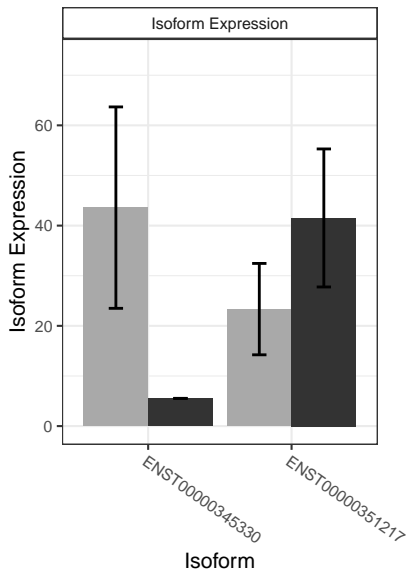
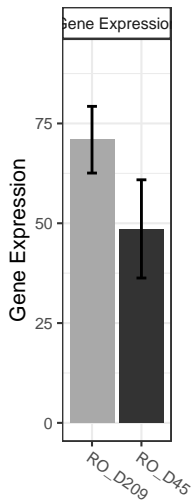
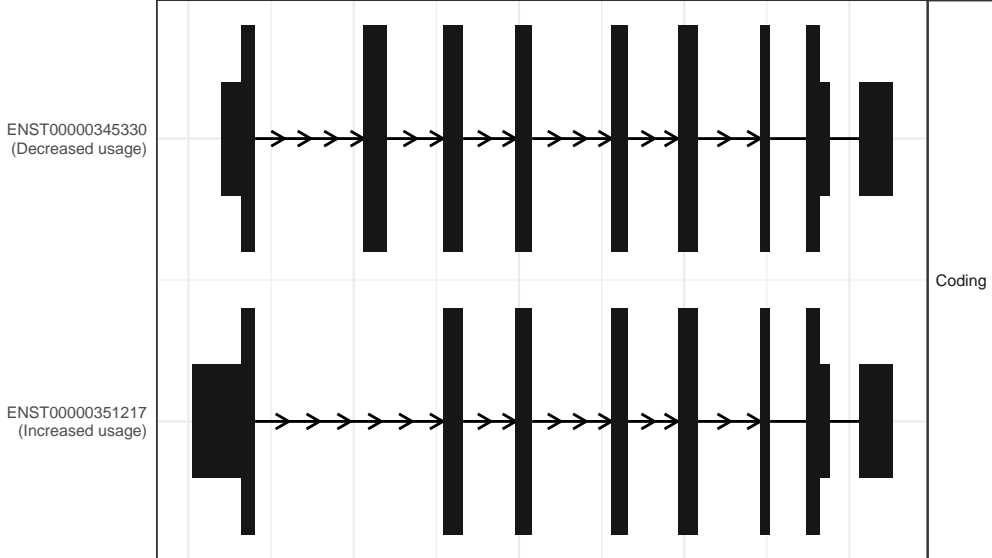
The isoform switch in SRGAP1 (RO_D209 vs RO_D45)



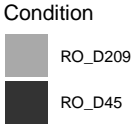
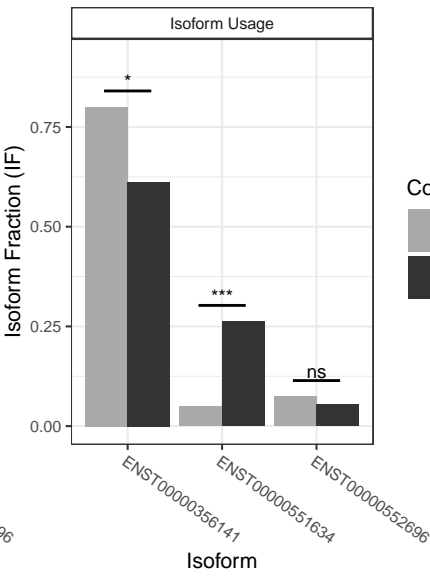
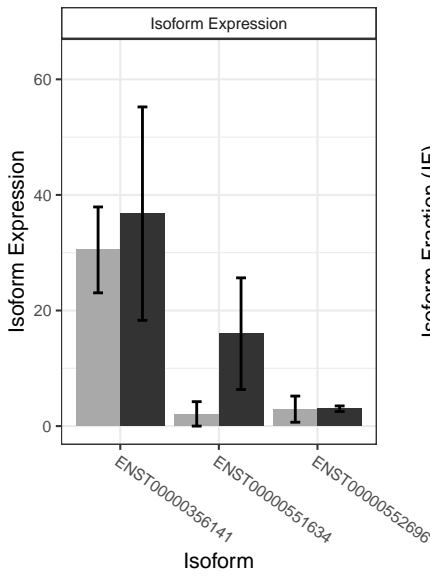
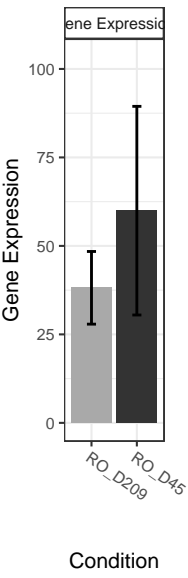
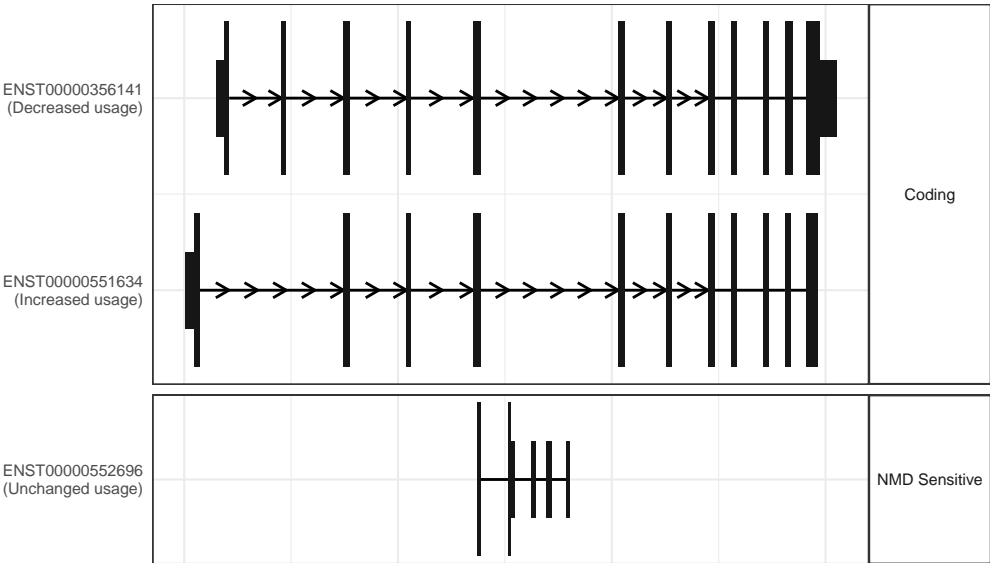
The isoform switch in ADI1 (RO_D209 vs RO_D45)



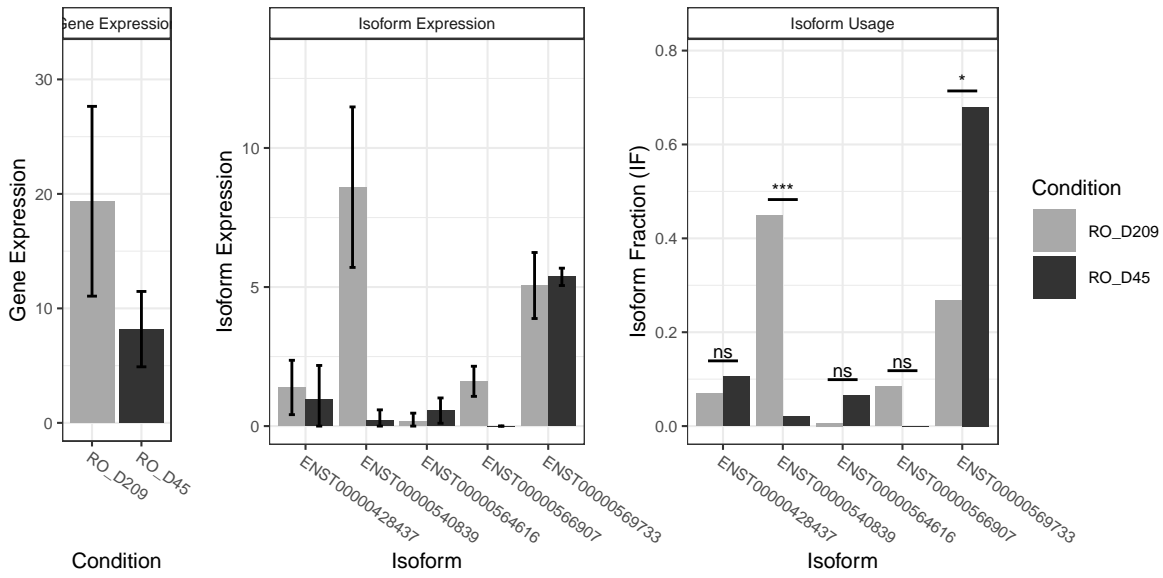
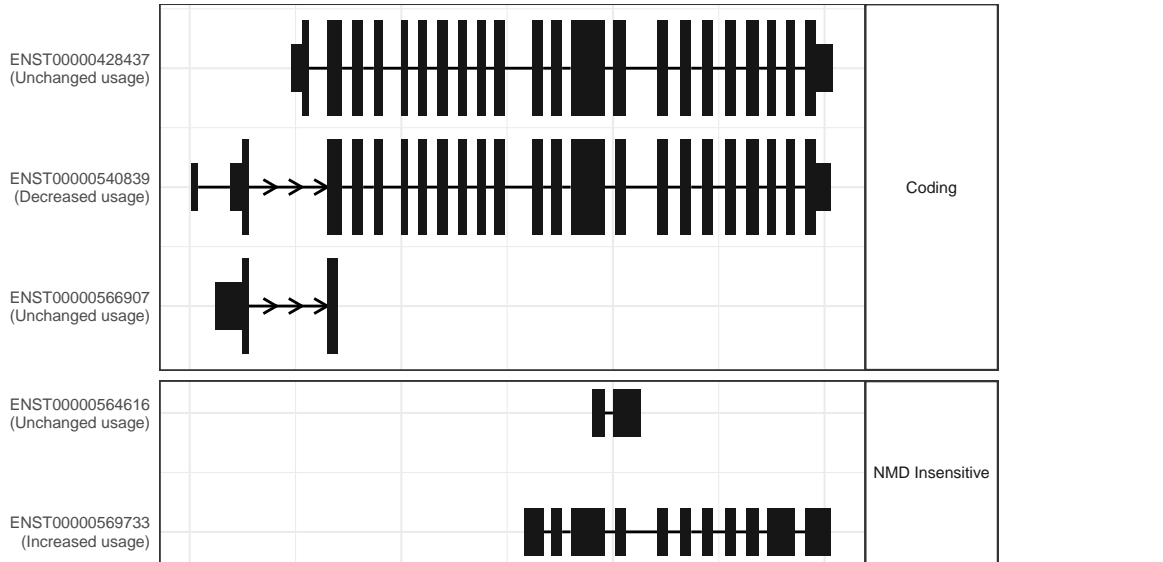
The isoform switch in NPTN (RO_D209 vs RO_D45)



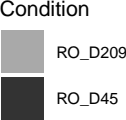
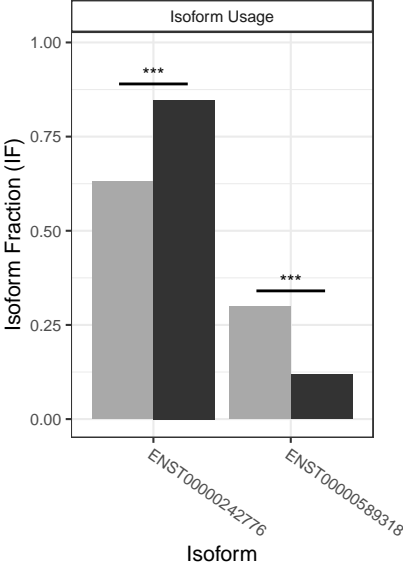
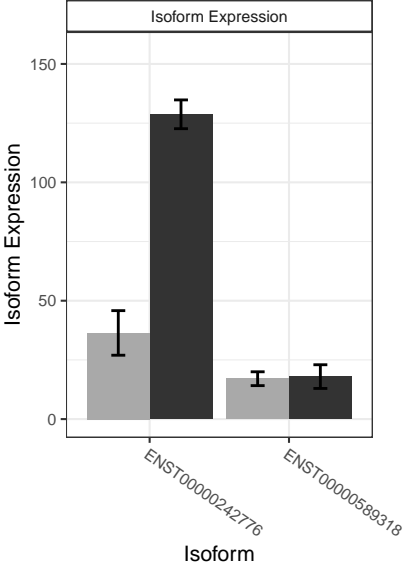
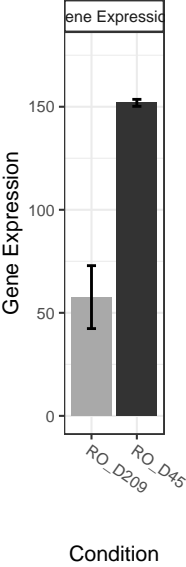
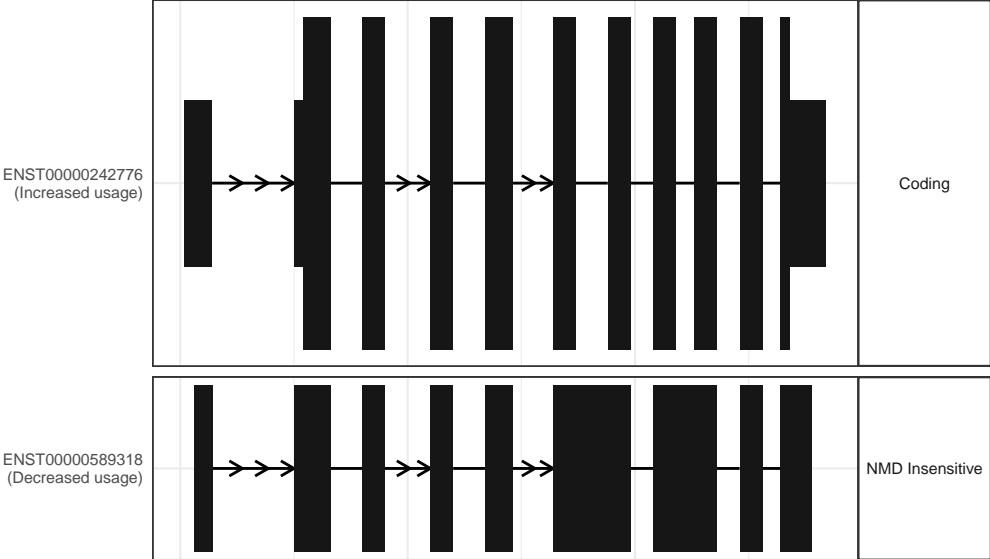
The isoform switch in NPAS3 (RO_D209 vs RO_D45)



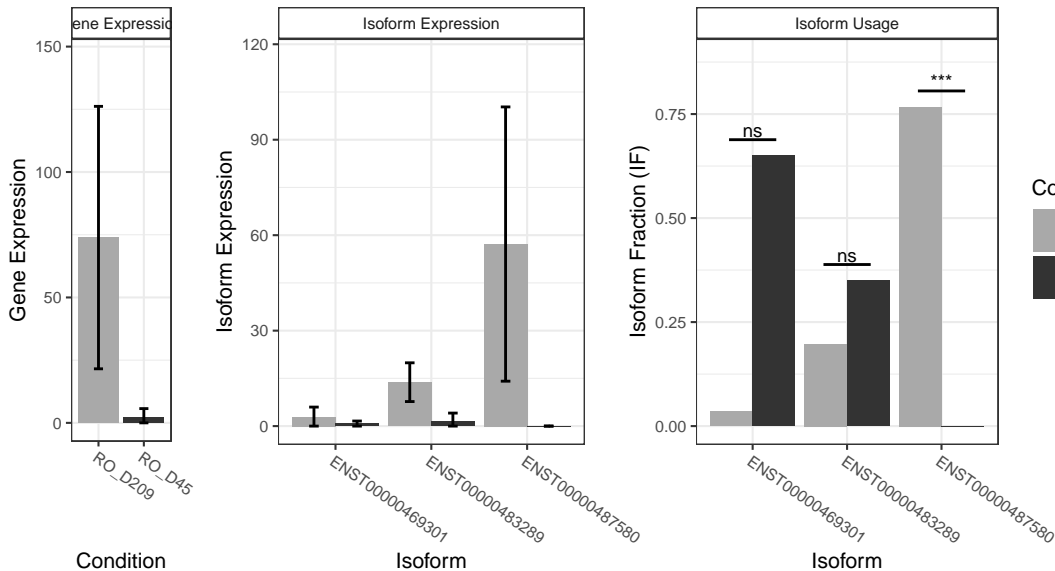
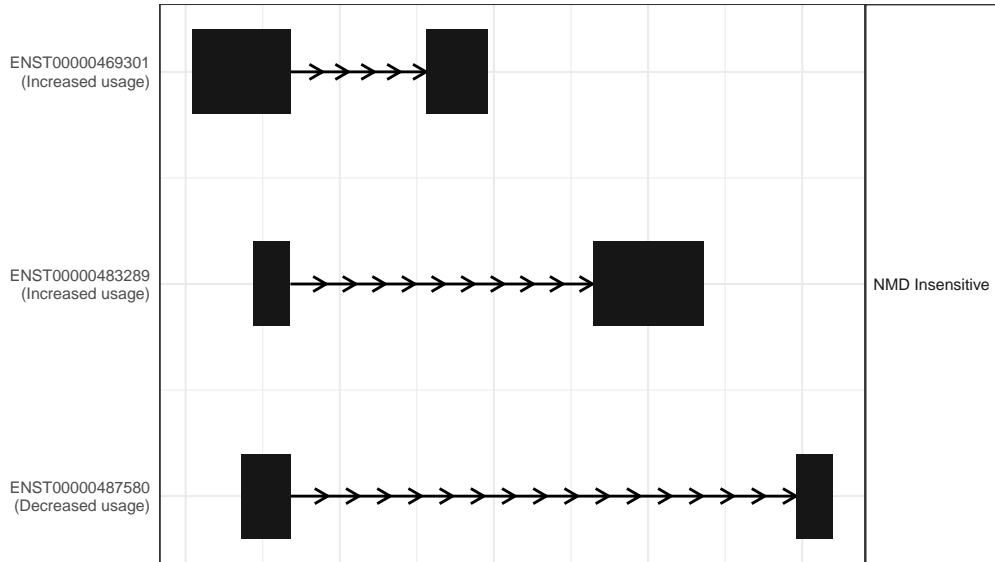
The isoform switch in RIPOR1 (RO_D209 vs RO_D45)



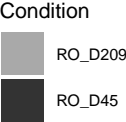
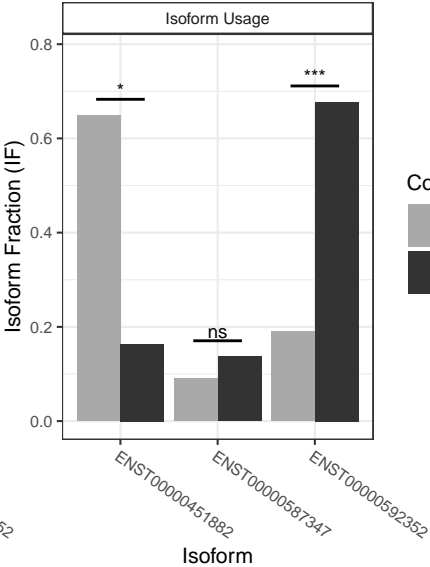
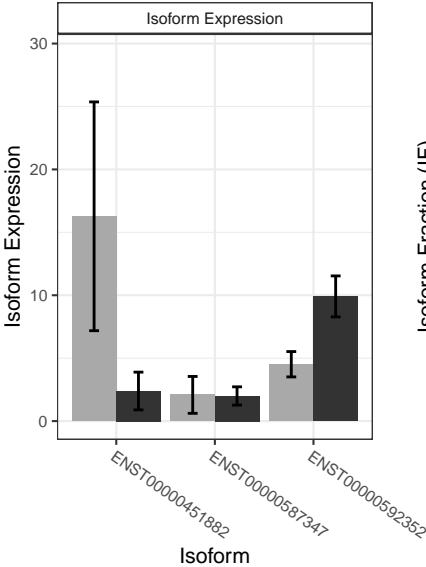
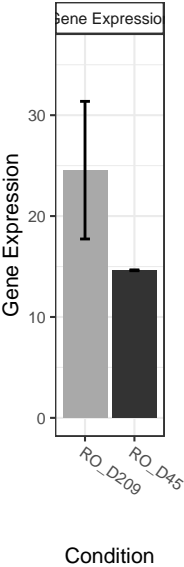
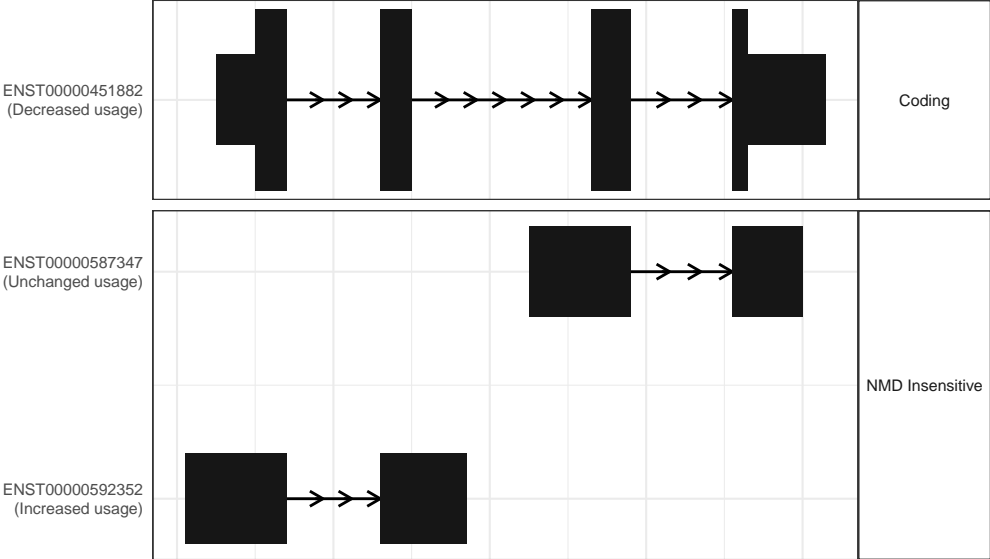
The isoform switch in DDX39A (RO_D209 vs RO_D45)



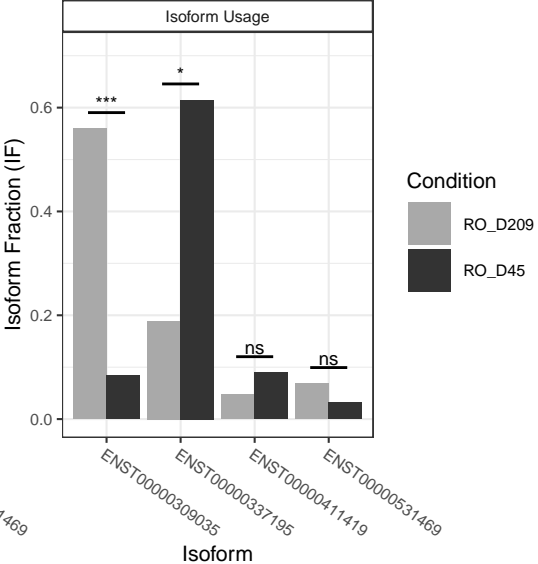
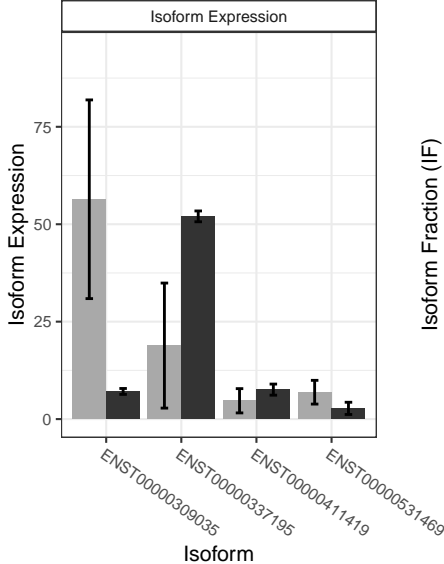
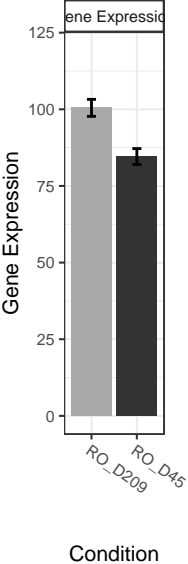
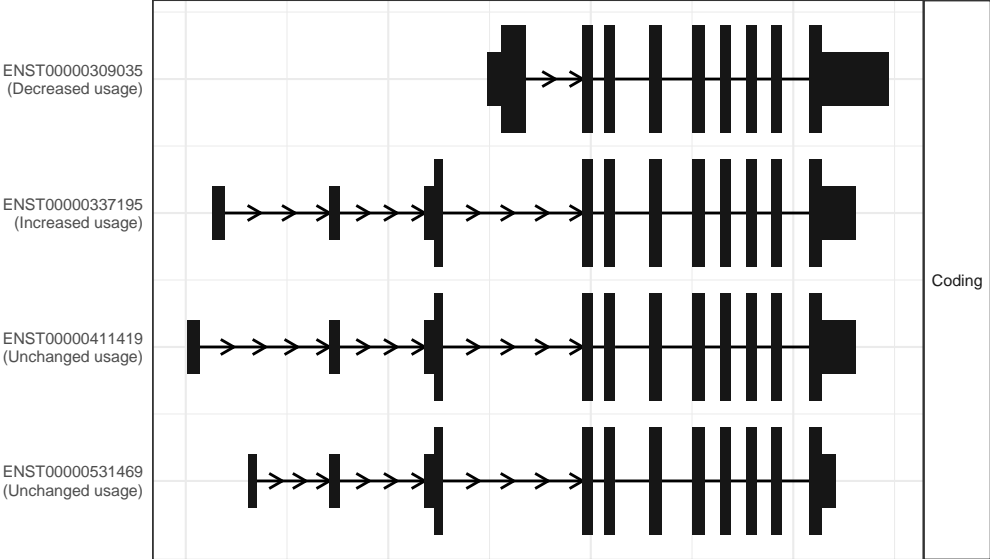
The isoform switch in FHL1P1 (RO_D209 vs RO_D45)



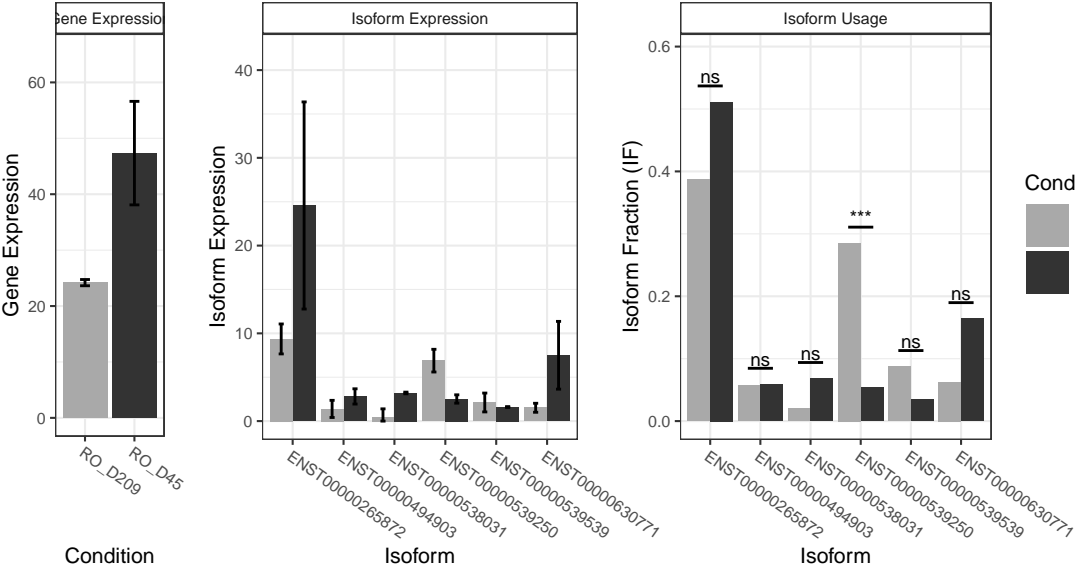
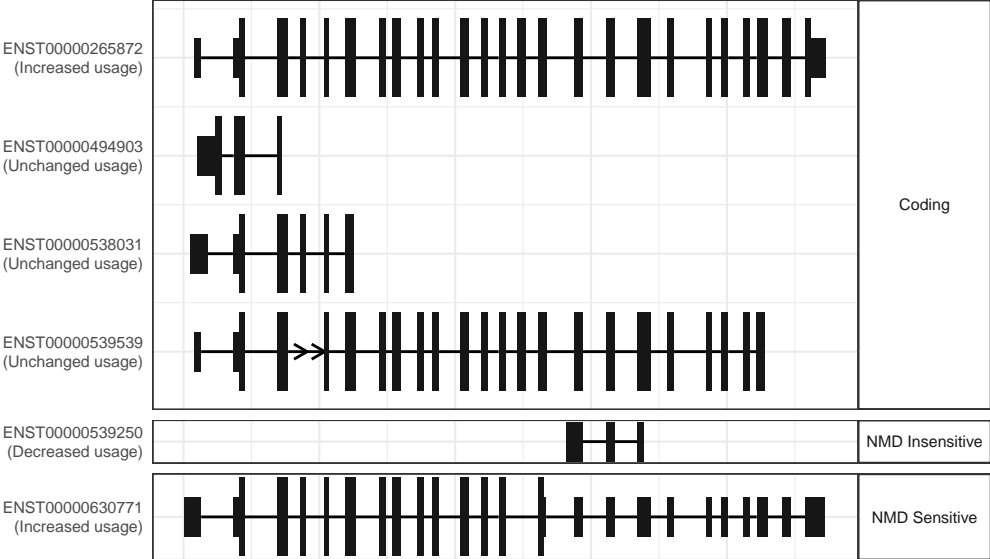
The isoform switch in HSBP1L1 (RO_D209 vs RO_D45)



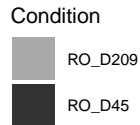
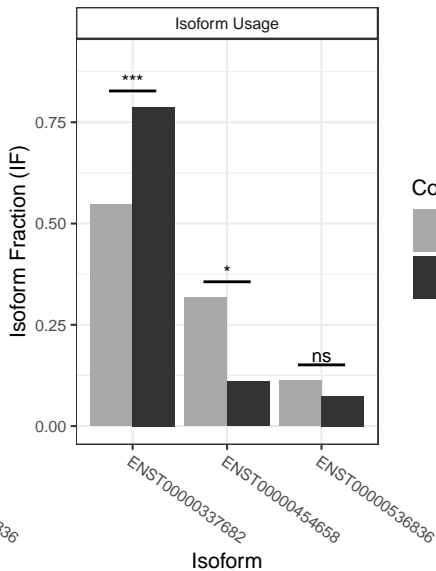
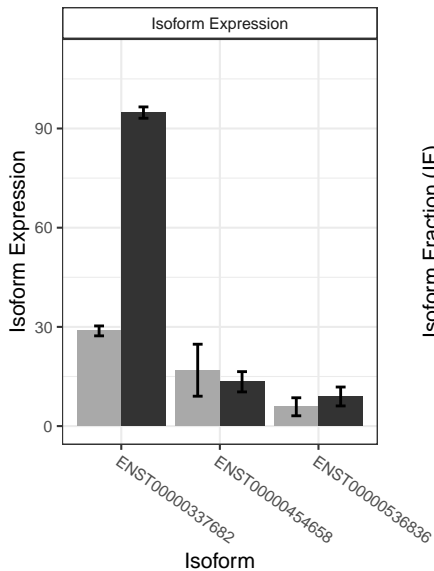
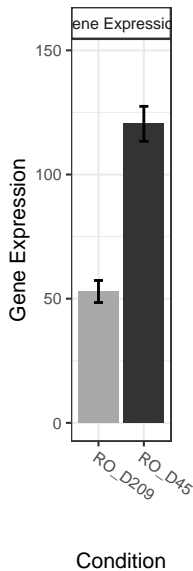
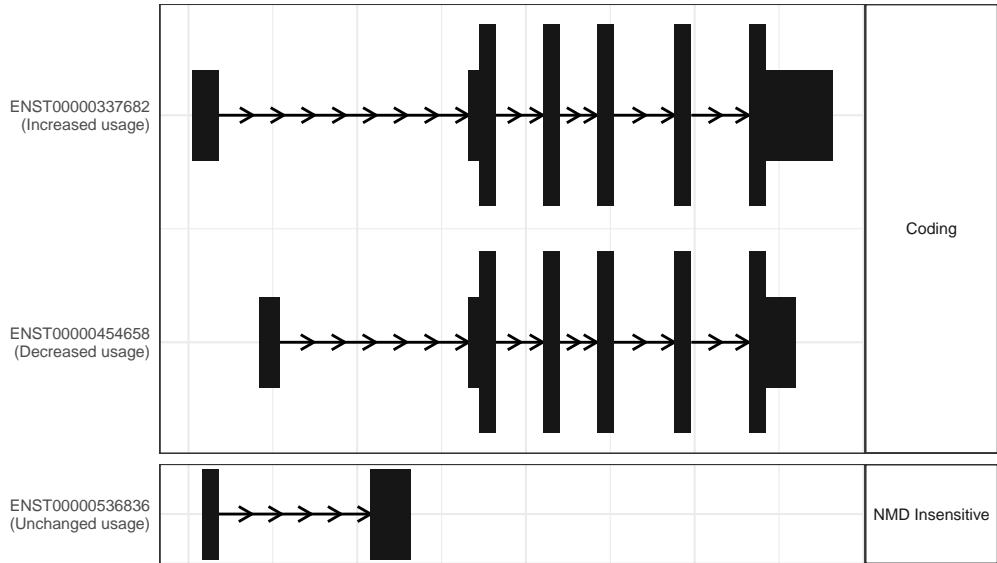
The isoform switch in CTBP2 (RO_D209 vs RO_D45)



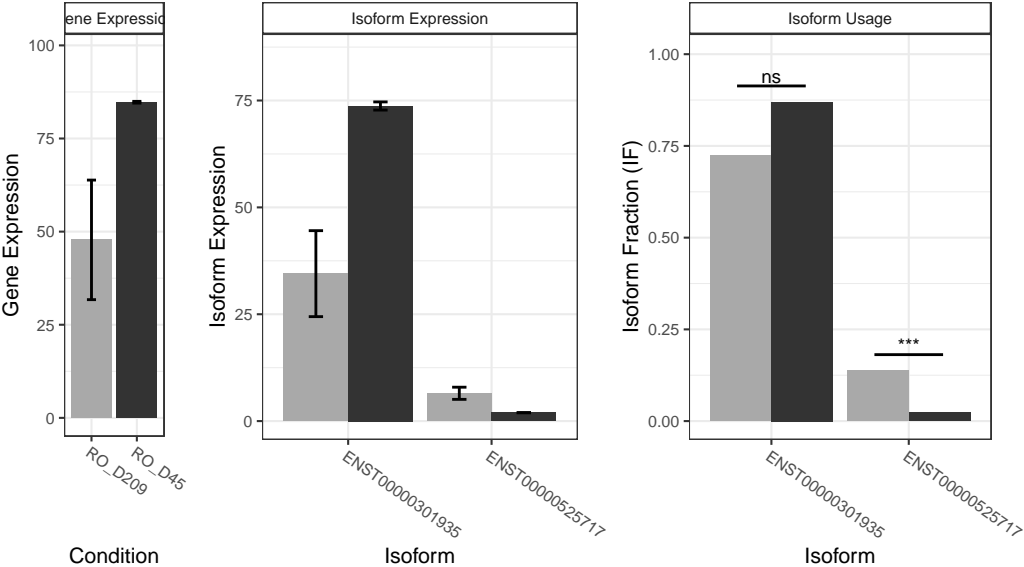
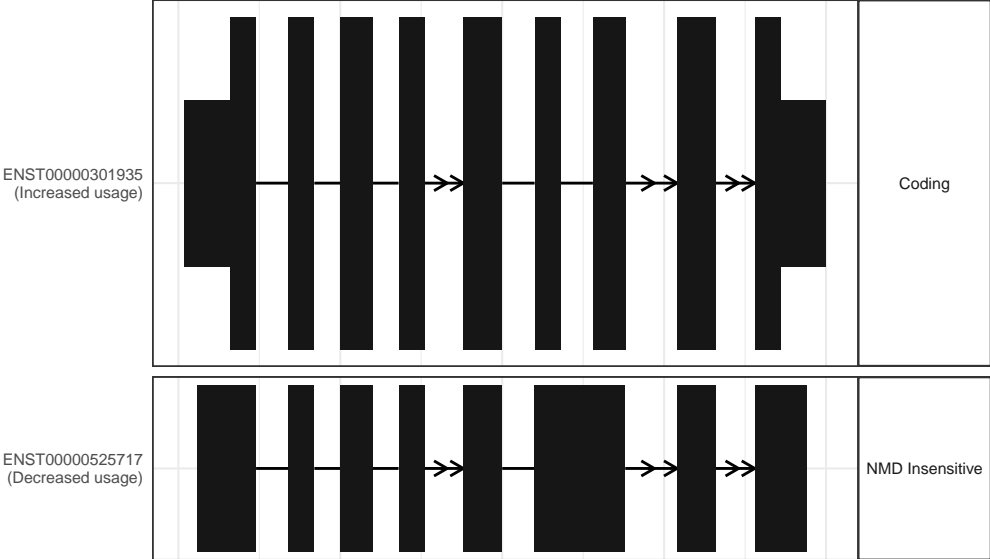
The isoform switch in CCAR1 (RO_D209 vs RO_D45)



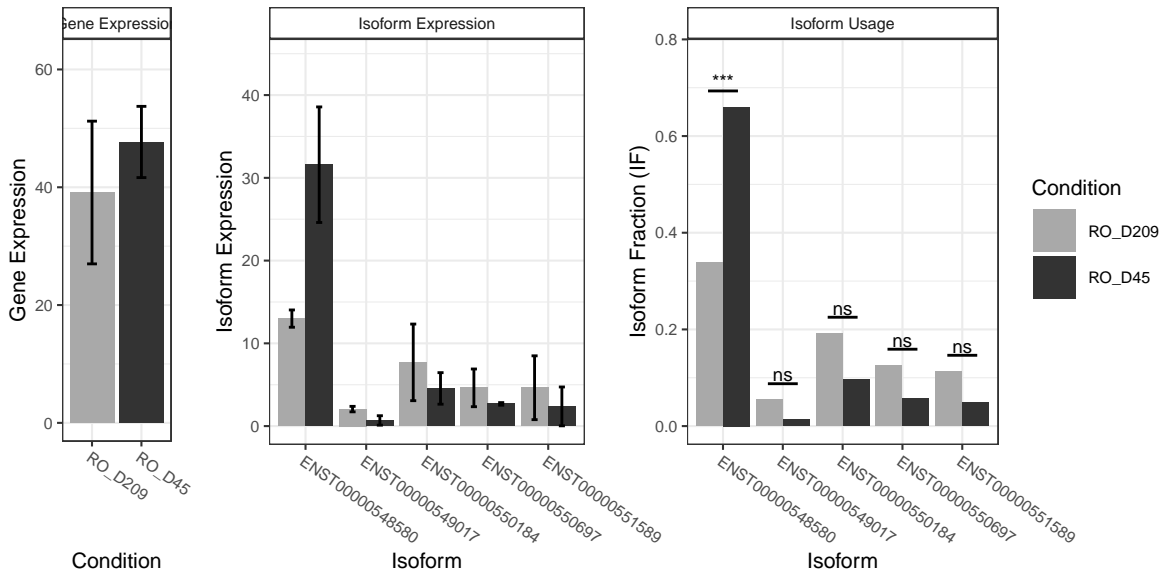
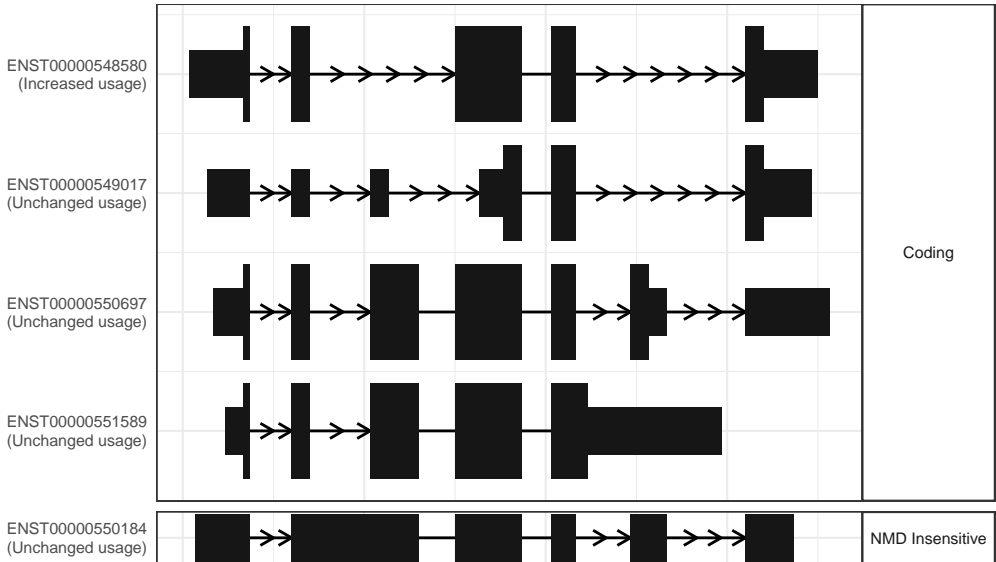
The isoform switch in SINHCAF (RO_D209 vs RO_D45)



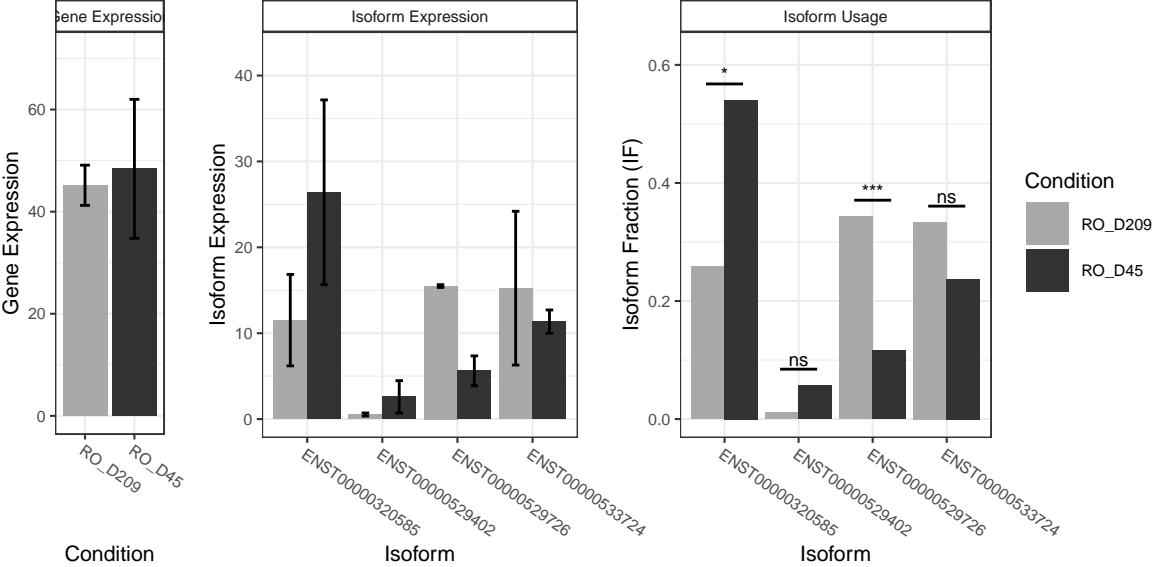
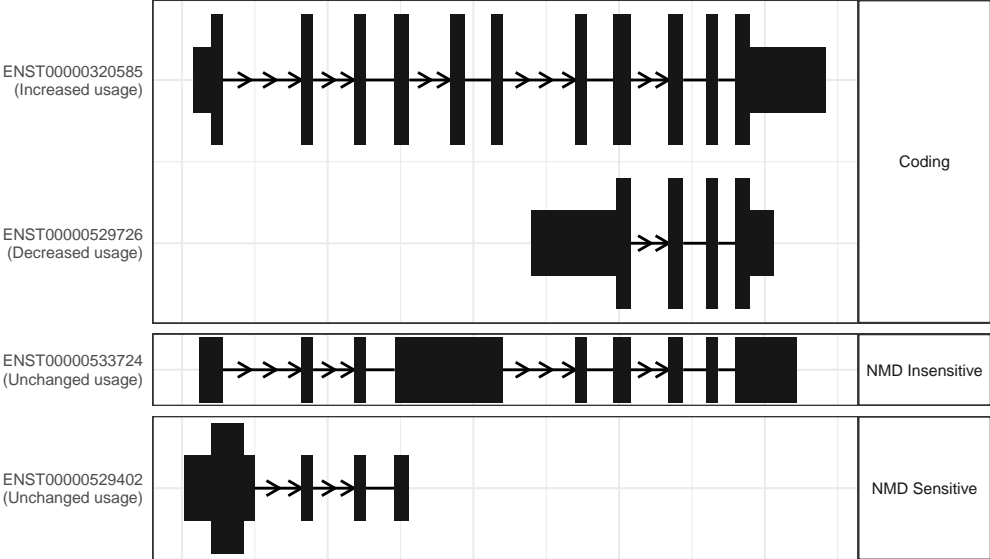
The isoform switch in UBXN1 (RO_D209 vs RO_D45)



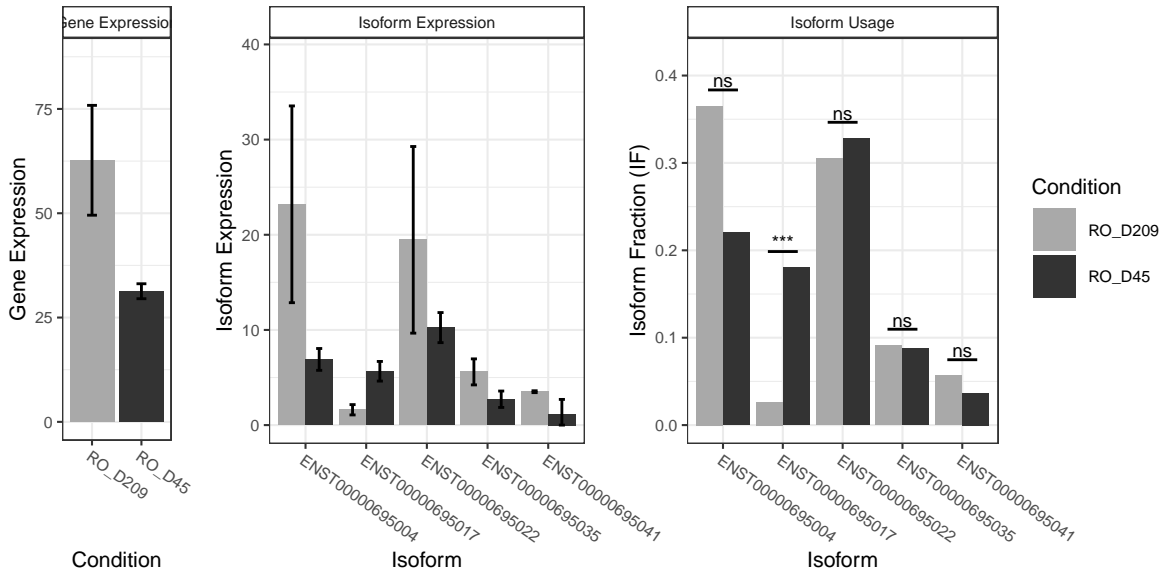
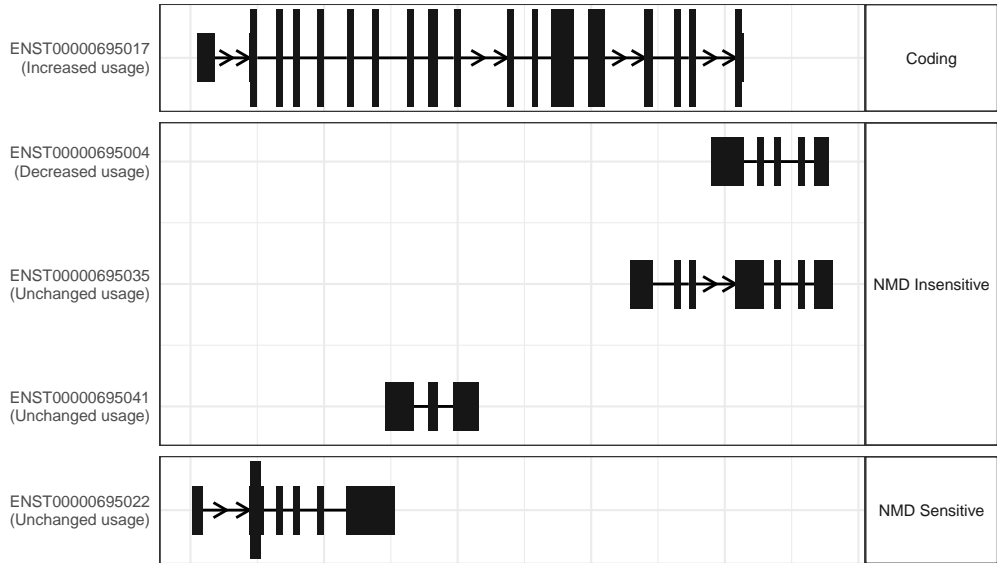
The isoform switch in MYL6 (RO_D209 vs RO_D45)



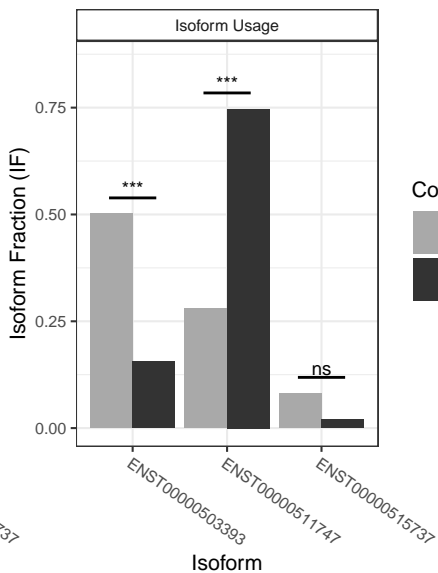
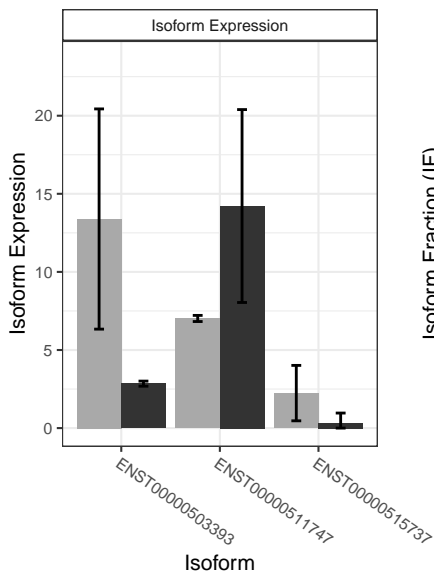
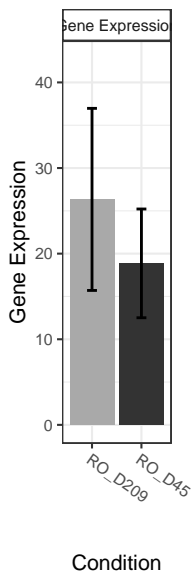
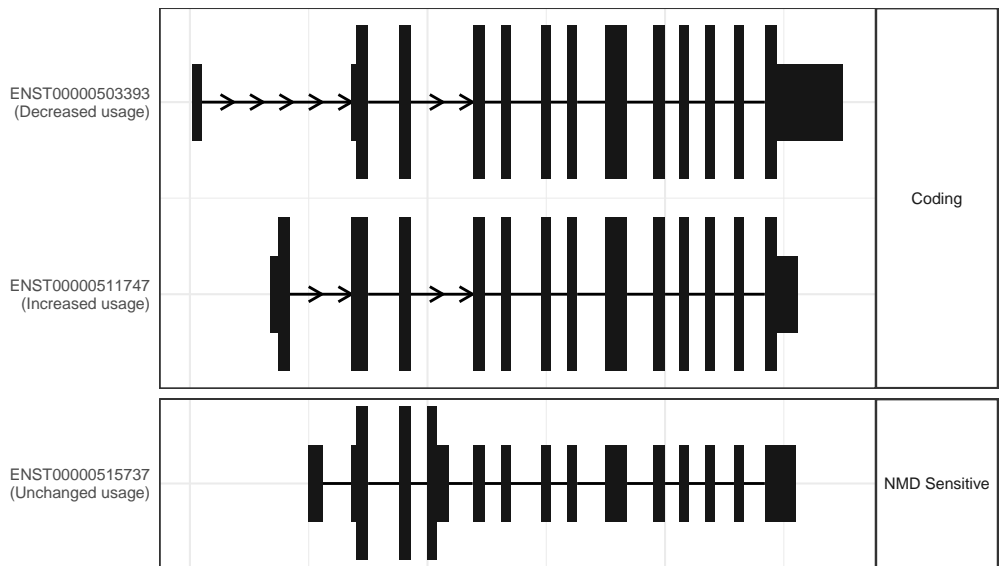
The isoform switch in CHORDC1 (RO_D209 vs RO_D45)



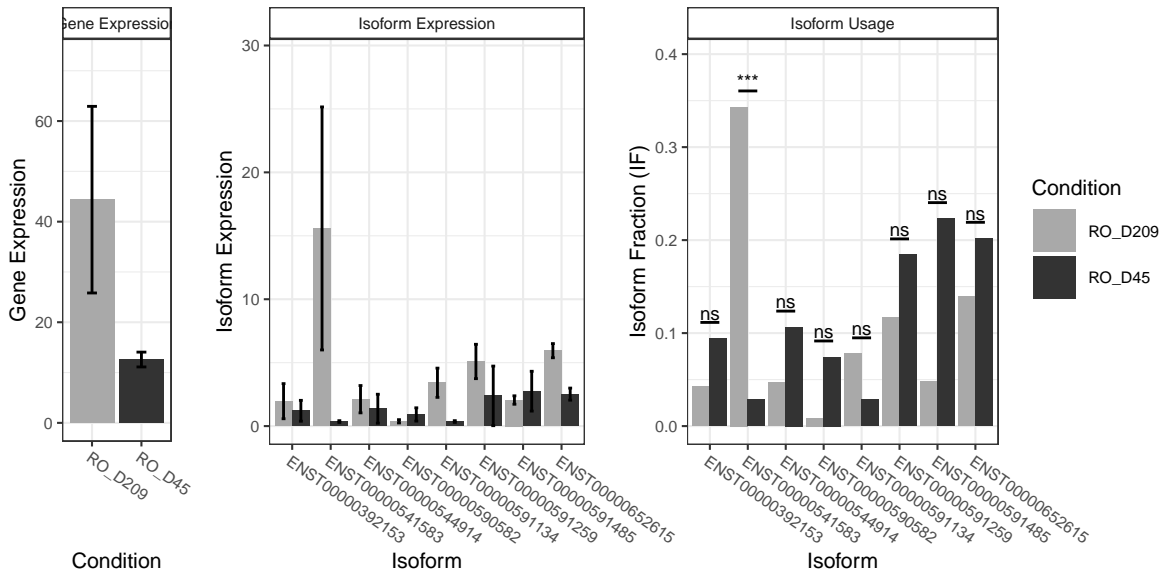
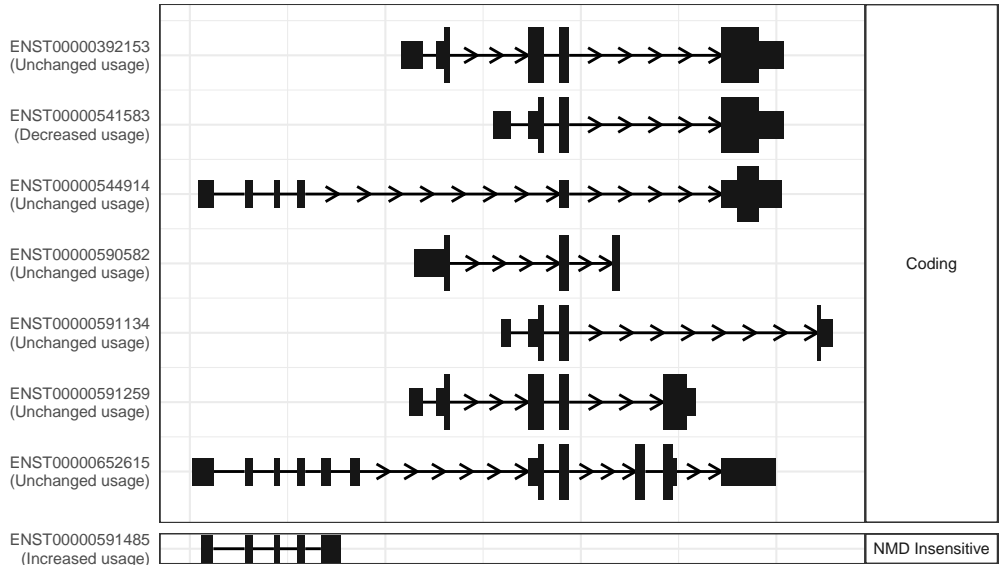
The isoform switch in GOLGB1 (RO_D209 vs RO_D45)



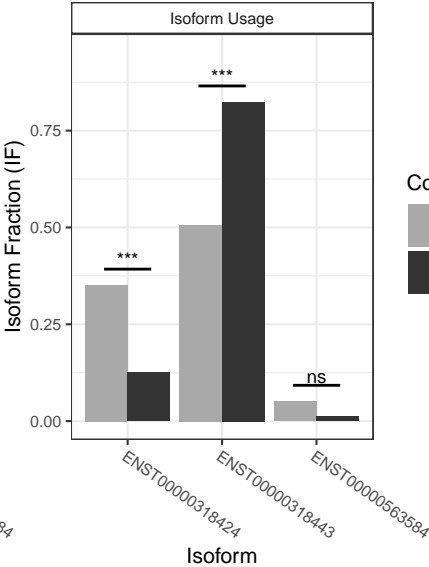
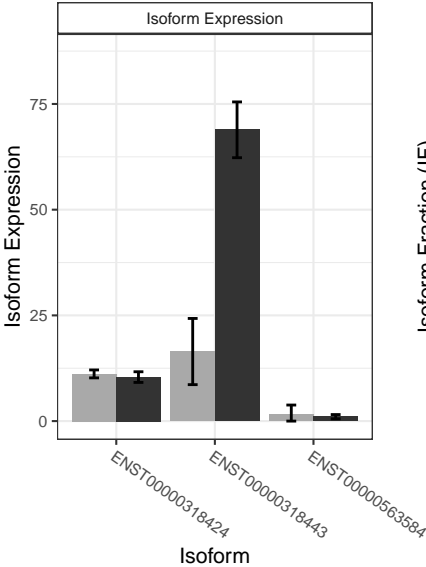
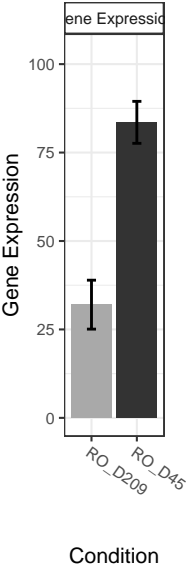
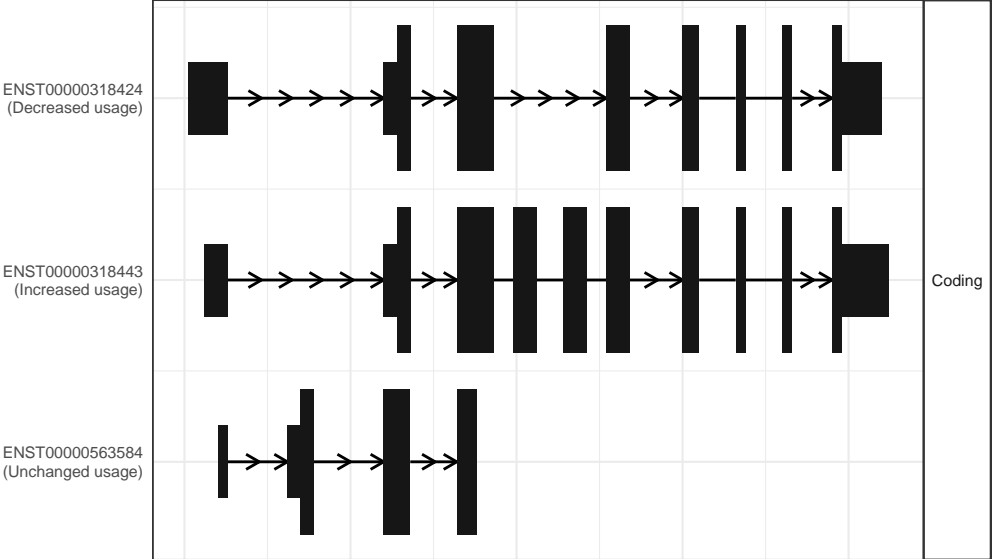
The isoform switch in SH3BP2 (RO_D209 vs RO_D45)



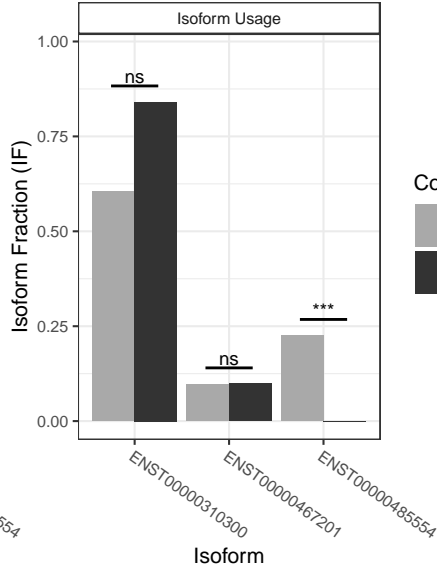
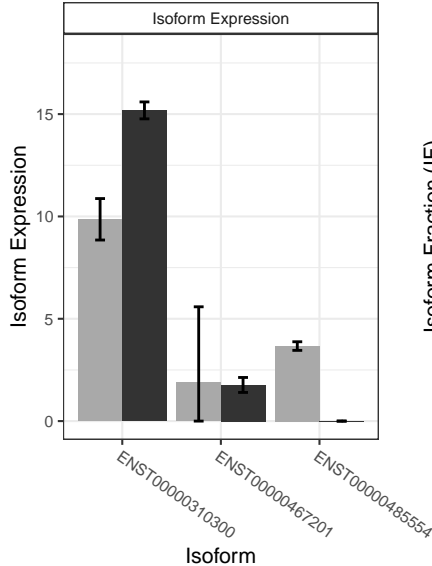
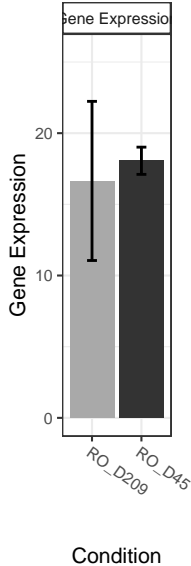
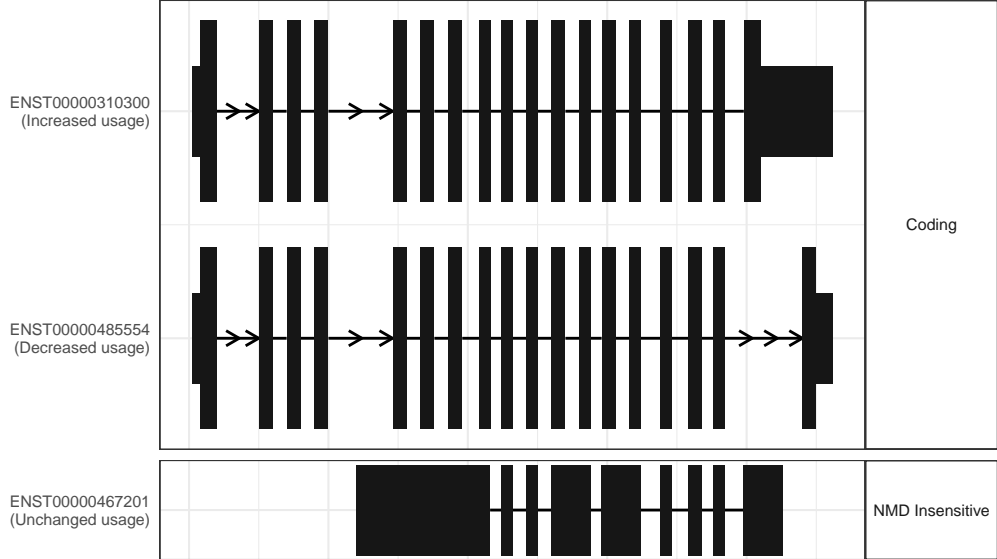
The isoform switch in ZNF875 (RO_D209 vs RO_D45)



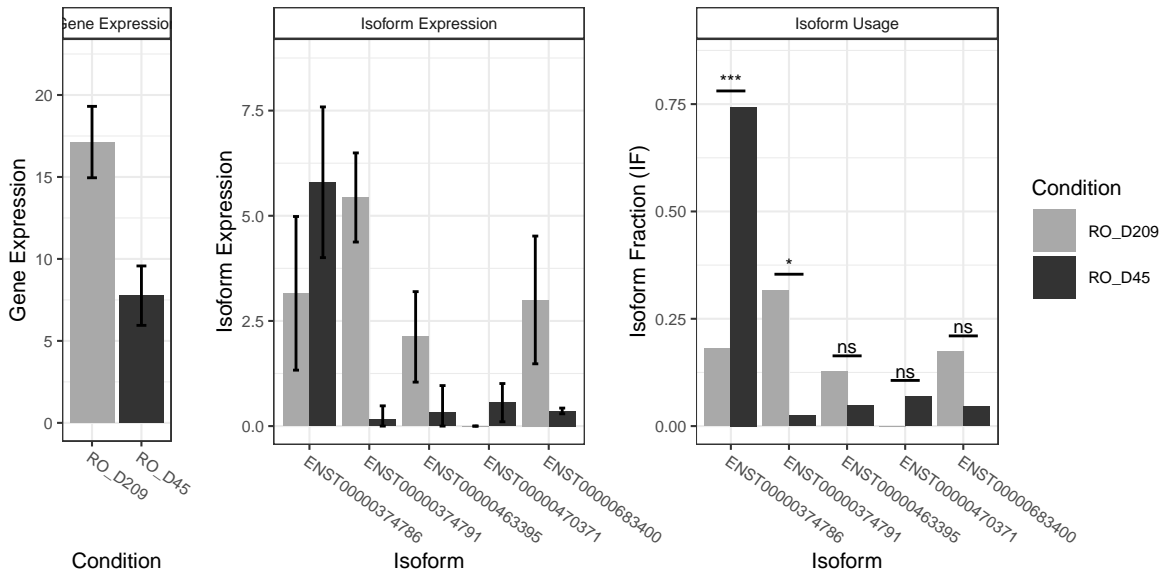
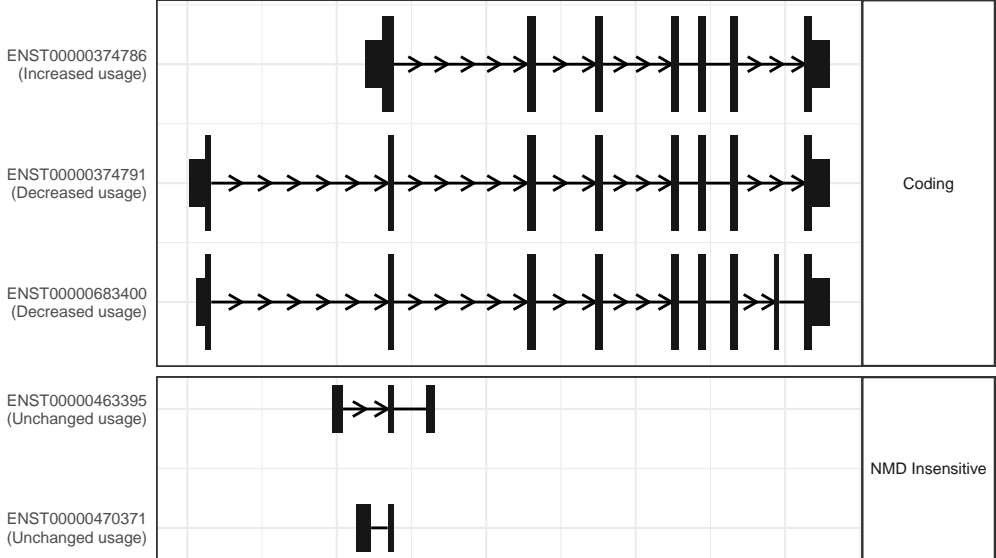
The isoform switch in CD276 (RO_D209 vs RO_D45)



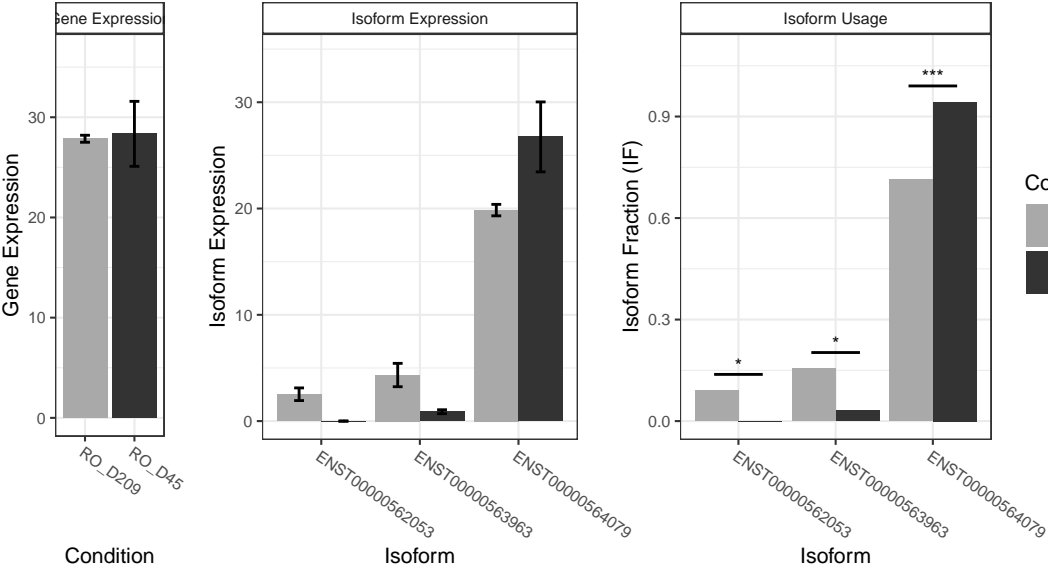
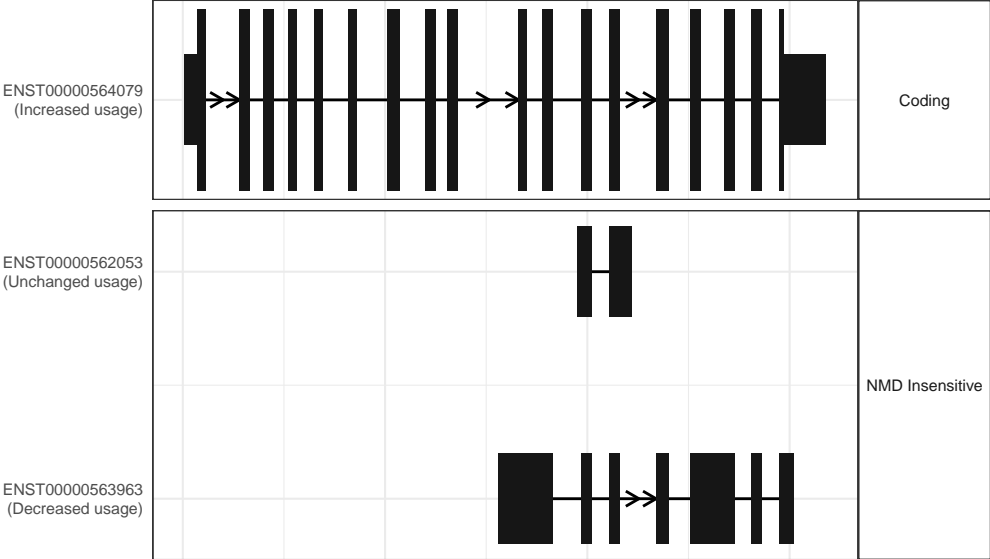
The isoform switch in LRCH4 (RO_D209 vs RO_D45)



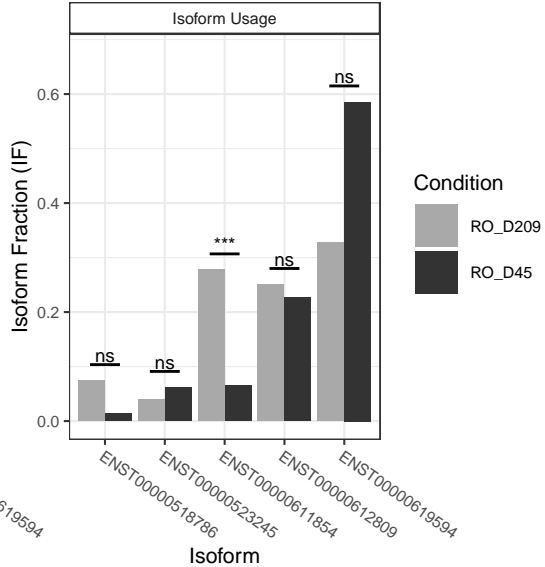
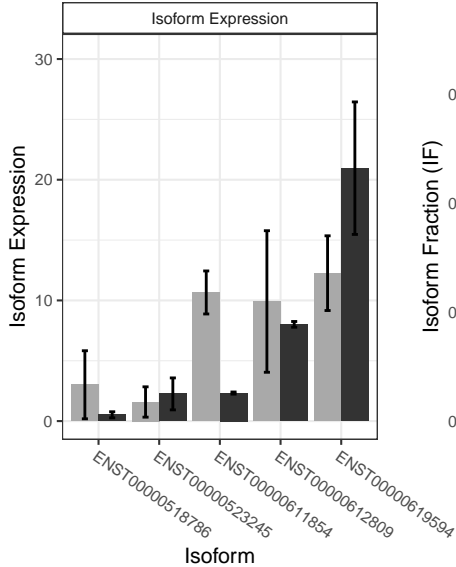
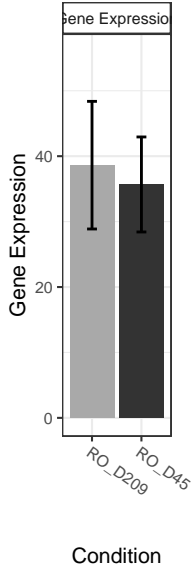
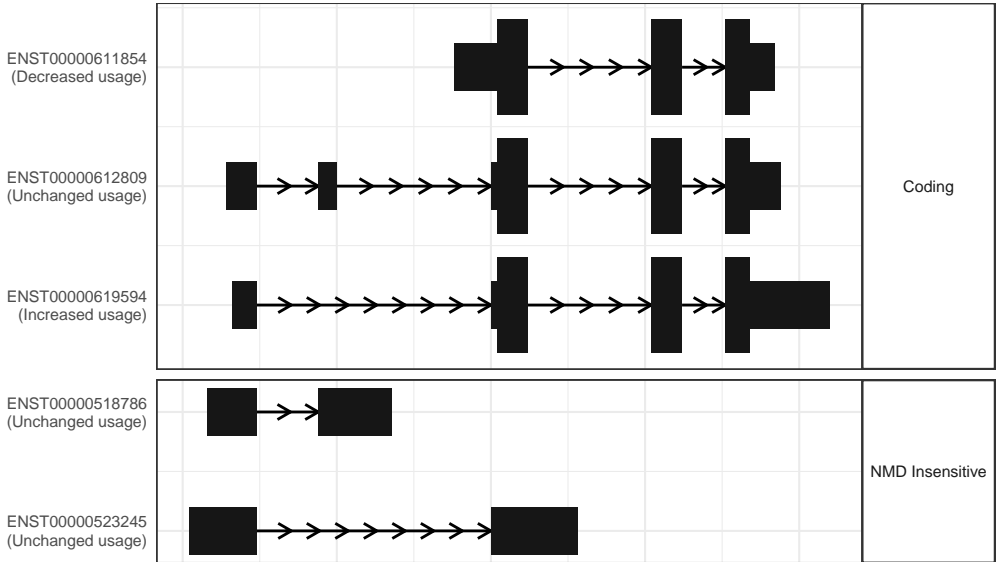
The isoform switch in NTM (RO_D209 vs RO_D45)



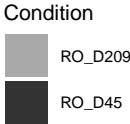
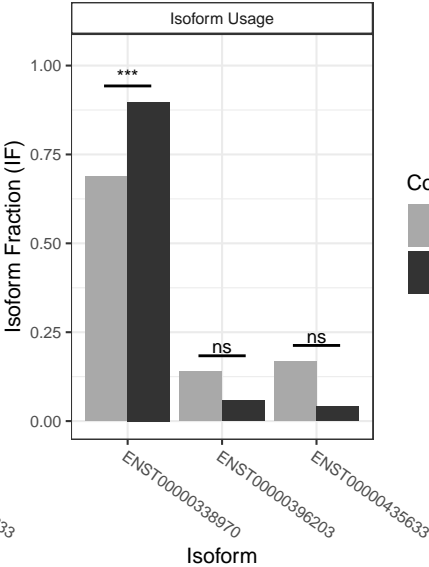
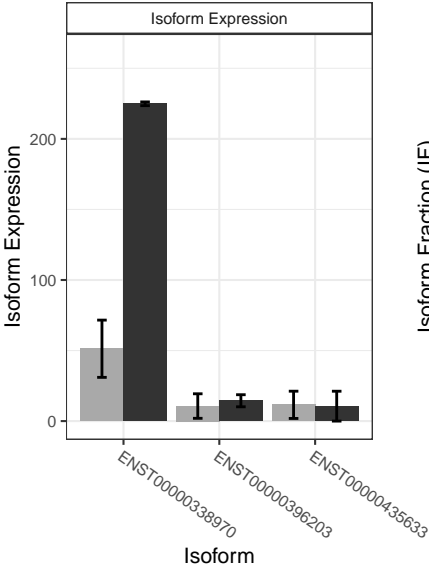
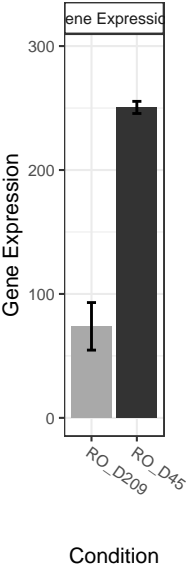
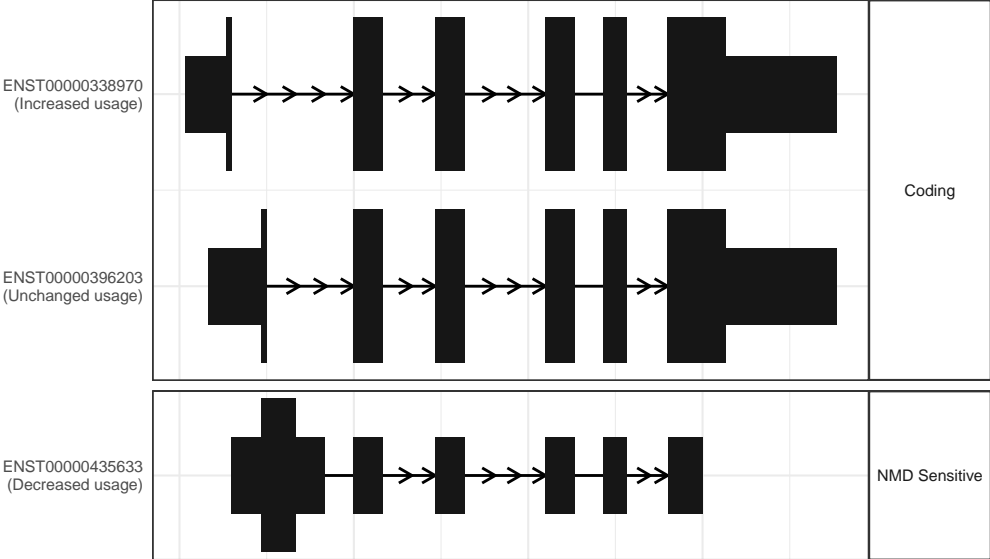
The isoform switch in TUBGCP4 (RO_D209 vs RO_D45)



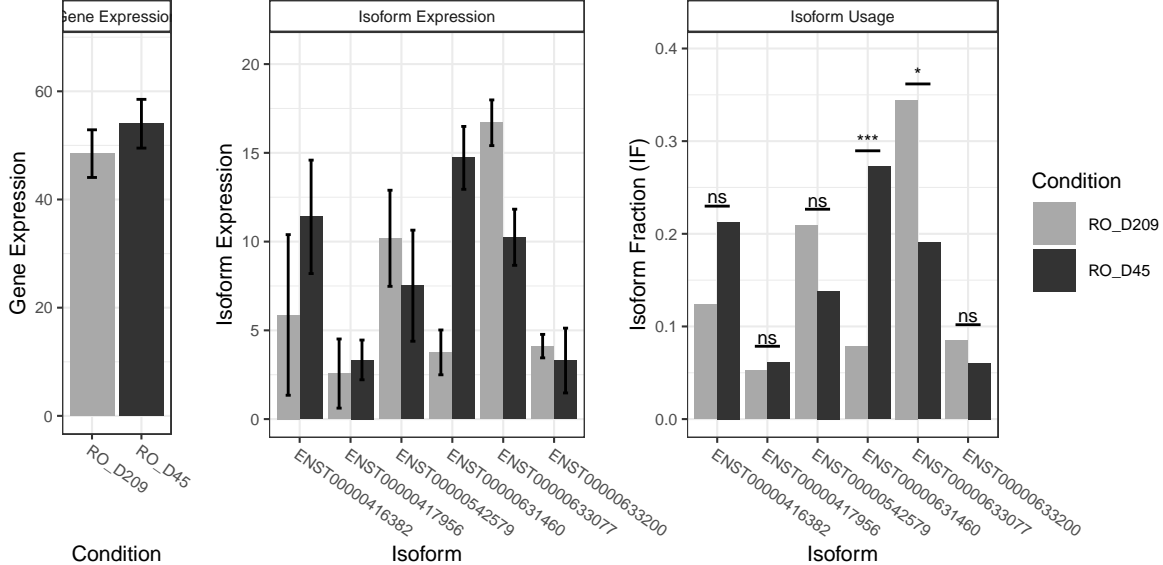
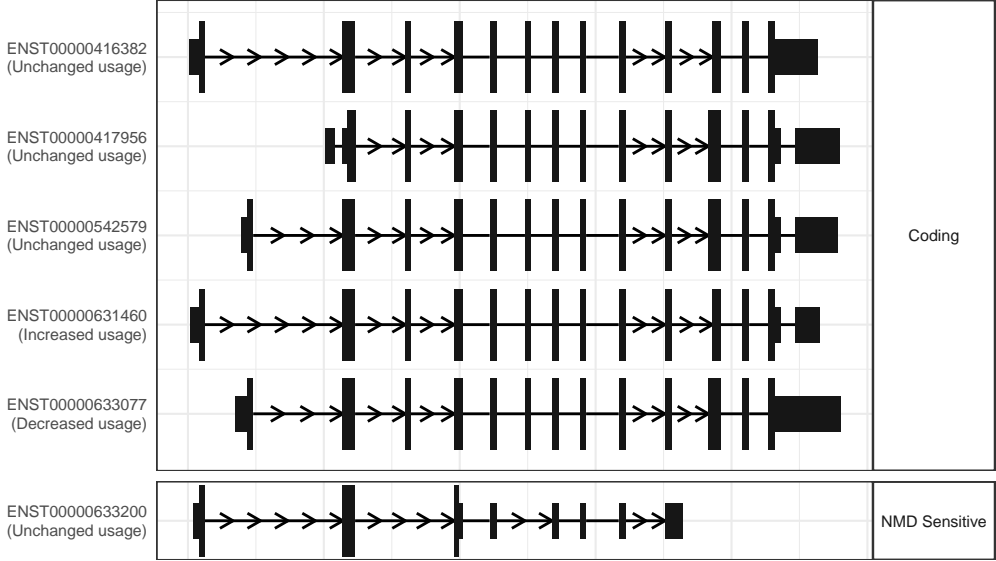
The isoform switch in RBIS (RO_D209 vs RO_D45)



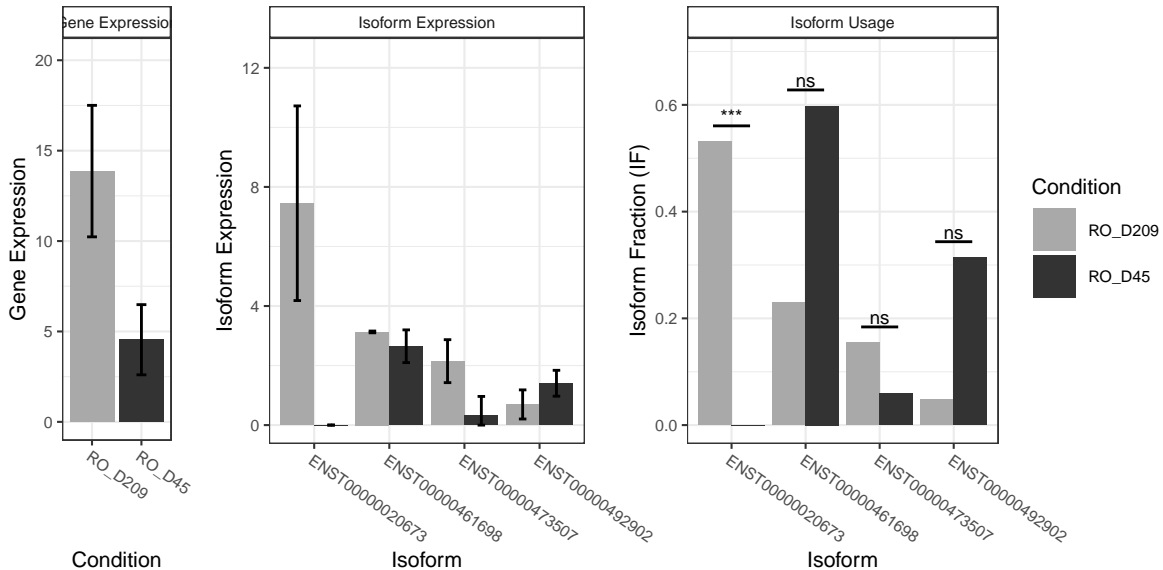
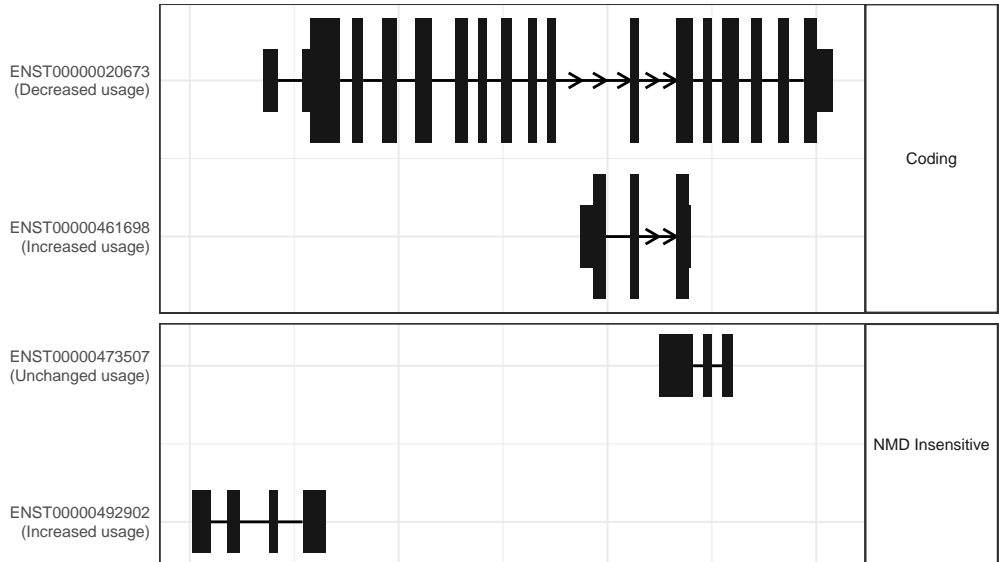
The isoform switch in RPL14 (RO_D209 vs RO_D45)



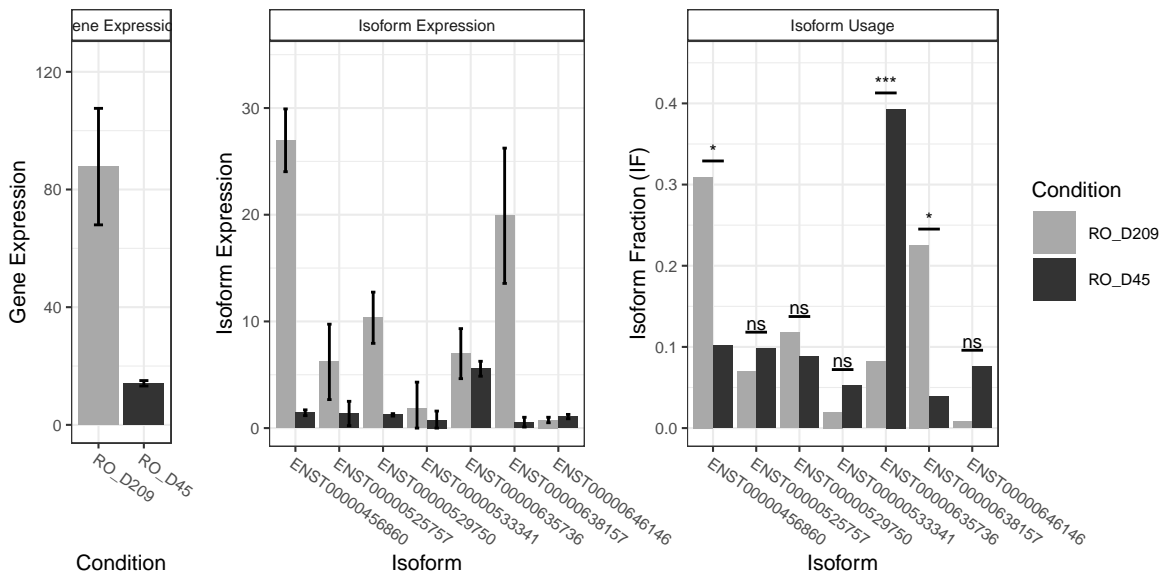
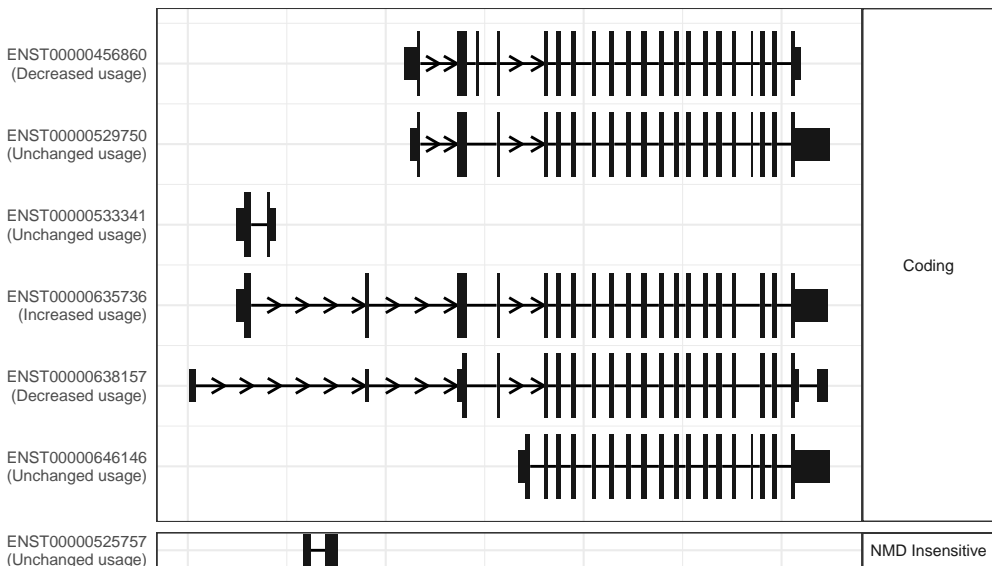
The isoform switch in CELF2 (RO_D209 vs RO_D45)



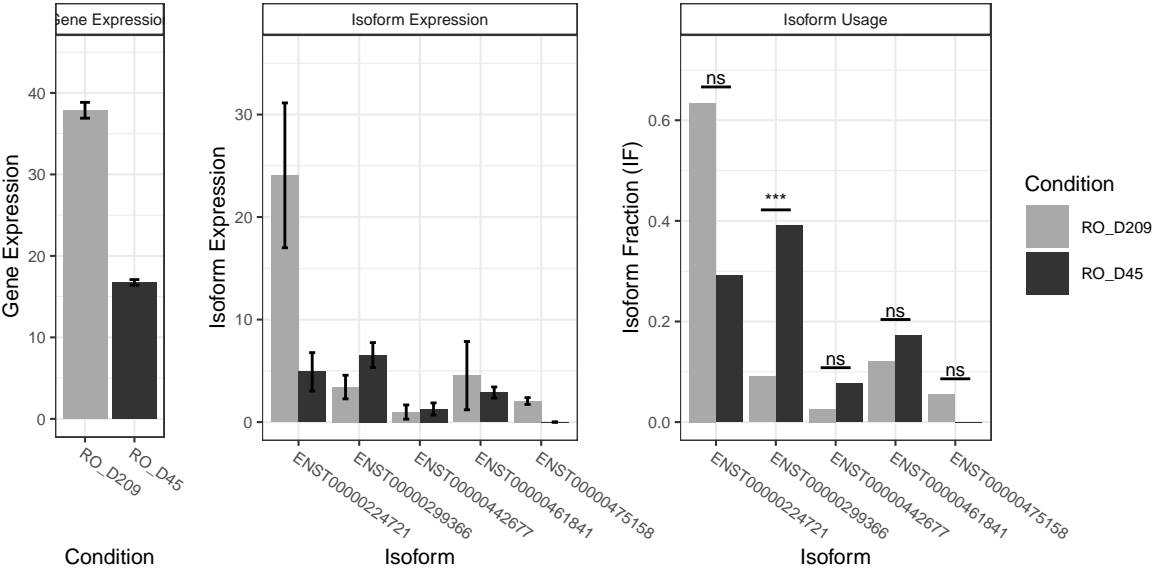
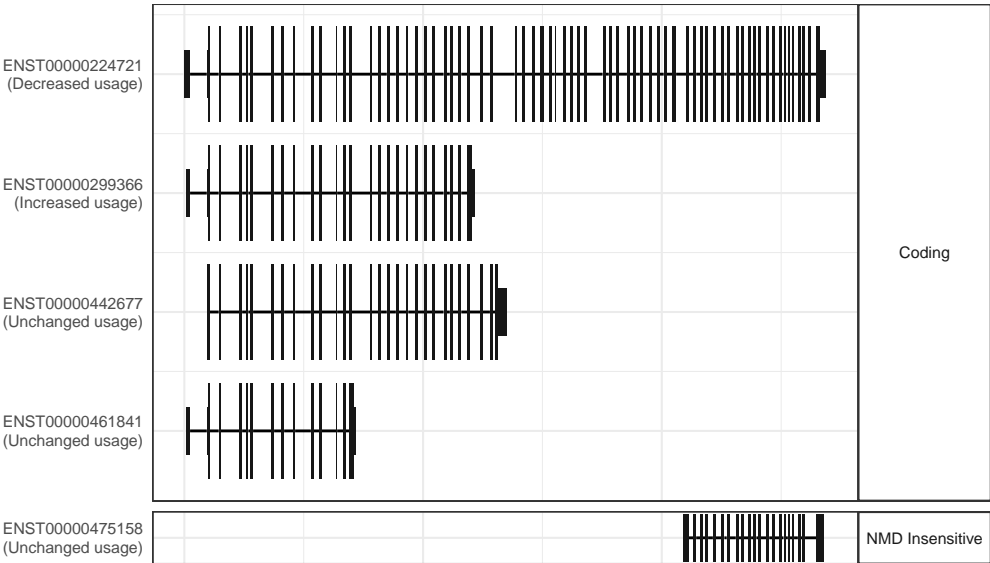
The isoform switch in PSD (RO_D209 vs RO_D45)



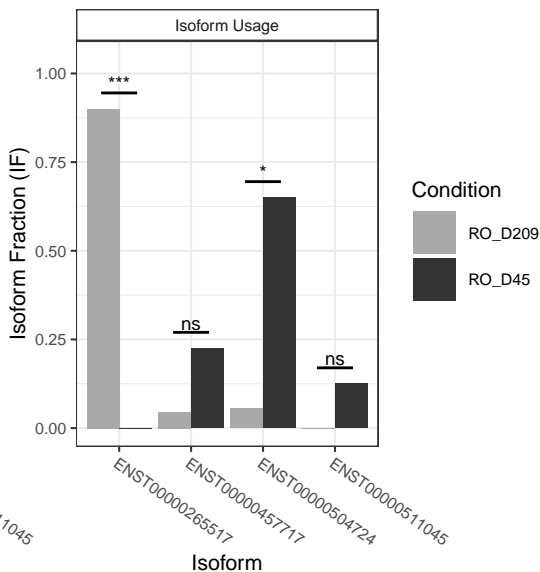
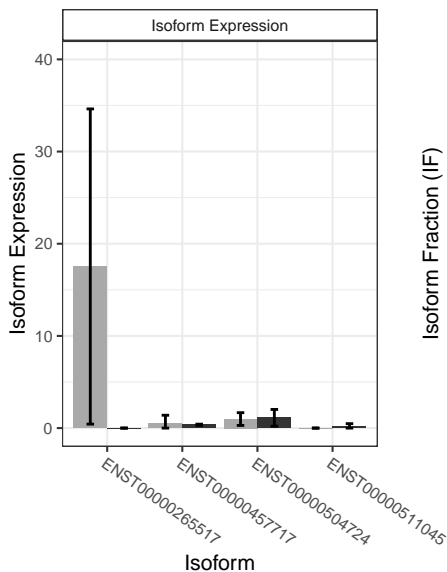
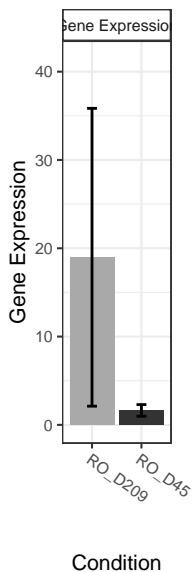
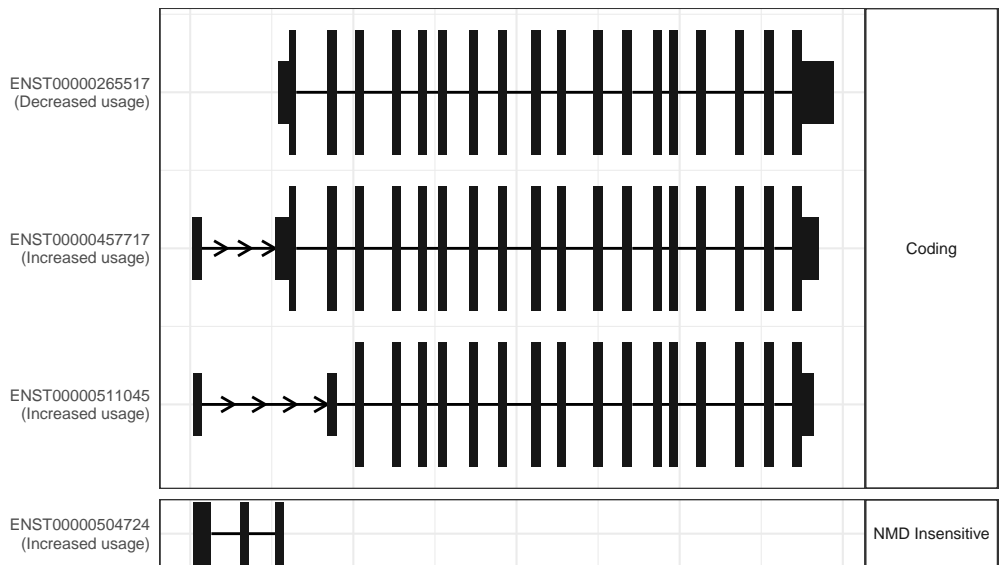
The isoform switch in GRAMD1B (RO_D209 vs RO_D45)



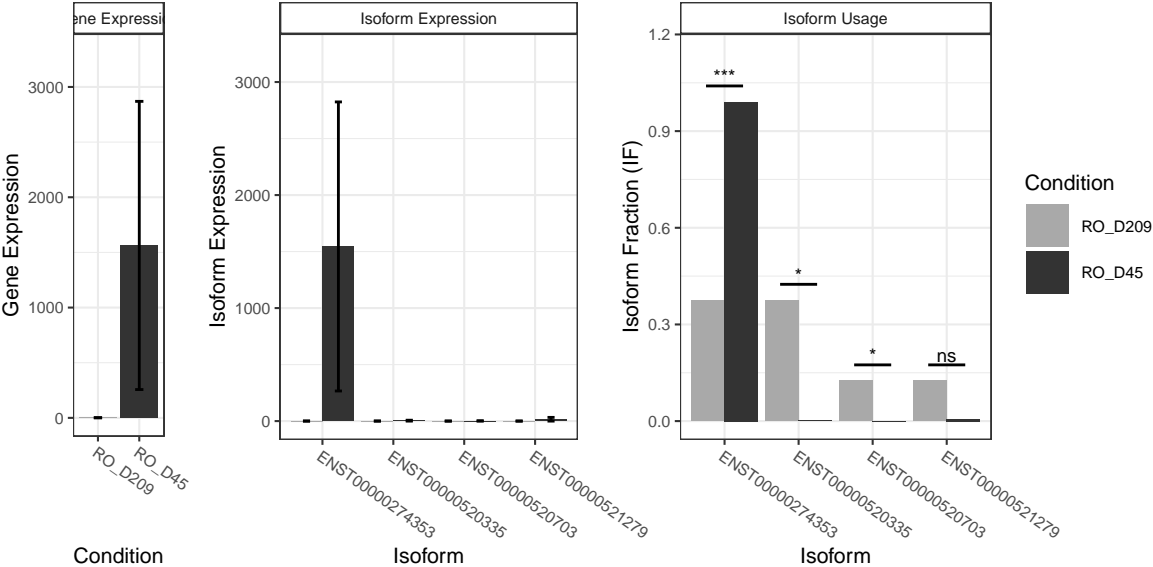
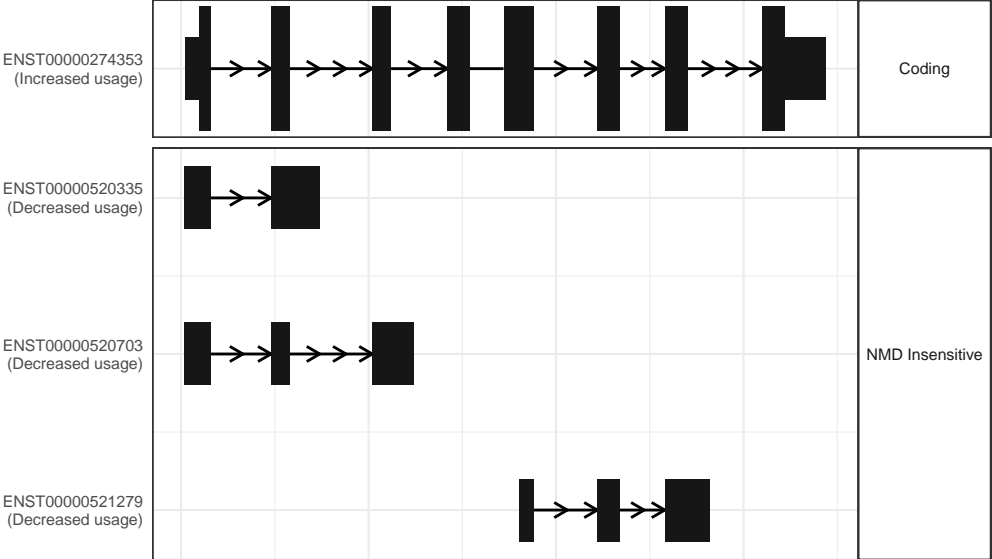
The isoform switch in CDH23 (RO_D209 vs RO_D45)



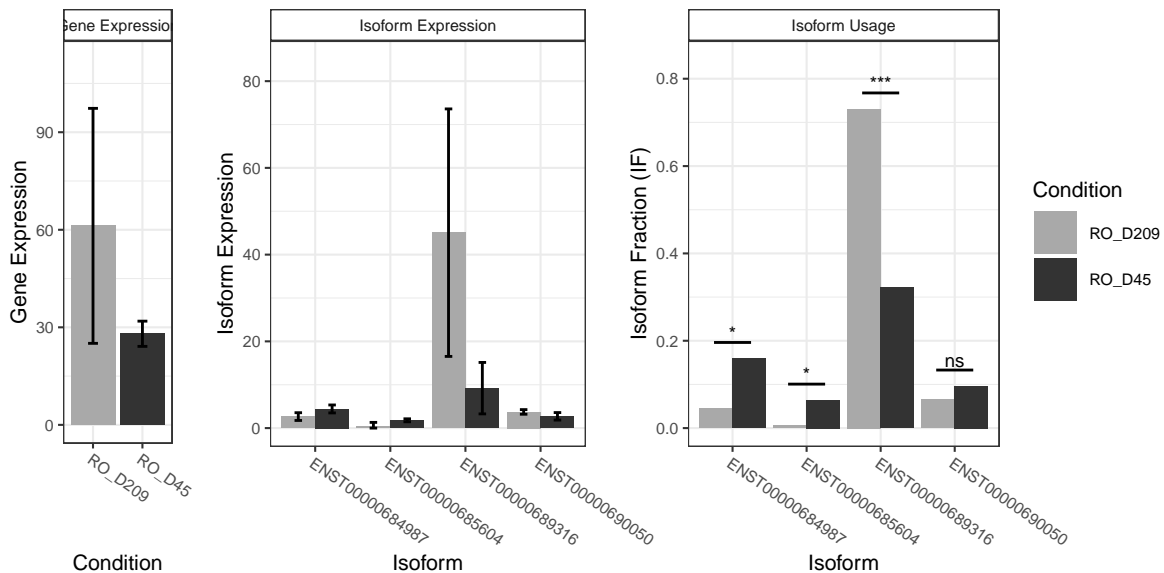
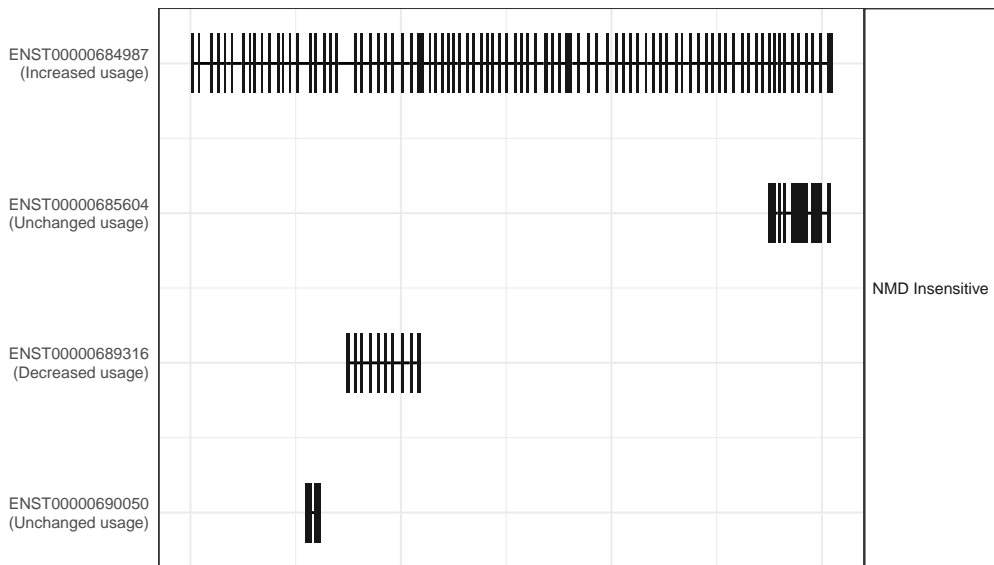
The isoform switch in MTTP (RO_D209 vs RO_D45)



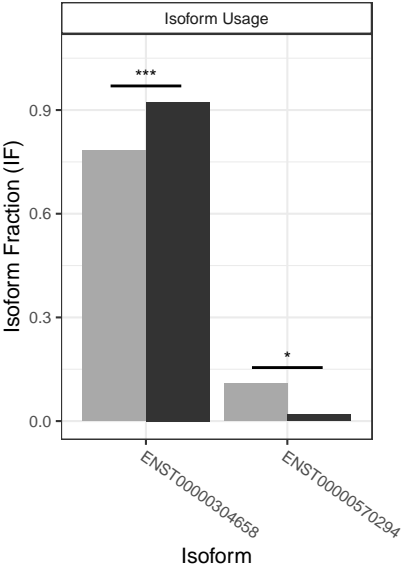
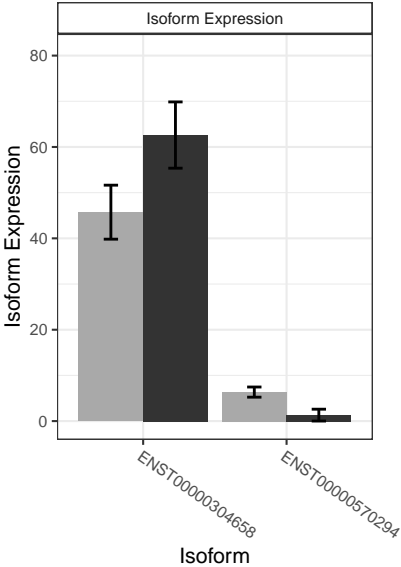
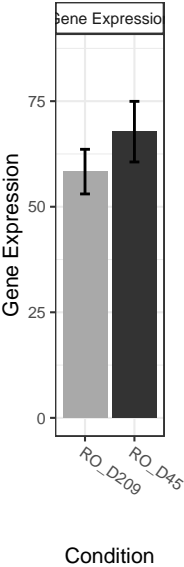
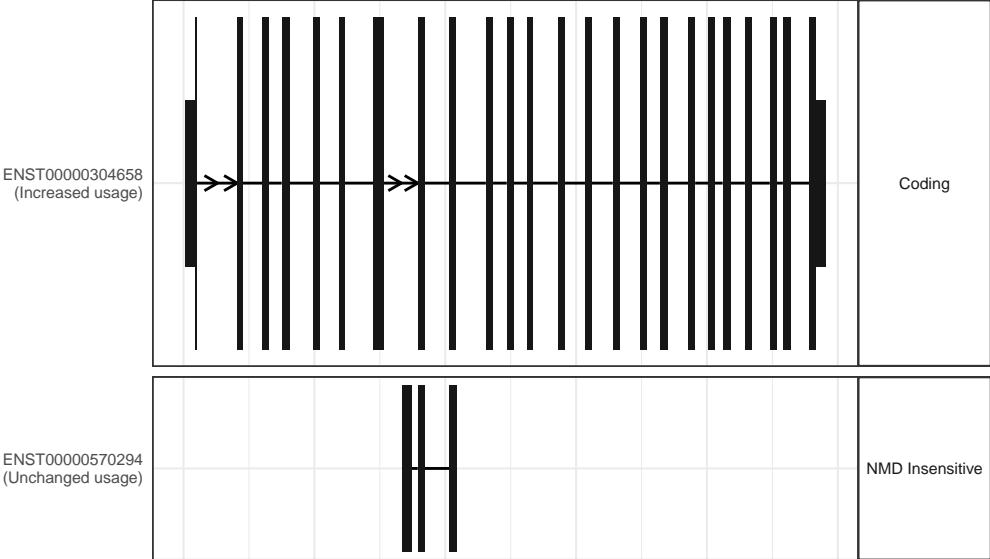
The isoform switch in BHMT (RO_D209 vs RO_D45)



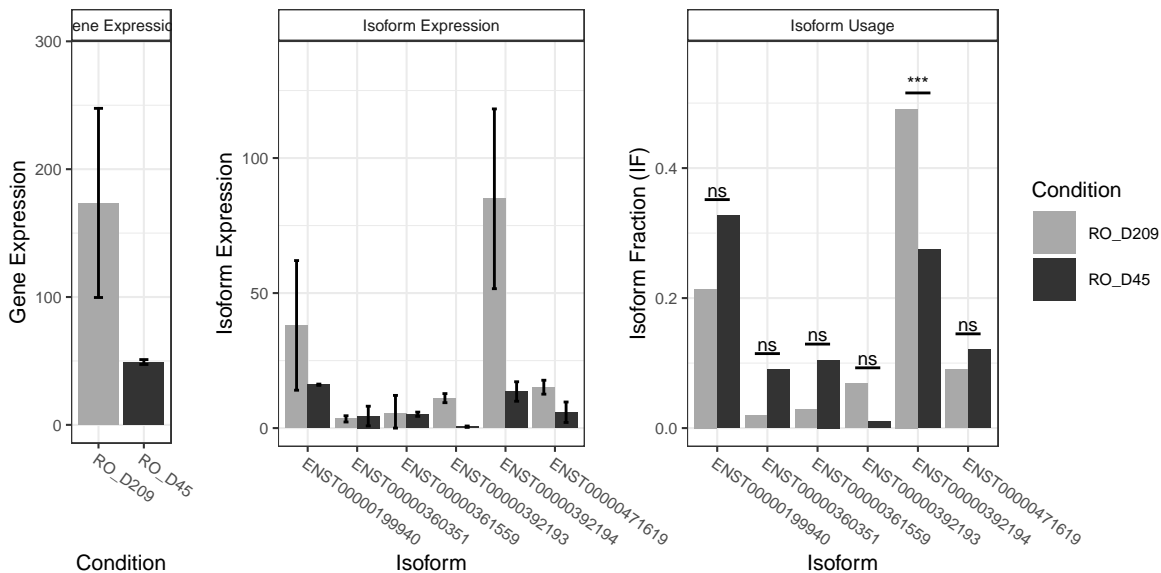
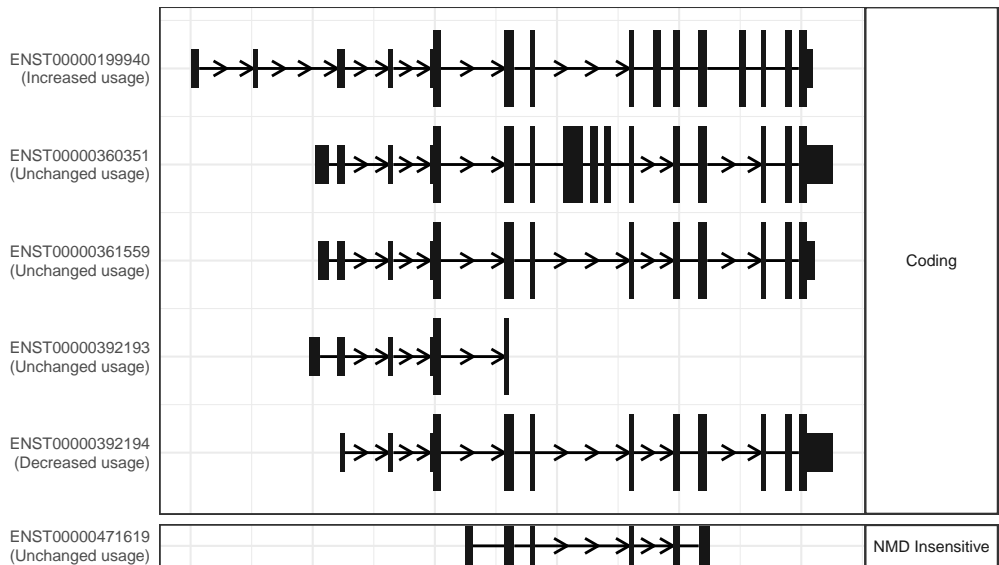
The isoform switch in BLTP1 (RO_D209 vs RO_D45)



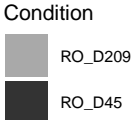
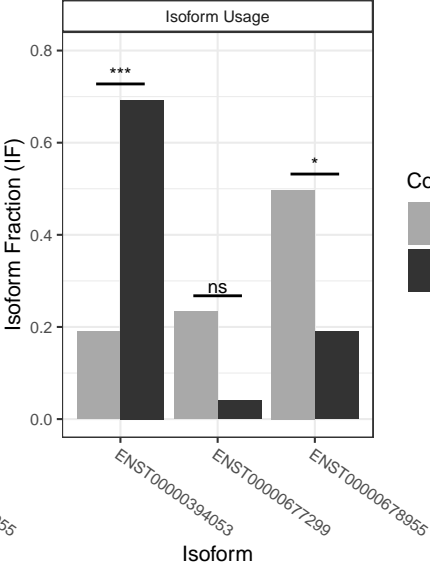
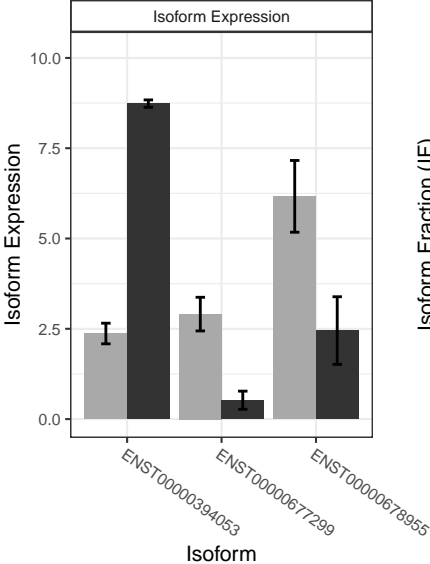
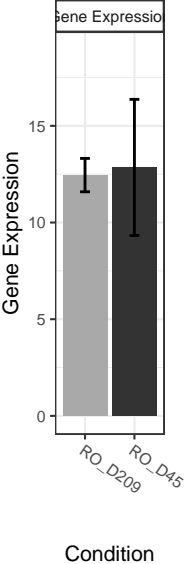
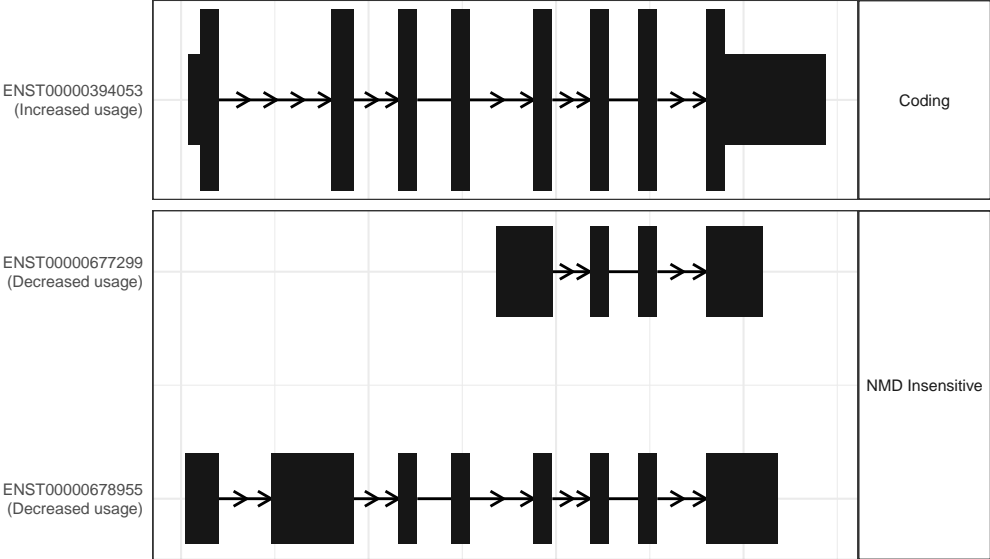
The isoform switch in XPO6 (RO_D209 vs RO_D45)



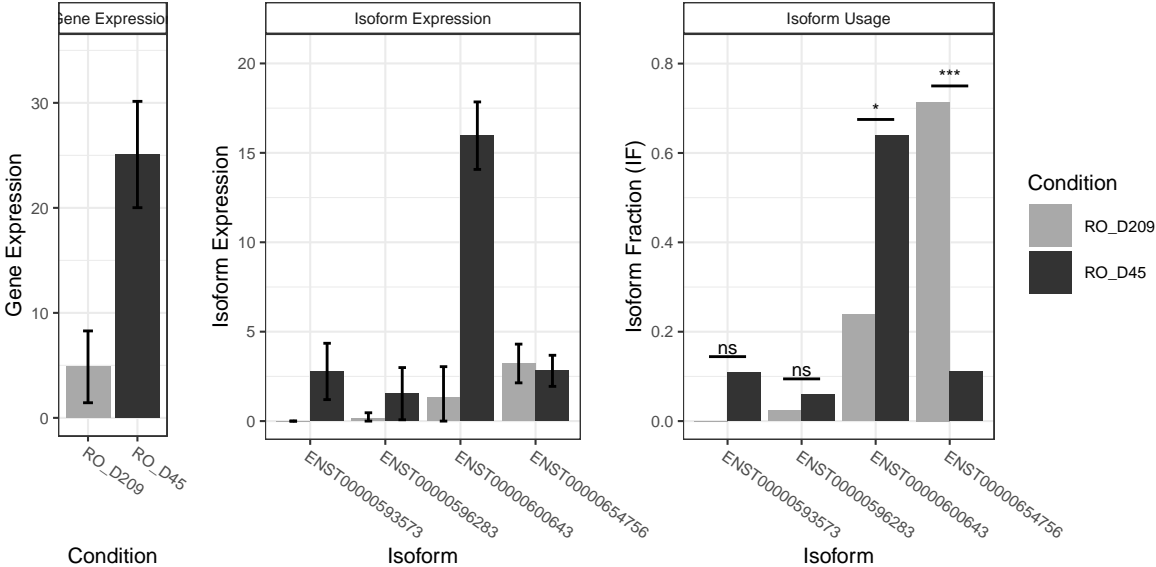
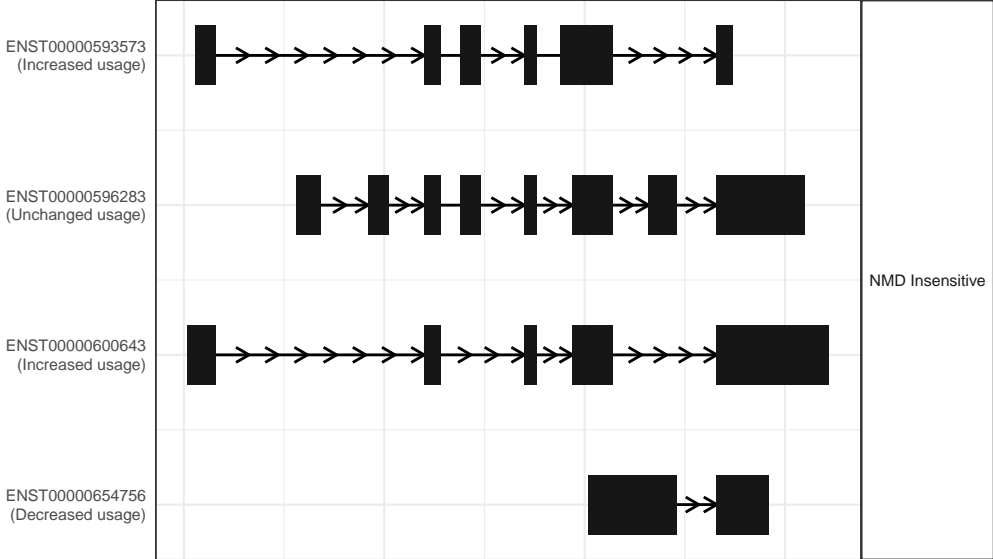
The isoform switch in MAP2 (RO_D209 vs RO_D45)



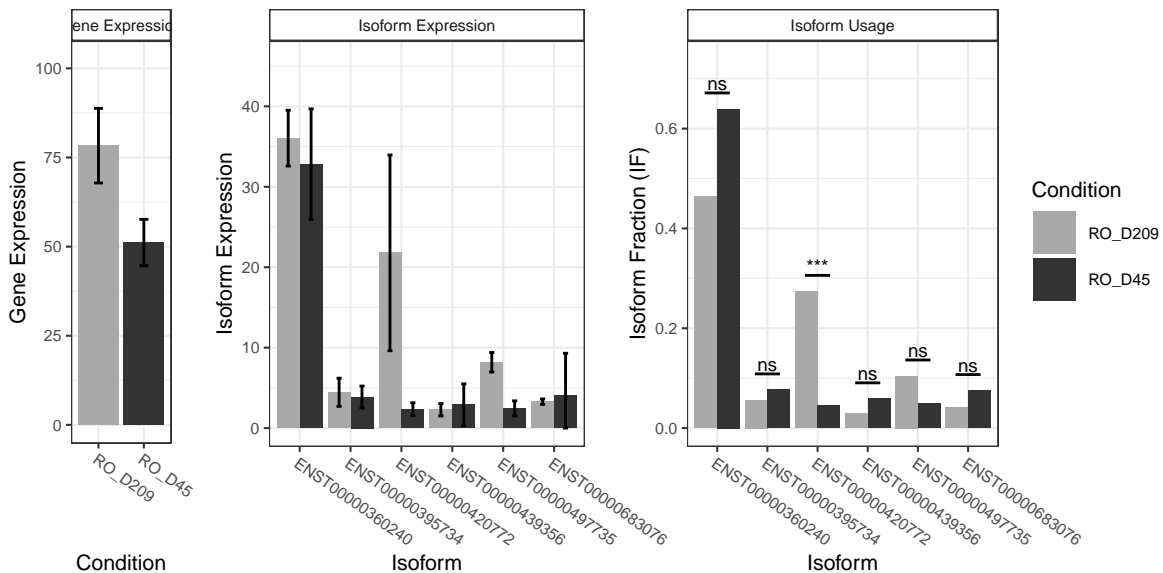
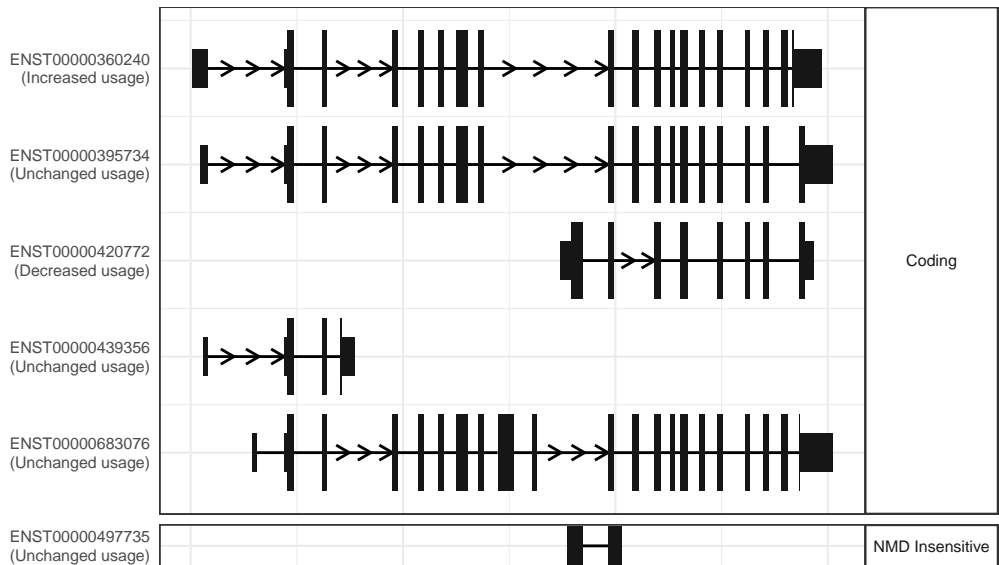
The isoform switch in MTHFD2 (RO_D209 vs RO_D45)



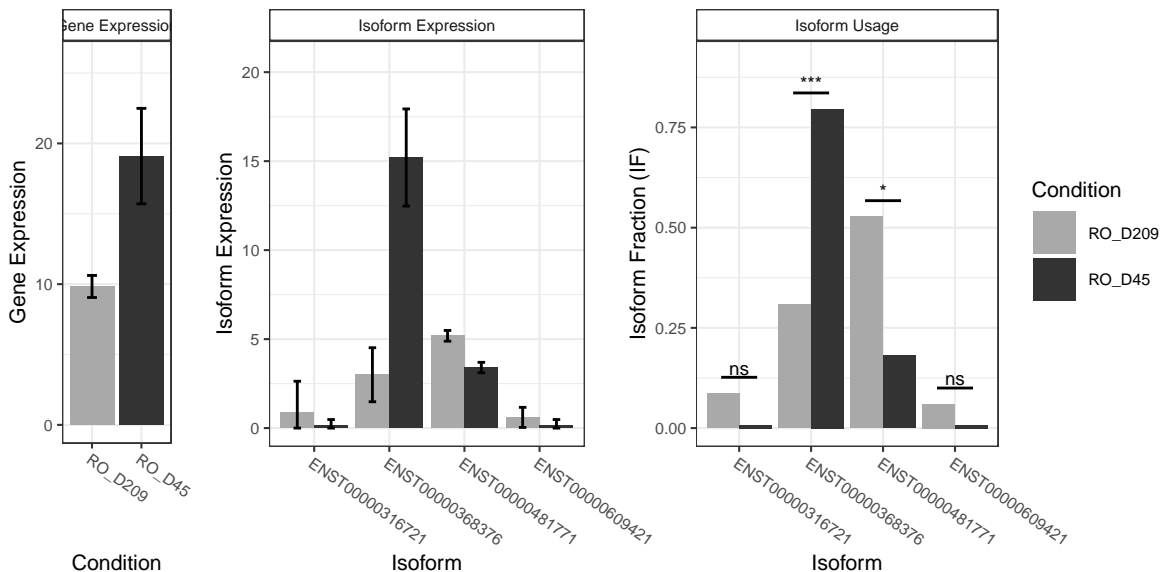
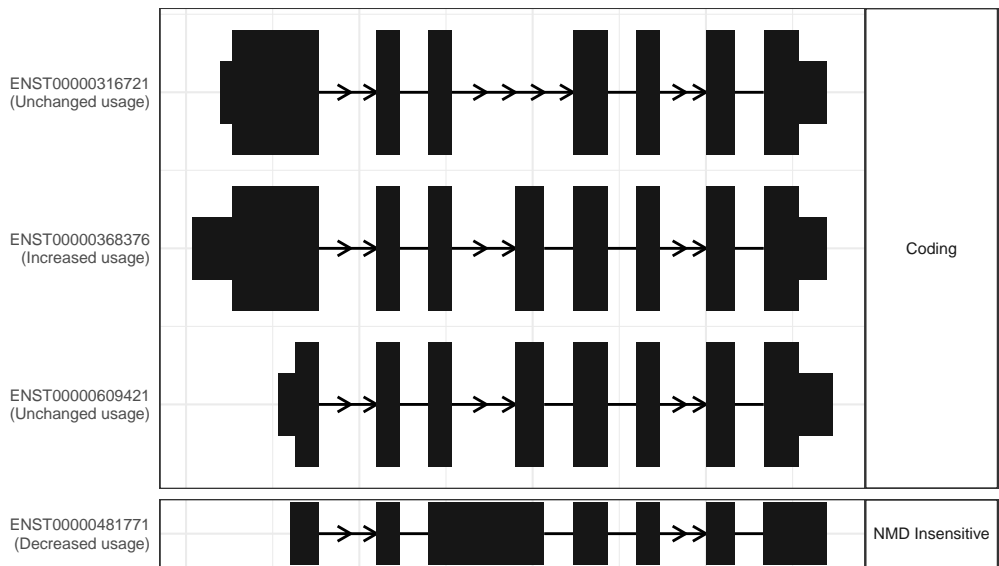
The isoform switch in LINC01224 (RO_D209 vs RO_D45)



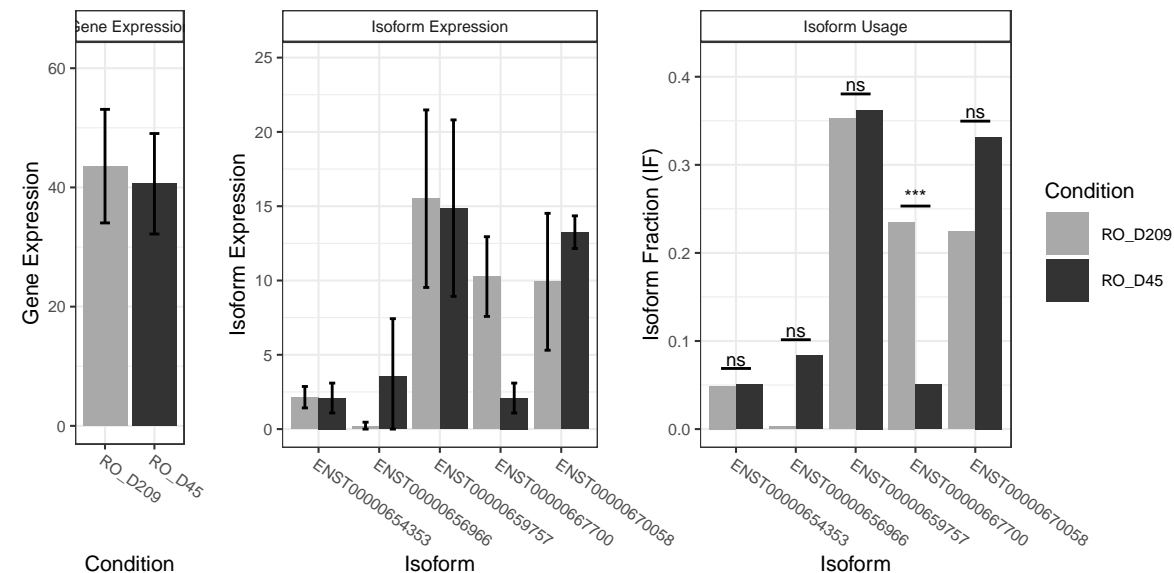
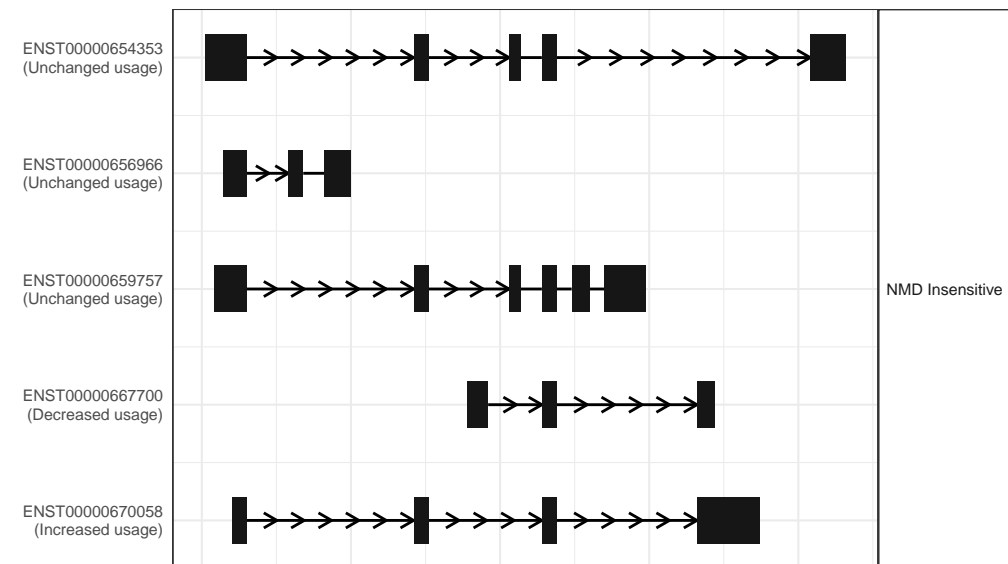
The isoform switch in MAP4 (RO_D209 vs RO_D45)



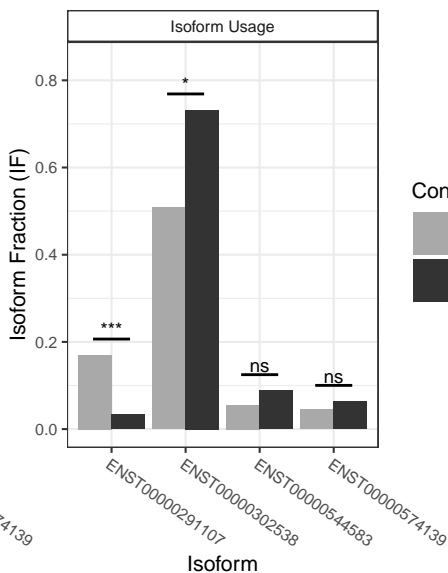
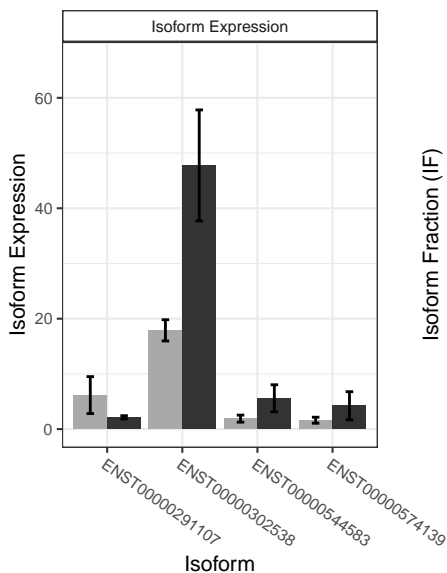
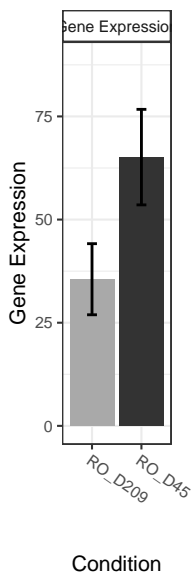
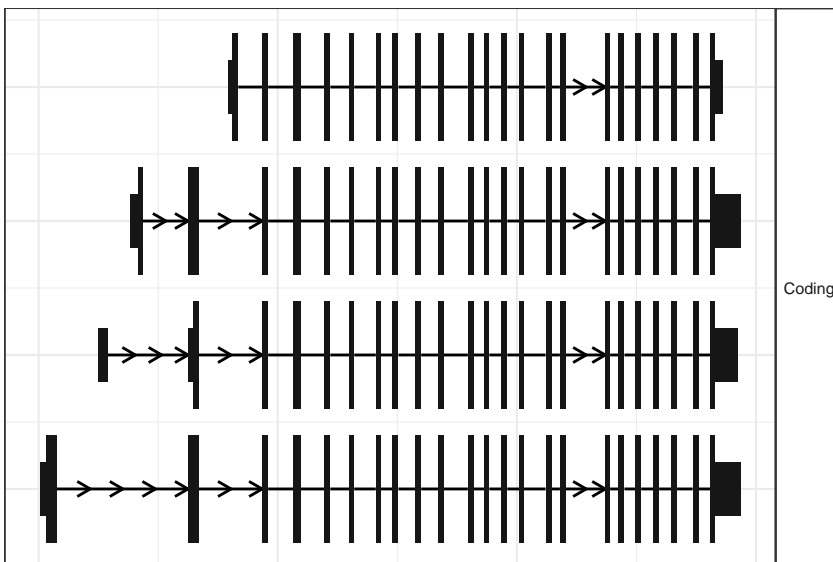
The isoform switch in MTX1 (RO_D209 vs RO_D45)



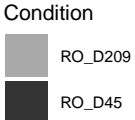
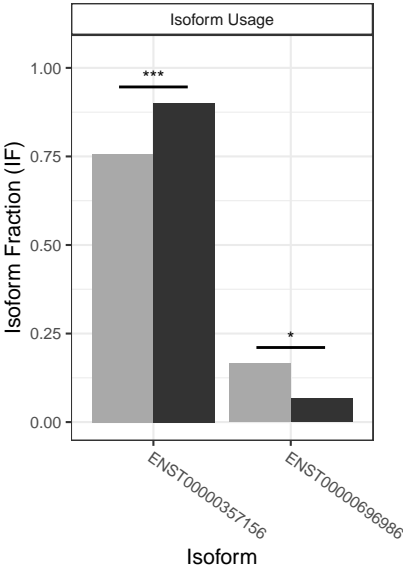
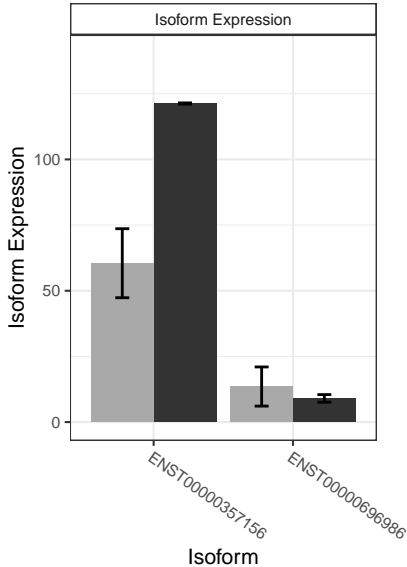
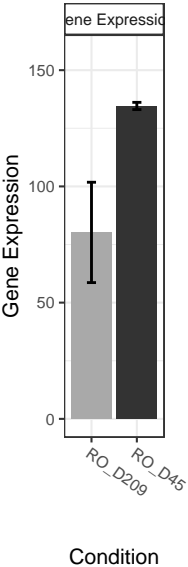
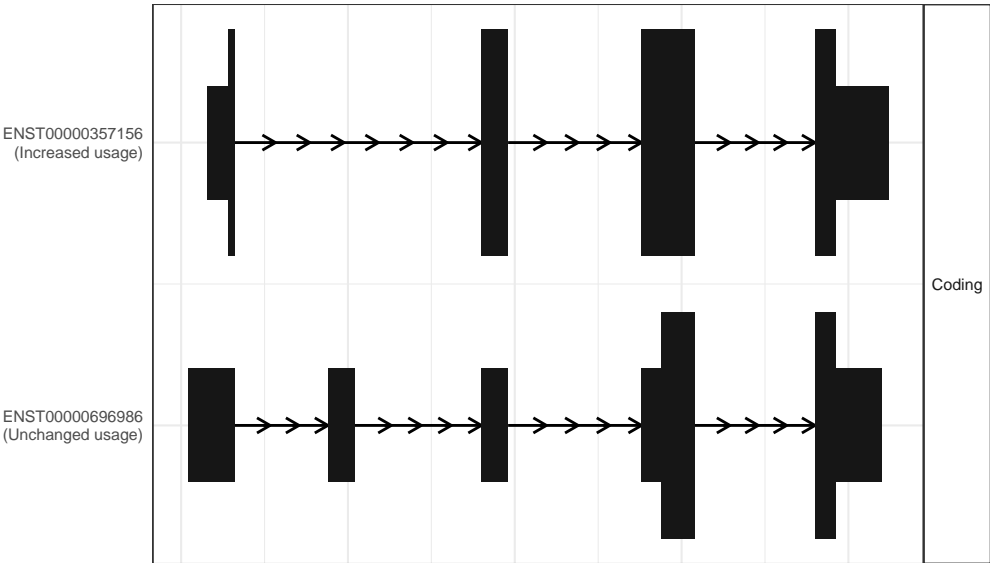
ENSG00000268362 (RO_D209 vs RO_D



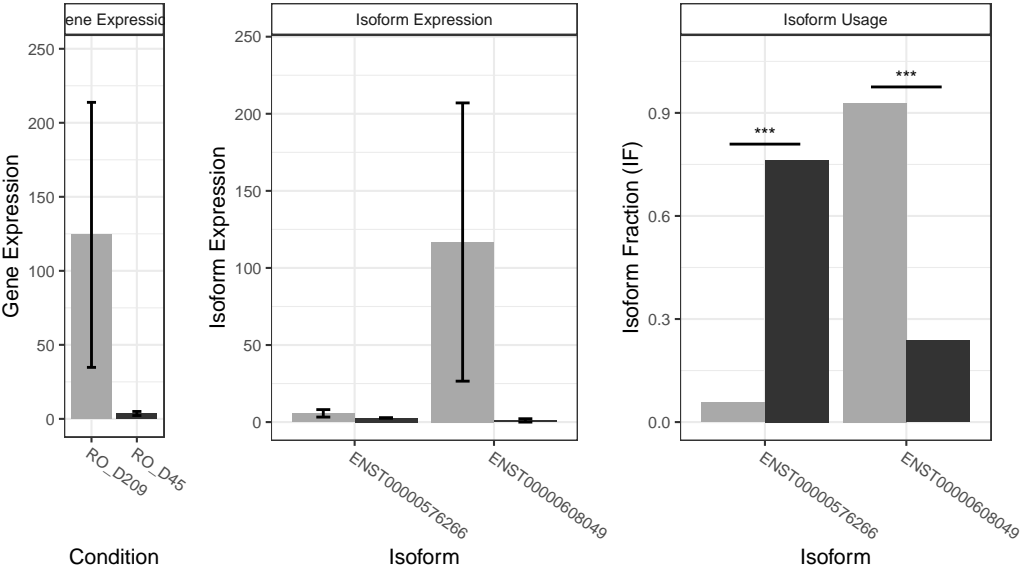
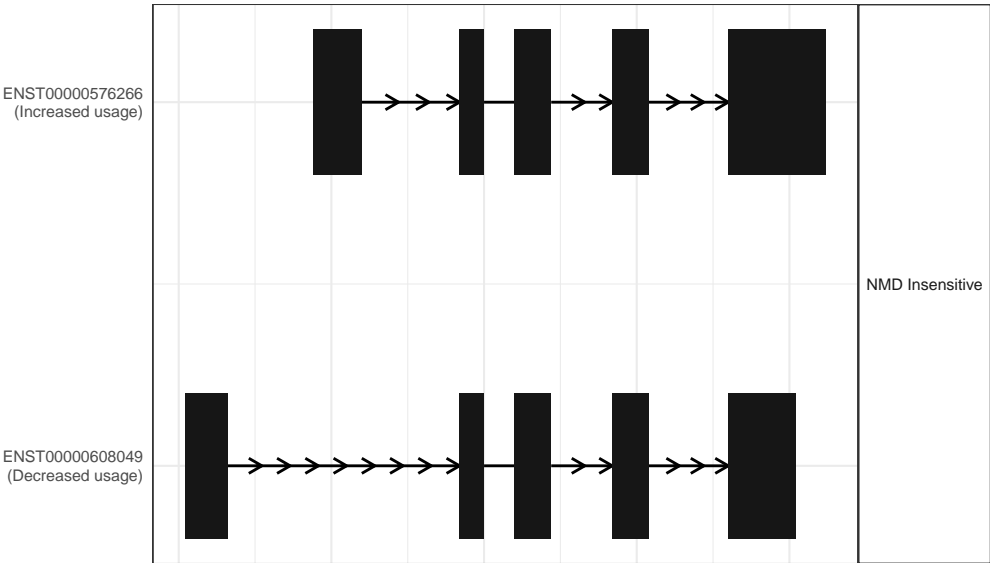
The isoform switch in ABR (RO_D209 vs RO_D45)



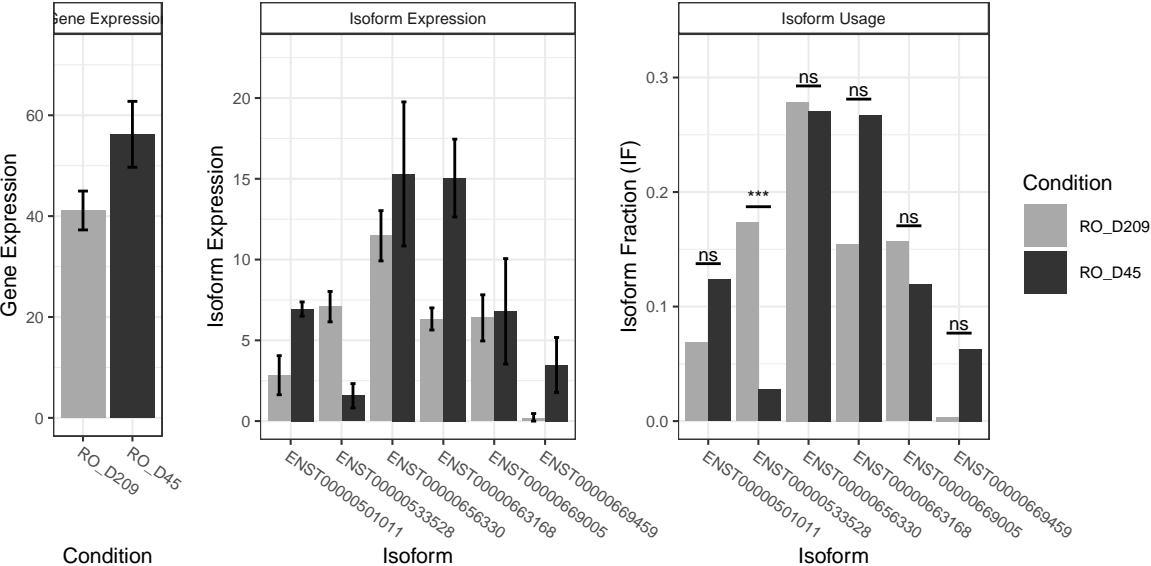
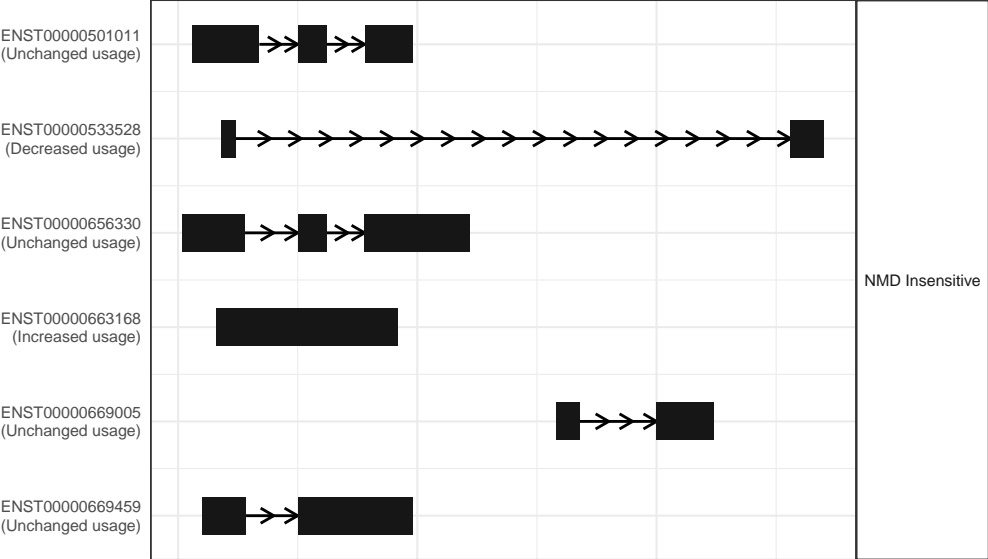
The isoform switch in DYNLRB1 (RO_D209 vs RO_D45)



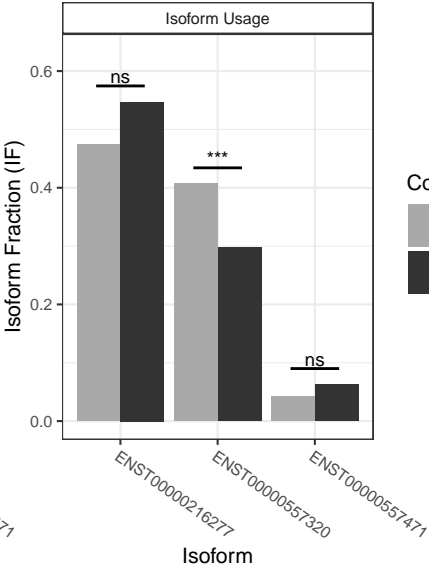
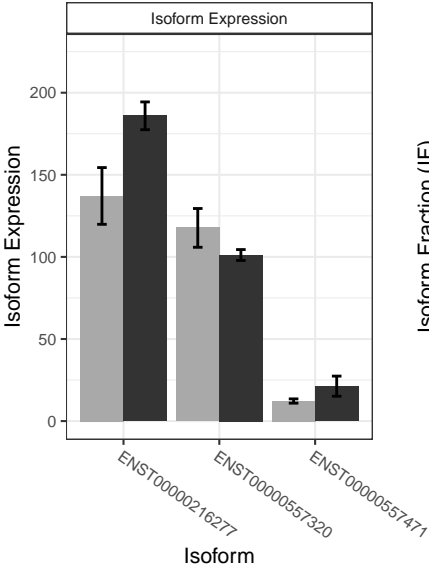
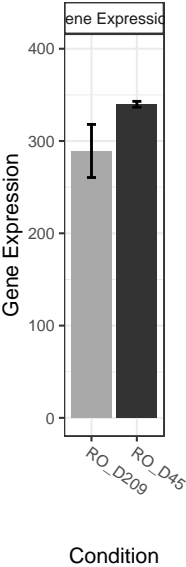
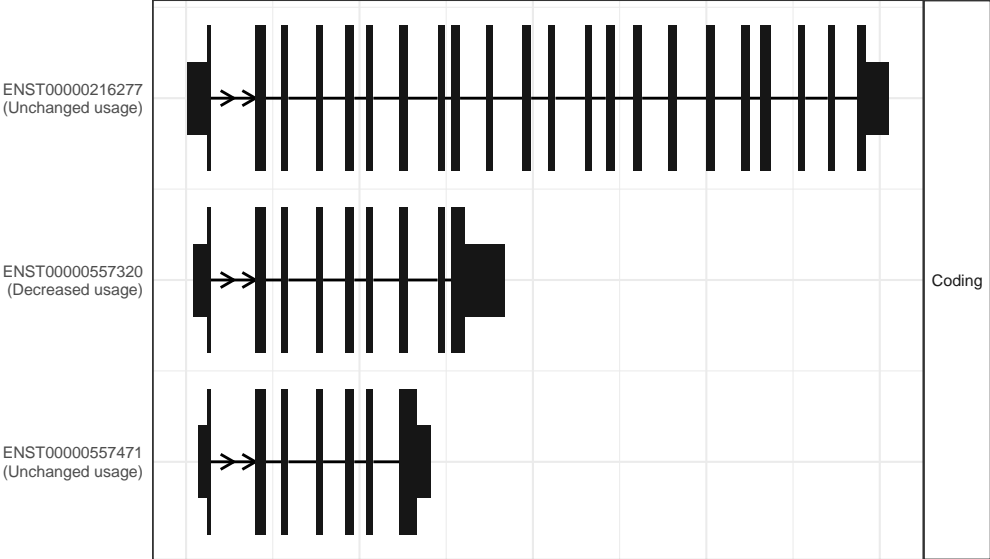
The isoform switch in ROCK1P1 (RO_D209 vs RO_D45)



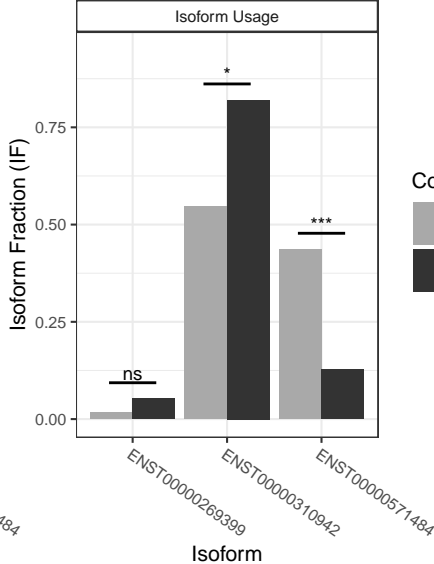
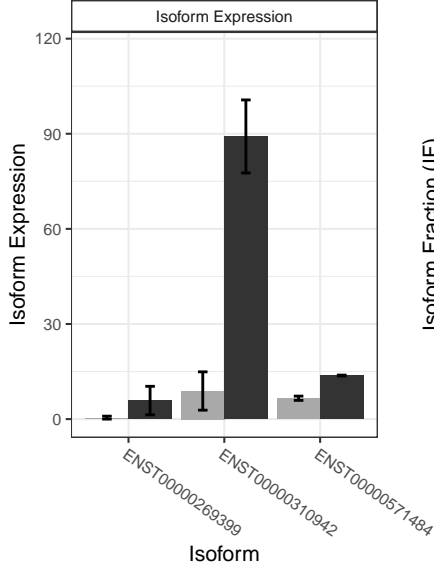
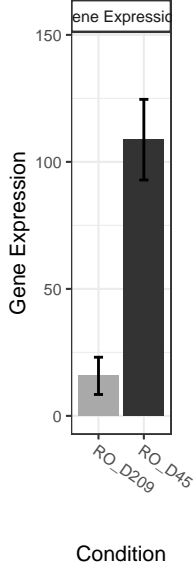
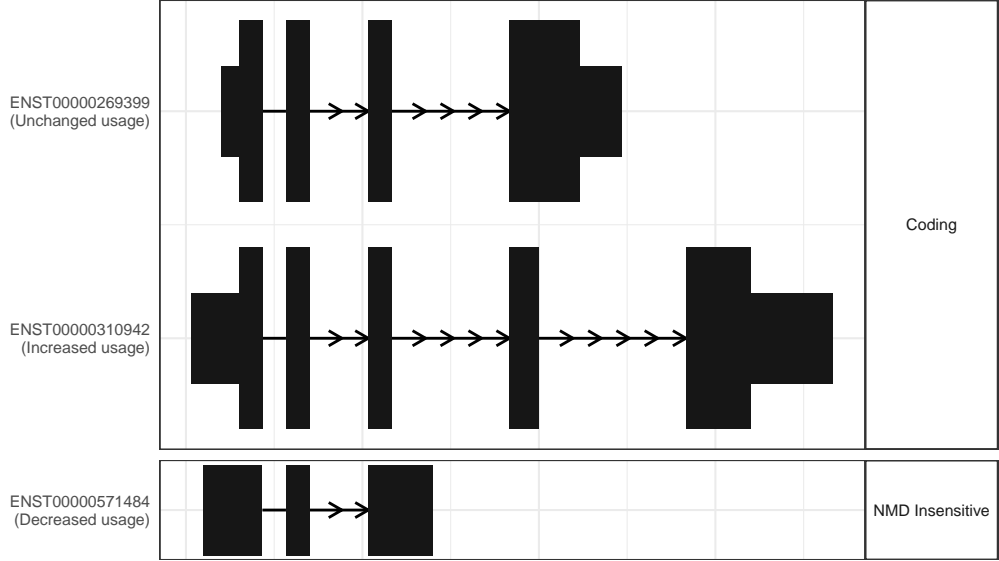
The isoform switch in RAB30–DT (RO_D209 vs RO_D45)



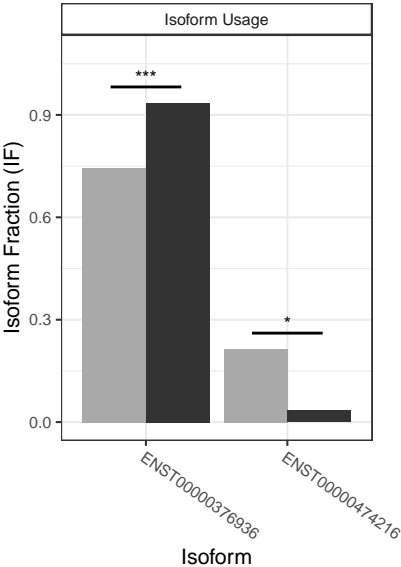
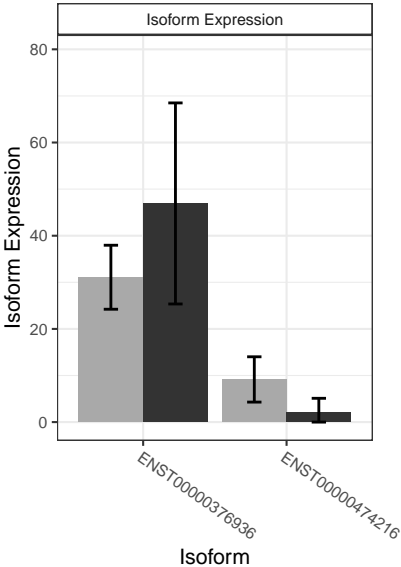
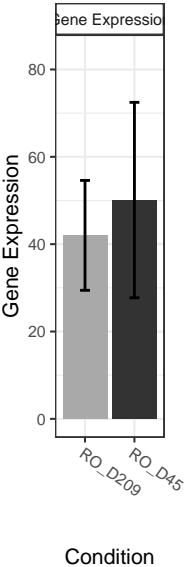
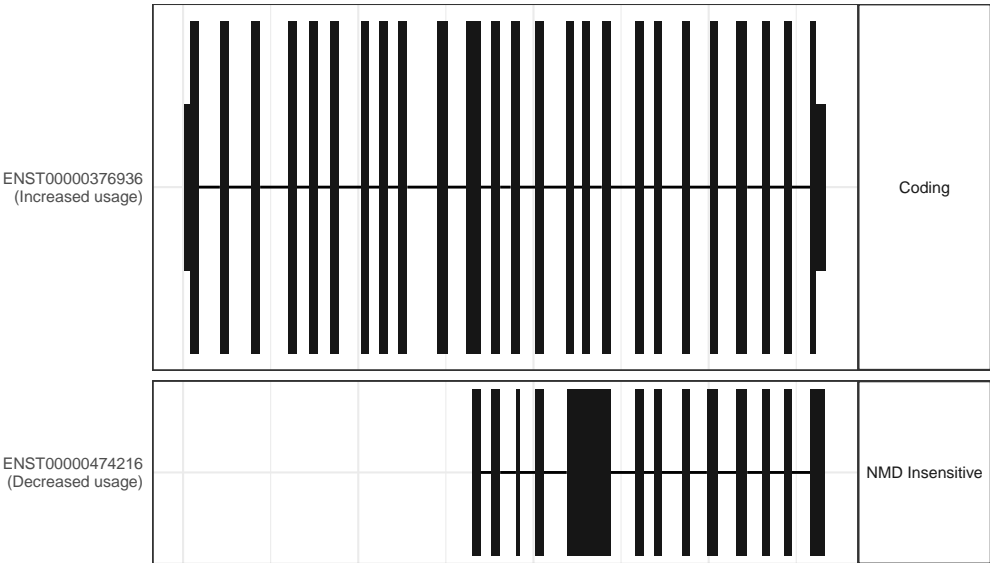
The isoform switch in PAPOLA (RO_D209 vs RO_D45)



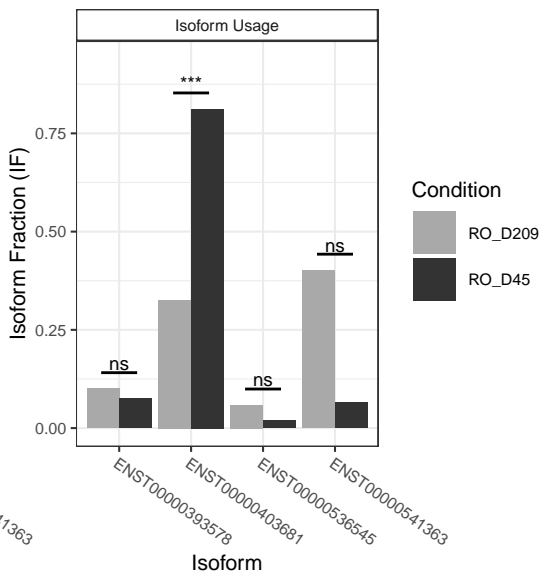
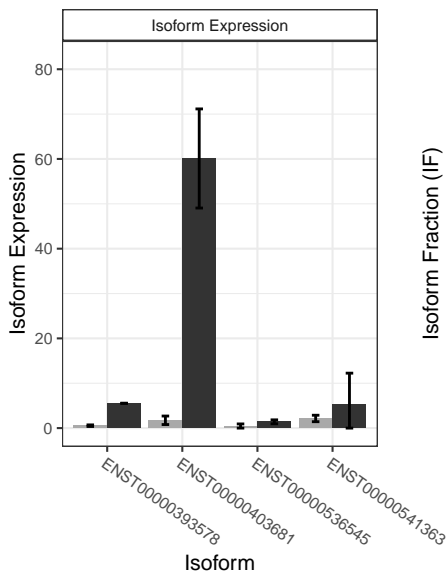
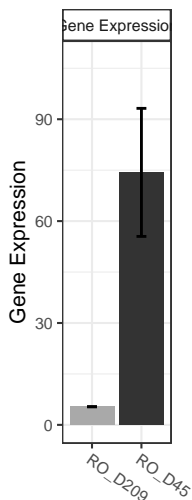
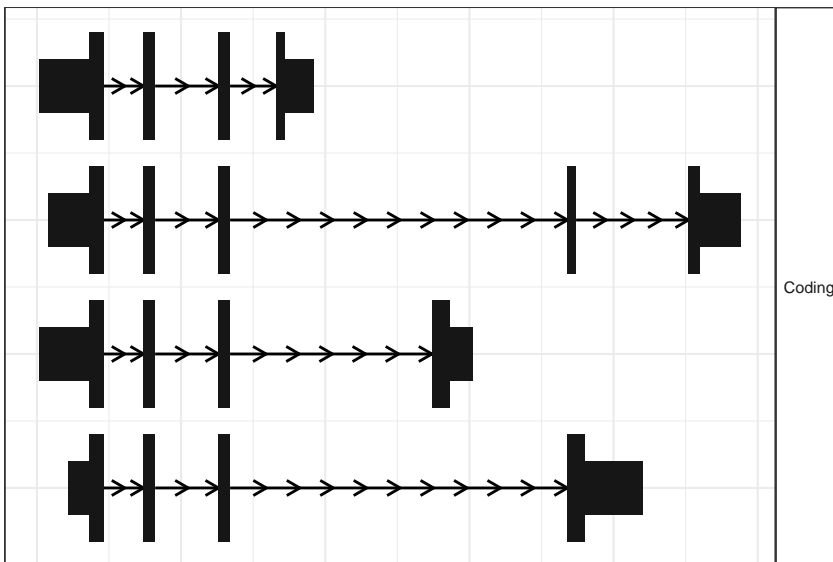
The isoform switch in CBX2 (RO_D209 vs RO_D45)



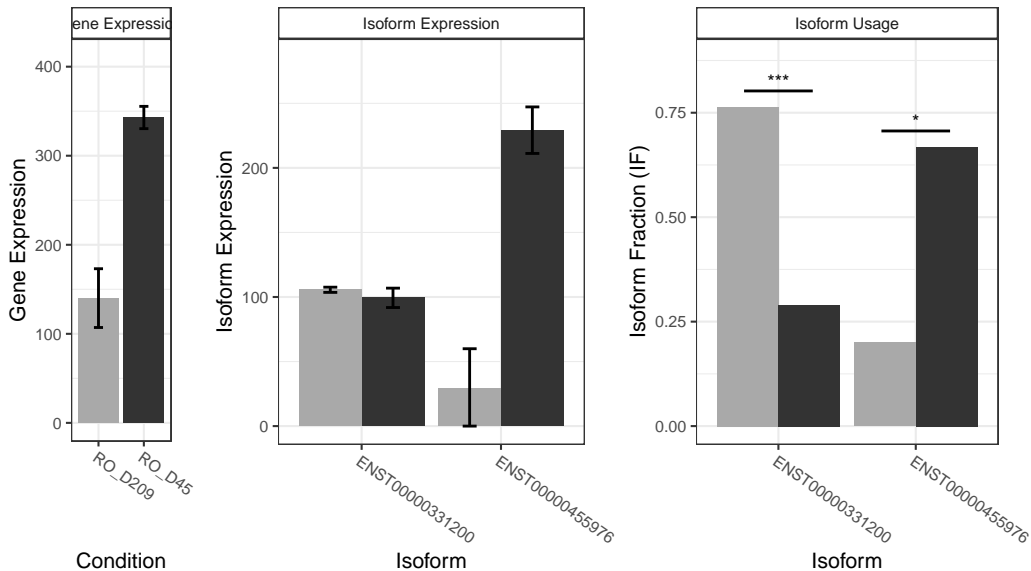
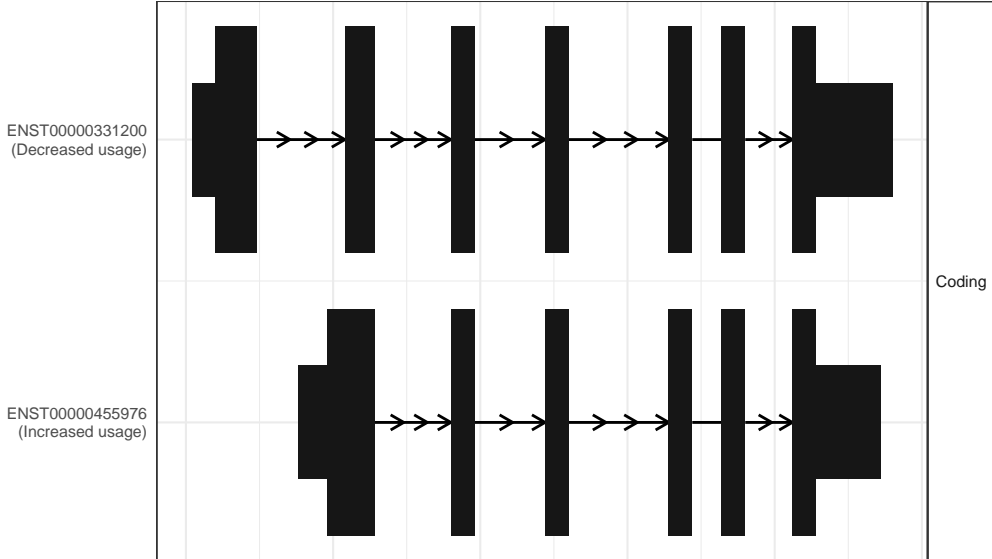
The isoform switch in EXOSC10 (RO_D209 vs RO_D45)



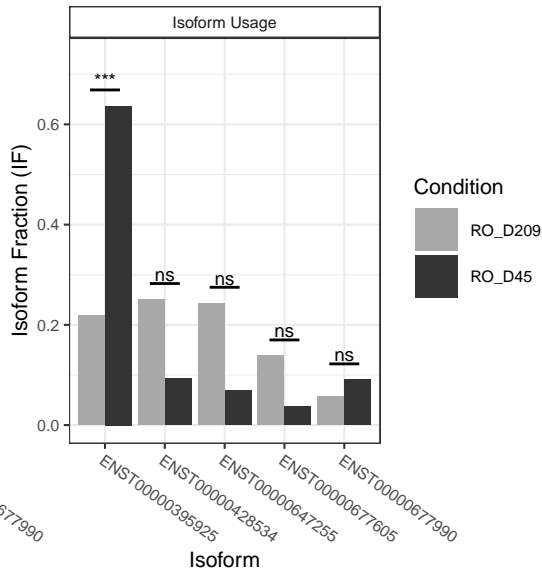
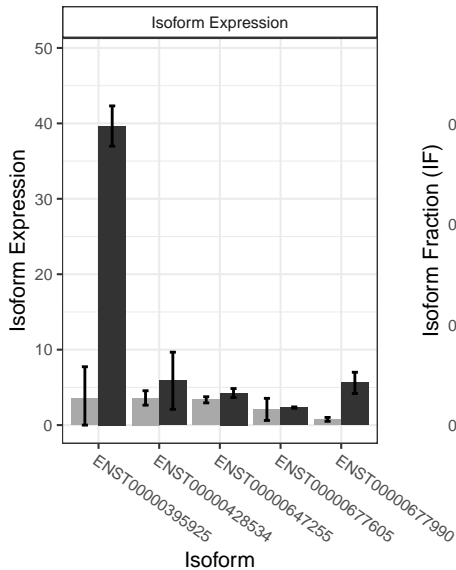
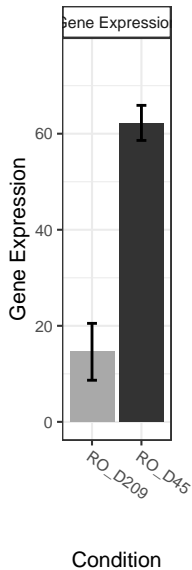
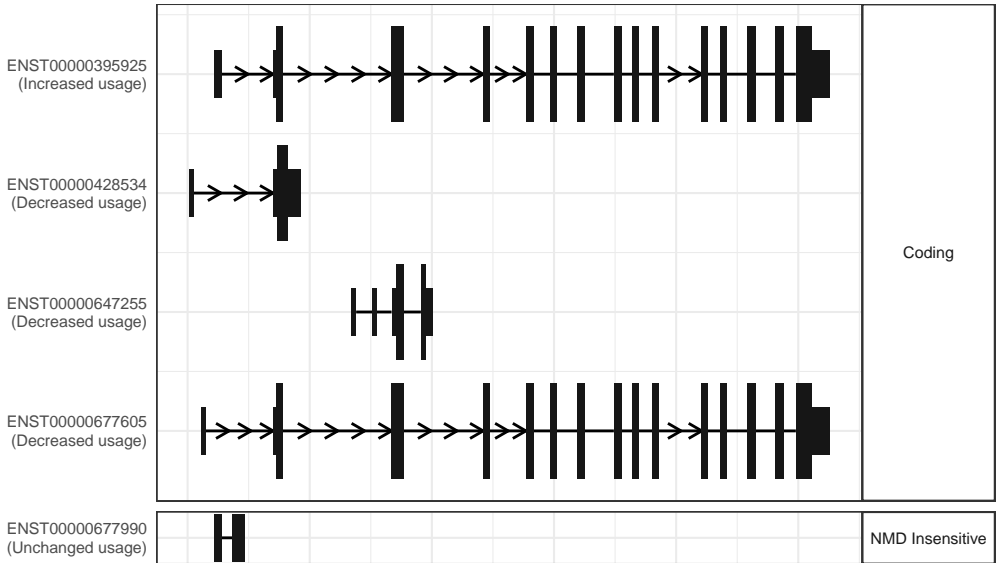
The isoform switch in HMGA2 (RO_D209 vs RO_D45)



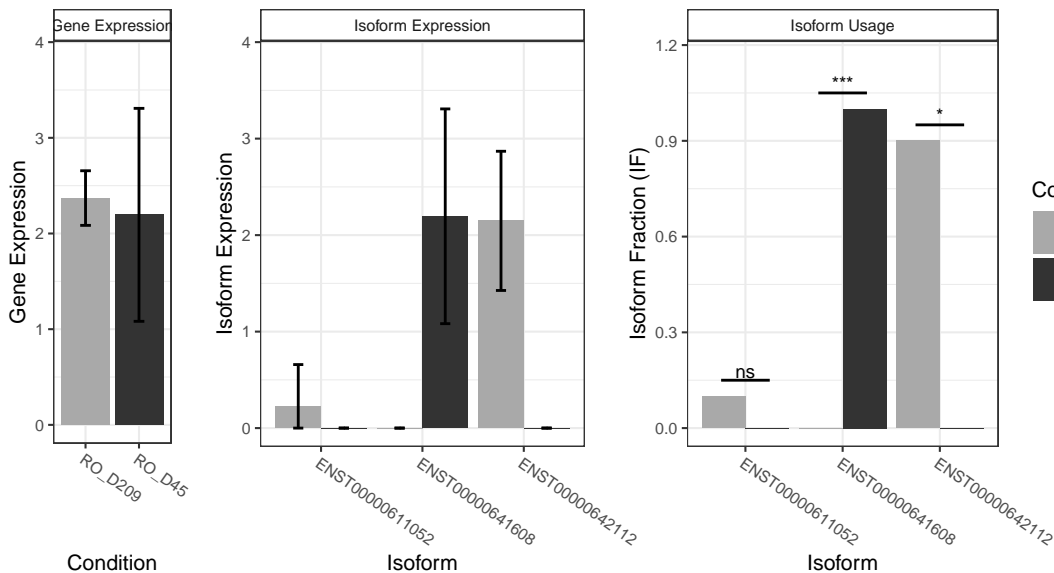
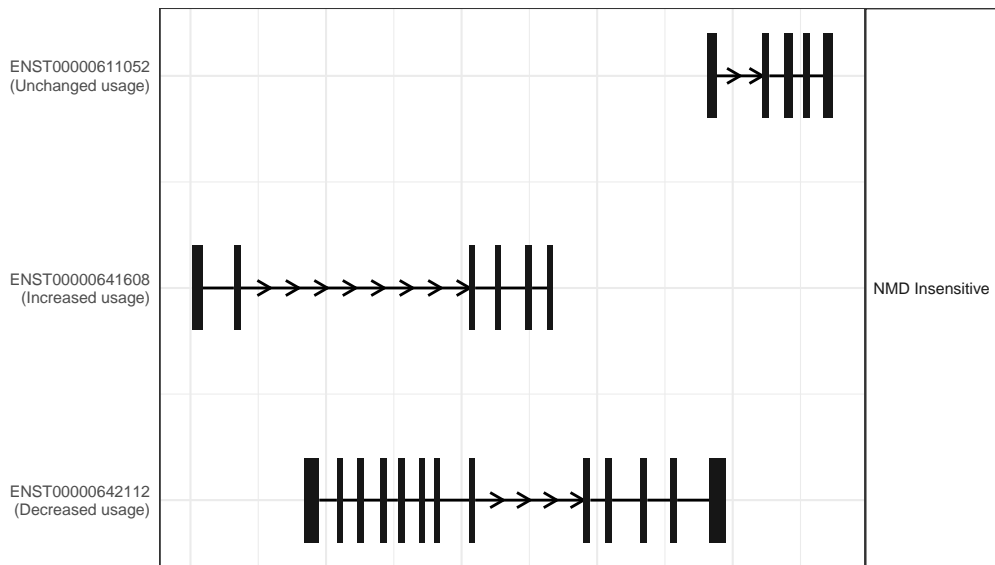
The isoform switch in DUT (RO_D209 vs RO_D45)



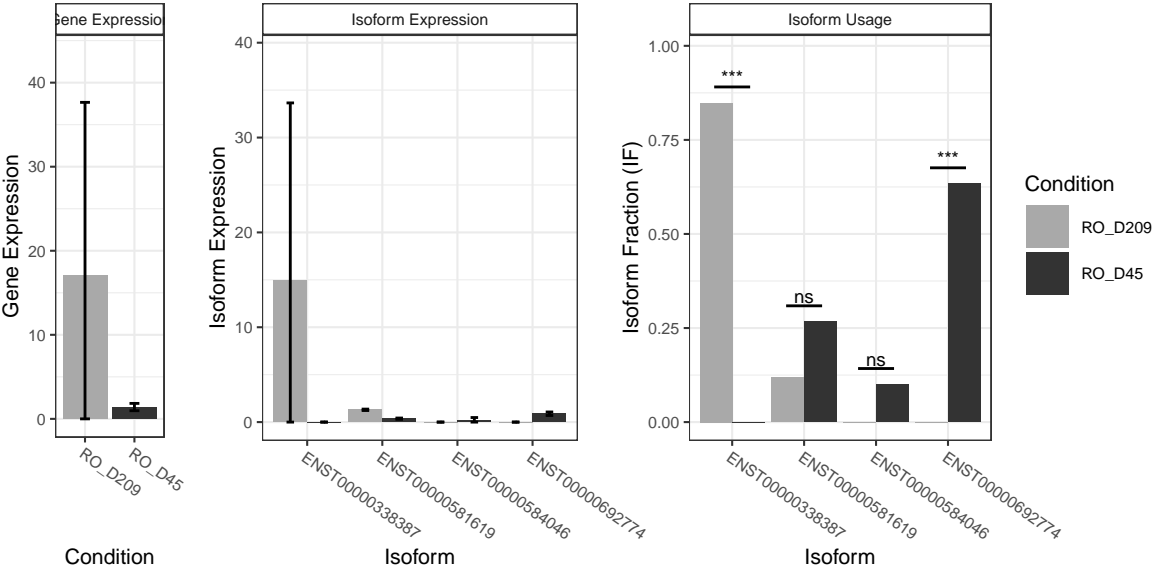
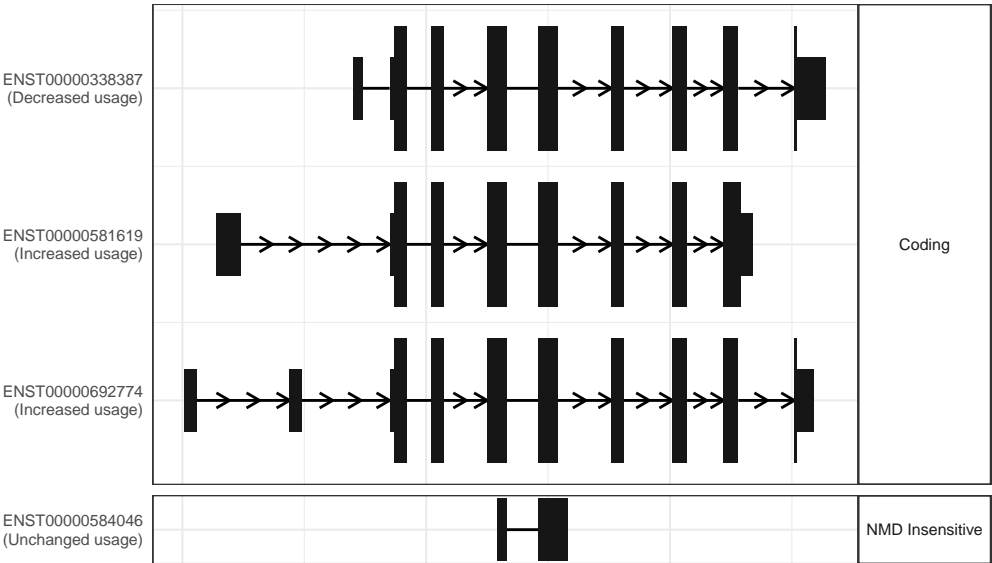
The isoform switch in GLI3 (RO_D209 vs RO_D45)



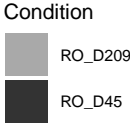
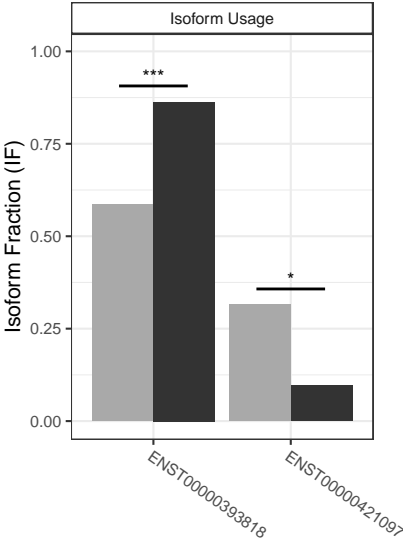
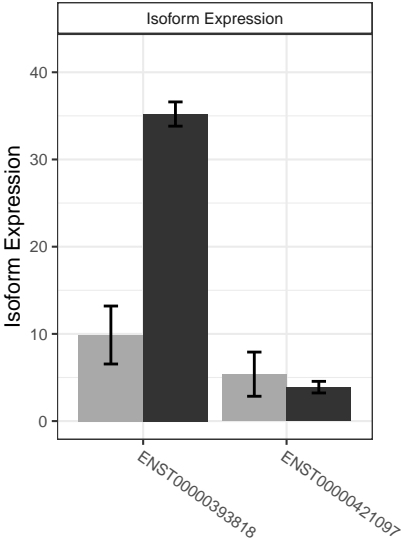
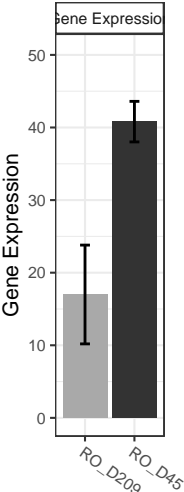
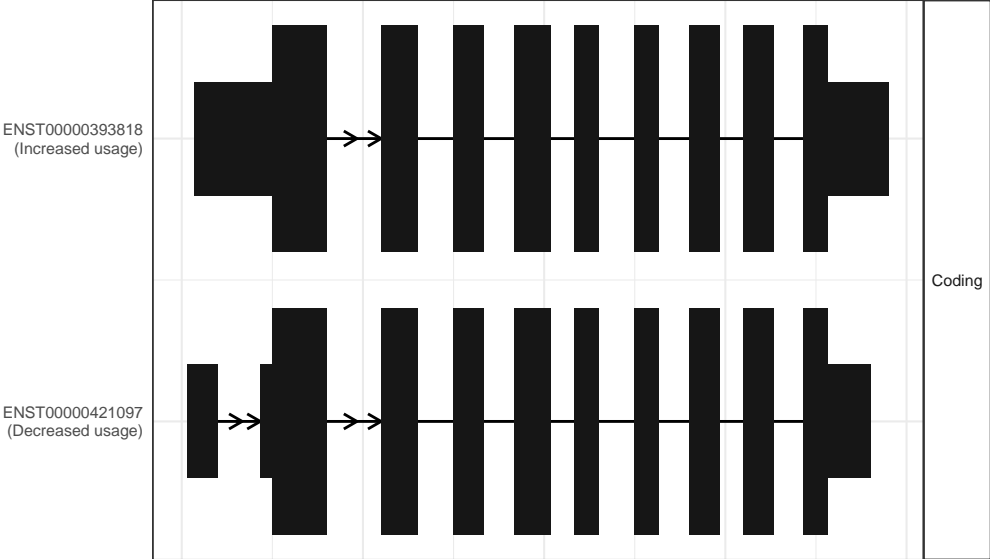
3 isoform switch in ENSG00000284634 (RO_D209 vs RO_D



The isoform switch in CLUL1 (RO_D209 vs RO_D45)



The isoform switch in COASY (RO_D209 vs RO_D45)

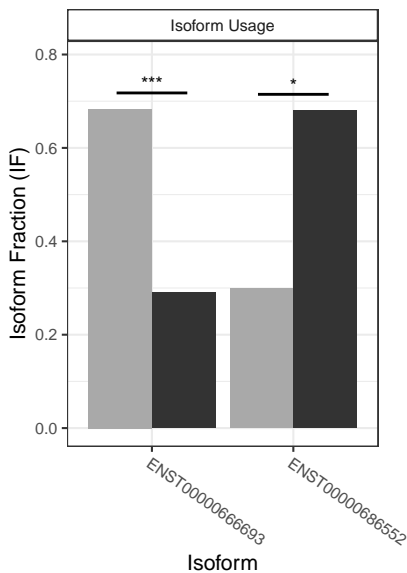
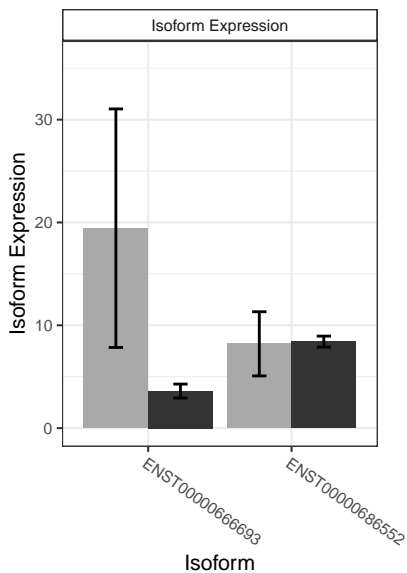
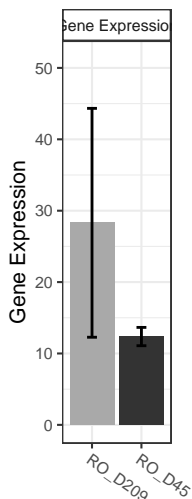
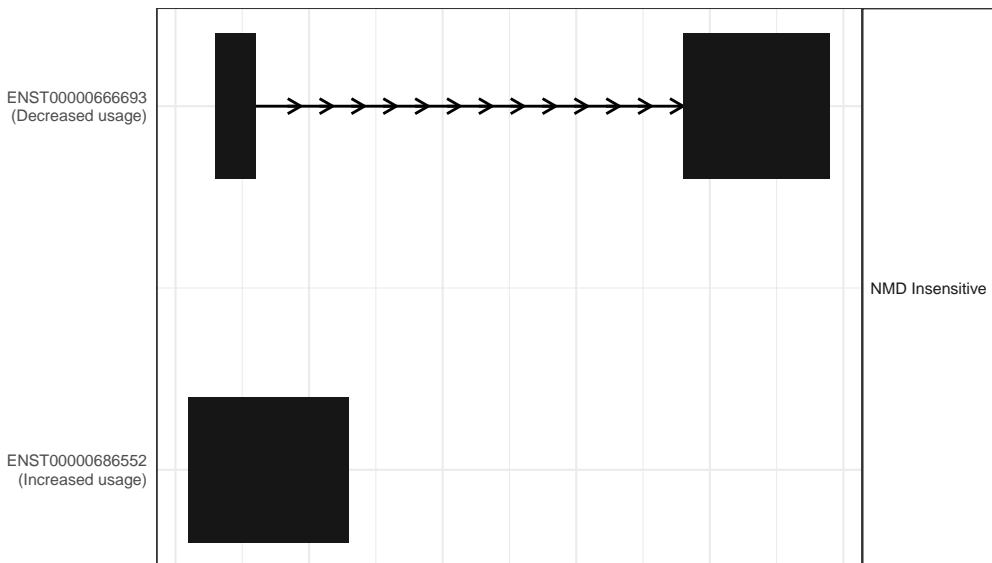


Condition

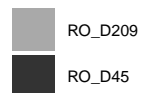
Isoform

Isoform

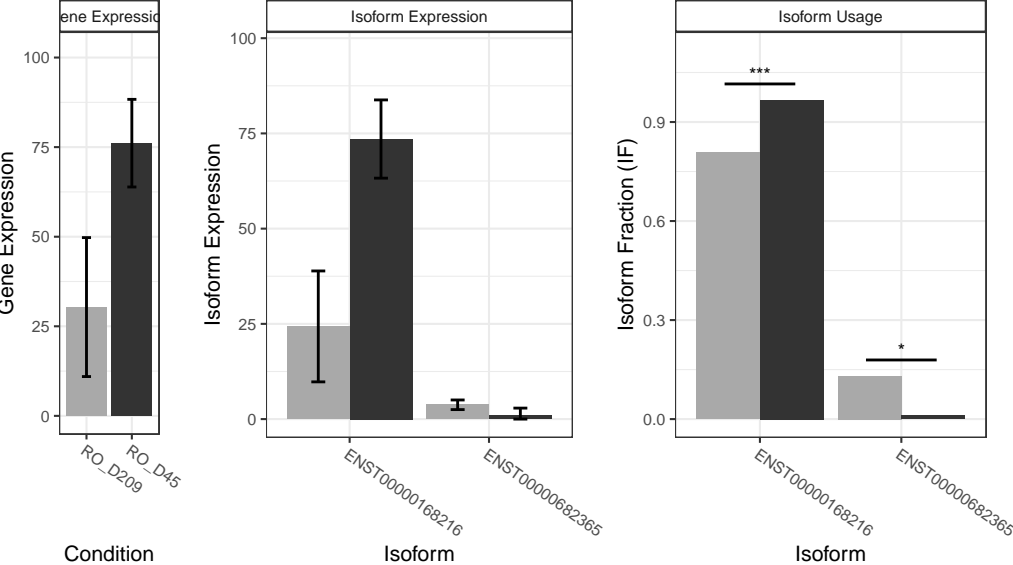
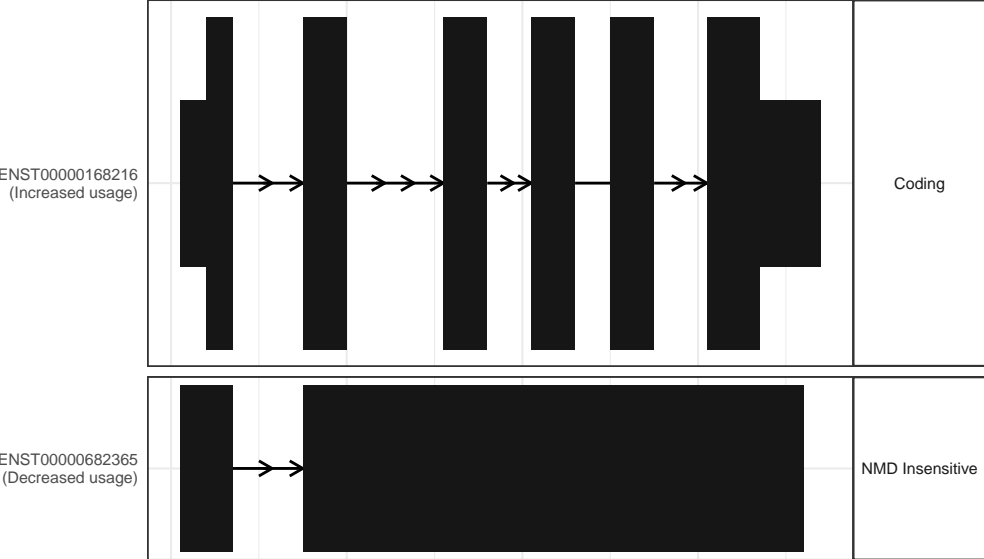
3 isoform switch in ENSG00000286833 (RO_D209 vs RO_D



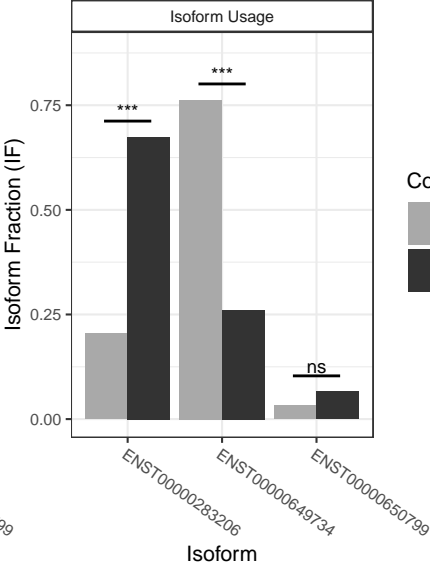
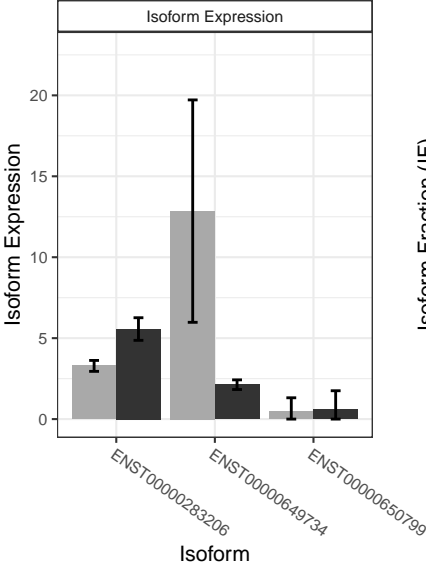
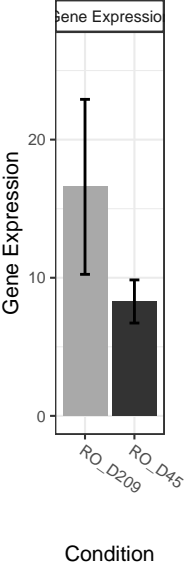
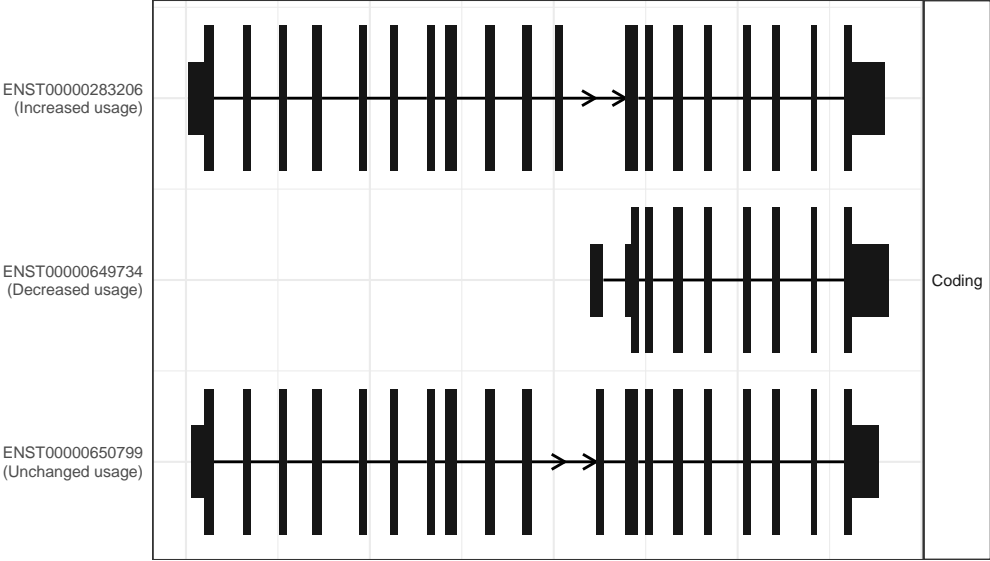
Condition



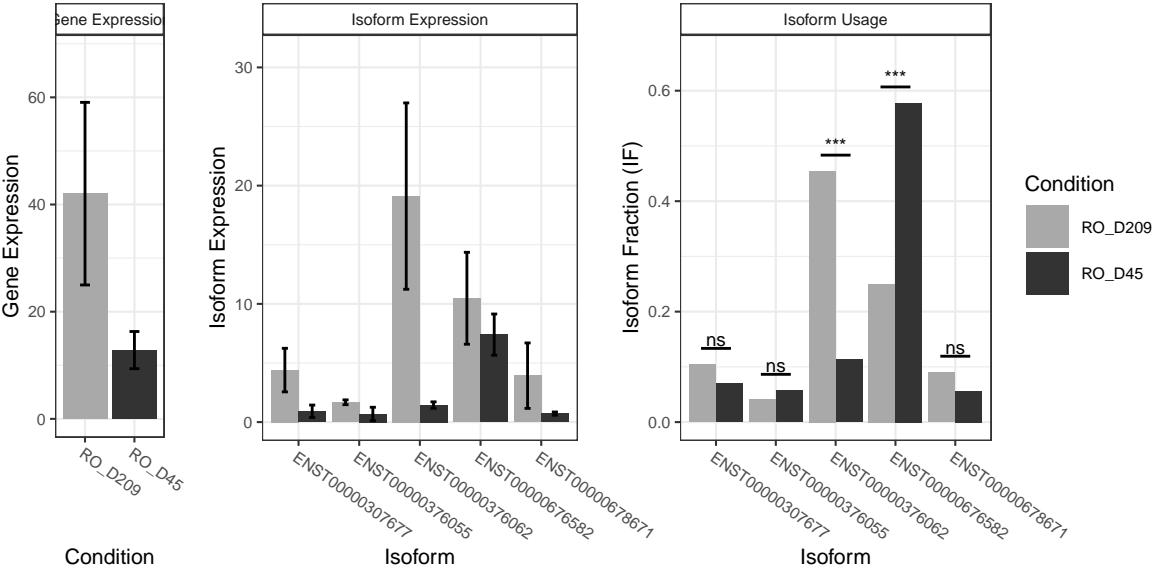
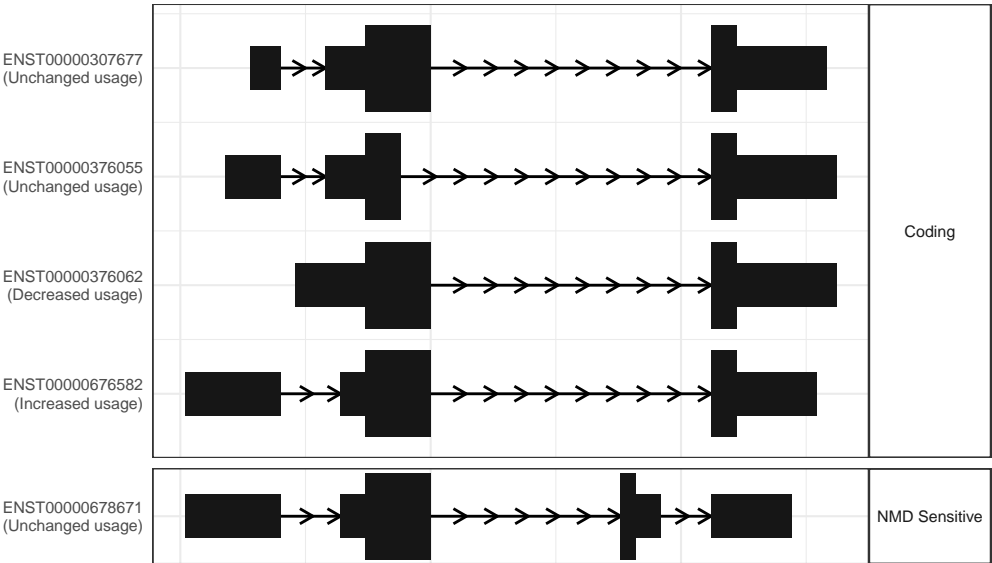
The isoform switch in HSD17B10 (RO_D209 vs RO_D45)



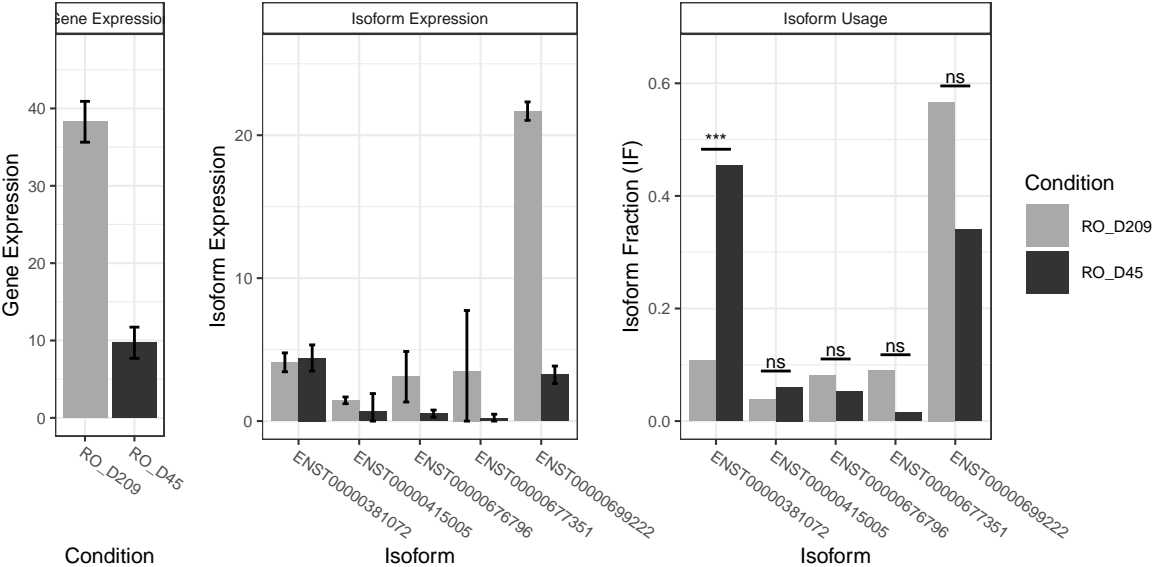
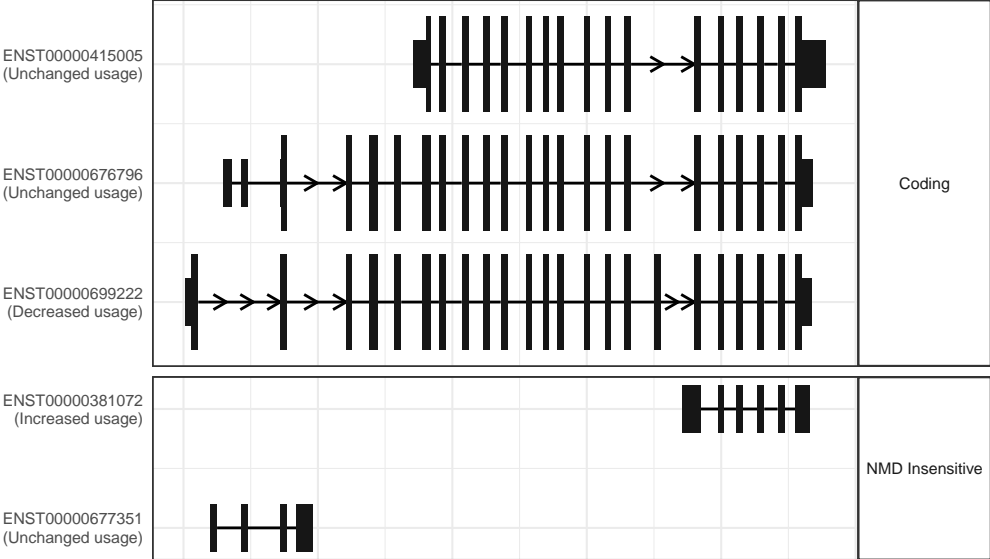
The isoform switch in TMEM87B (RO_D209 vs RO_D45)



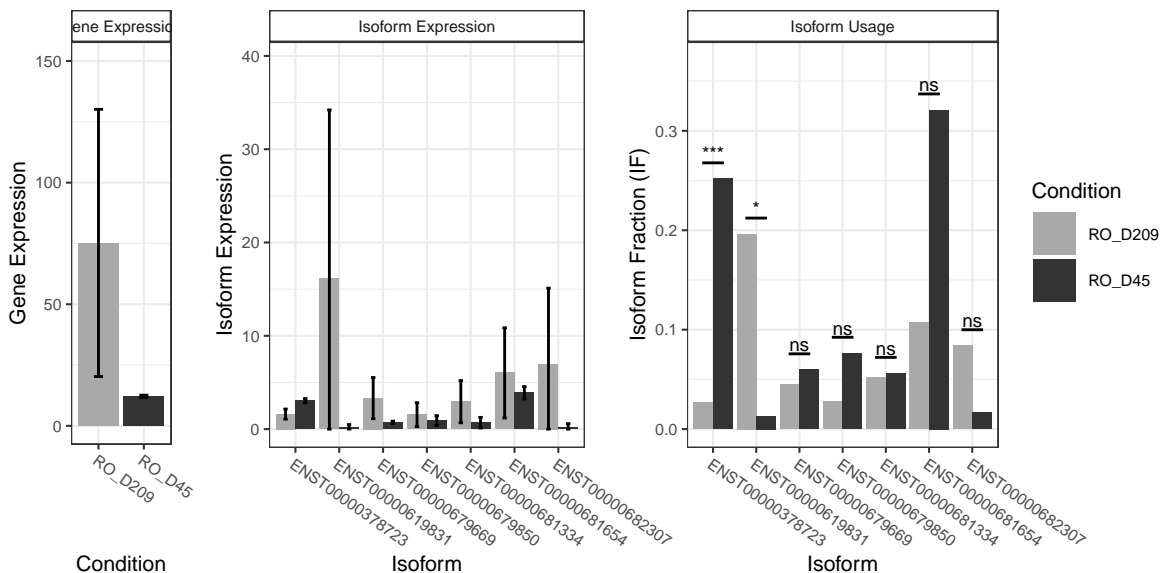
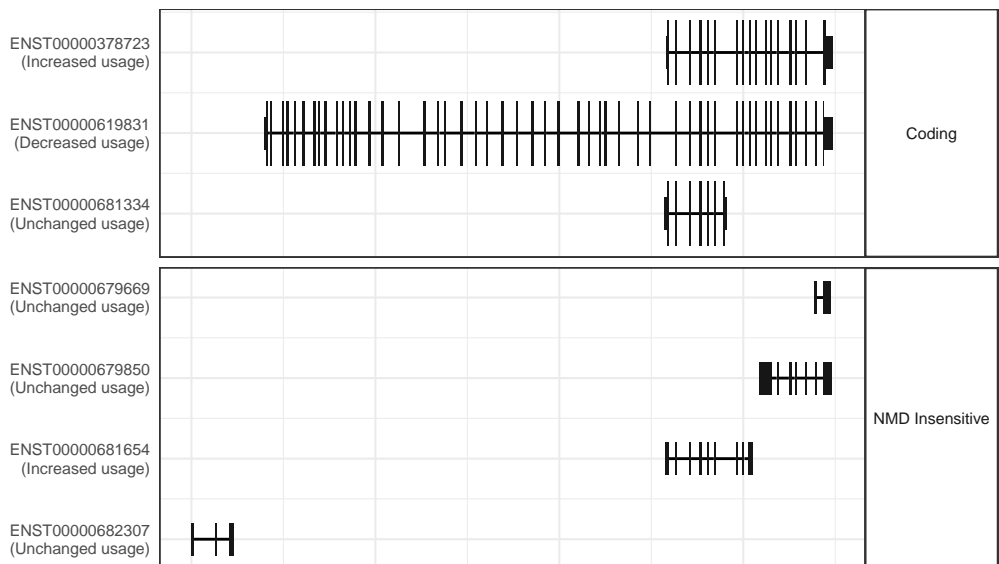
The isoform switch in BCL2L1 (RO_D209 vs RO_D45)



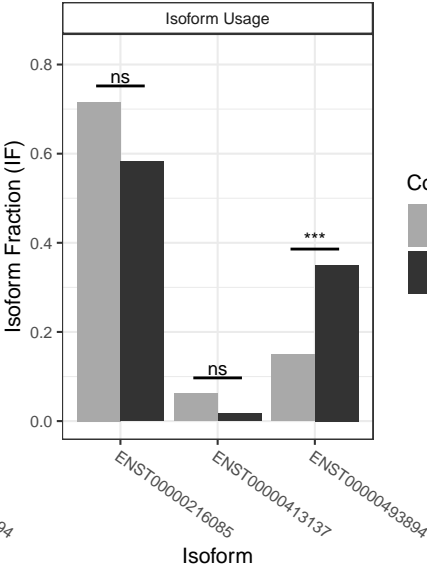
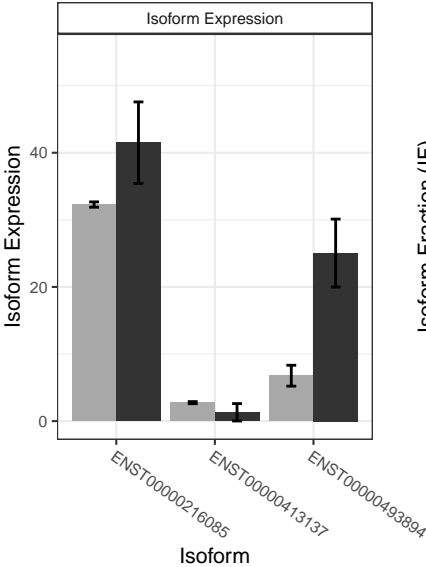
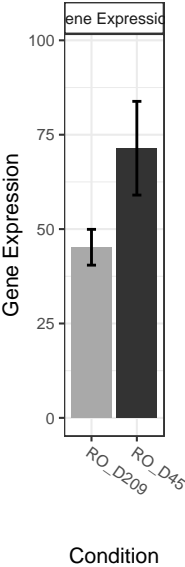
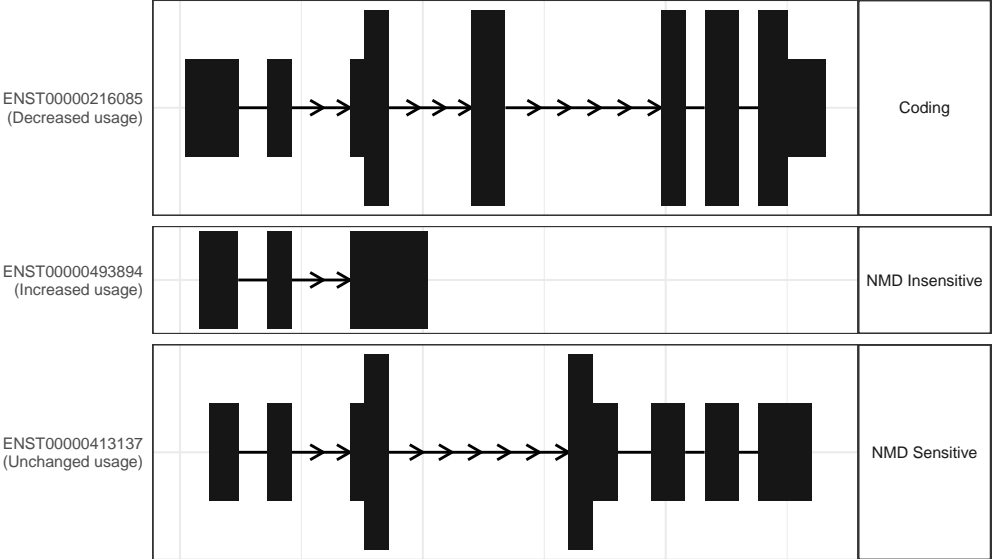
The isoform switch in PFKP (RO_D209 vs RO_D45)



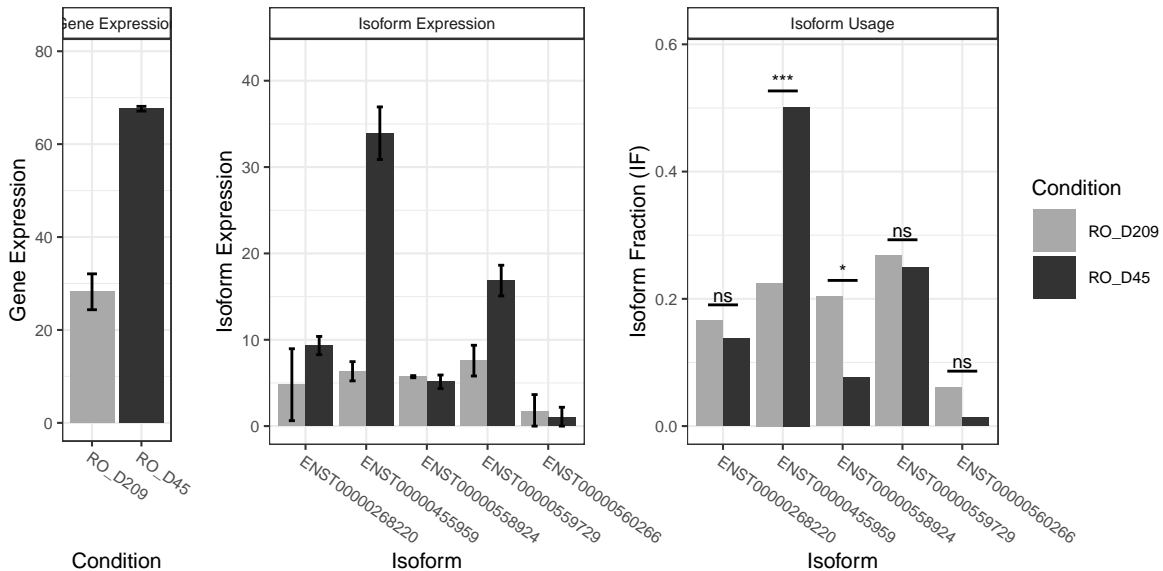
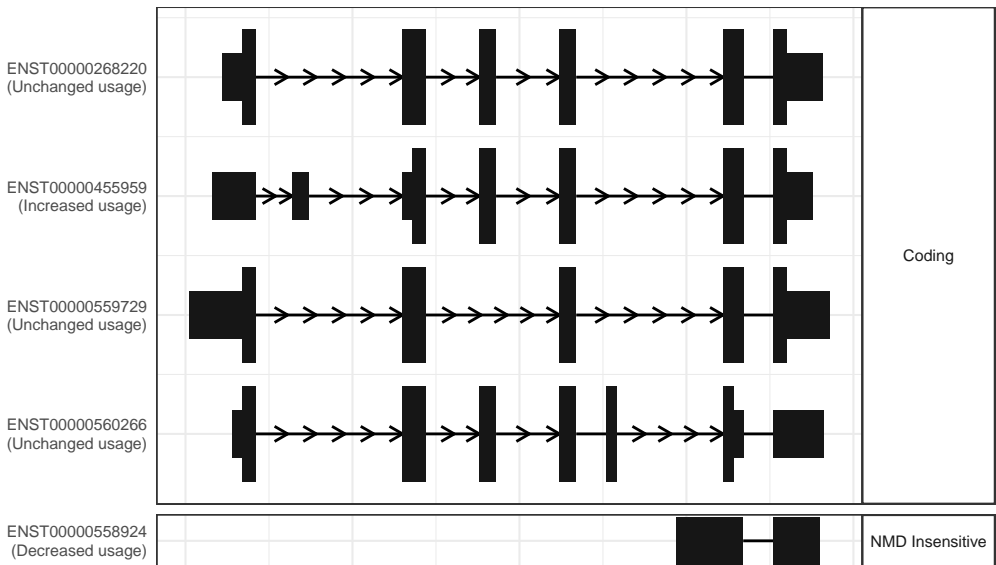
The isoform switch in DMD (RO_D209 vs RO_D45)



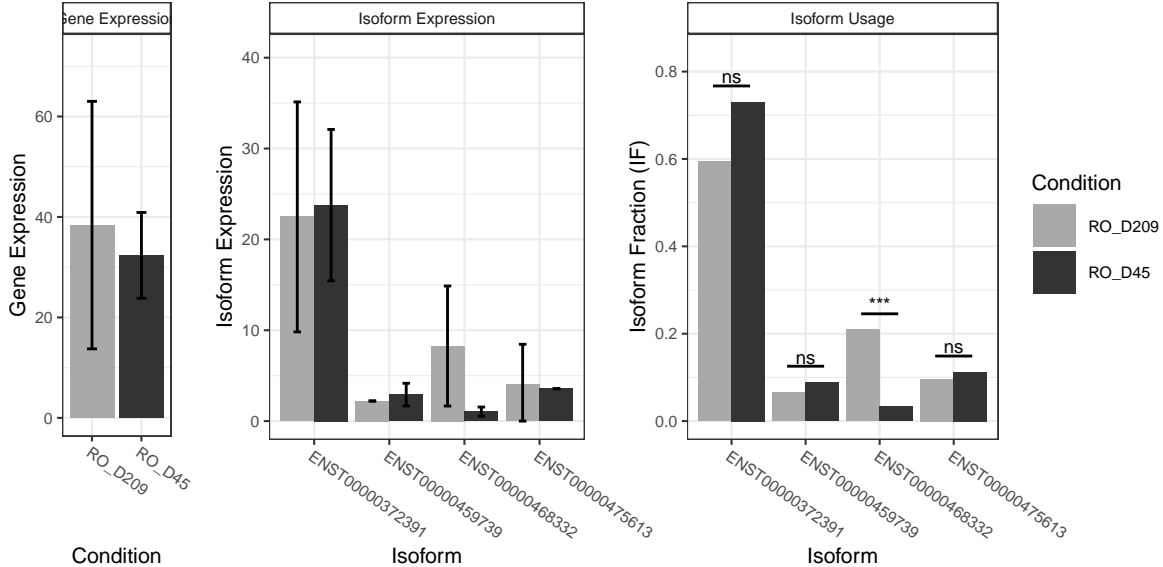
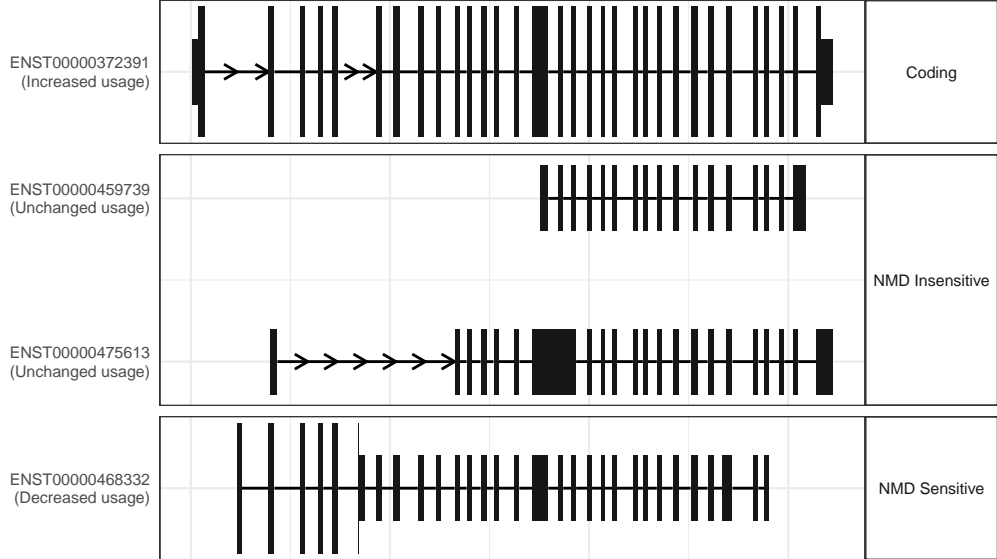
The isoform switch in RHBDD3 (RO_D209 vs RO_D45)



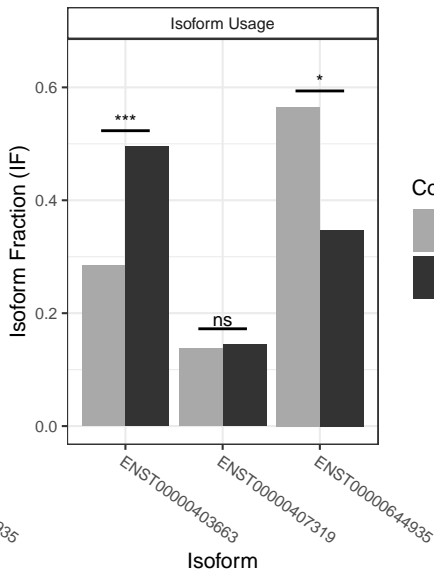
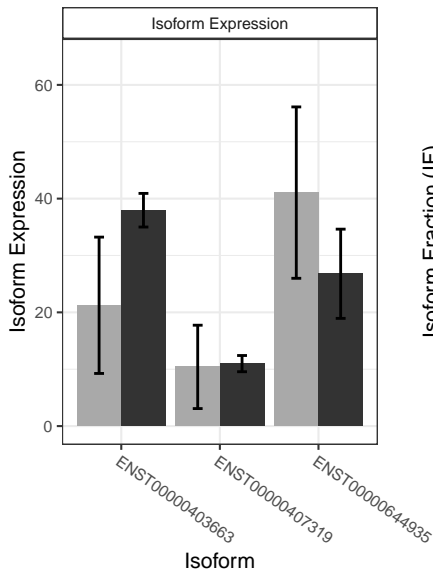
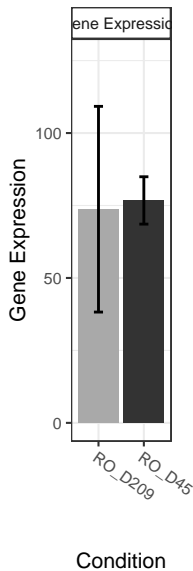
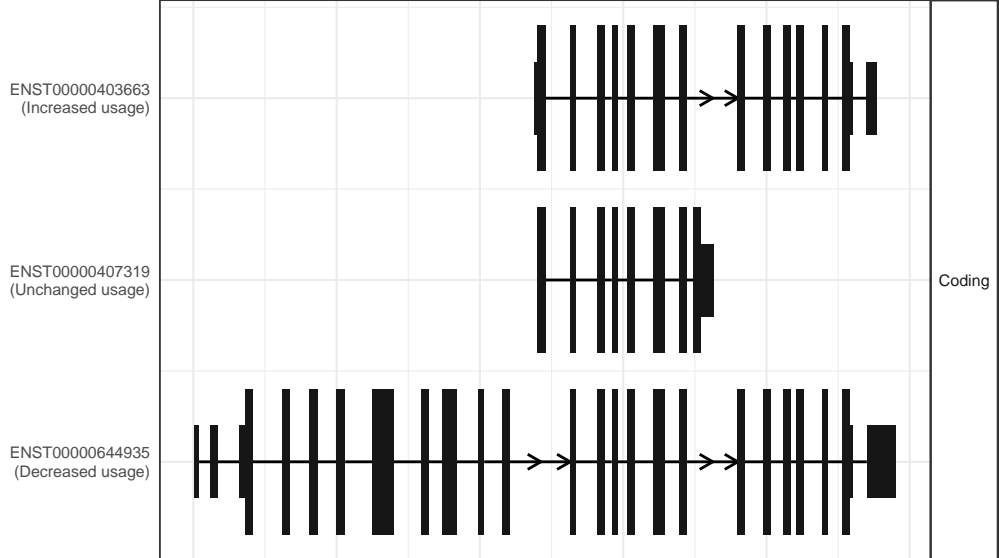
The isoform switch in SEC11A (RO_D209 vs RO_D45)



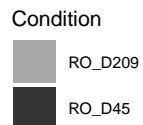
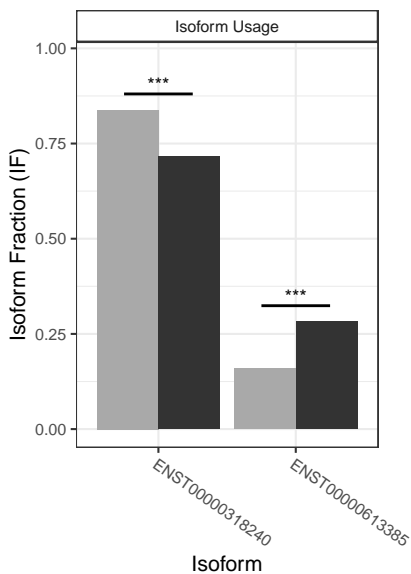
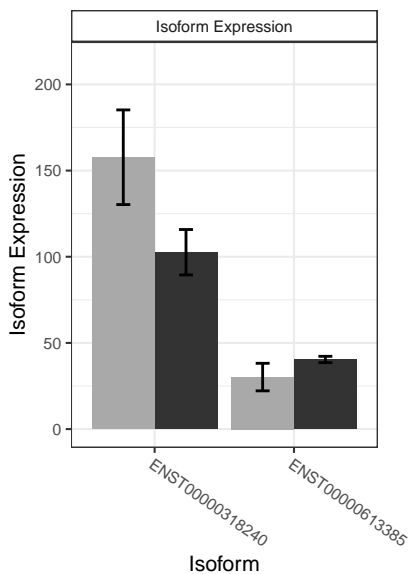
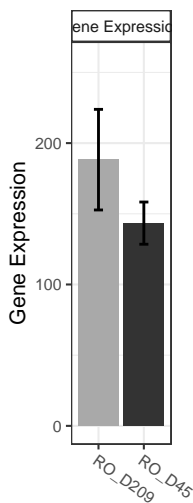
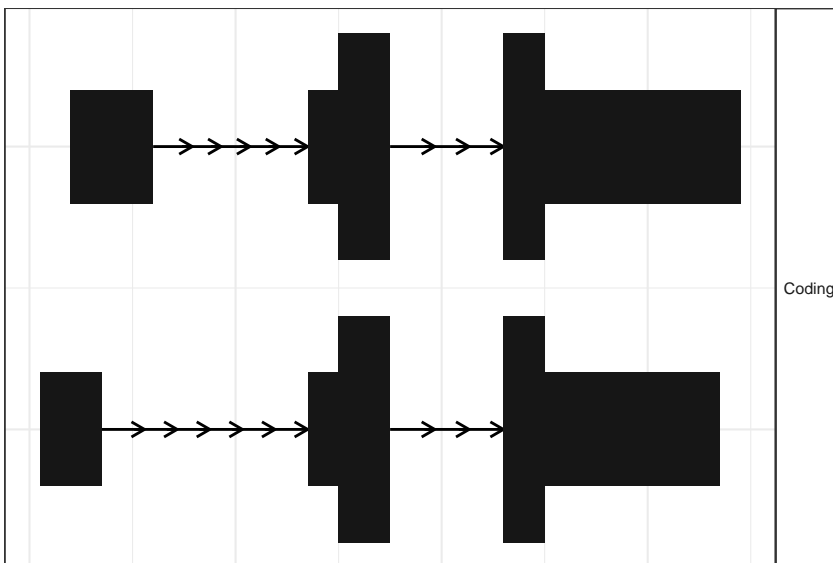
The isoform switch in DLG5 (RO_D209 vs RO_D45)



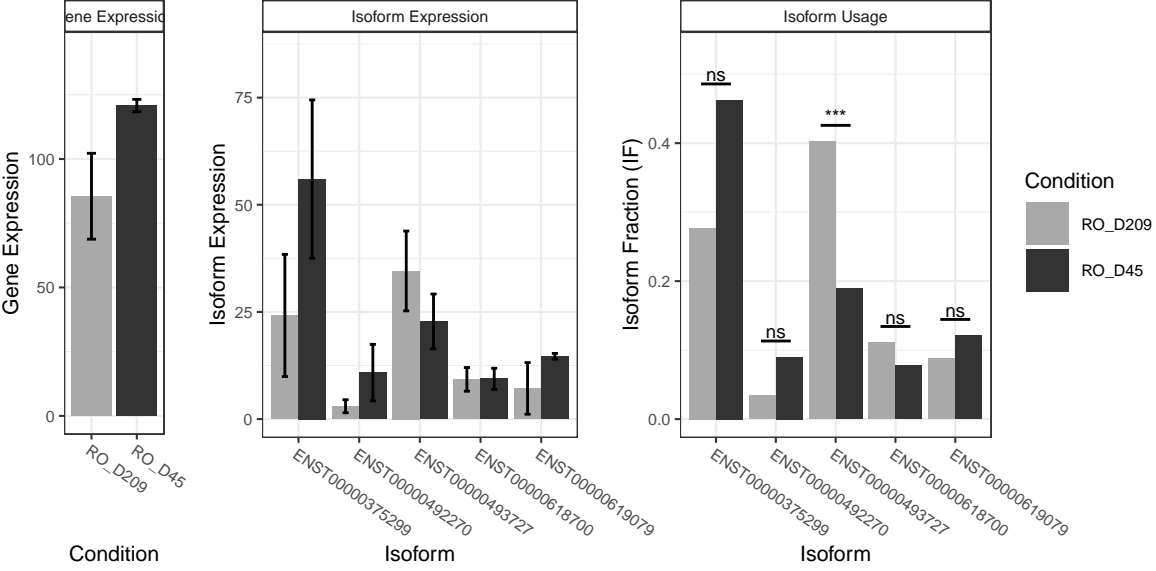
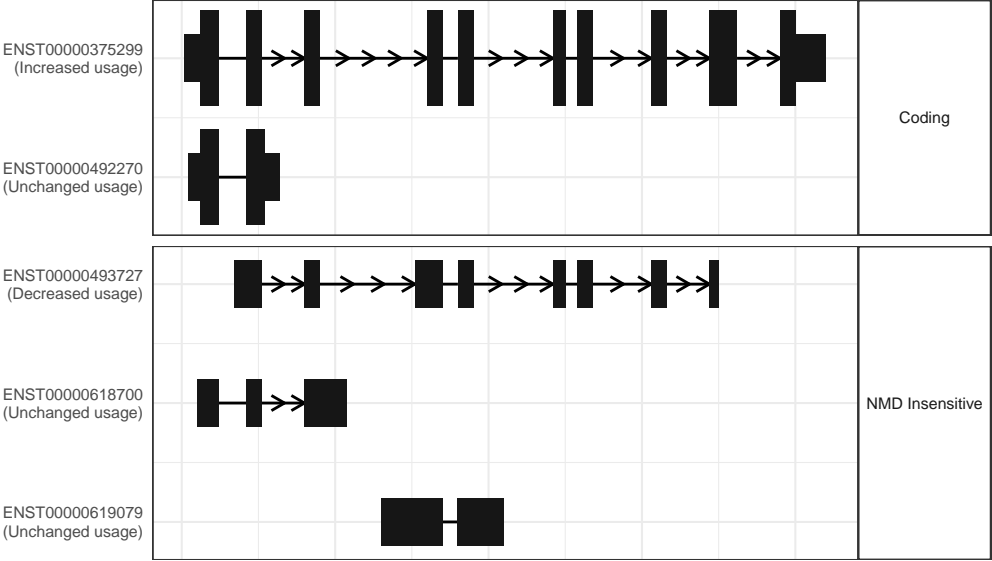
The isoform switch in TRIOBP (RO_D209 vs RO_D45)



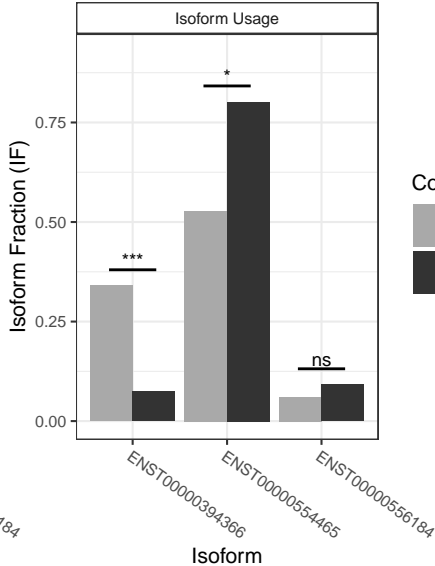
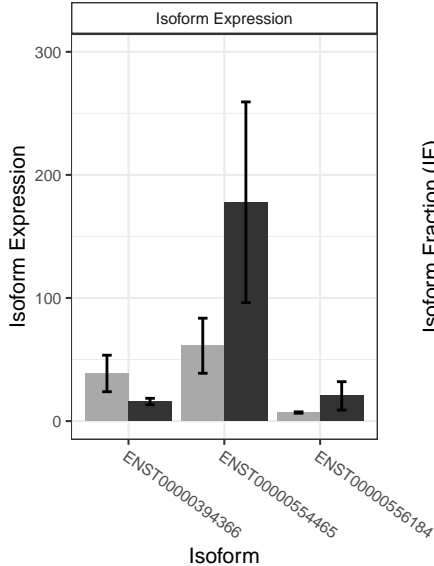
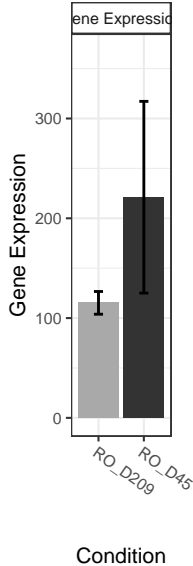
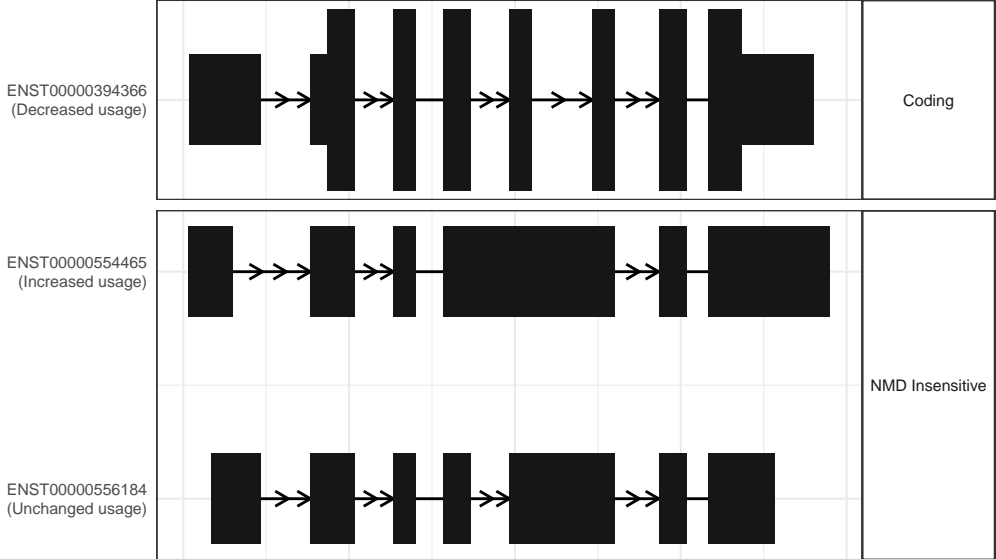
The isoform switch in C18orf32 (RO_D209 vs RO_D45)



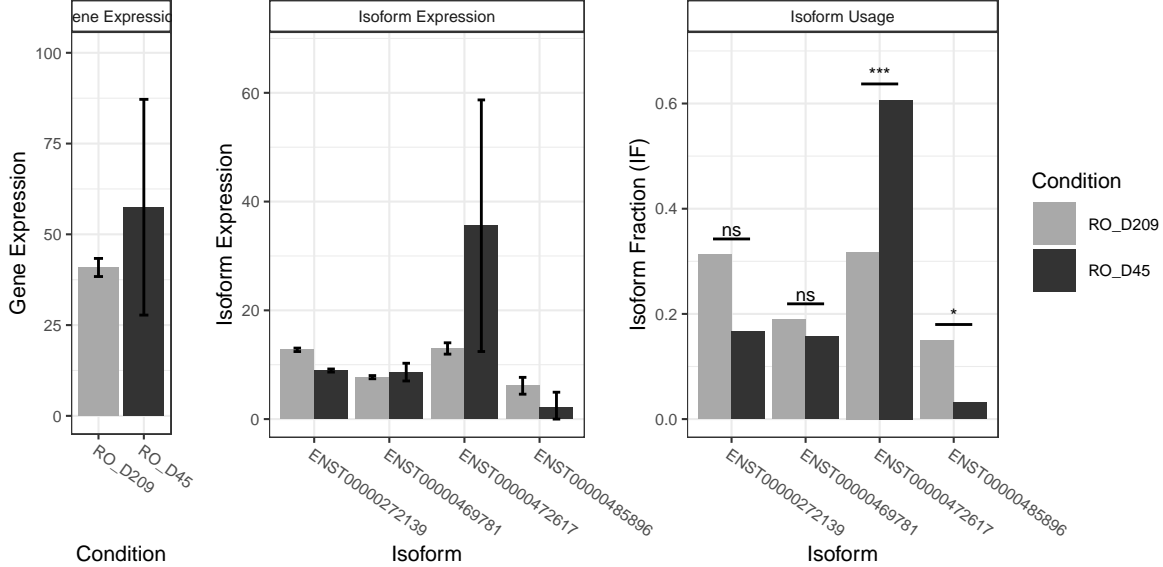
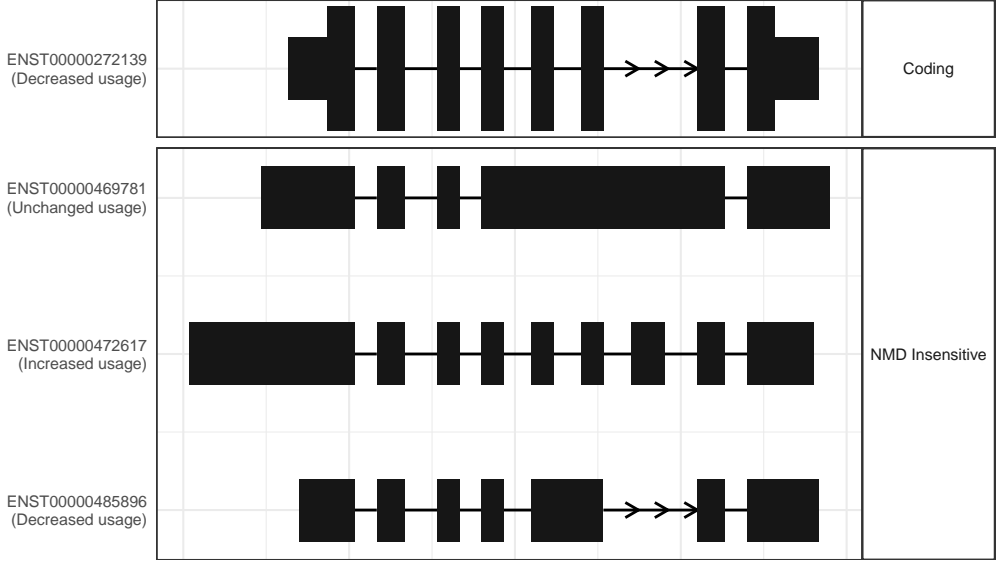
The isoform switch in UPF3A (RO_D209 vs RO_D45)



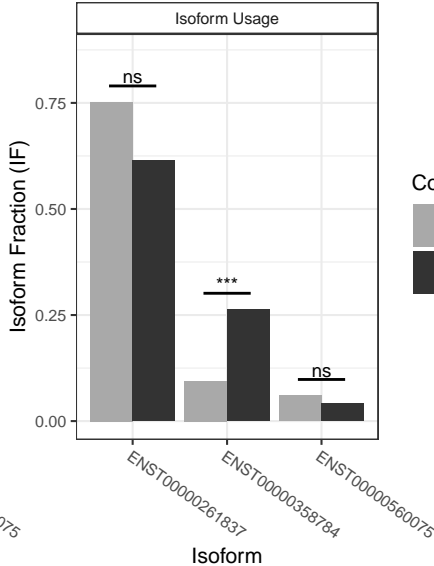
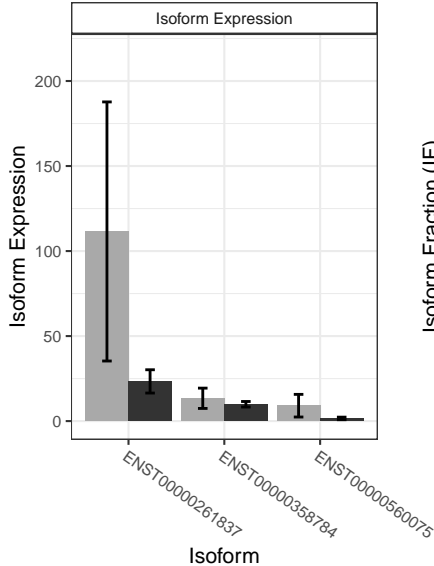
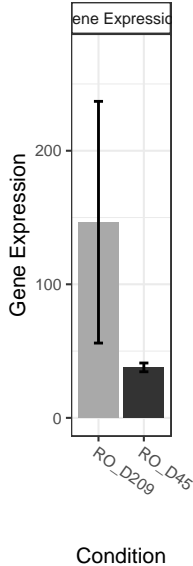
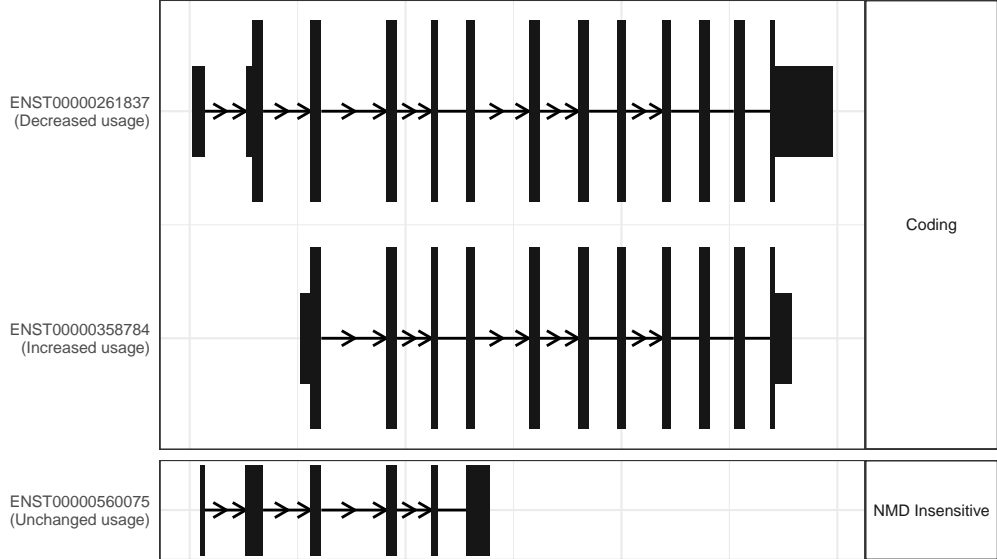
The isoform switch in SRSF5 (RO_D209 vs RO_D45)



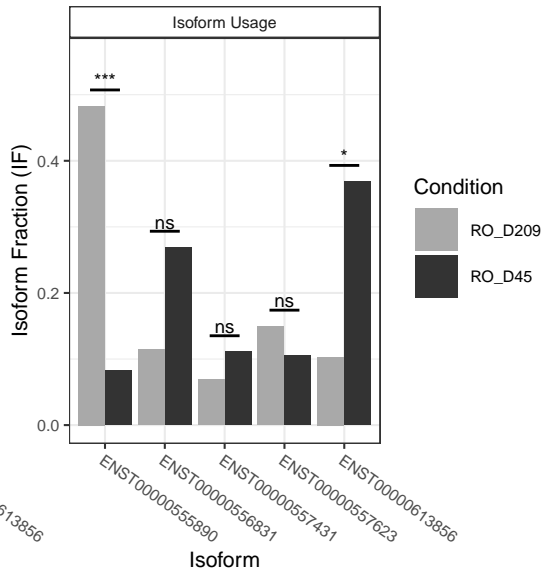
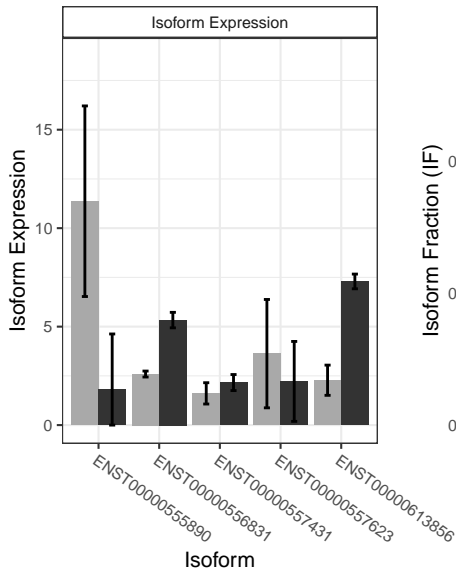
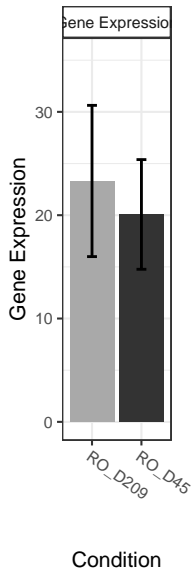
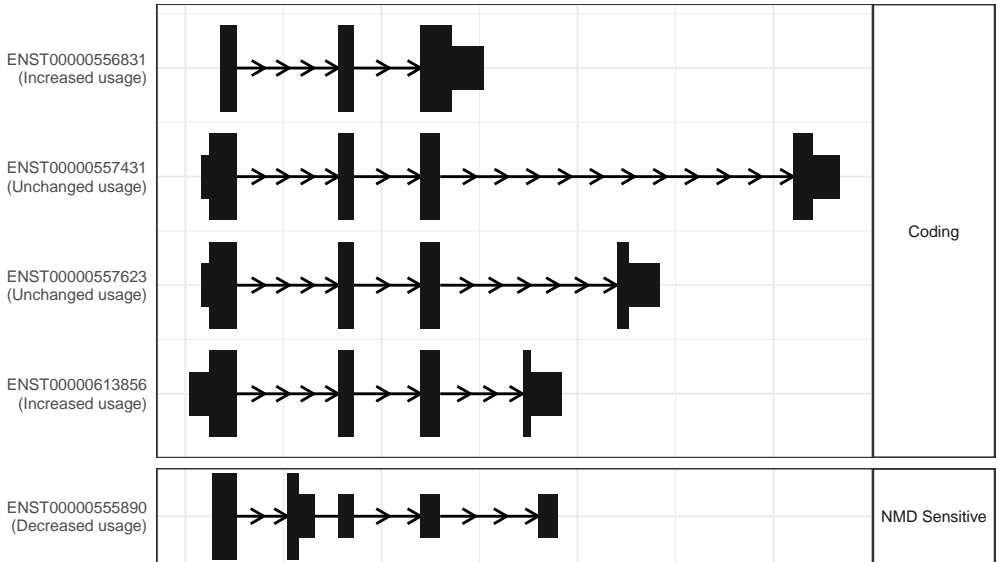
The isoform switch in C1orf35 (RO_D209 vs RO_D45)



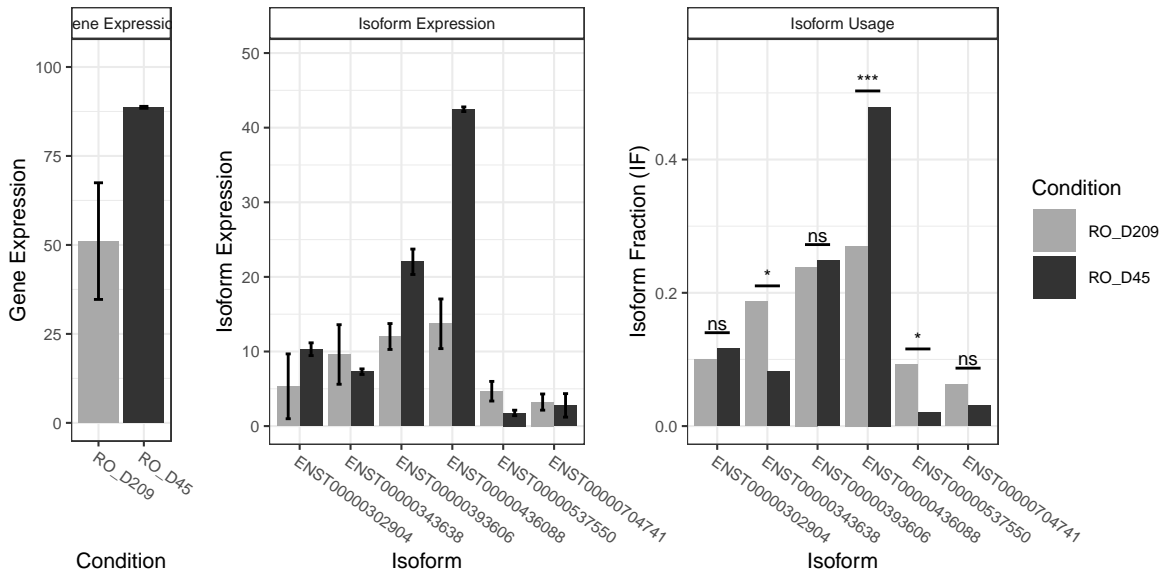
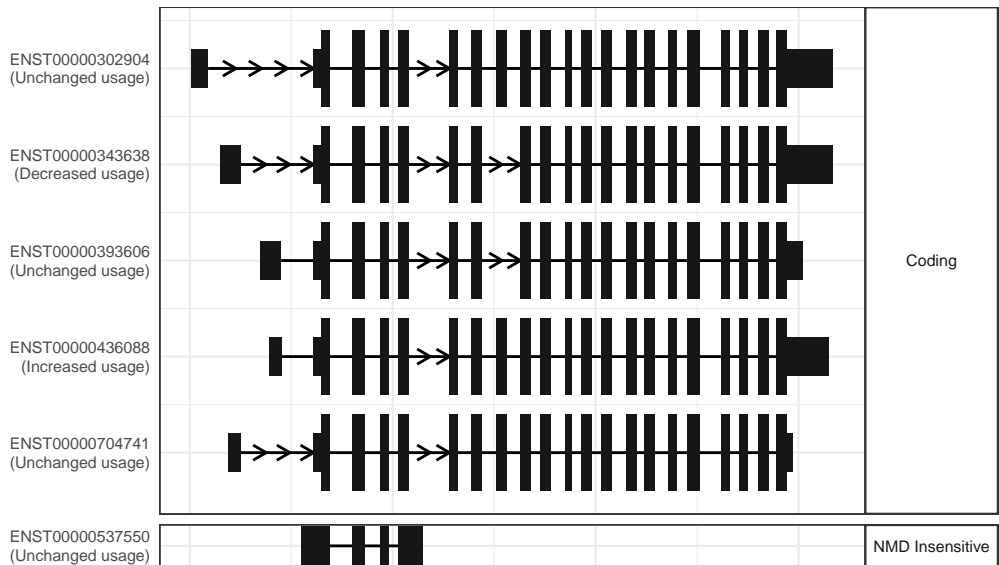
The isoform switch in GNB5 (RO_D209 vs RO_D45)



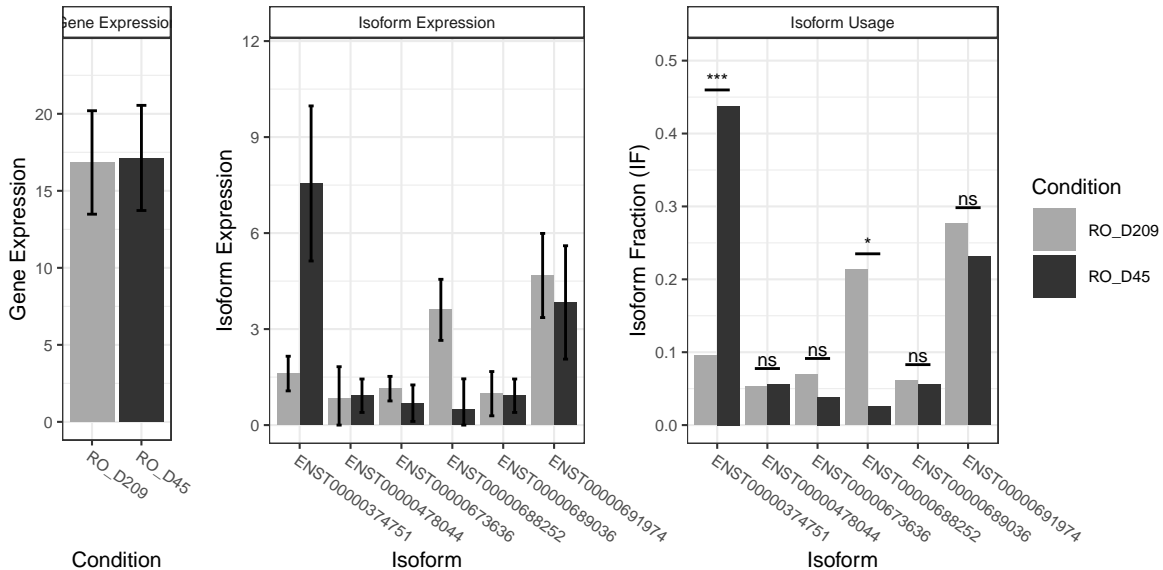
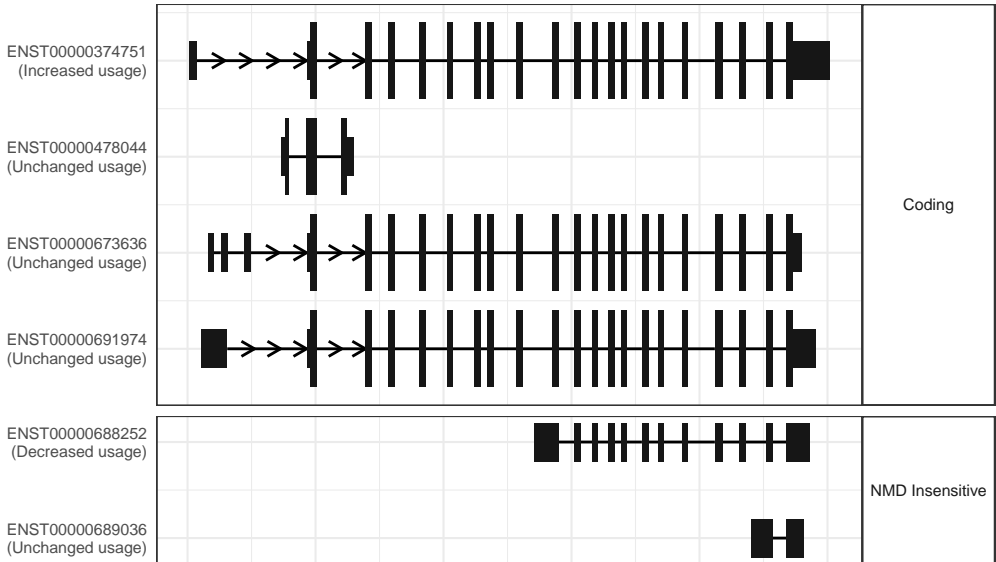
The isoform switch in SLIRP (RO_D209 vs RO_D45)



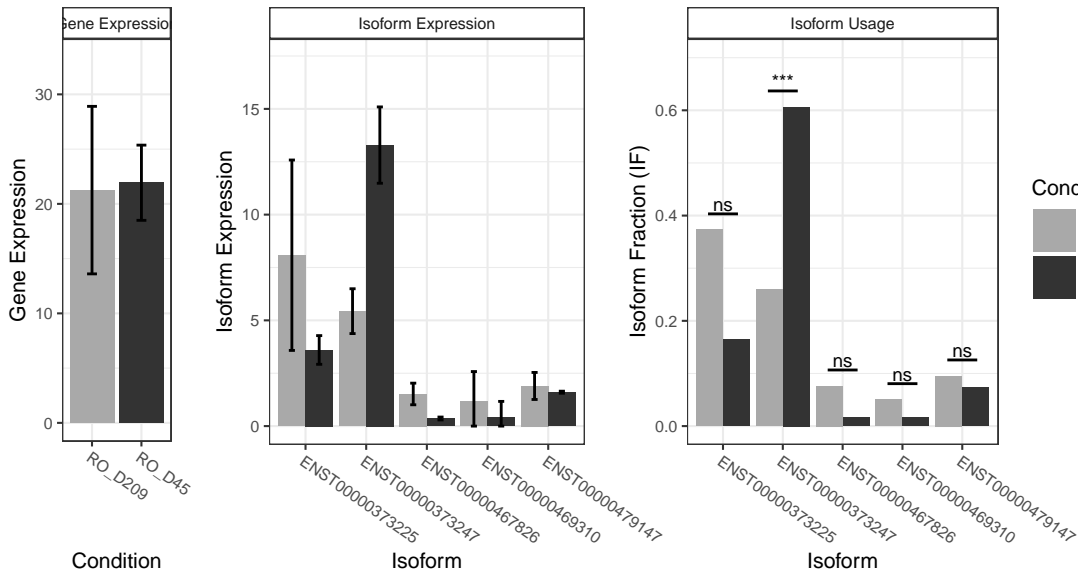
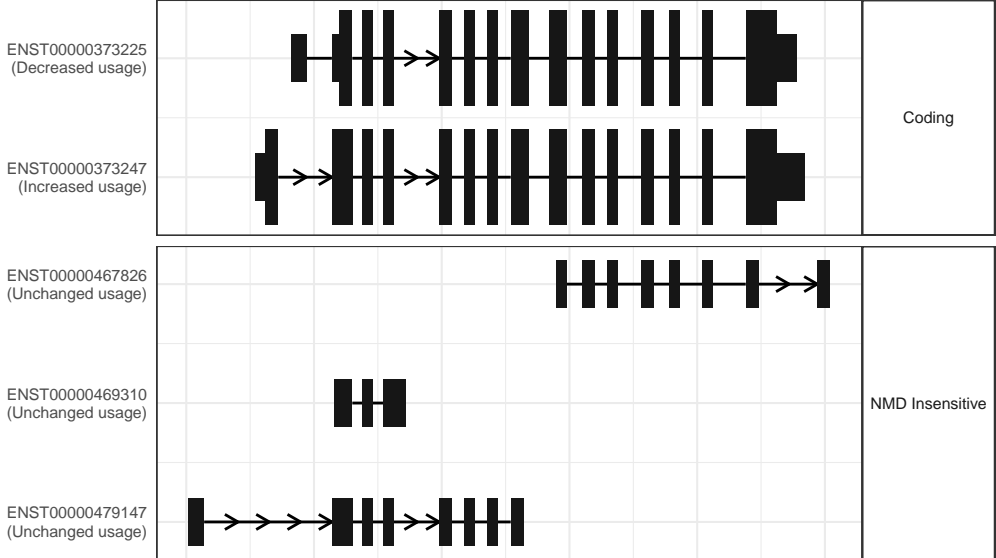
The isoform switch in UBTF (RO_D209 vs RO_D45)



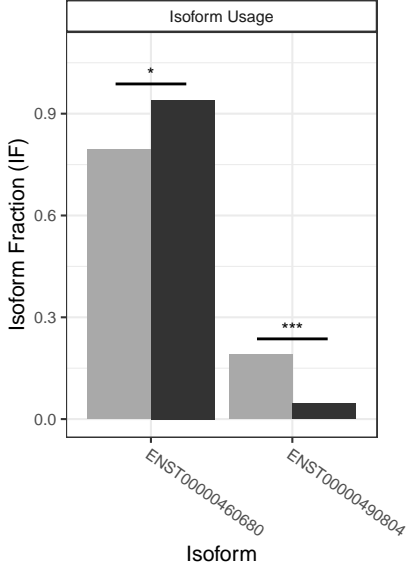
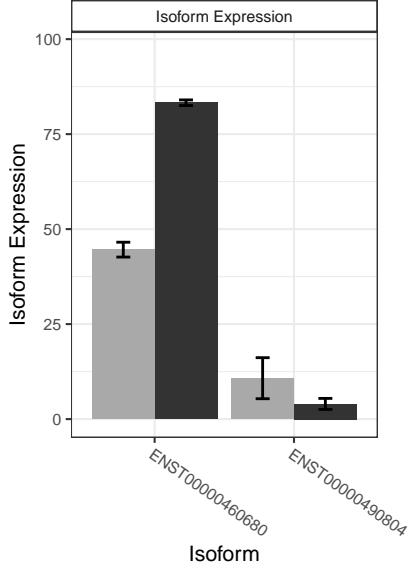
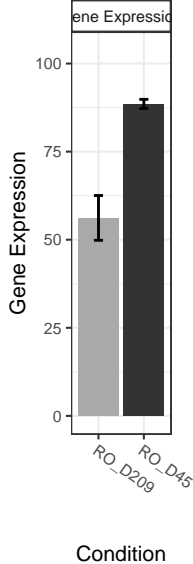
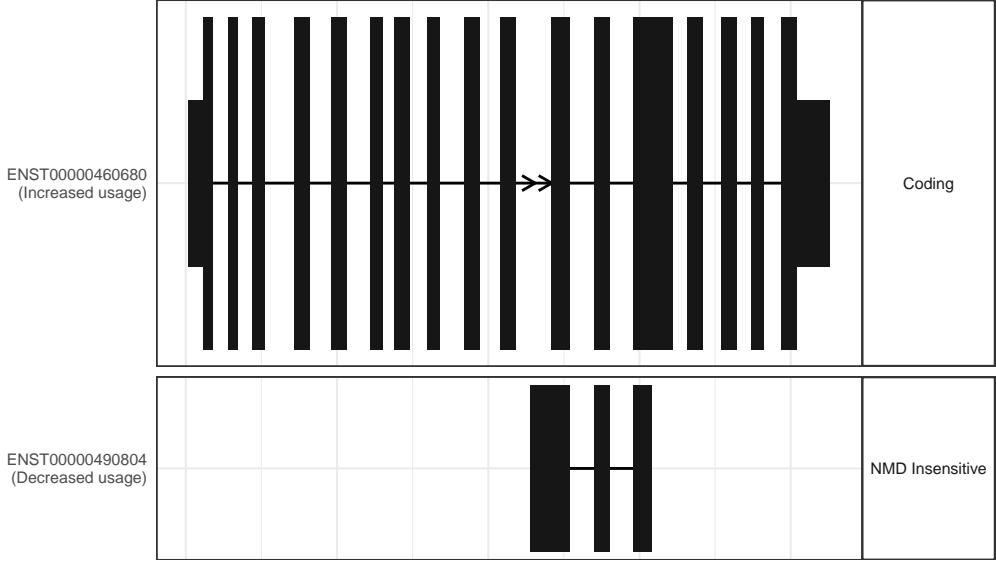
The isoform switch in CUL2 (RO_D209 vs RO_D45)



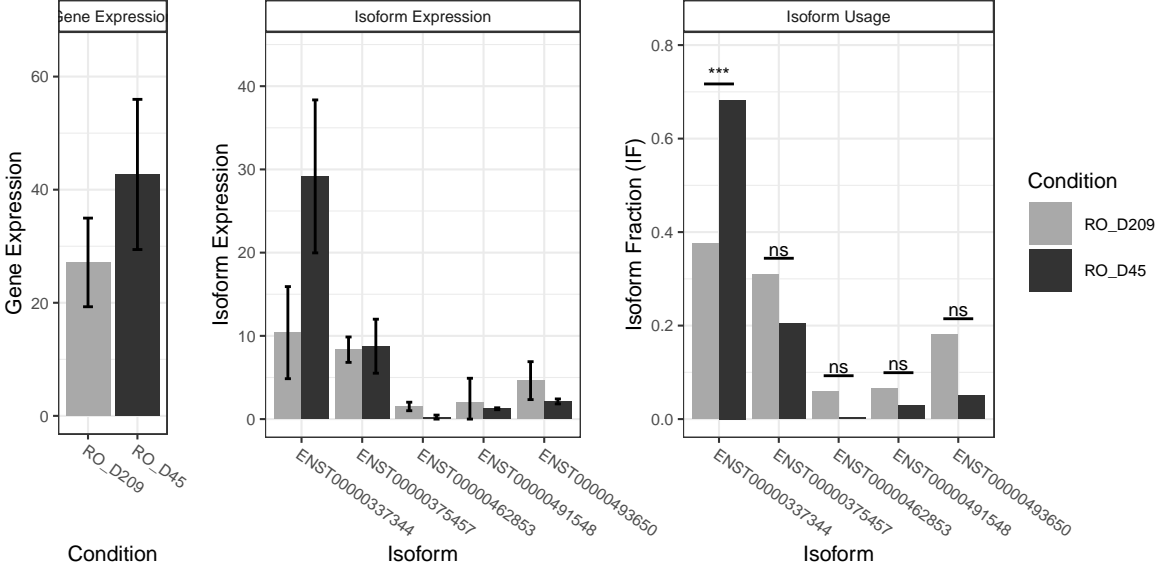
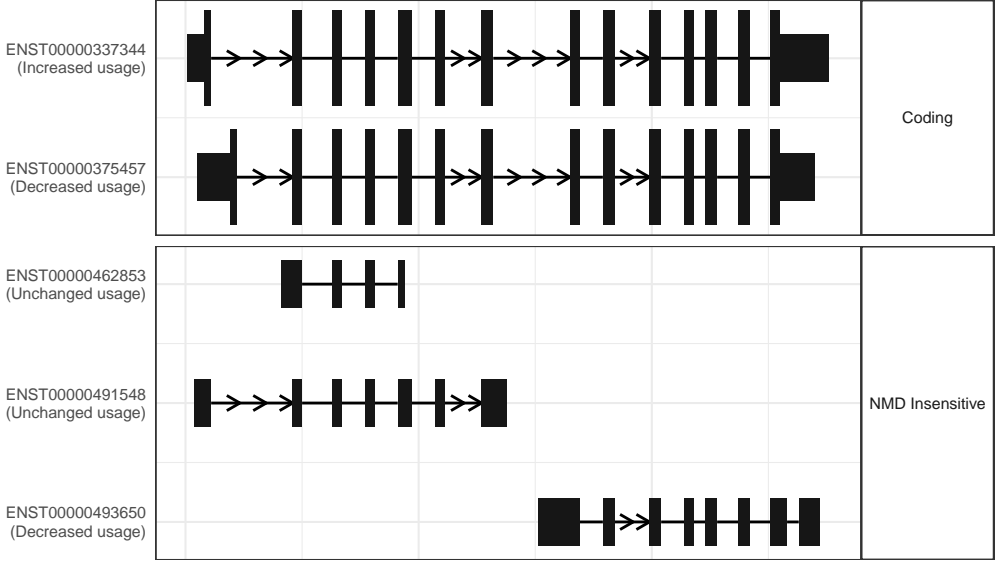
The isoform switch in FPGS (RO_D209 vs RO_D45)



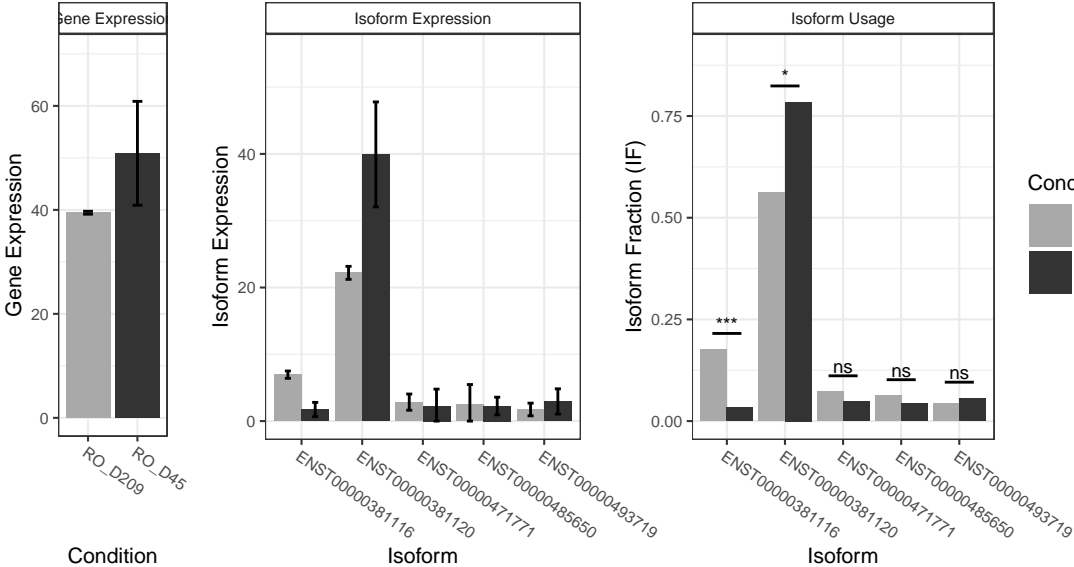
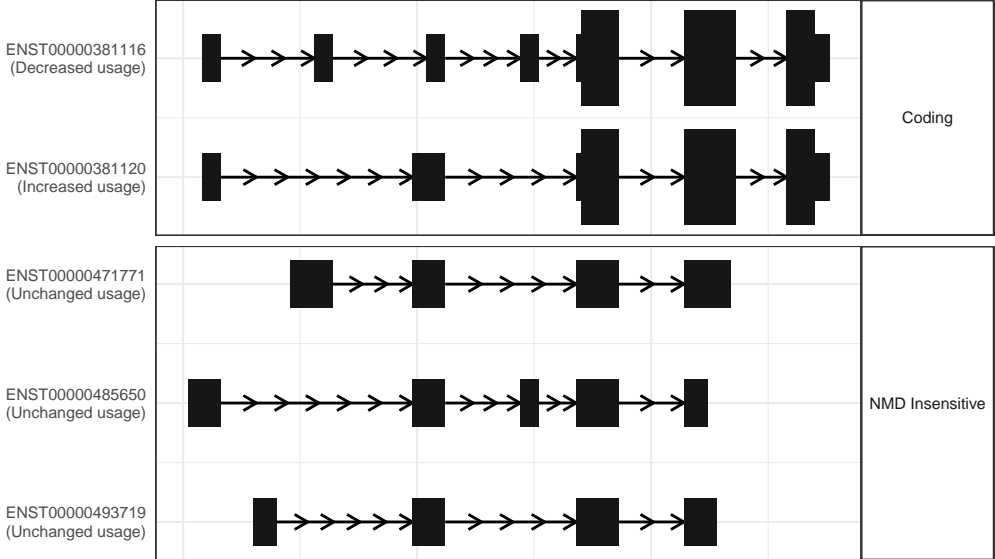
The isoform switch in BAP1 (RO_D209 vs RO_D45)



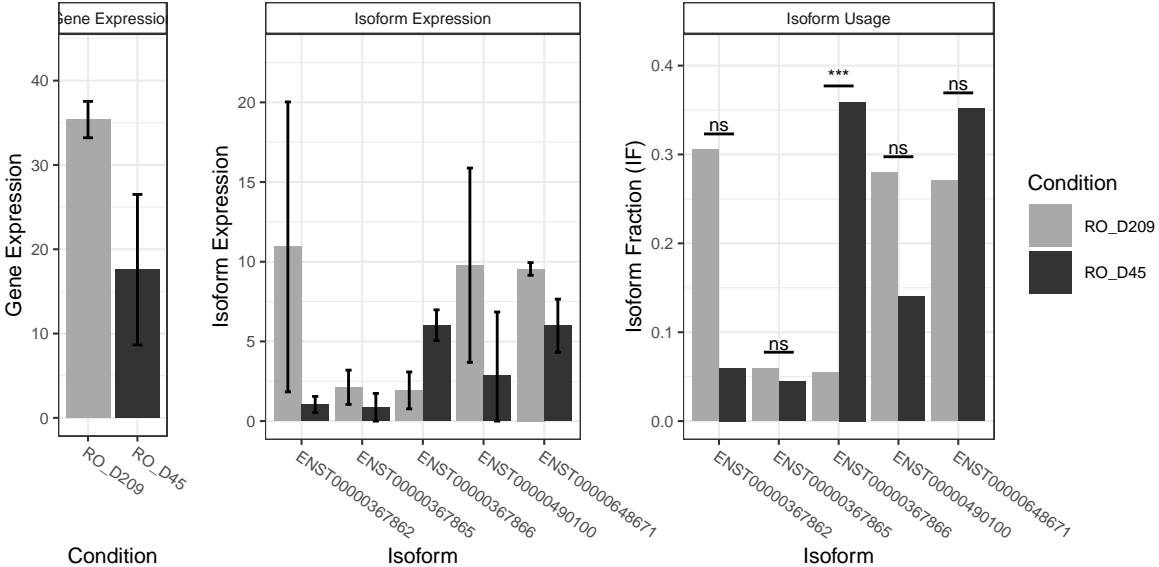
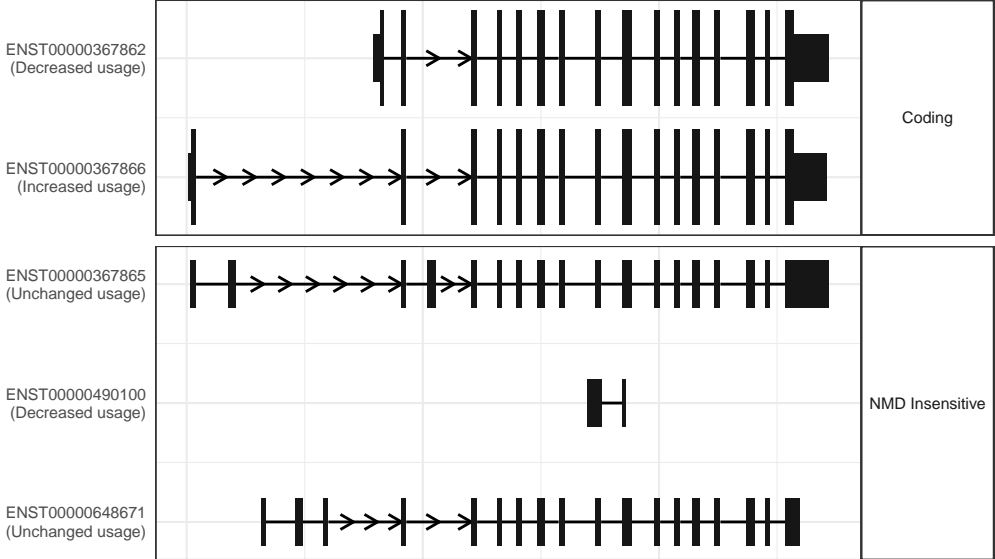
The isoform switch in PCID2 (RO_D209 vs RO_D45)



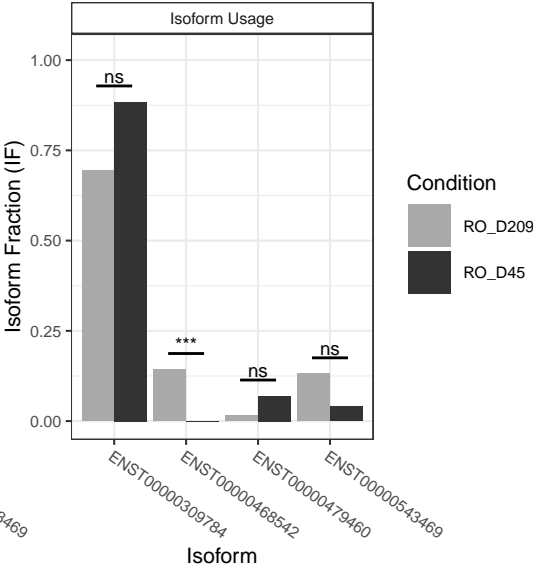
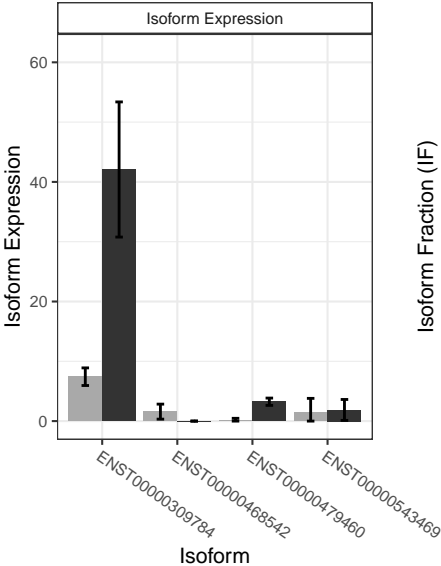
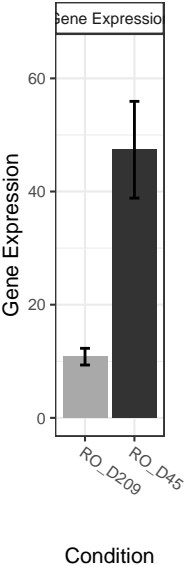
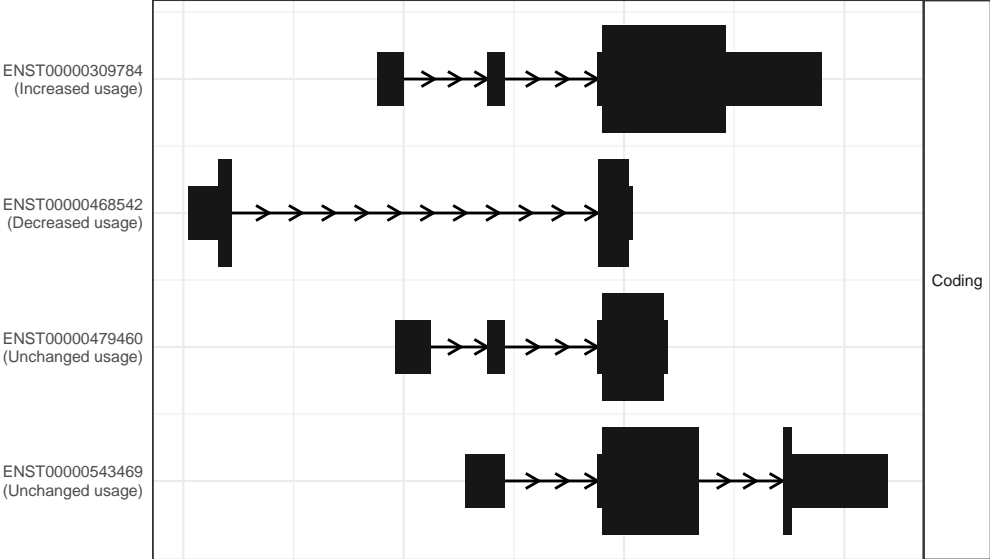
The isoform switch in MTIF3 (RO_D209 vs RO_D45)



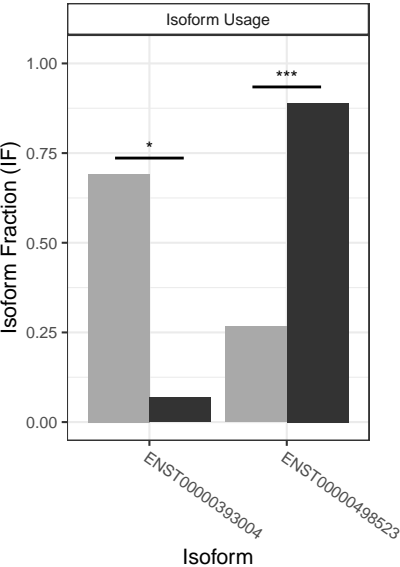
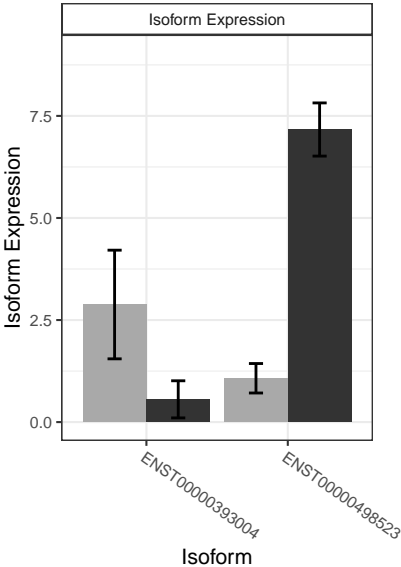
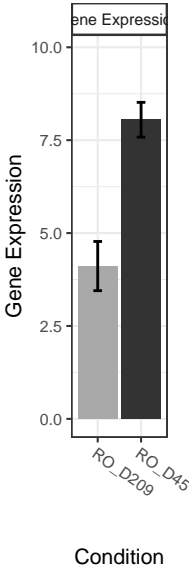
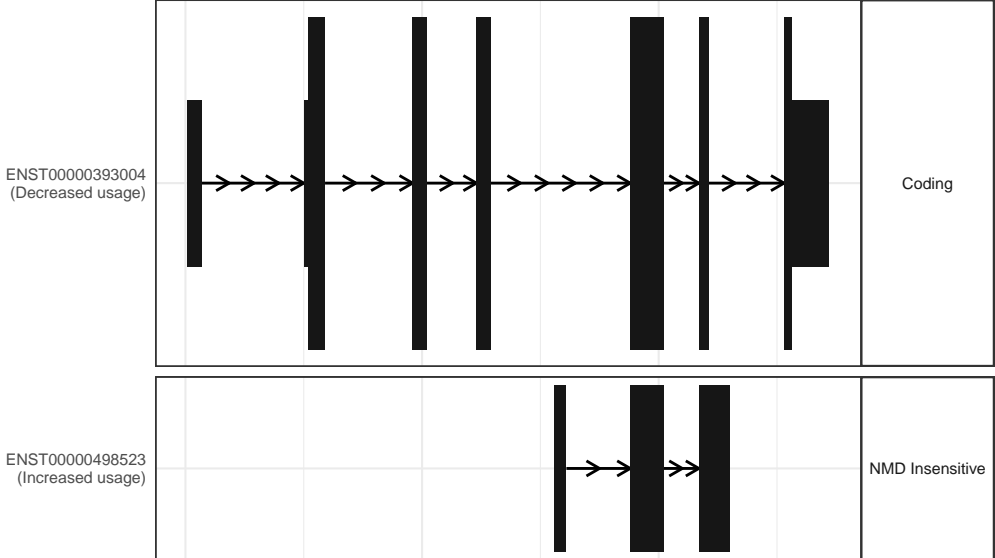
The isoform switch in POU2F1 (RO_D209 vs RO_D45)



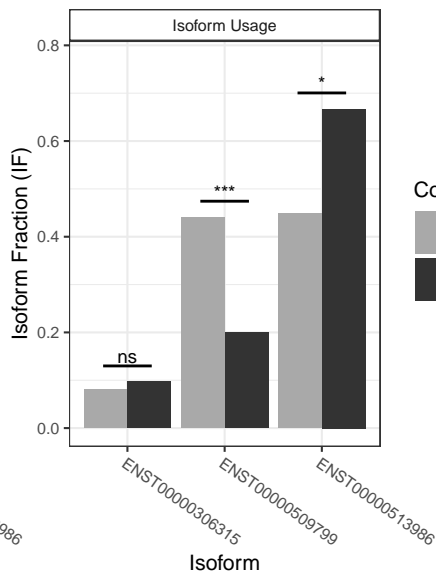
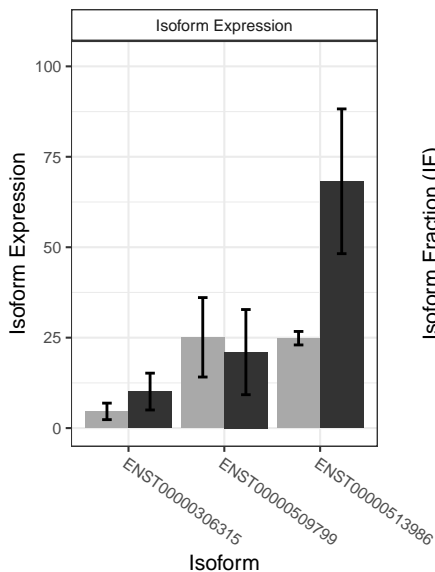
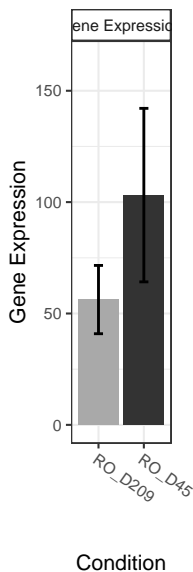
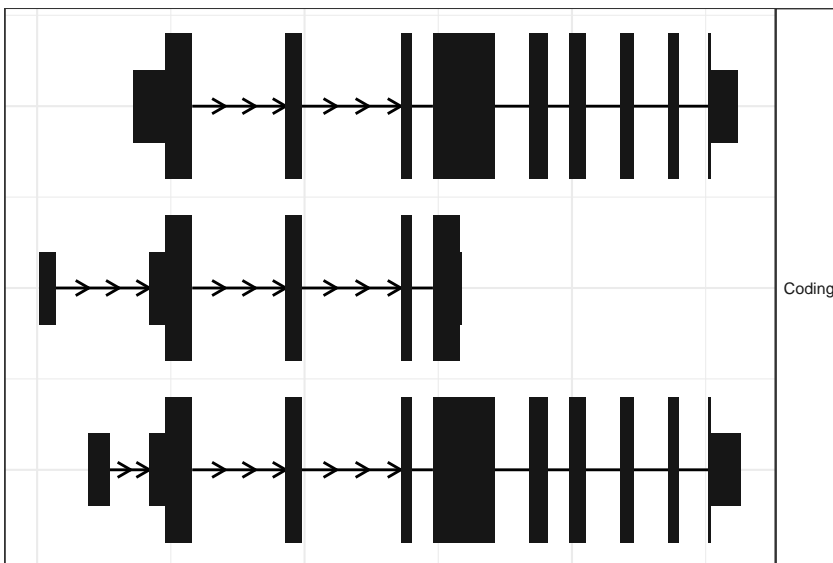
The isoform switch in TRIM59 (RO_D209 vs RO_D45)



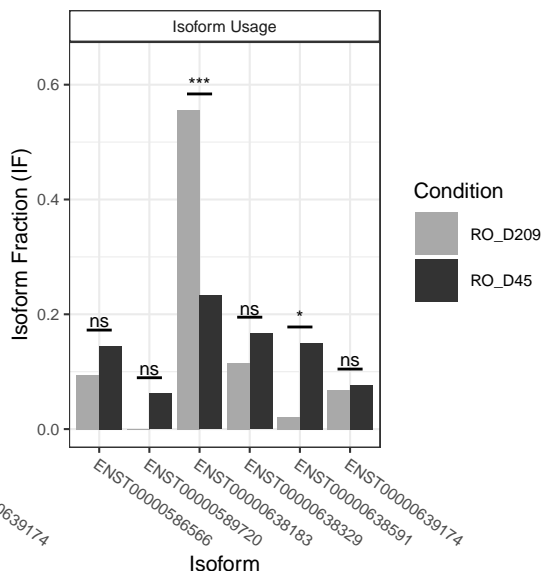
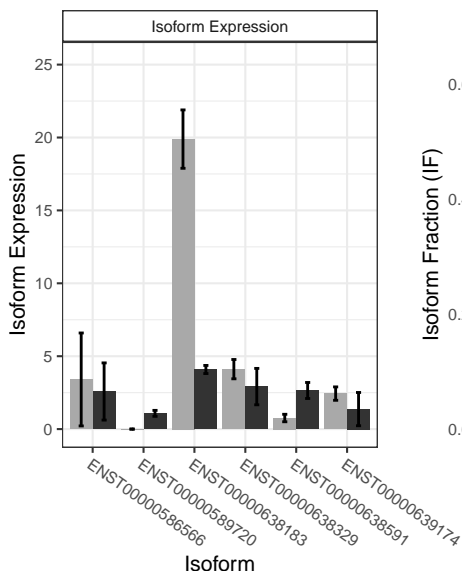
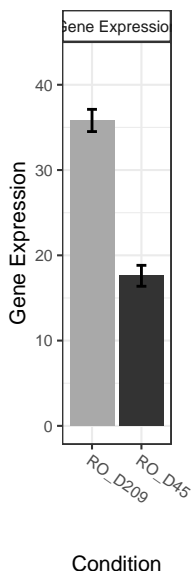
The isoform switch in FILIP1 (RO_D209 vs RO_D45)



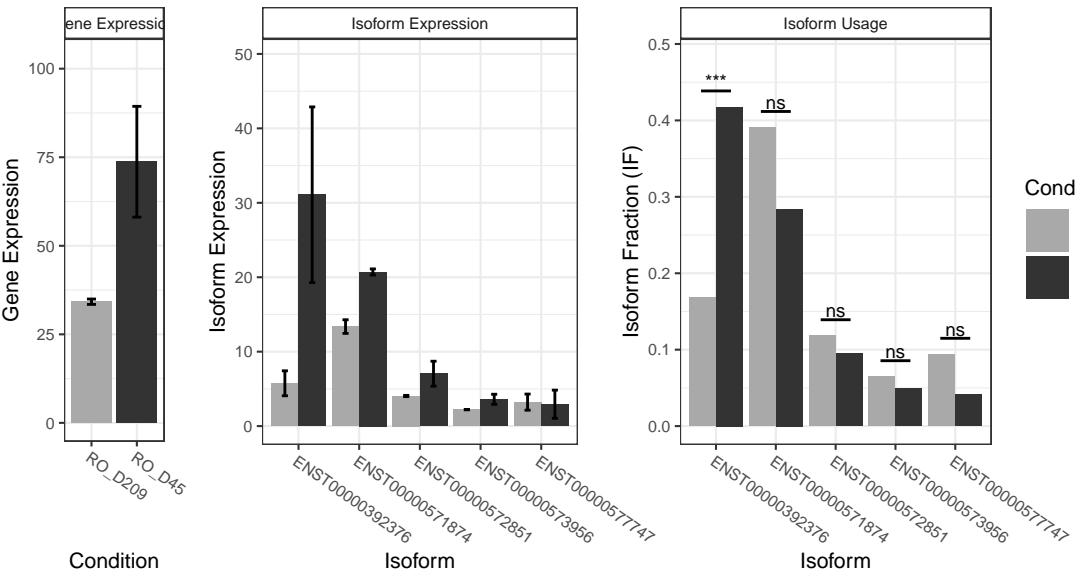
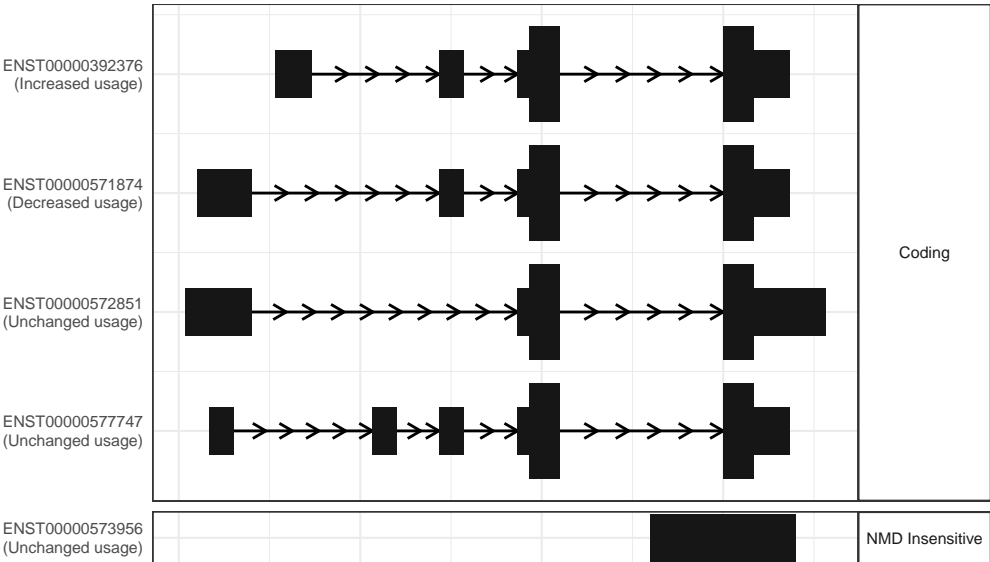
The isoform switch in ZNF608 (RO_D209 vs RO_D45)



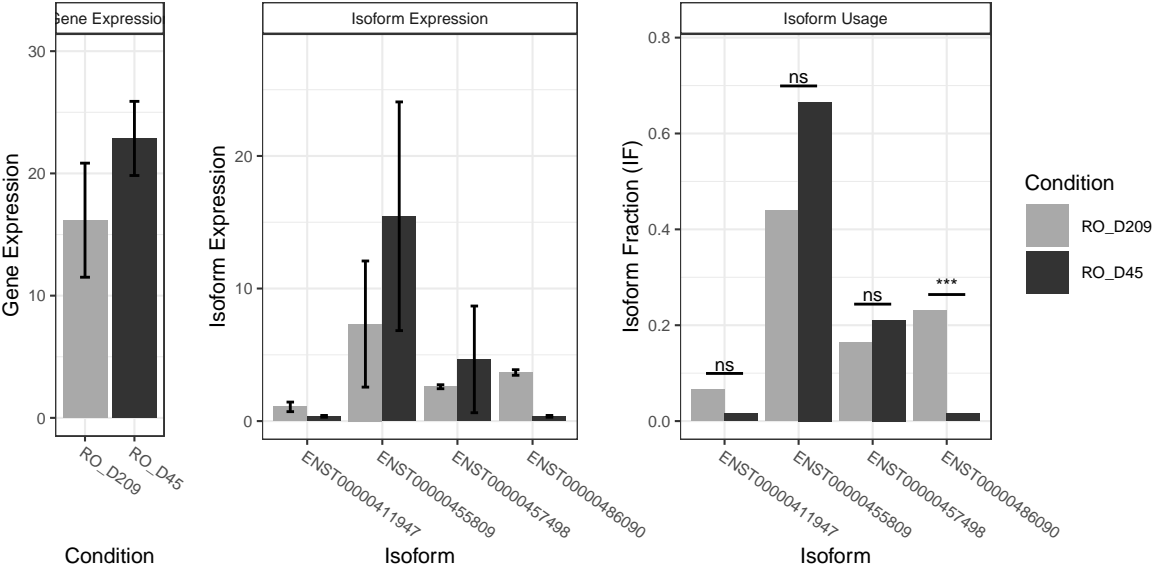
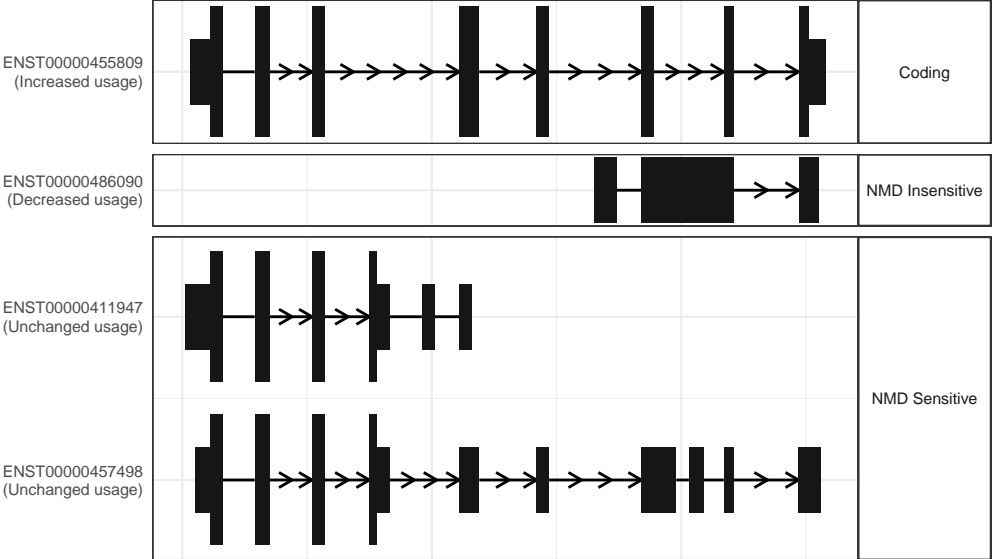
The isoform switch in PIGN (RO_D209 vs RO_D45)



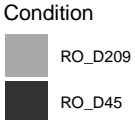
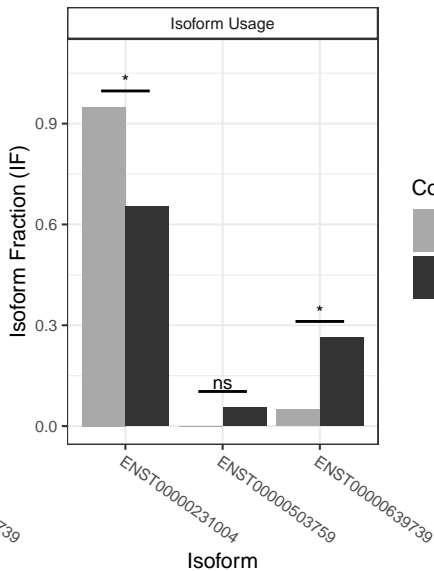
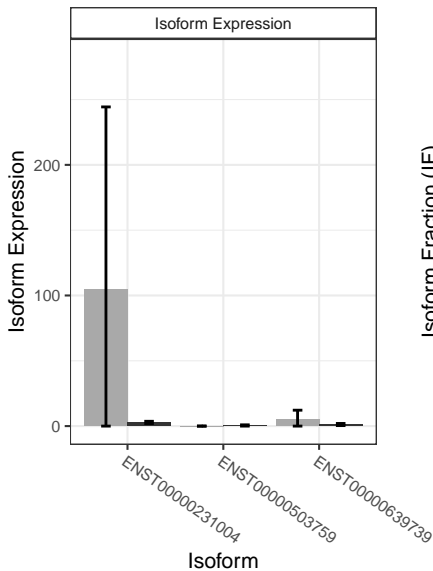
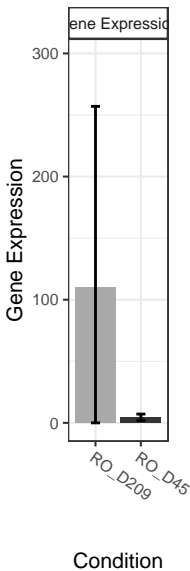
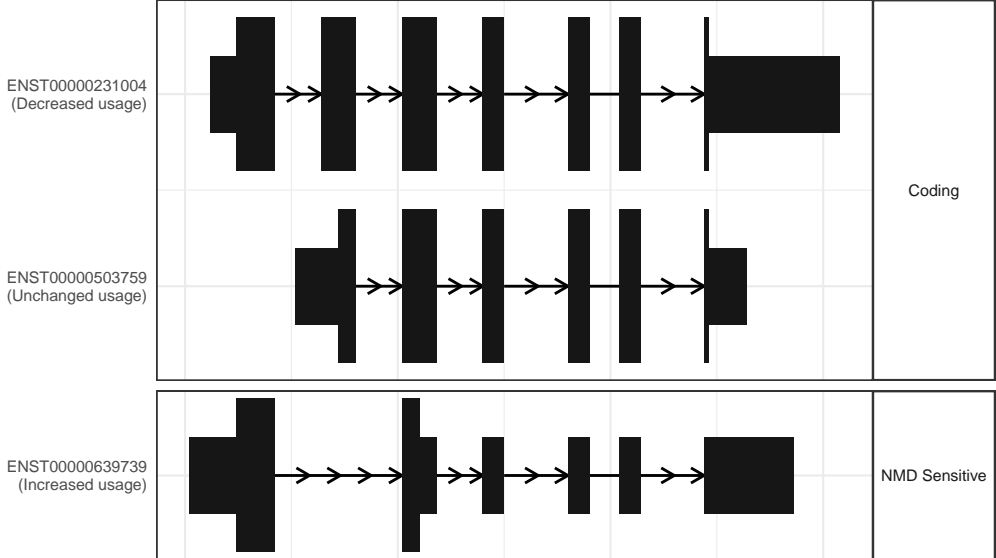
The isoform switch in ANAPC11 (RO_D209 vs RO_D45)



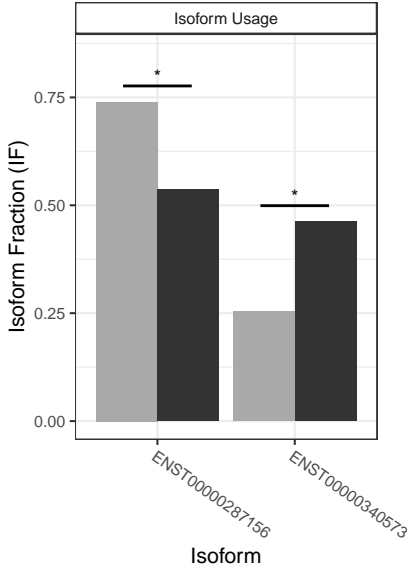
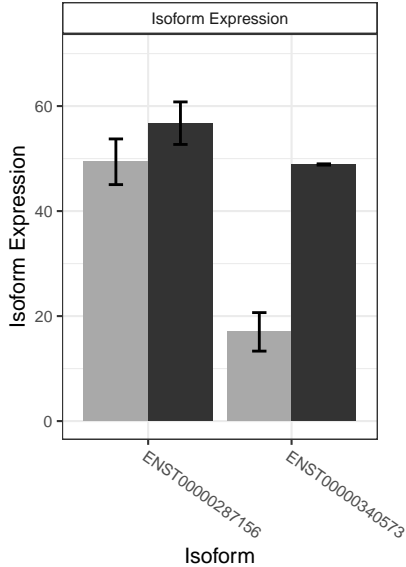
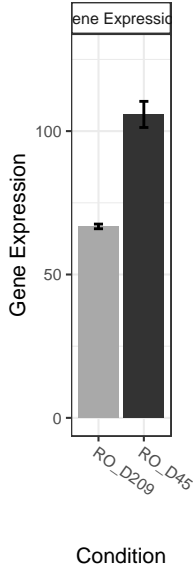
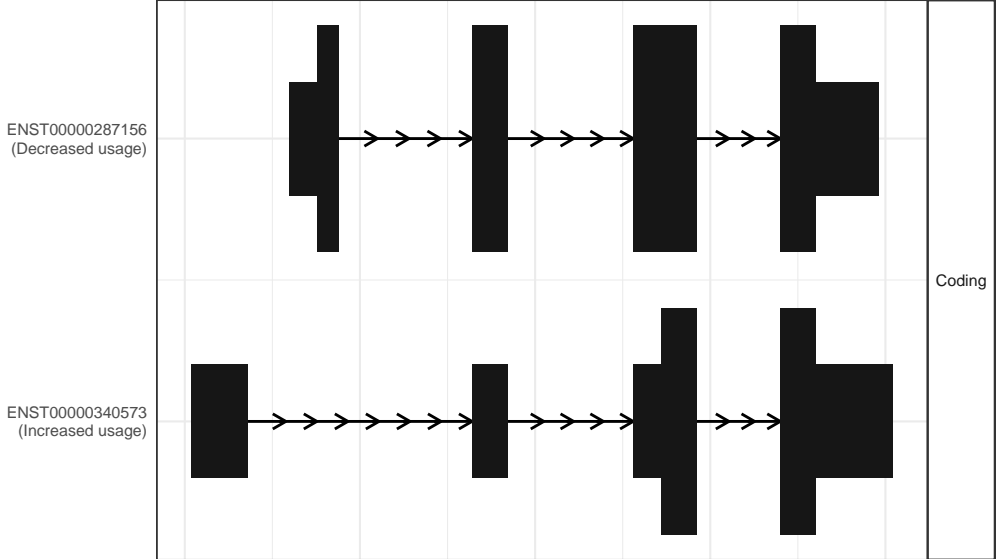
The isoform switch in TAMM41 (RO_D209 vs RO_D45)



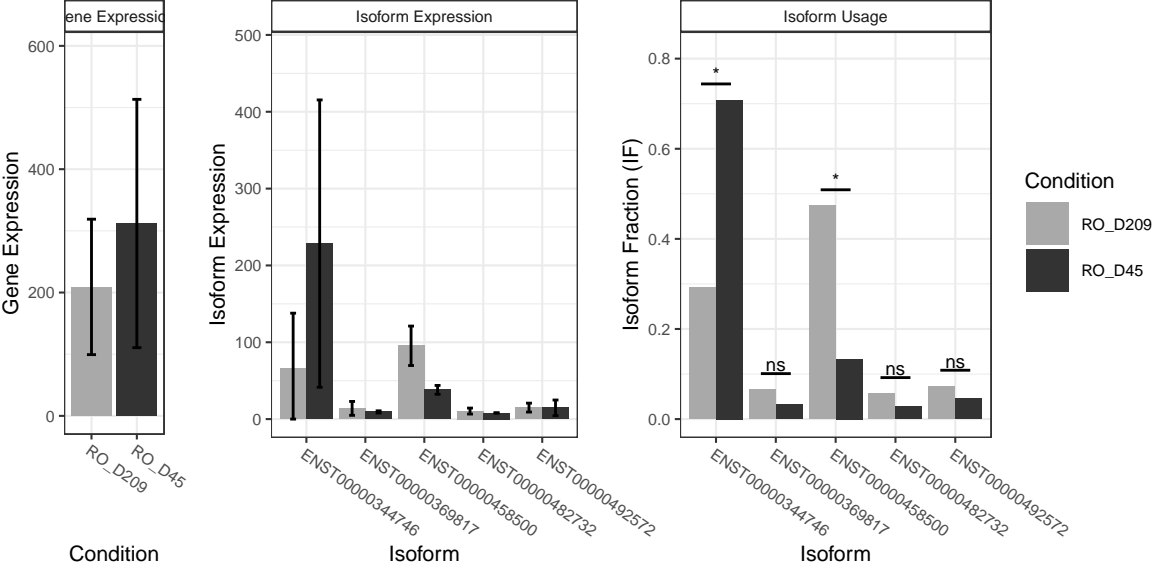
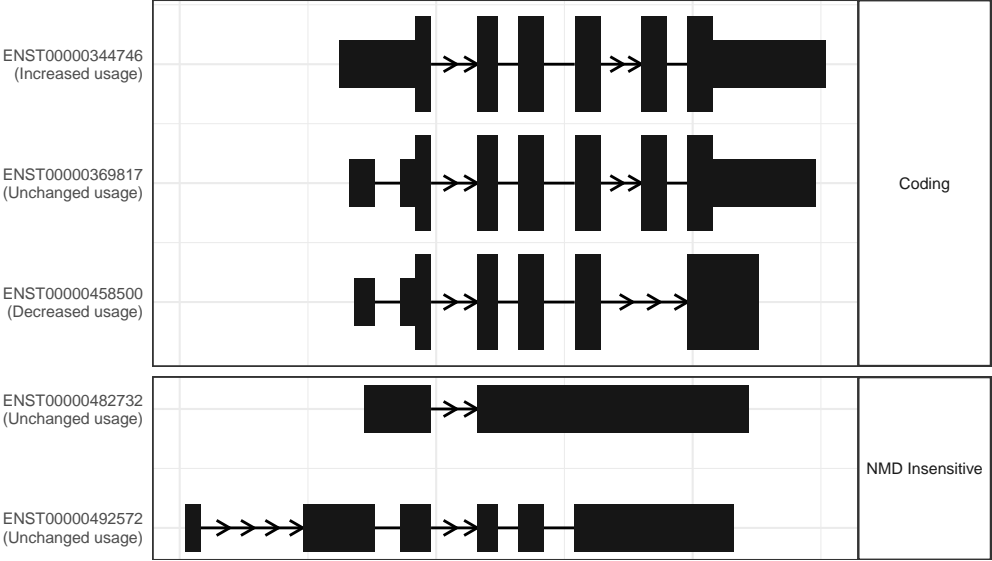
The isoform switch in LOX (RO_D209 vs RO_D45)



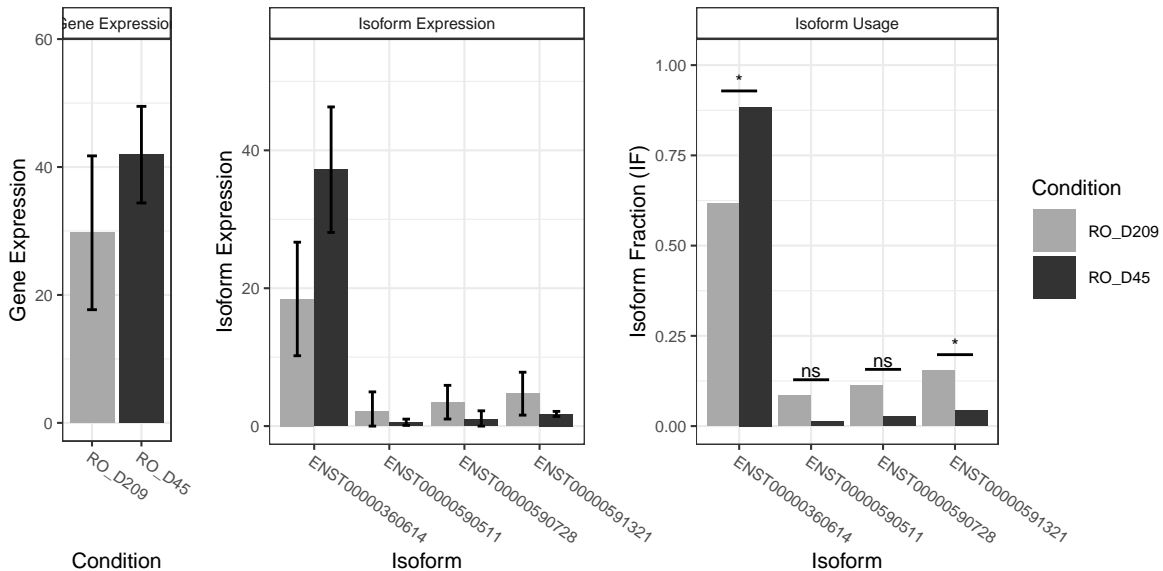
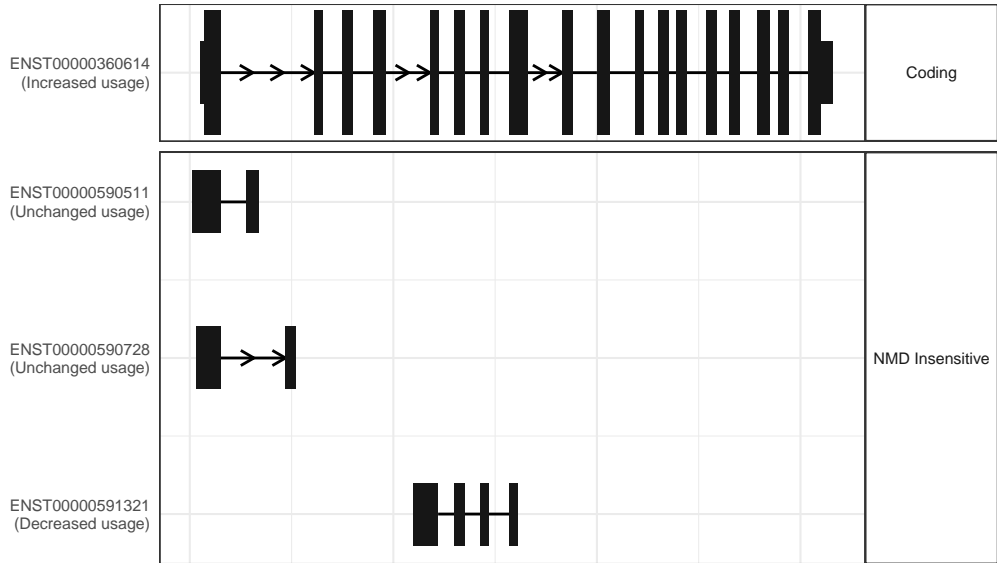
The isoform switch in UBE2L6 (RO_D209 vs RO_D45)



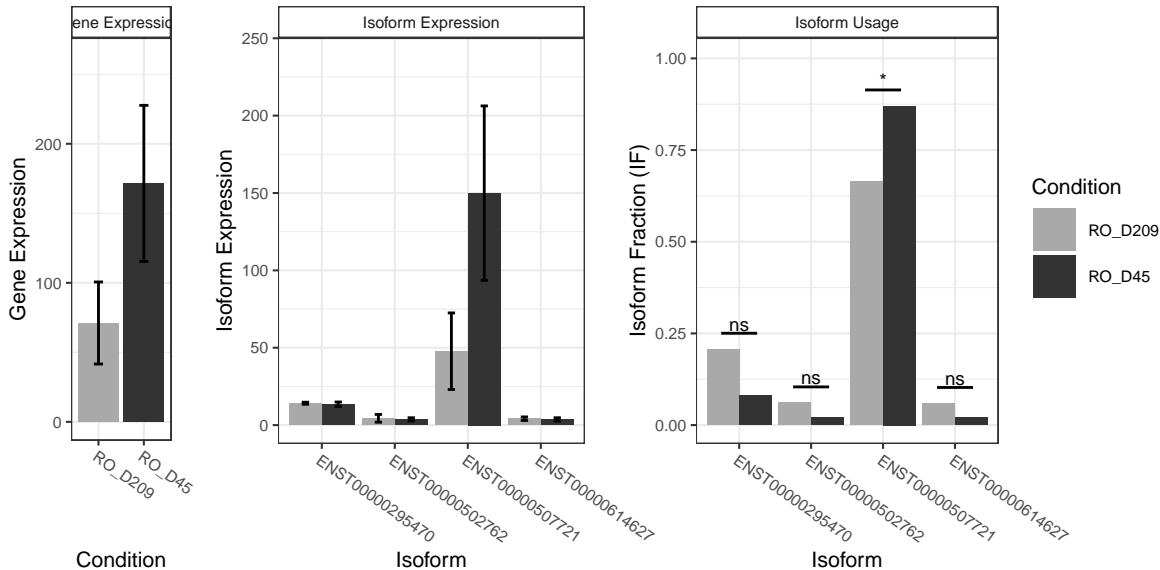
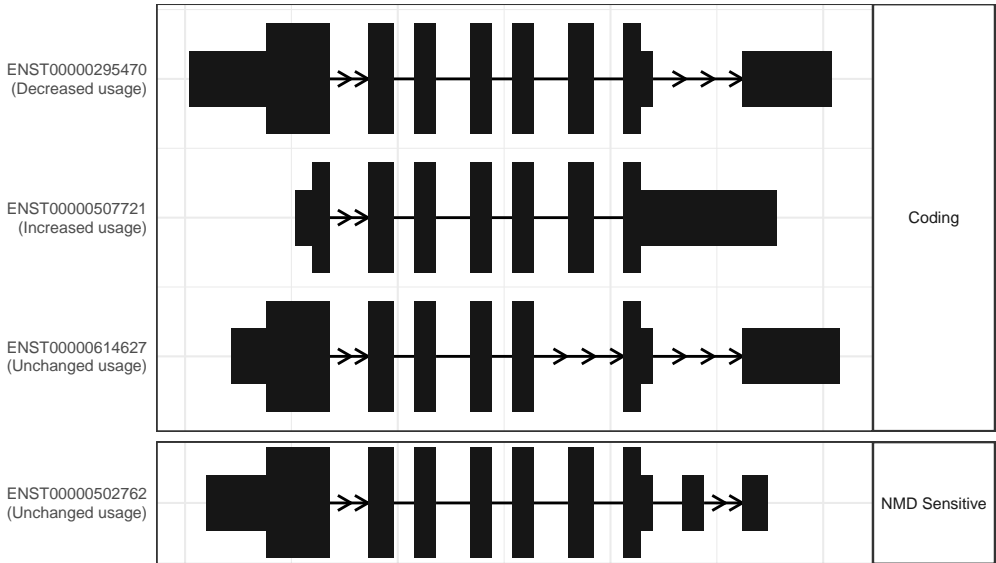
The isoform switch in RPL10 (RO_D209 vs RO_D45)



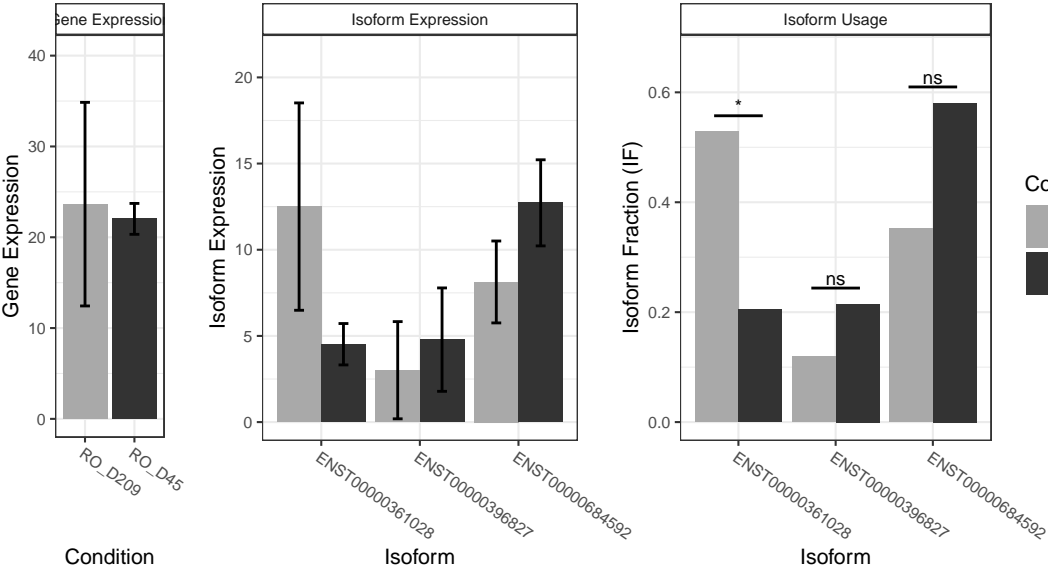
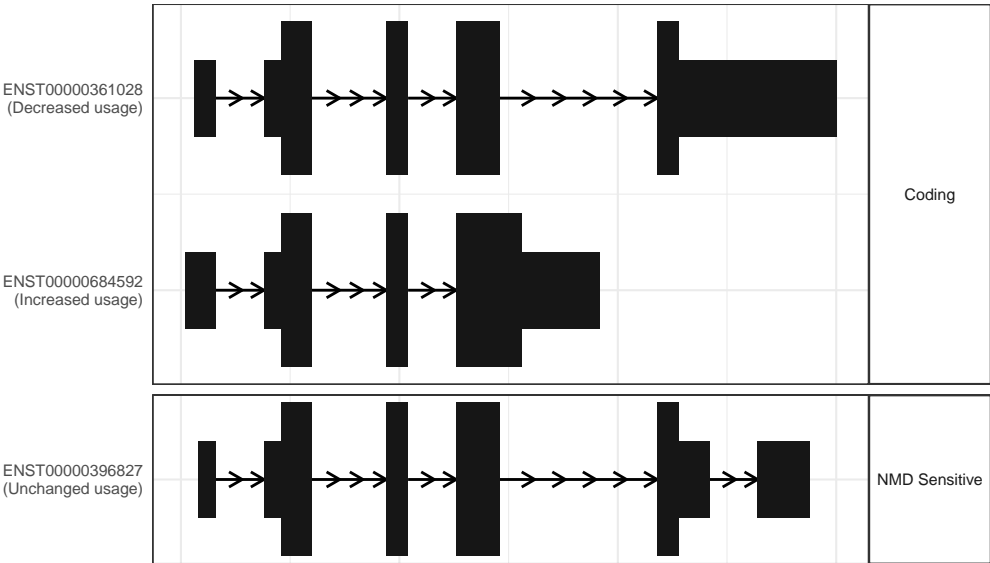
The isoform switch in LONP1 (RO_D209 vs RO_D45)



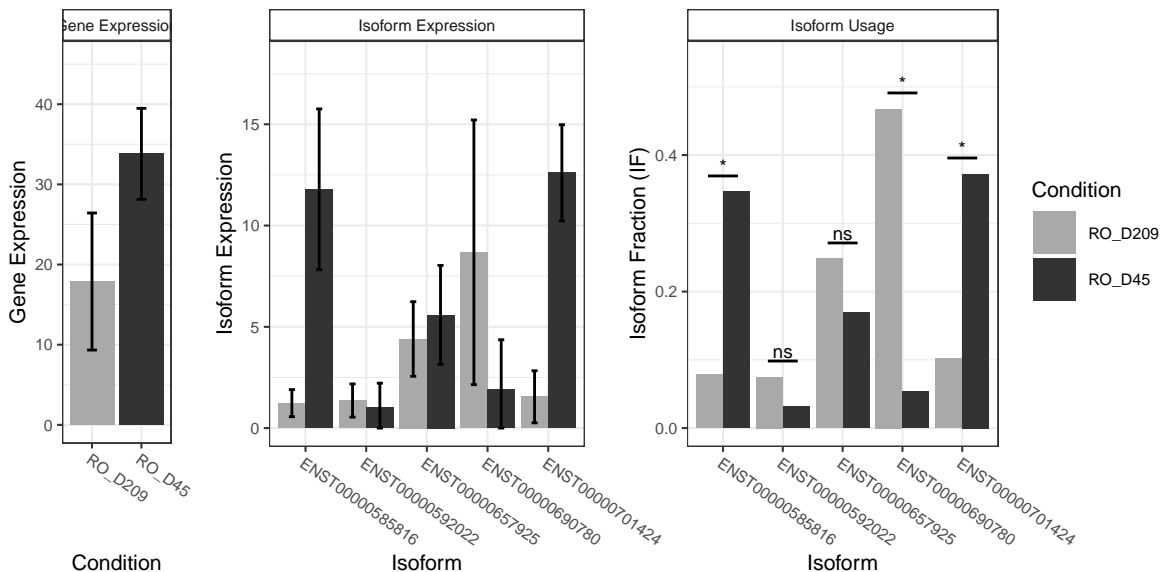
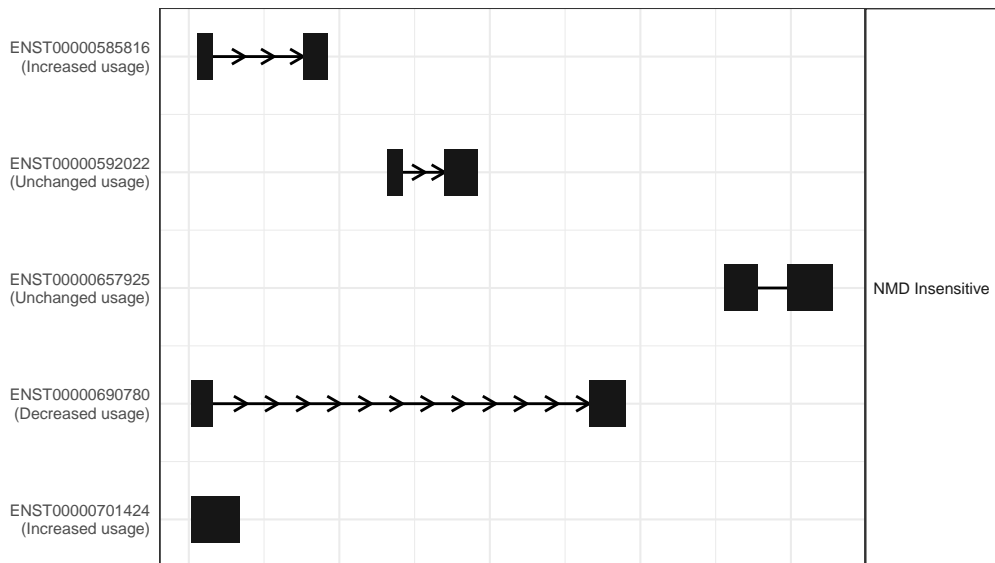
The isoform switch in HNRNPDL (RO_D209 vs RO_D45)



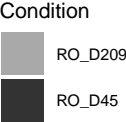
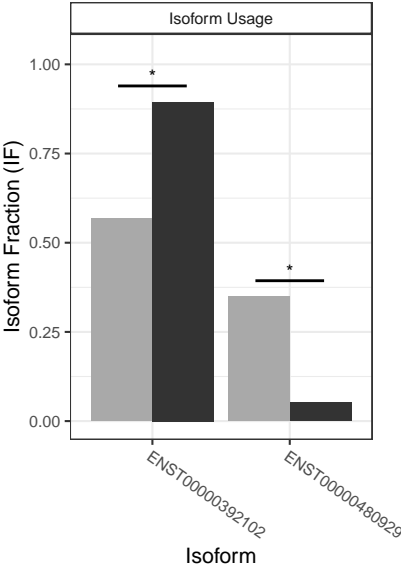
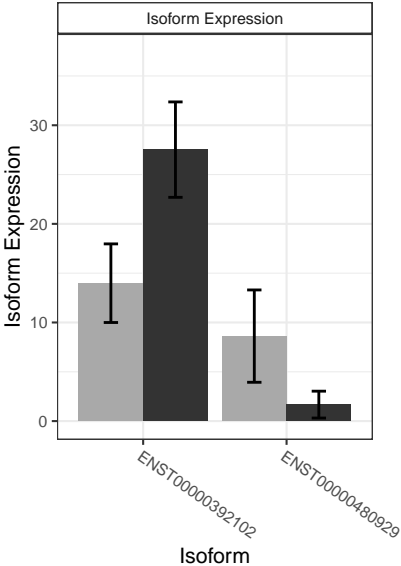
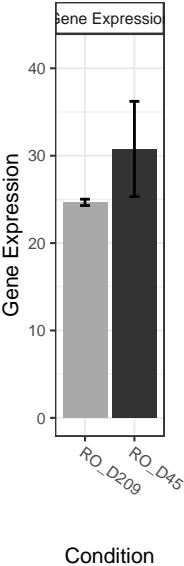
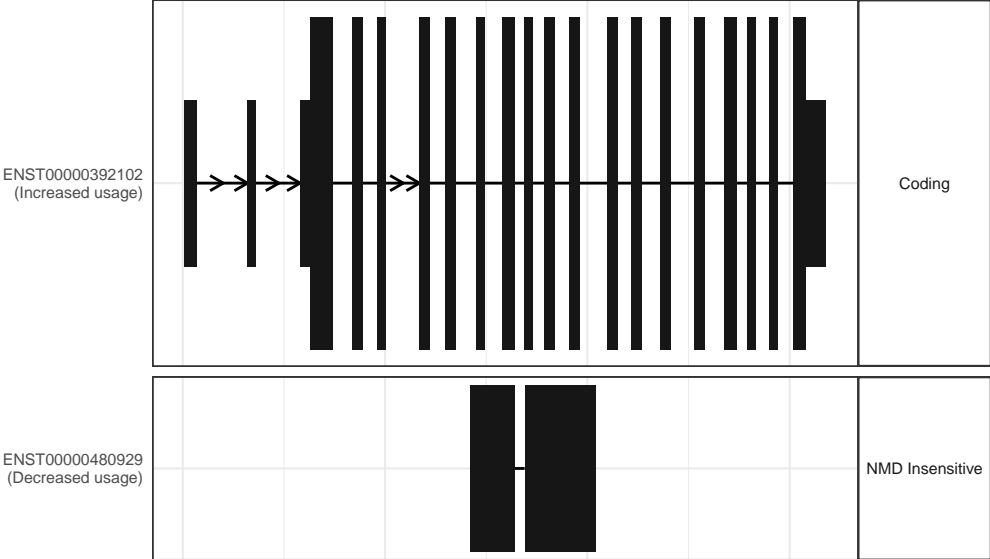
The isoform switch in ZSCAN12 (RO_D209 vs RO_D45)



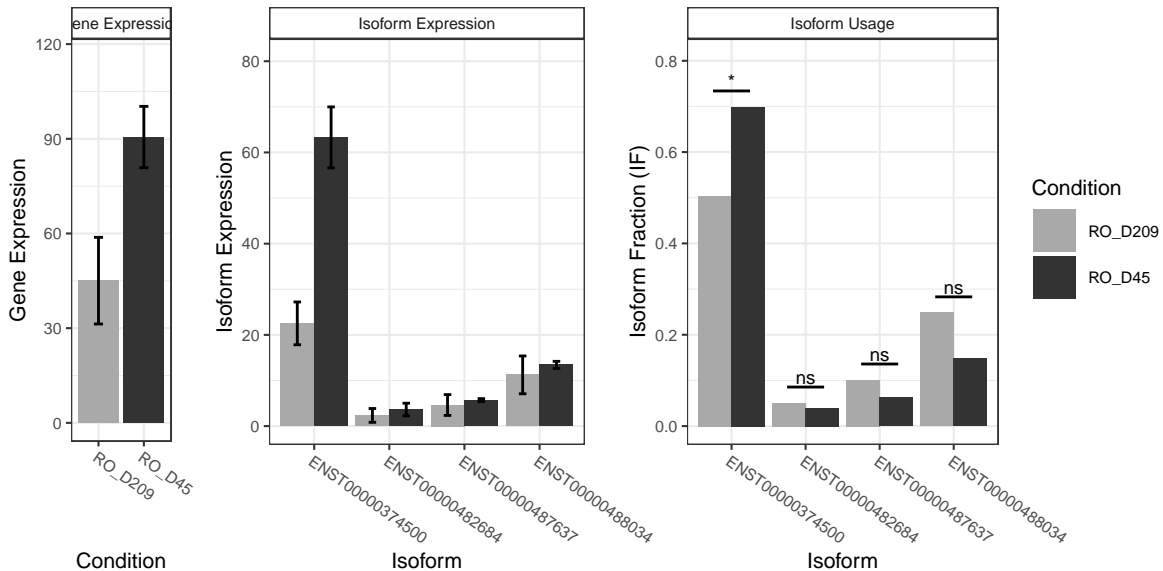
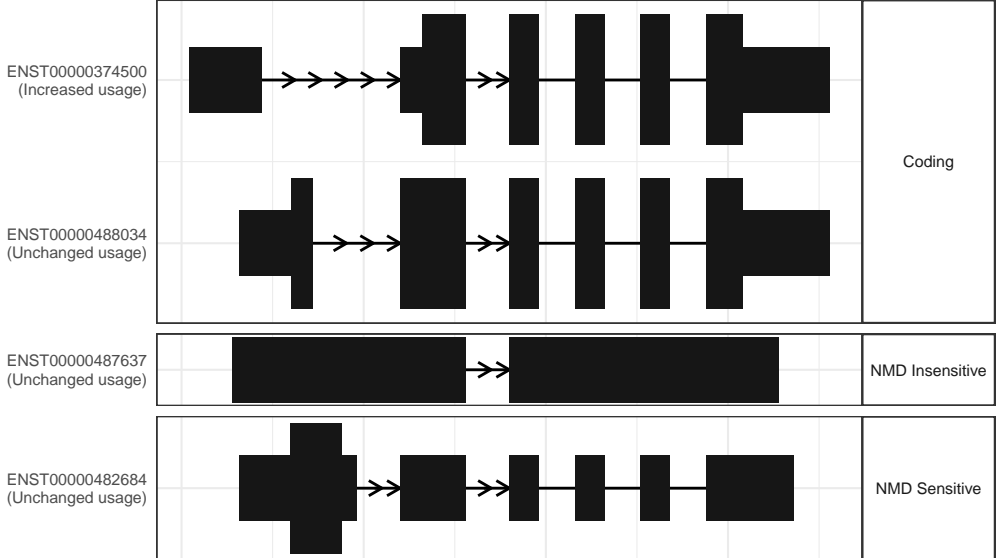
an isoform switch in ENSG00000267383 (RO_D209 vs RO_D



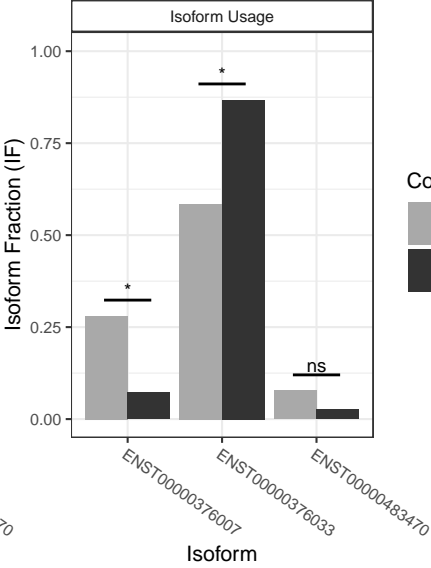
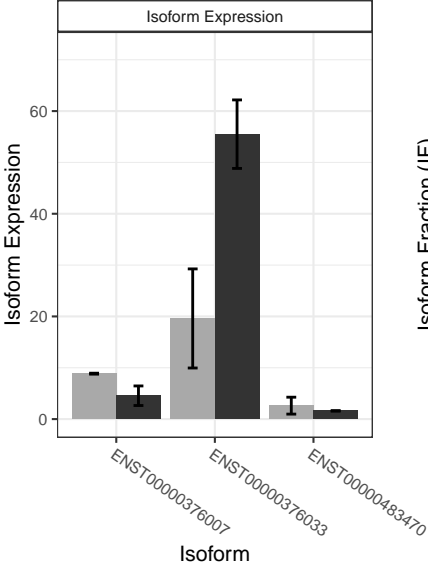
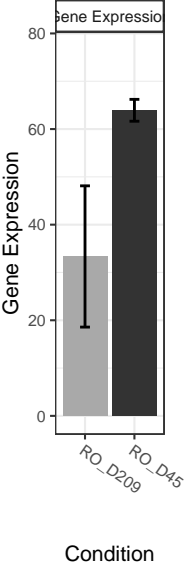
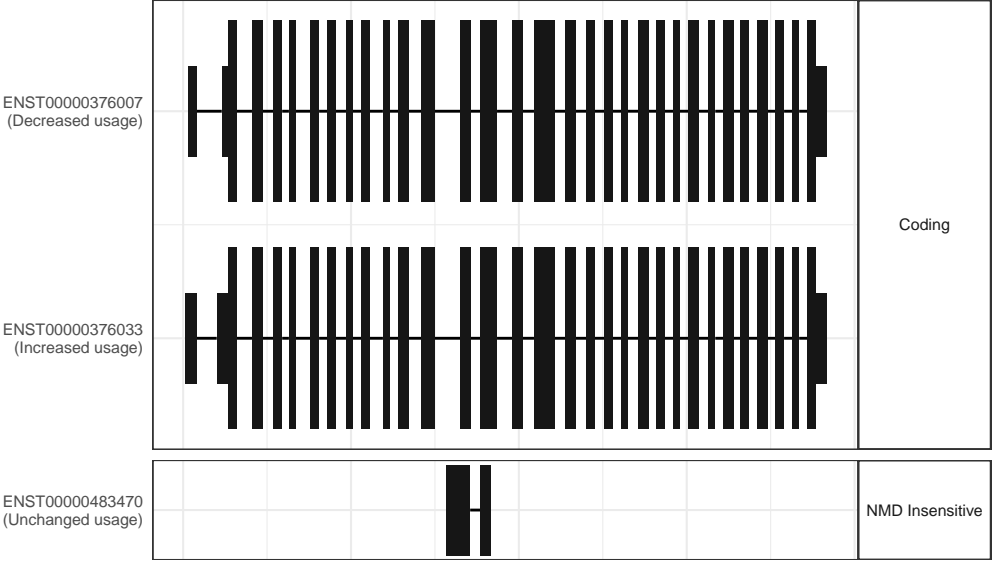
The isoform switch in TTLL4 (RO_D209 vs RO_D45)



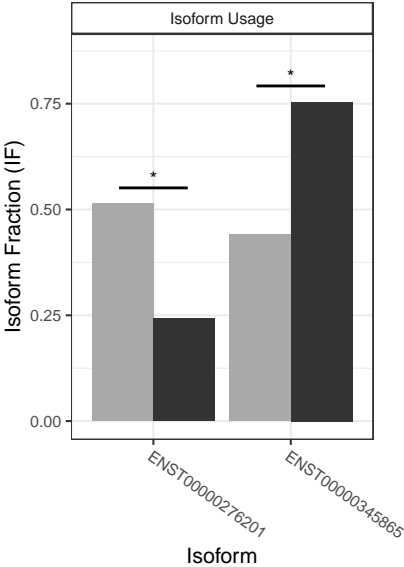
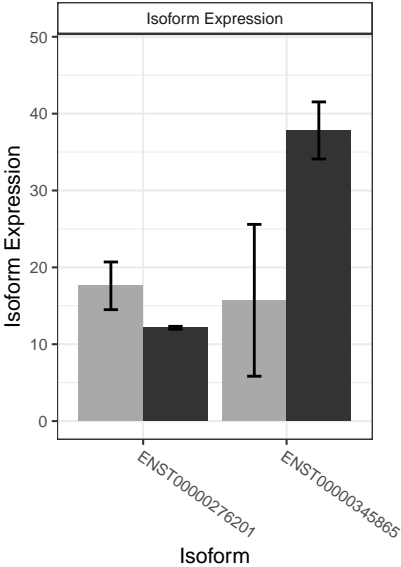
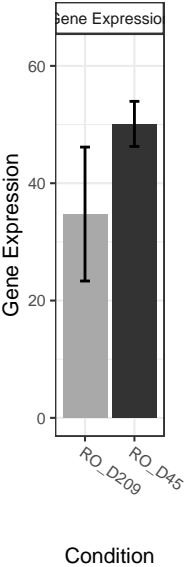
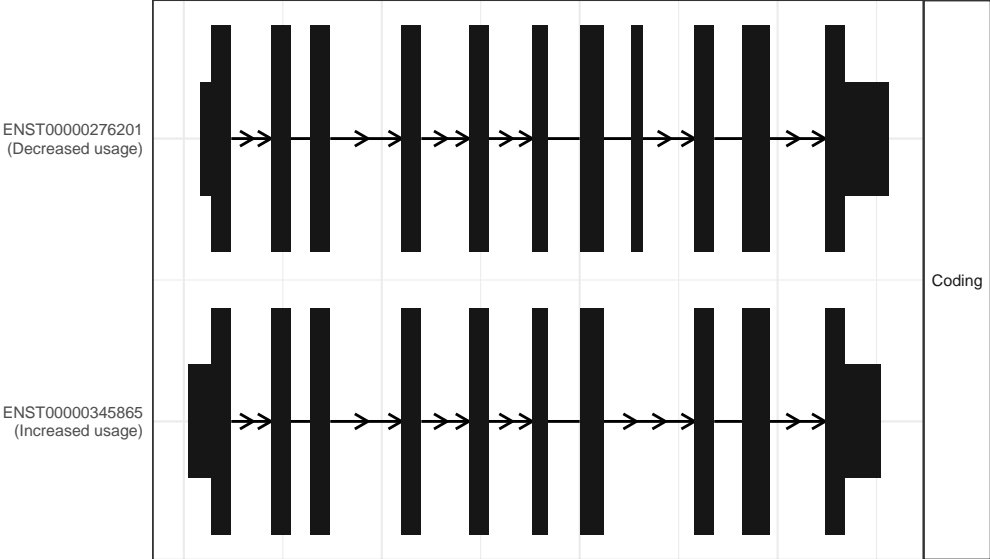
The isoform switch in CUTA (RO_D209 vs RO_D45)



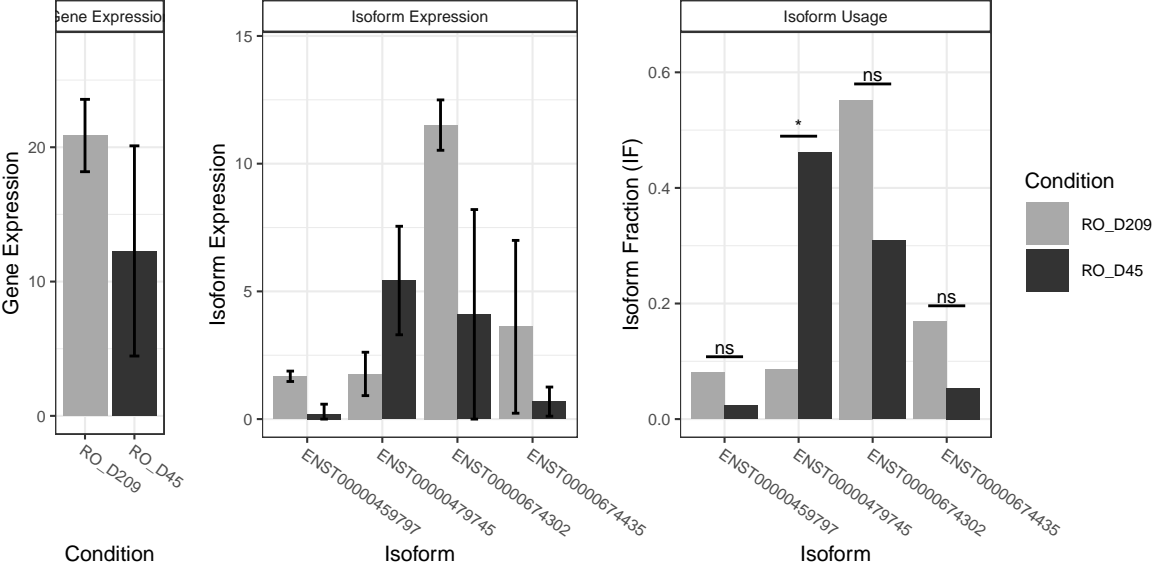
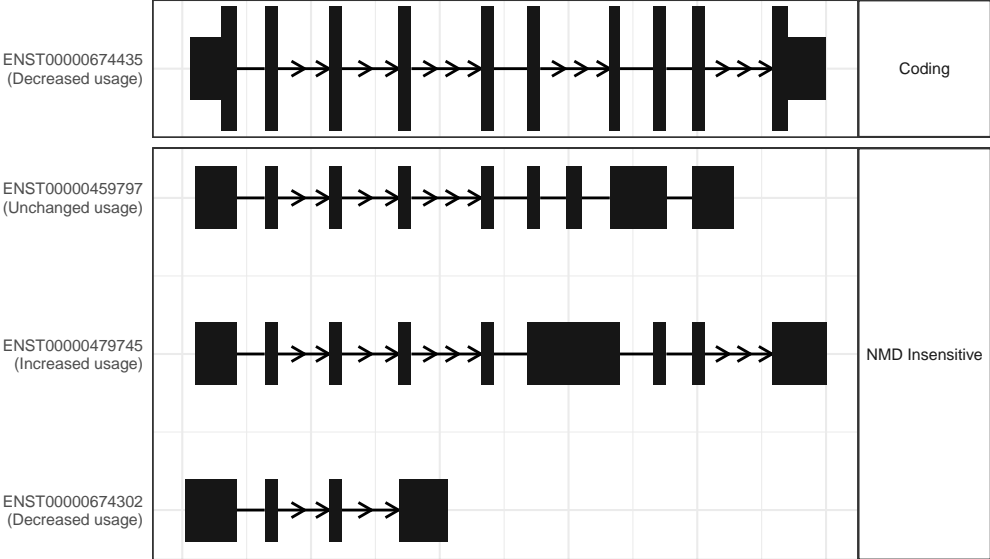
The isoform switch in PRRC2A (RO_D209 vs RO_D45)



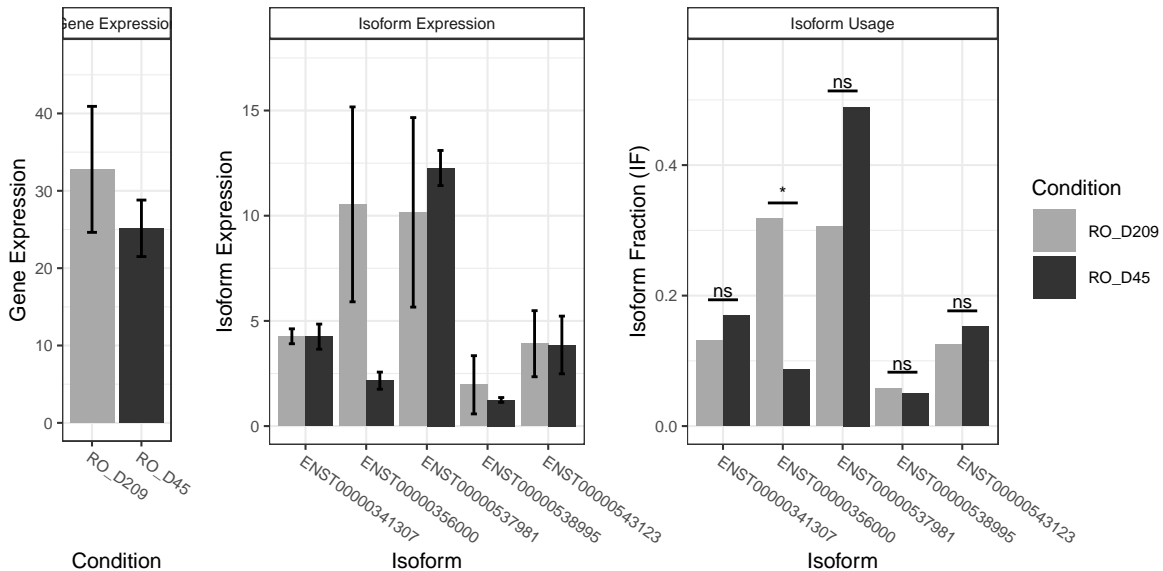
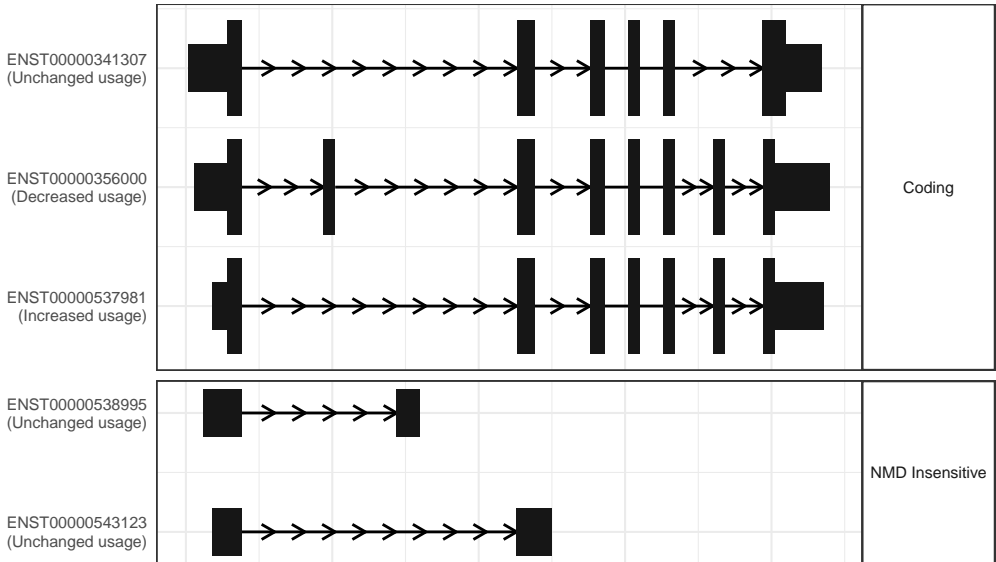
The isoform switch in UPF3B (RO_D209 vs RO_D45)



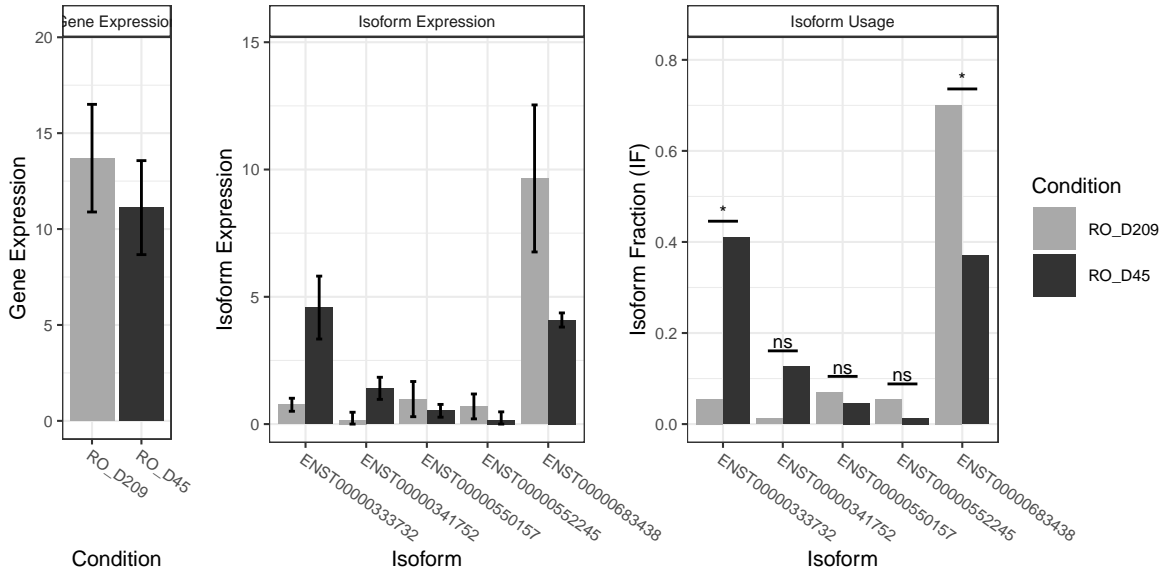
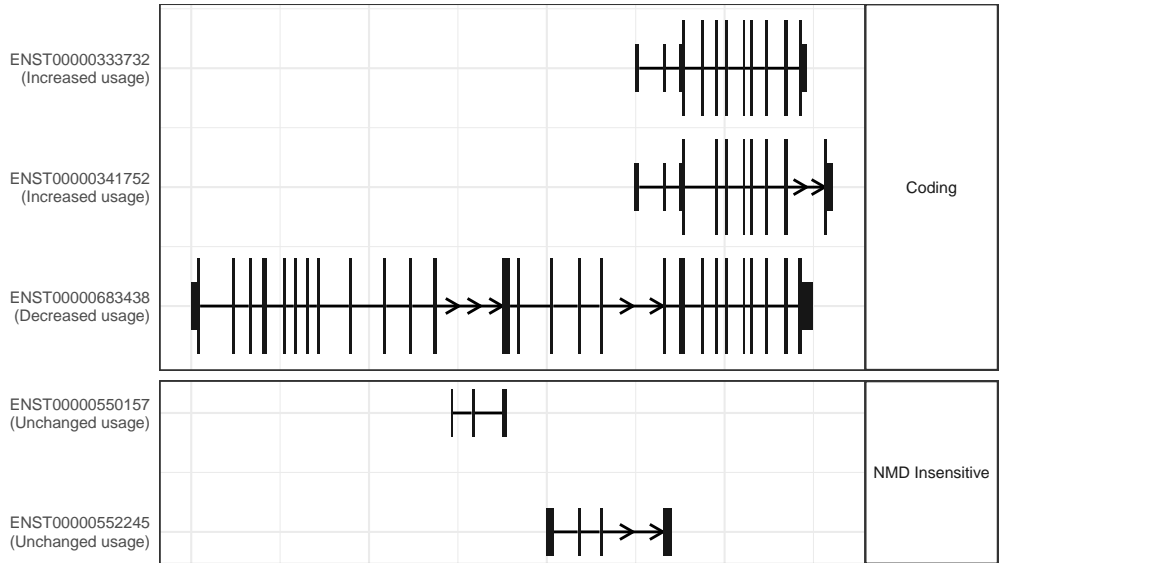
The isoform switch in EFCAB14 (RO_D209 vs RO_D45)



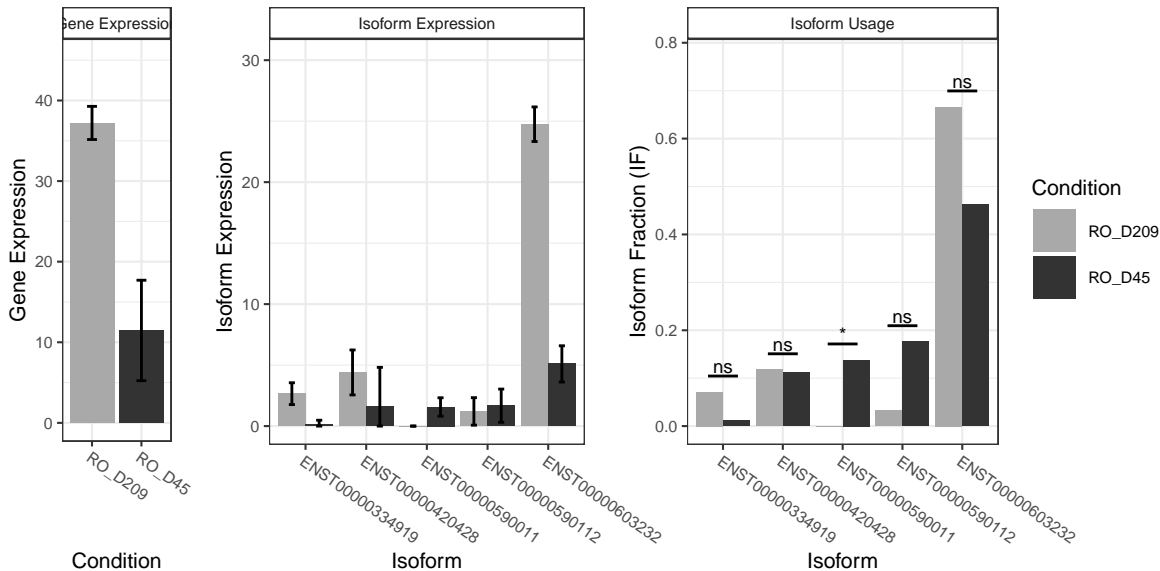
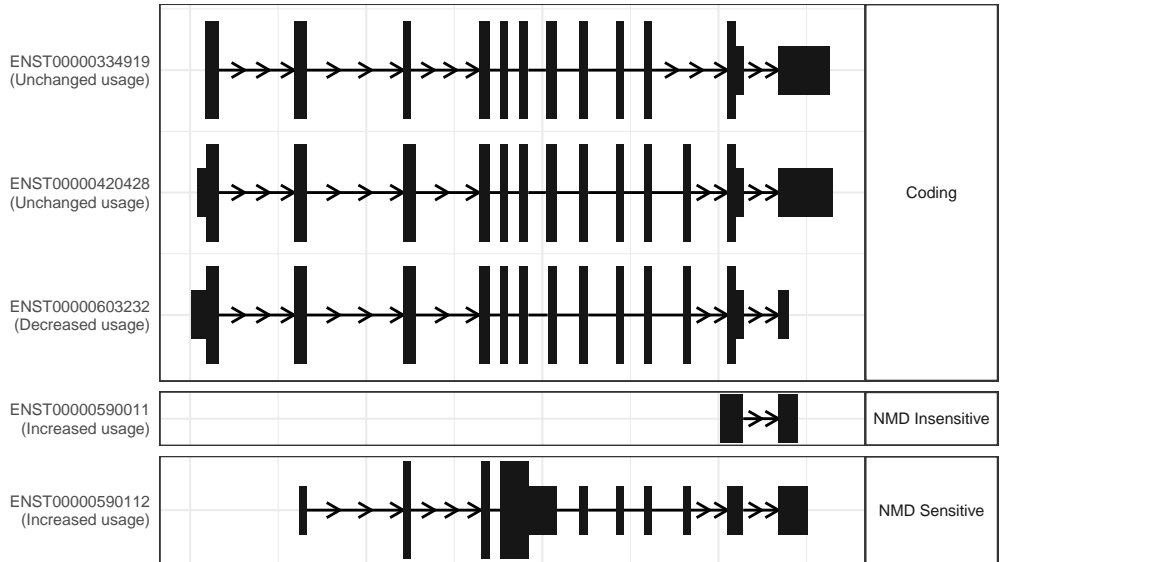
The isoform switch in RTN3 (RO_D209 vs RO_D45)



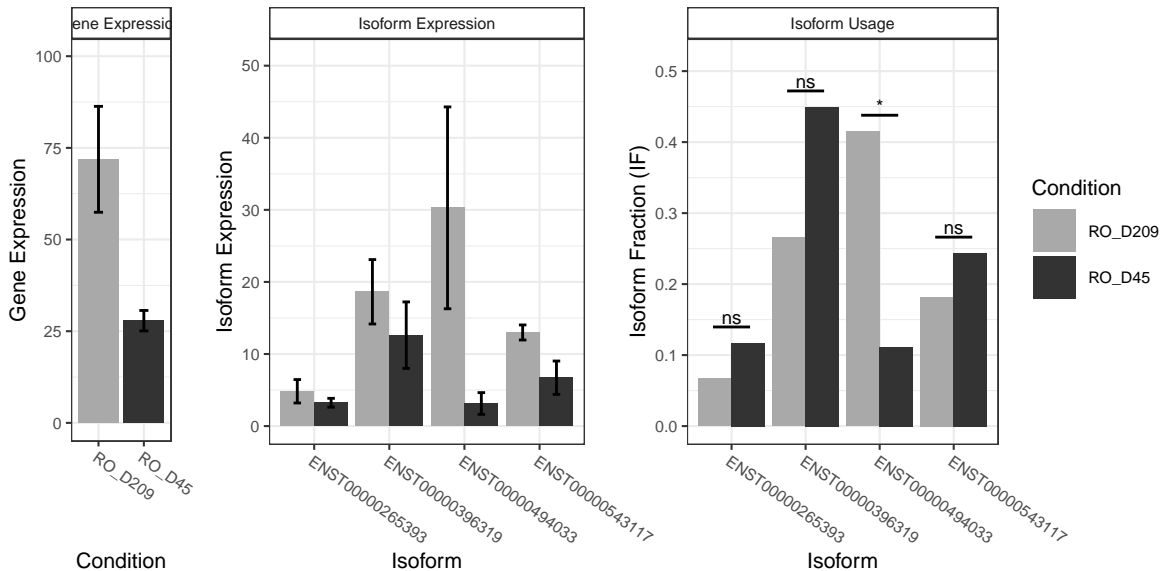
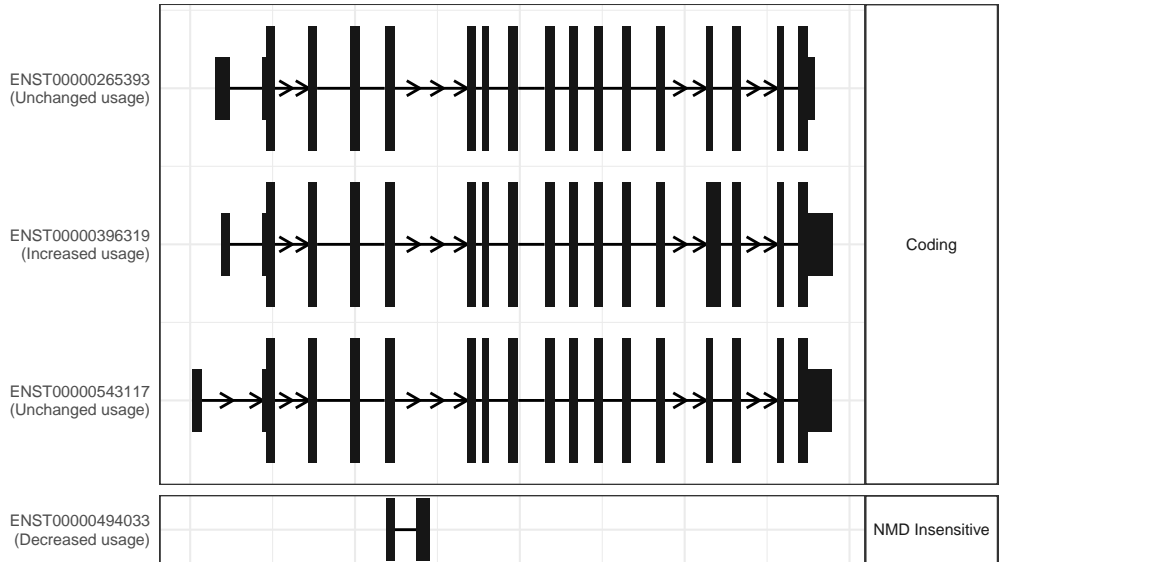
The isoform switch in ANKS1B (RO_D209 vs RO_D45)



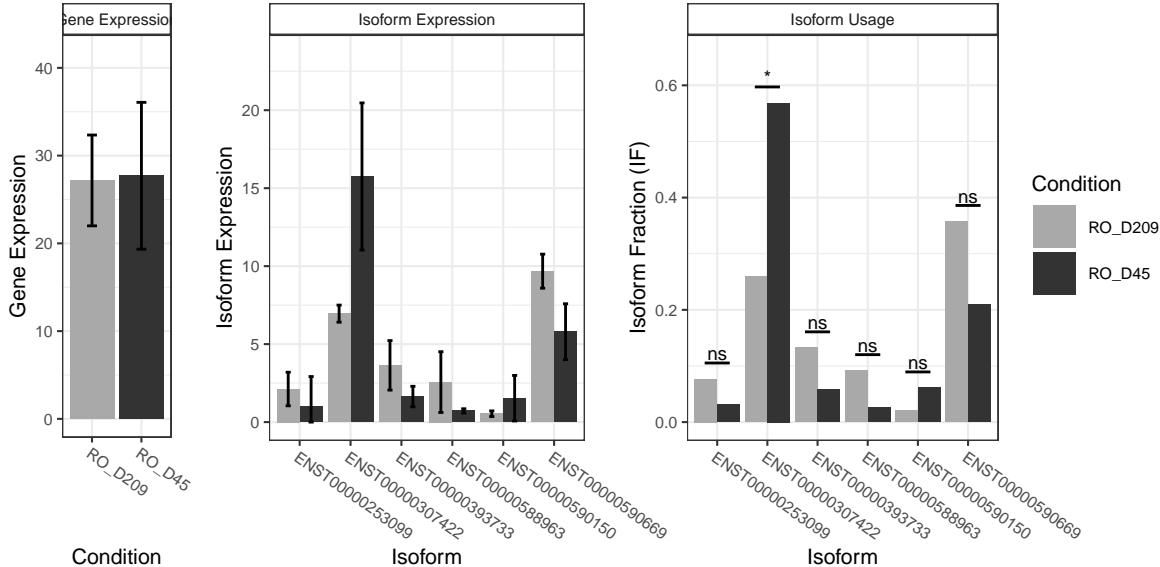
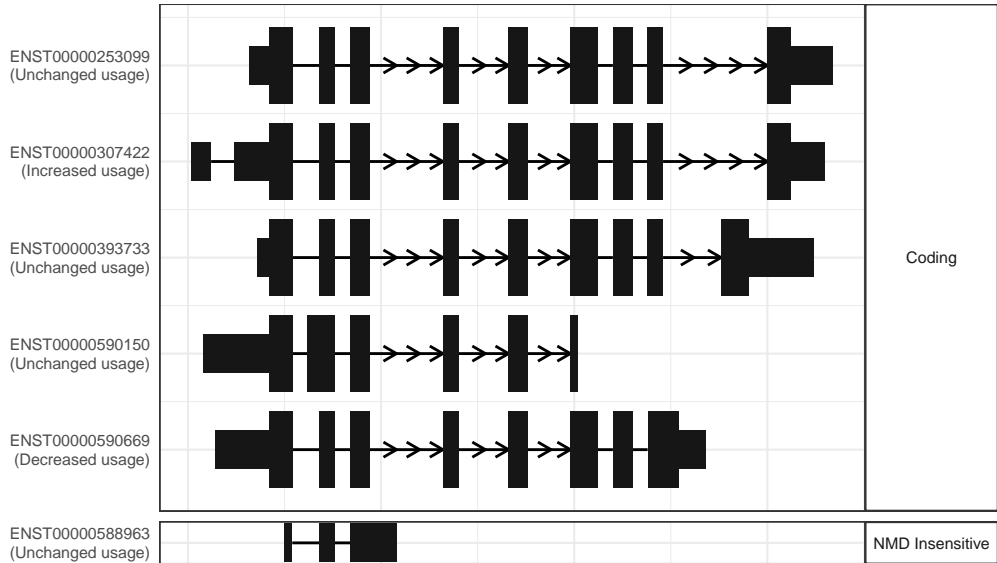
The isoform switch in CELF4 (RO_D209 vs RO_D45)



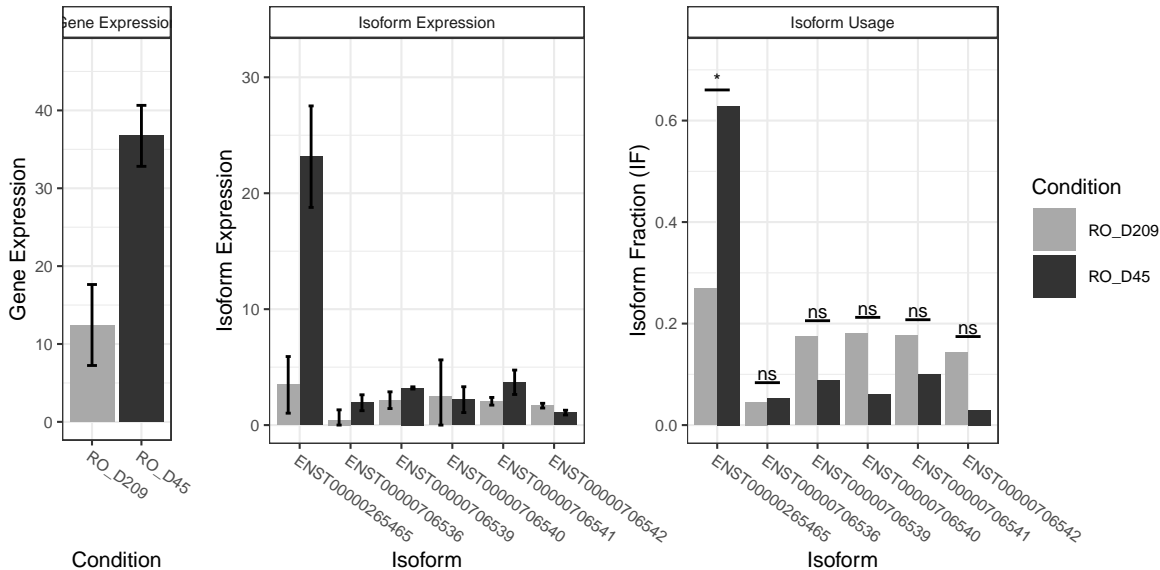
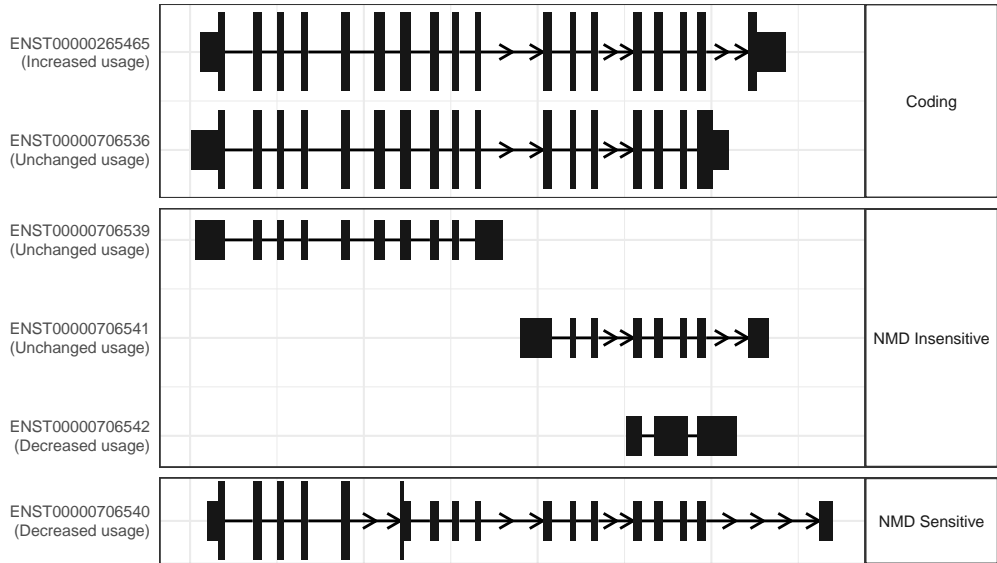
The isoform switch in TAX1BP1 (RO_D209 vs RO_D45)



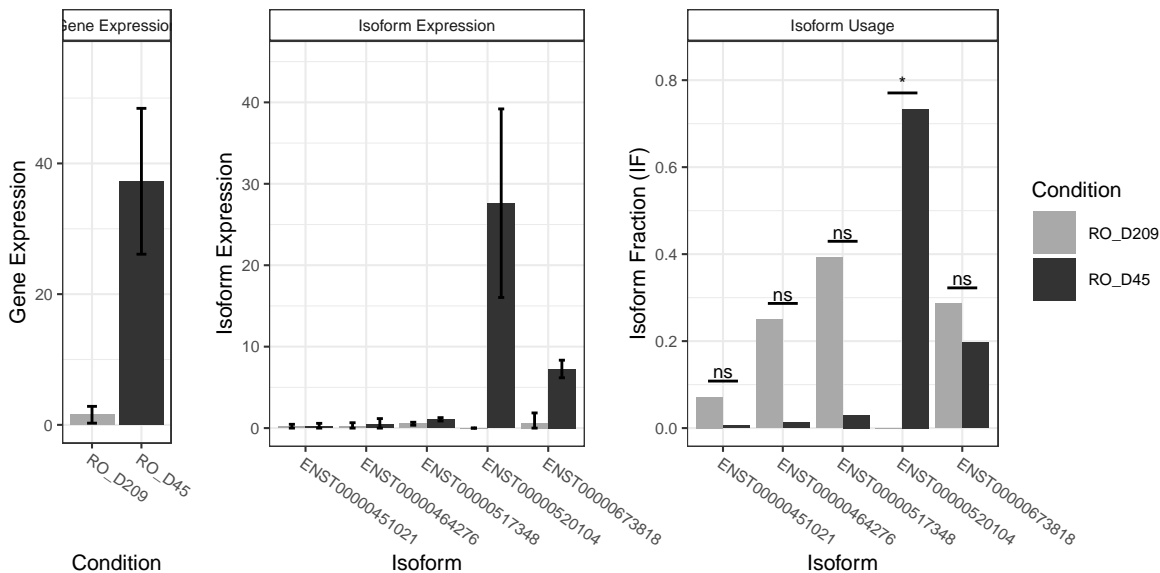
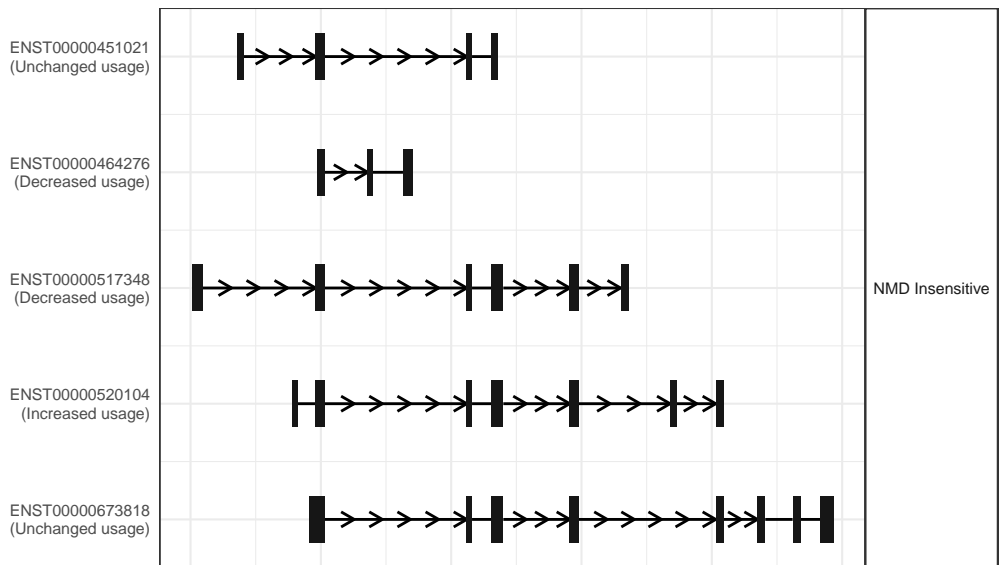
The isoform switch in MRPL4 (RO_D209 vs RO_D45)



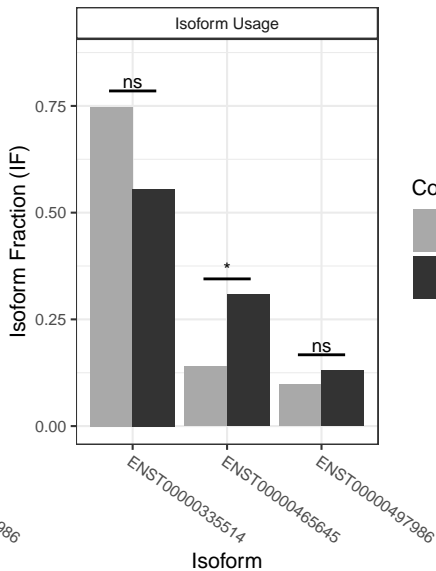
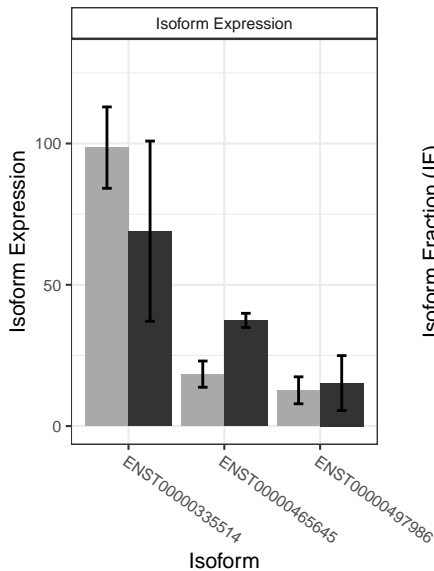
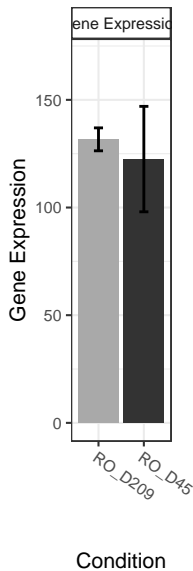
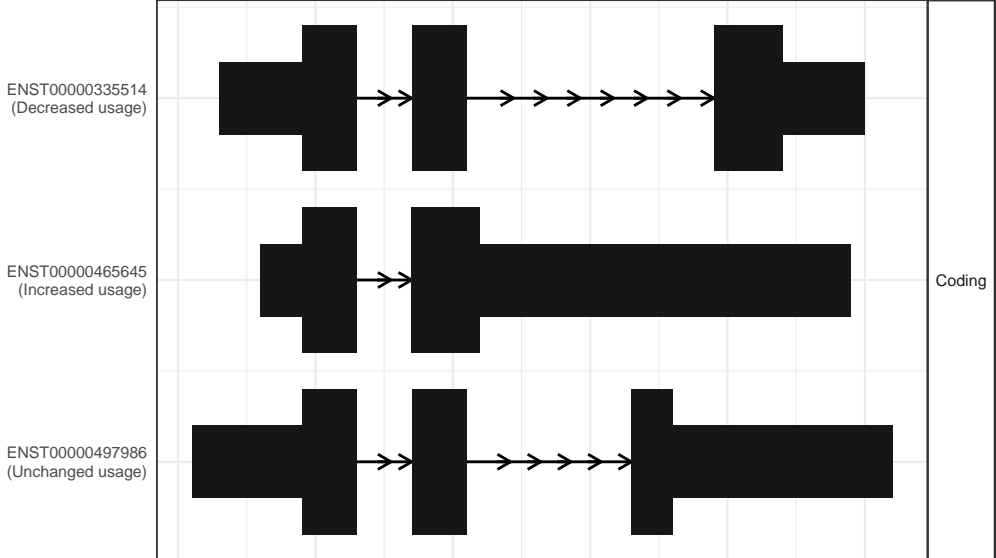
The isoform switch in POLA2 (RO_D209 vs RO_D45)



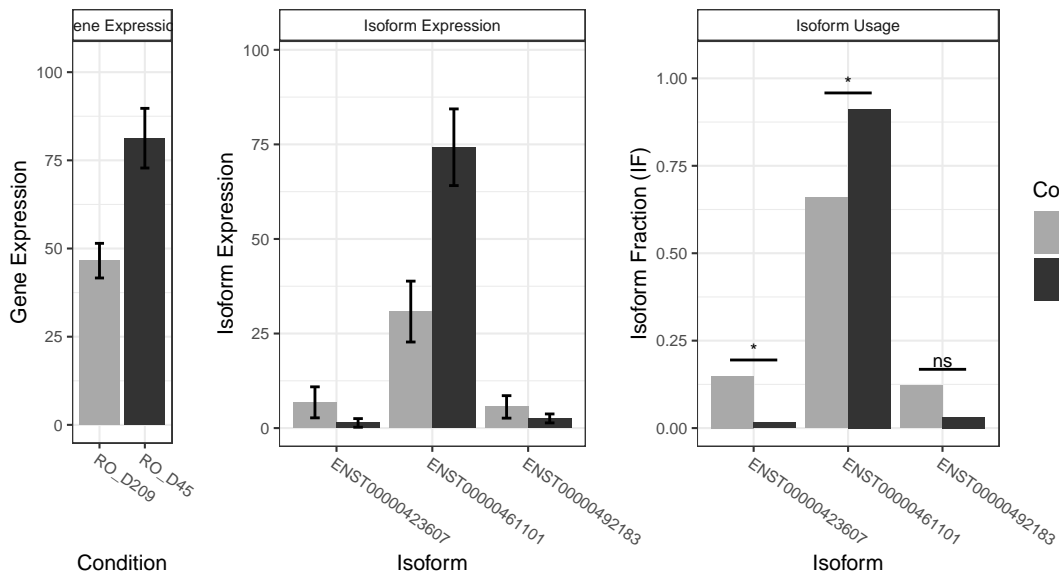
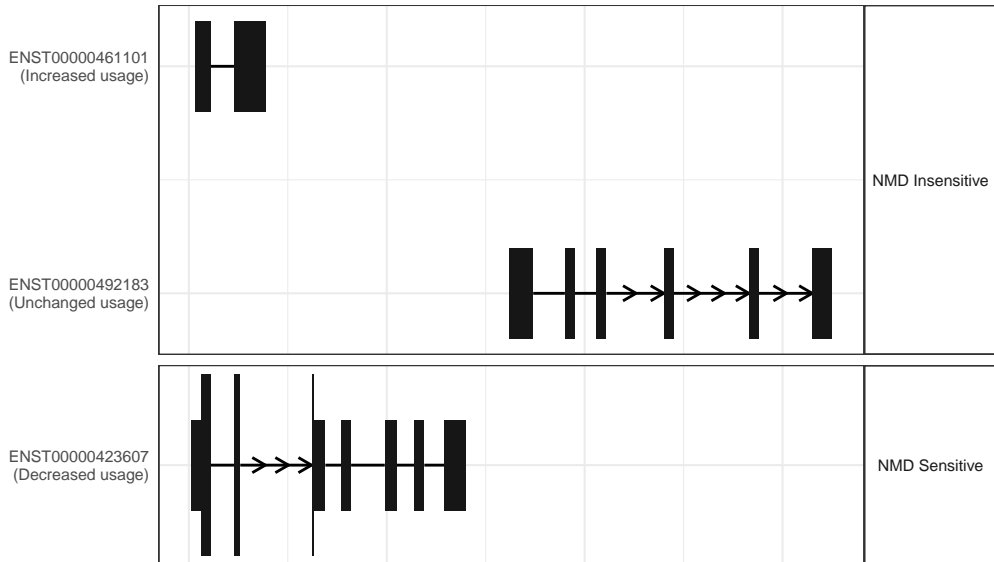
The isoform switch in POU6F2 (RO_D209 vs RO_D45)



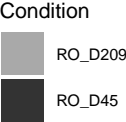
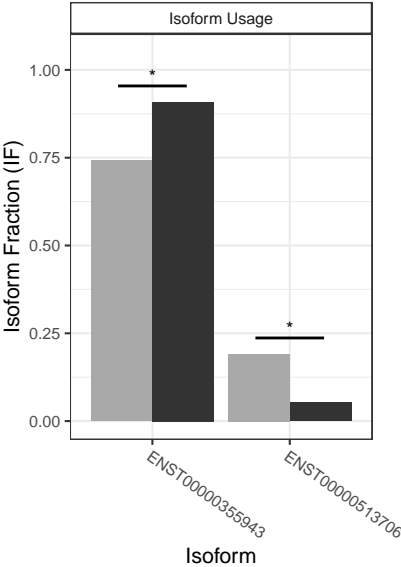
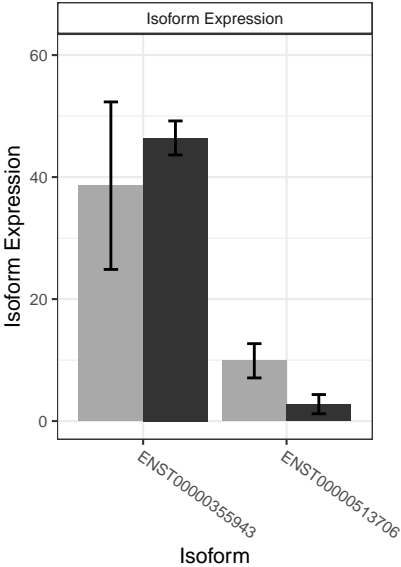
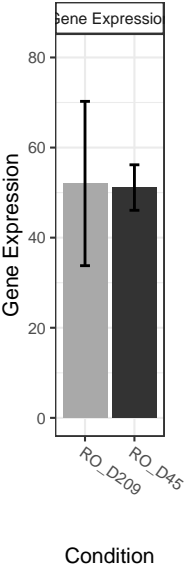
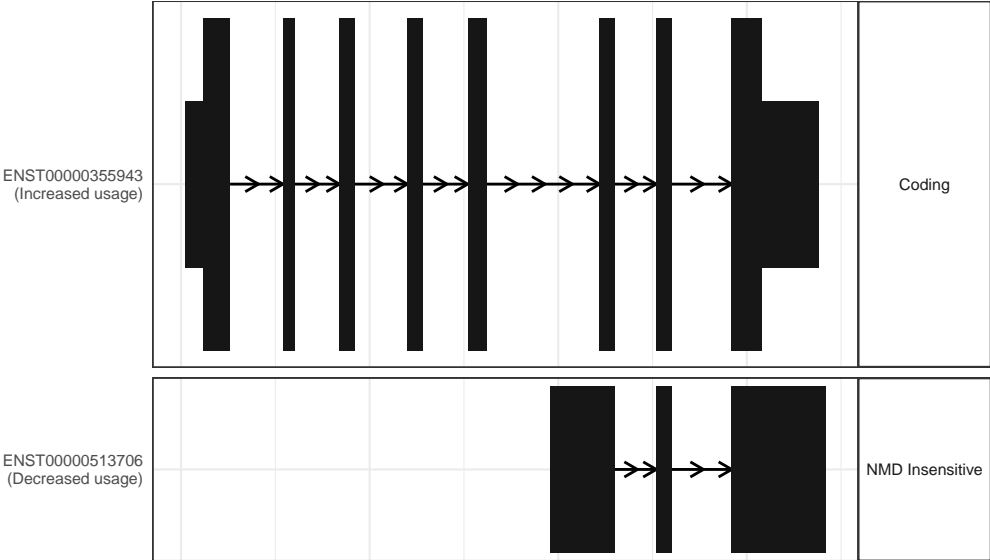
The isoform switch in ATP5IF1 (RO_D209 vs RO_D45)



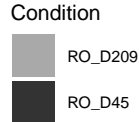
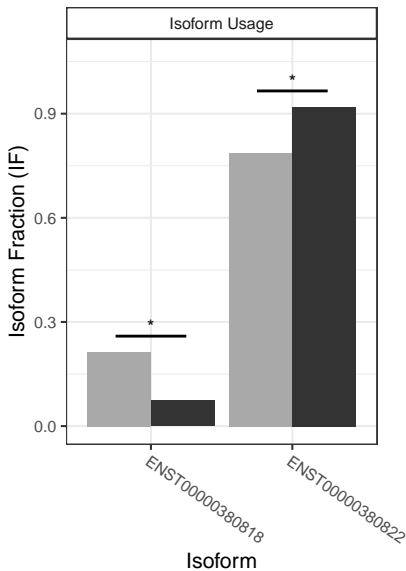
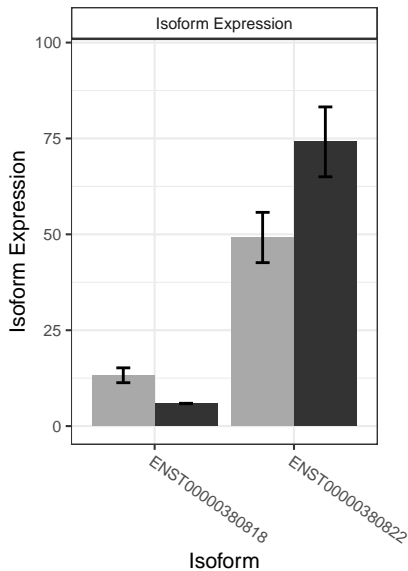
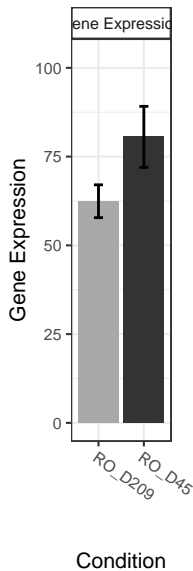
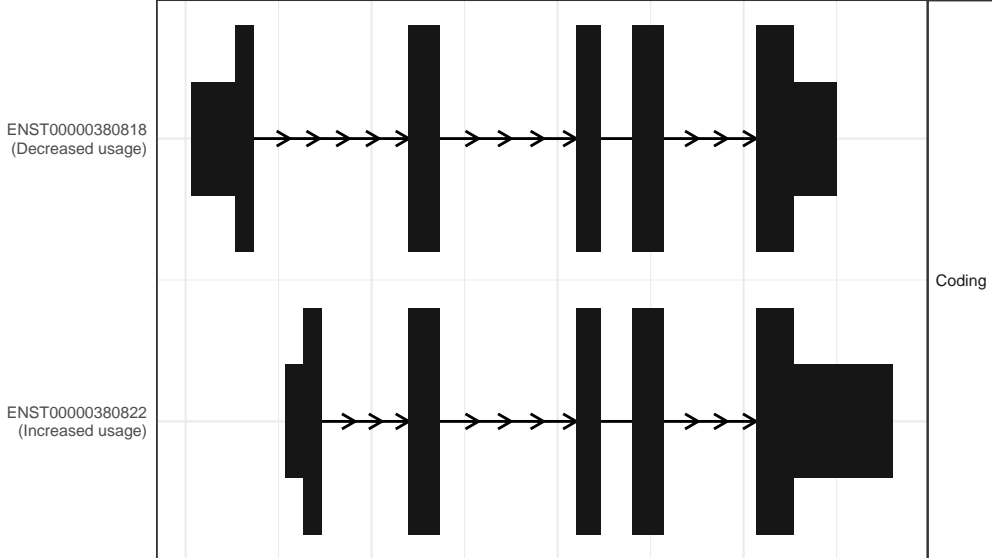
The isoform switch in MTHFD2L (RO_D209 vs RO_D45)



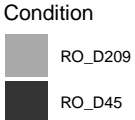
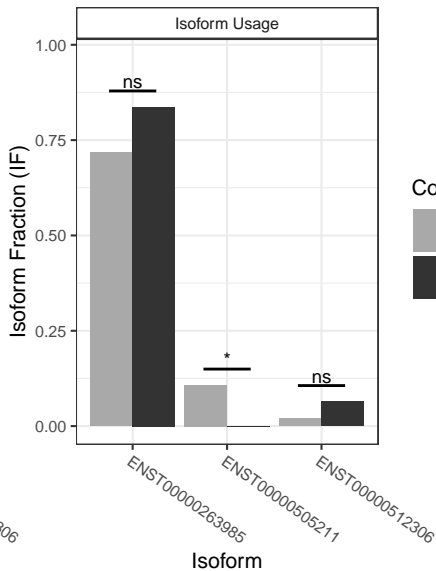
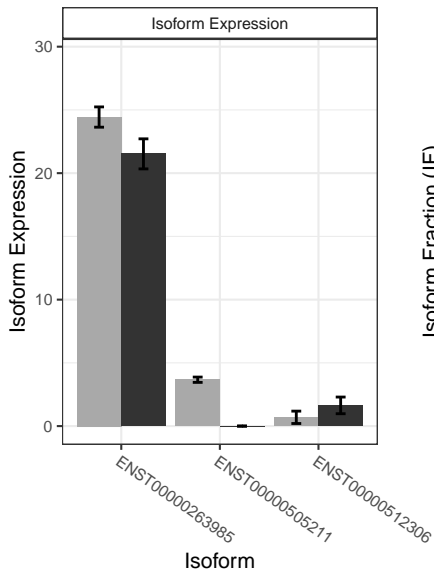
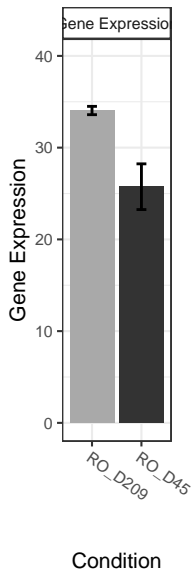
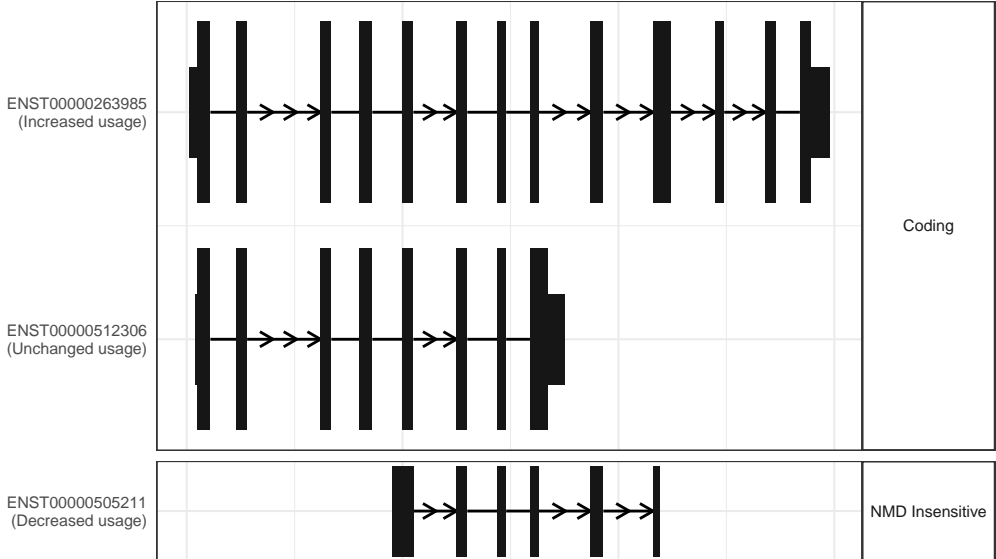
The isoform switch in SLC25A46 (RO_D209 vs RO_D45)



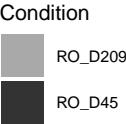
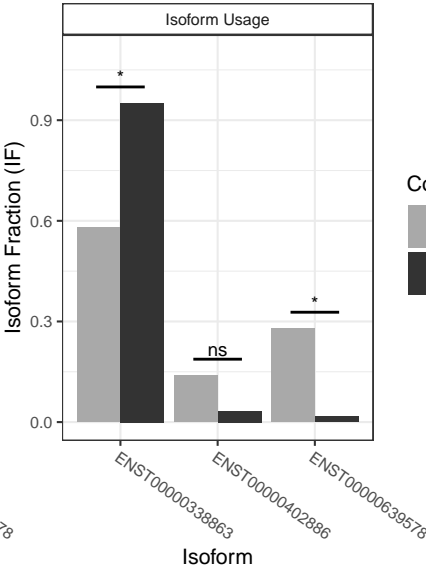
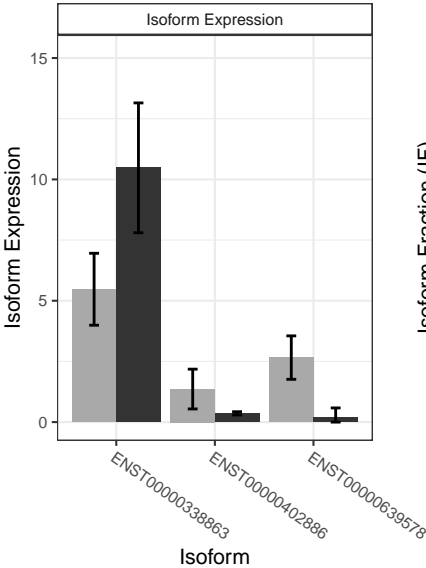
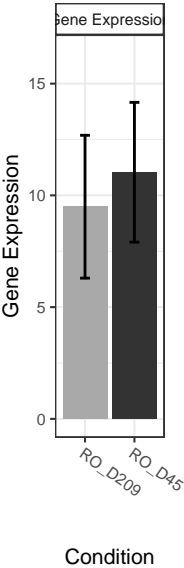
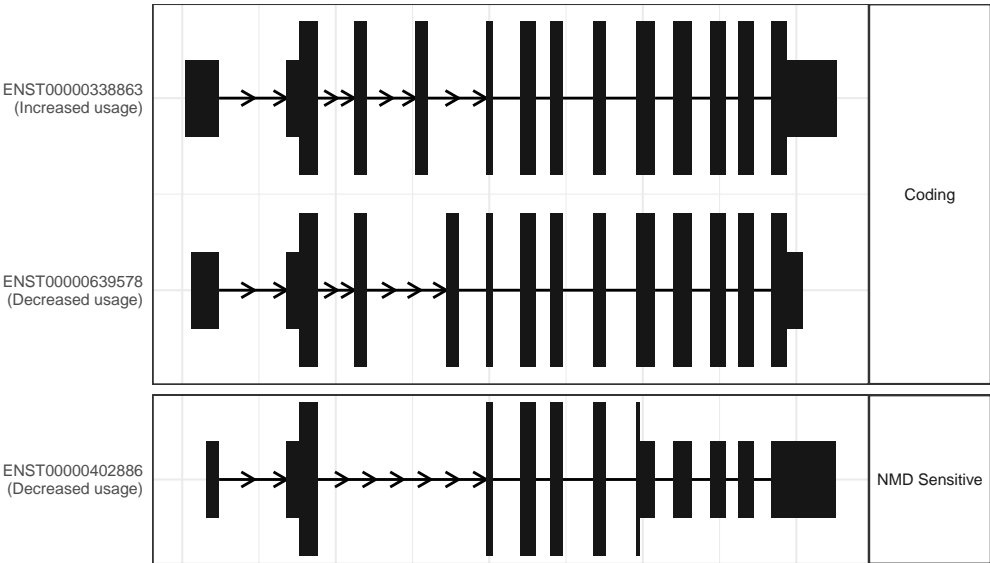
The isoform switch in AK6 (RO_D209 vs RO_D45)



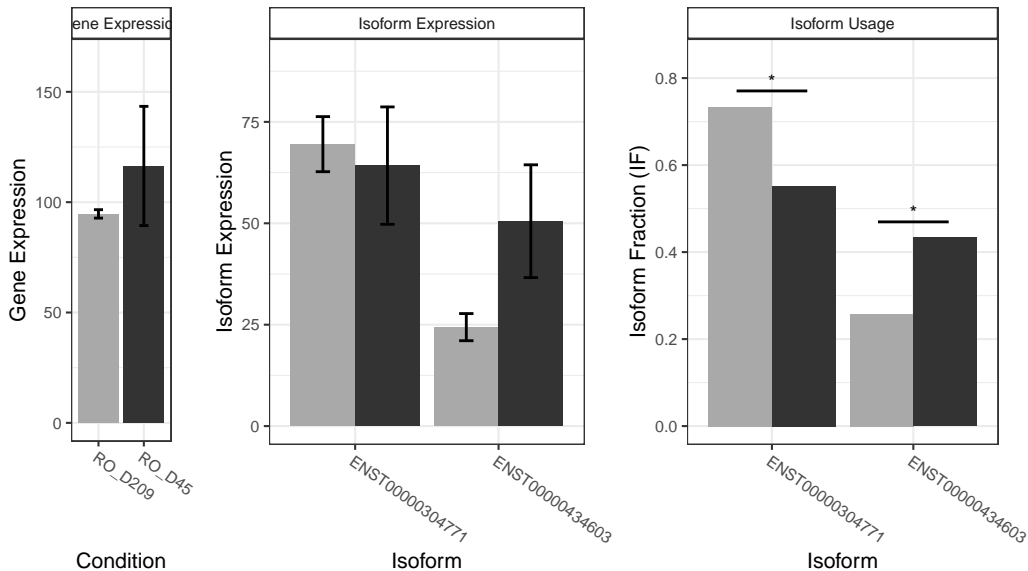
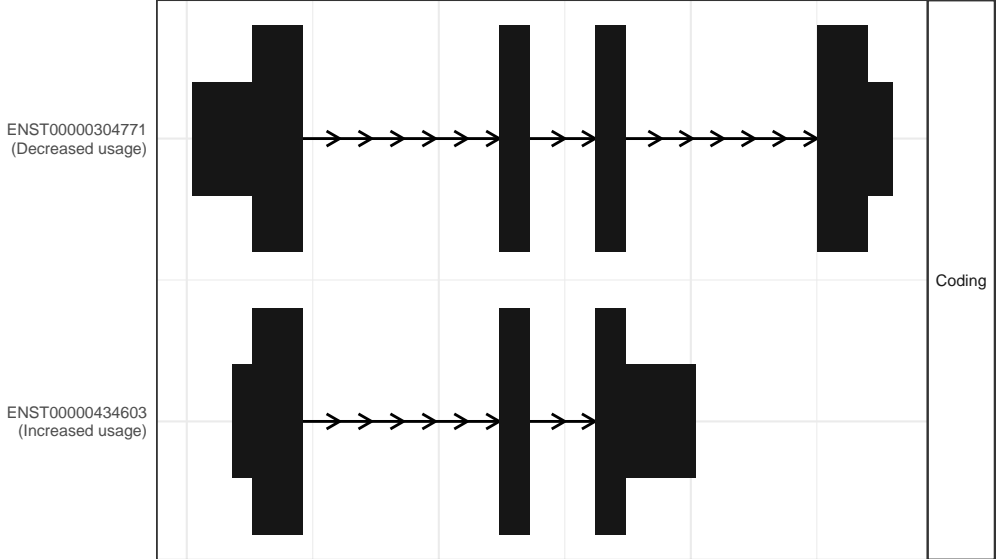
The isoform switch in GATB (RO_D209 vs RO_D45)



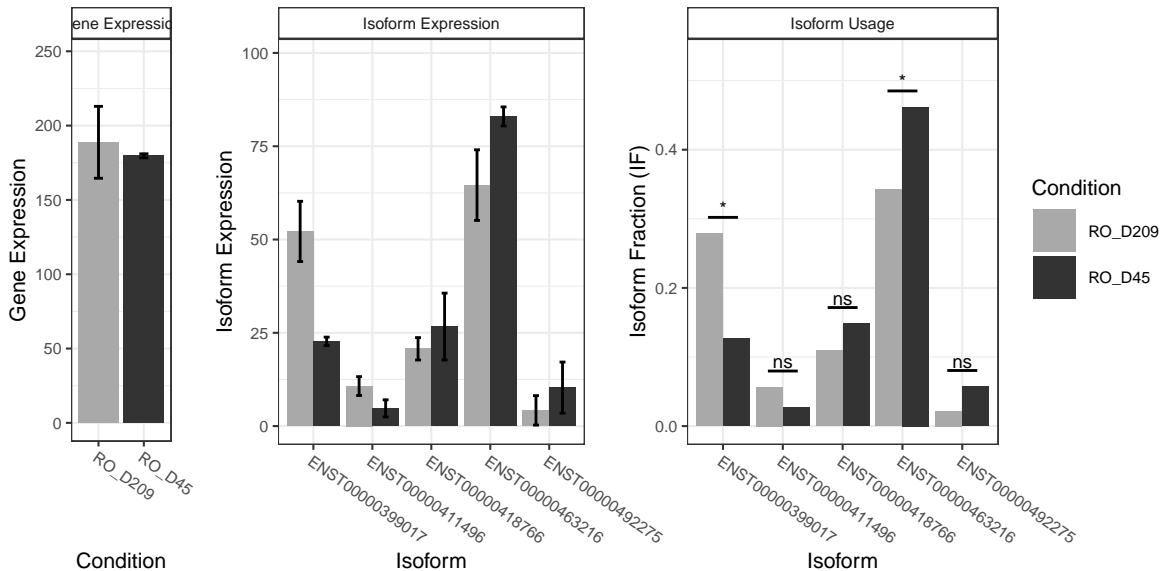
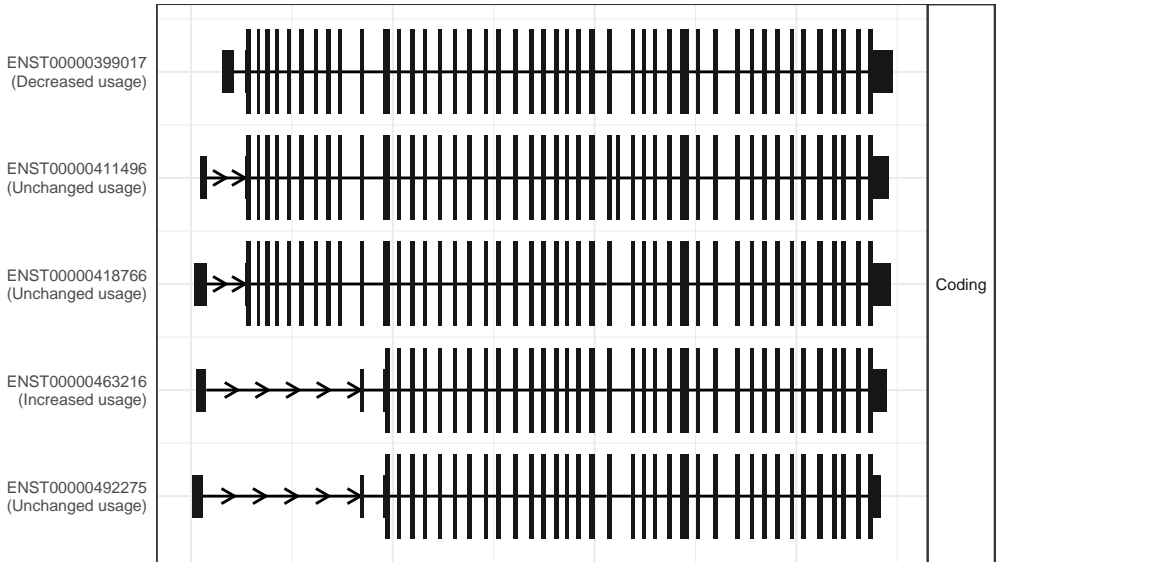
The isoform switch in TEAD3 (RO_D209 vs RO_D45)



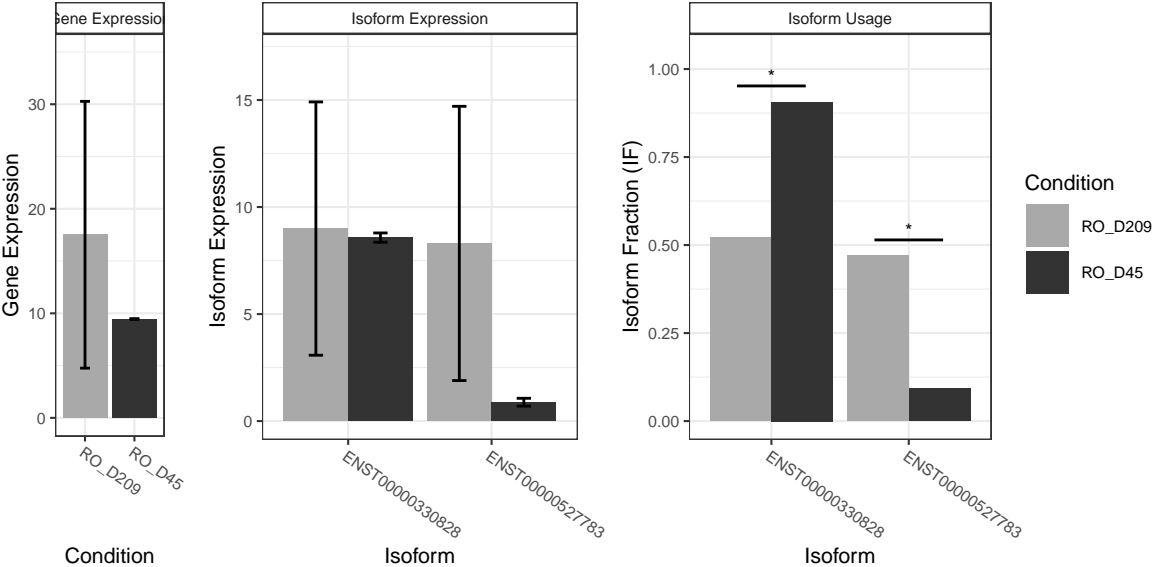
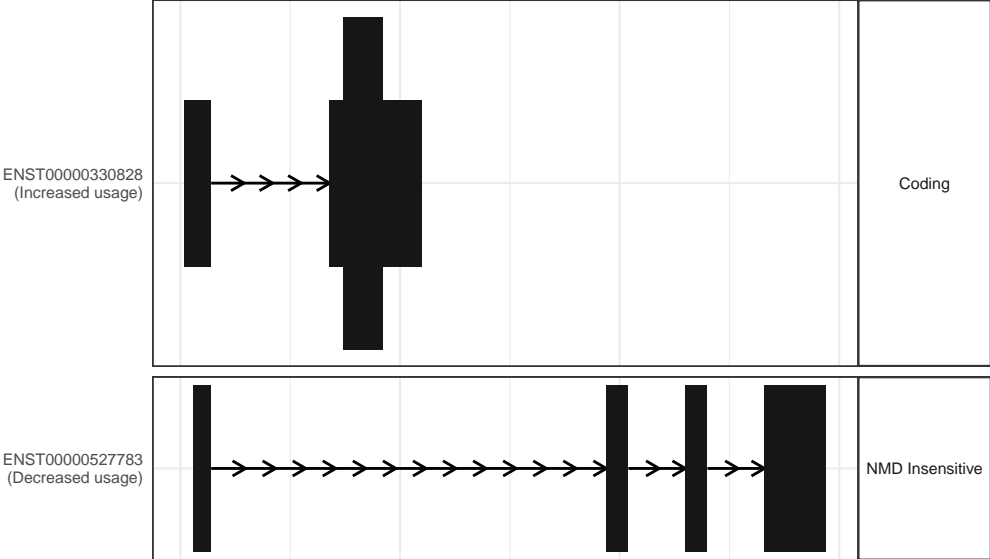
The isoform switch in MAP6 (RO_D209 vs RO_D45)



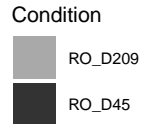
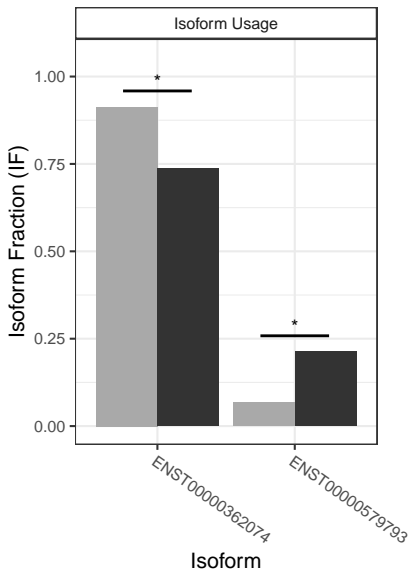
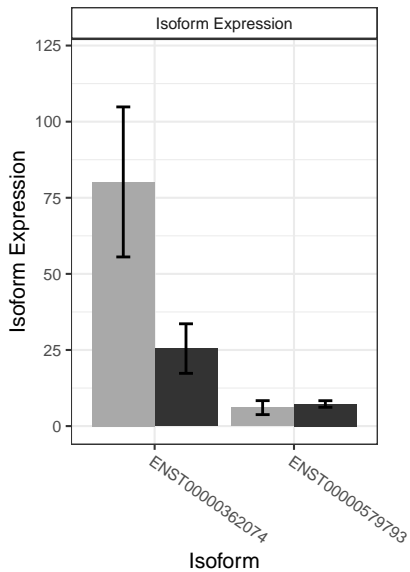
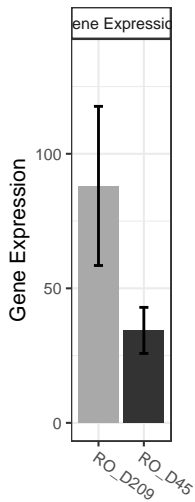
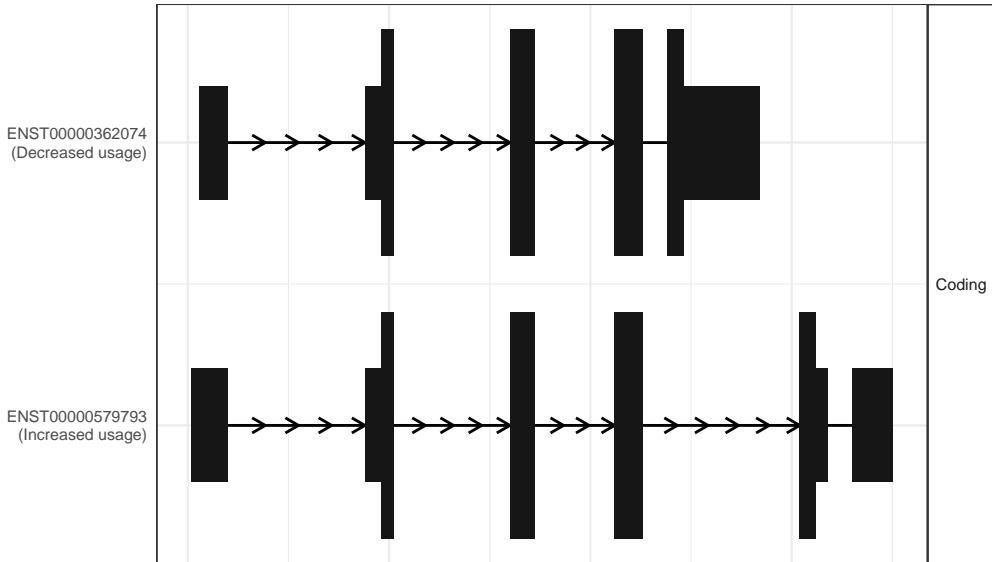
The isoform switch in TTC3 (RO_D209 vs RO_D45)



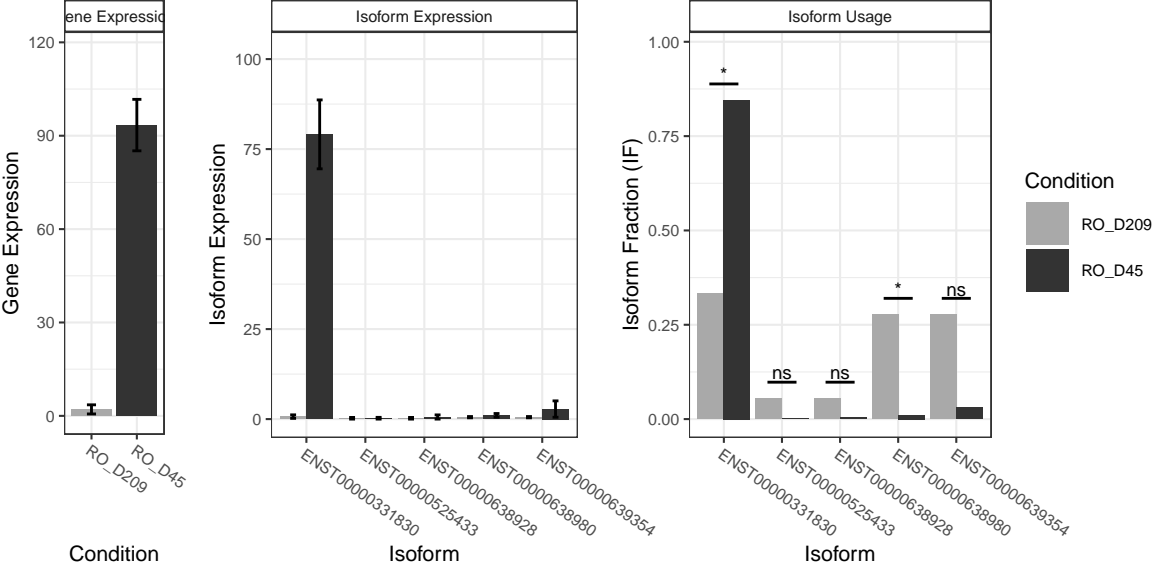
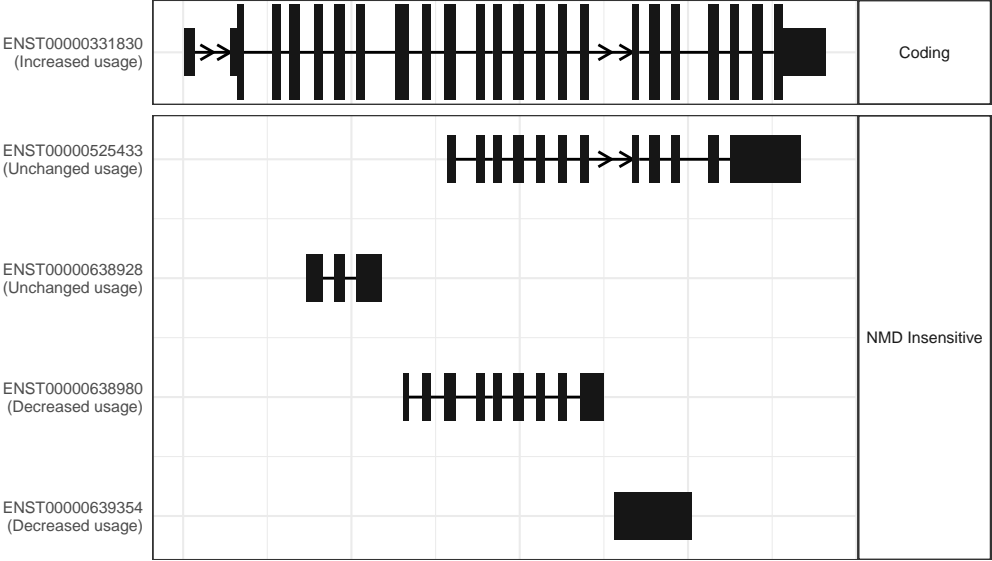
The isoform switch in C12orf60 (RO_D209 vs RO_D45)



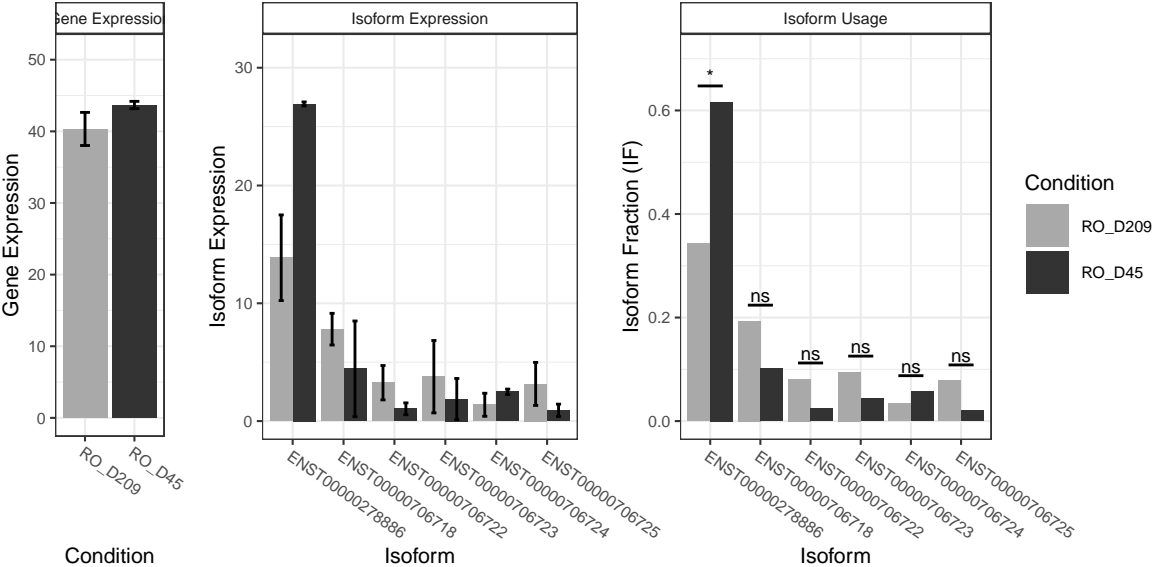
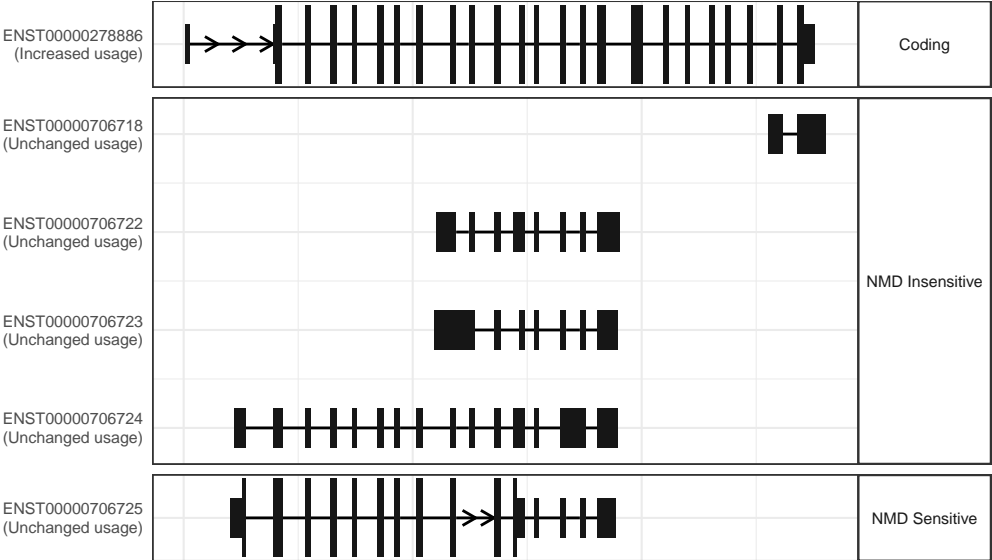
The isoform switch in NOTCH2NLA (RO_D209 vs RO_D45)



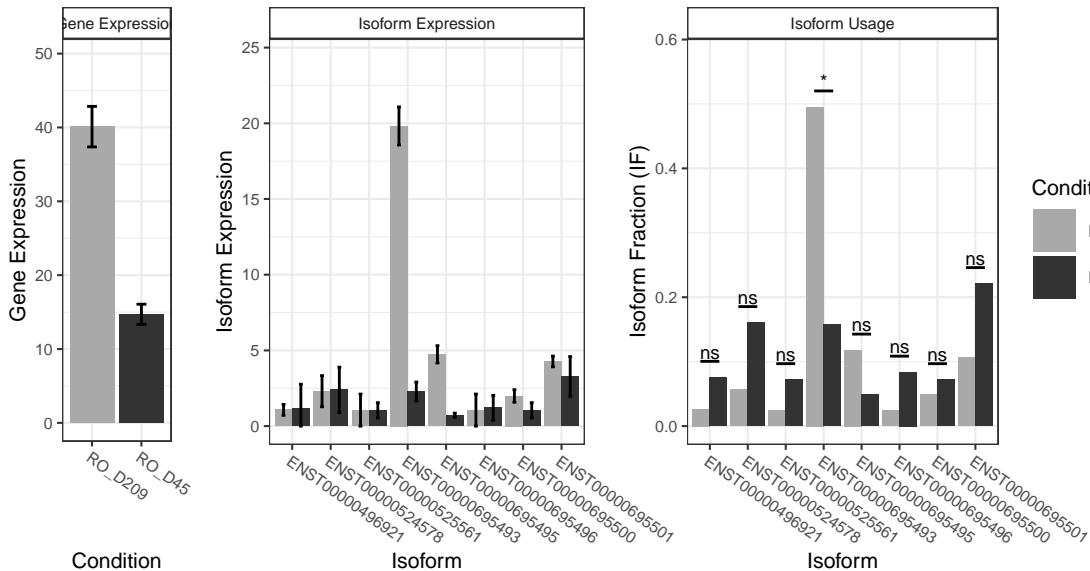
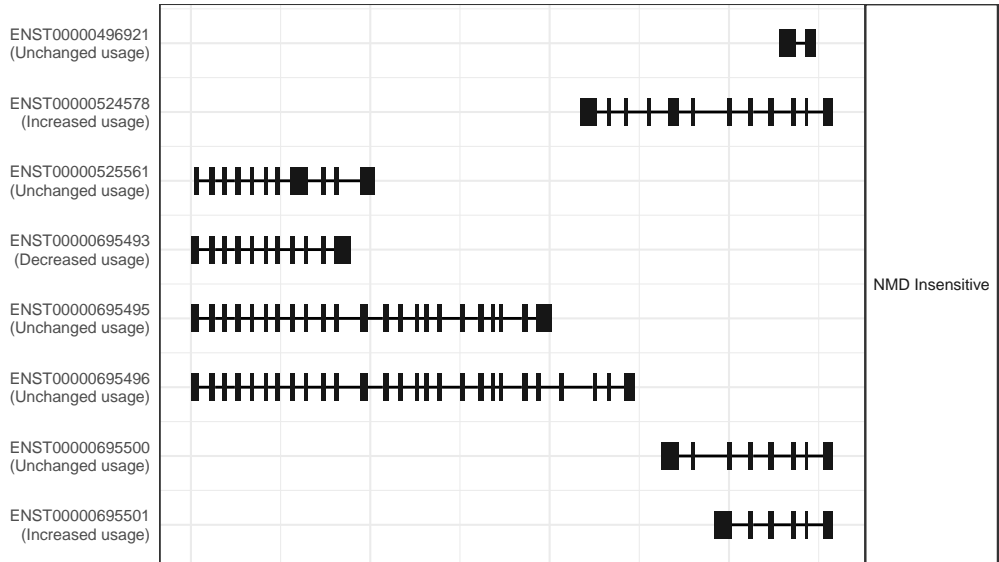
The isoform switch in CNTN2 (RO_D209 vs RO_D45)



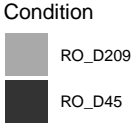
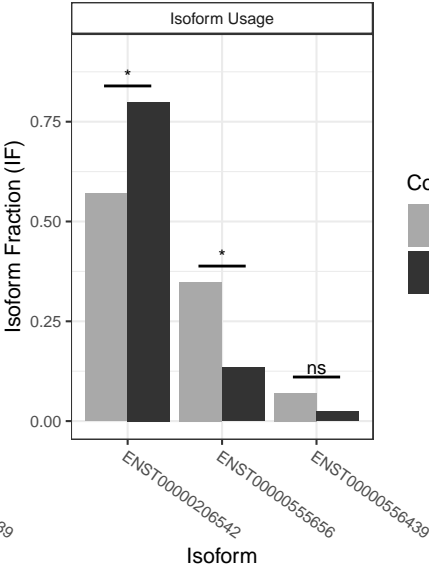
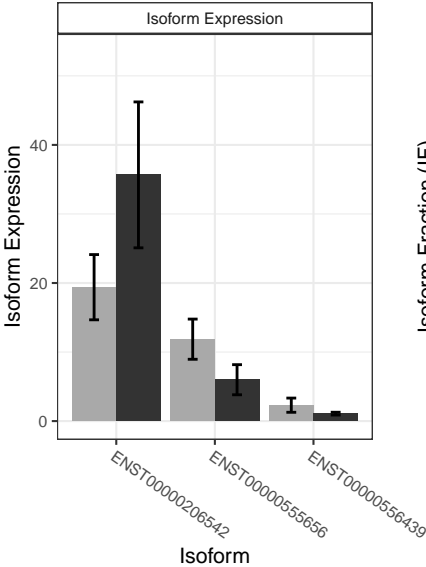
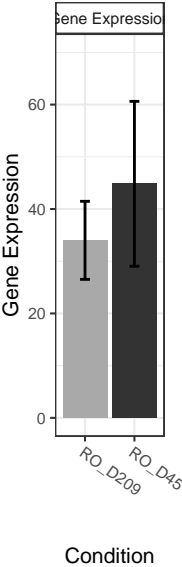
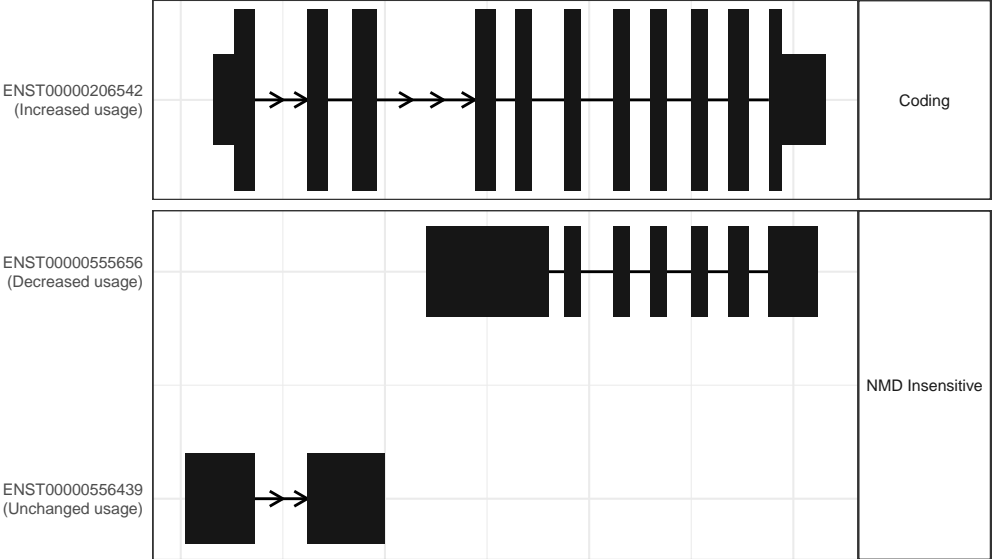
The isoform switch in NINL (RO_D209 vs RO_D45)



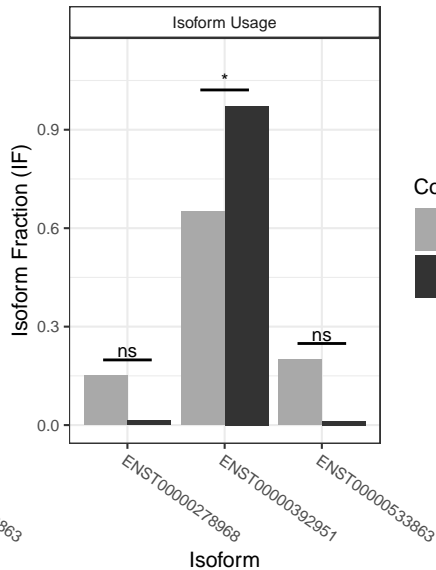
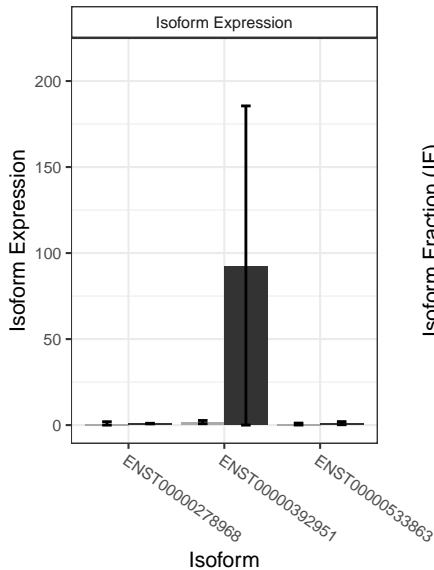
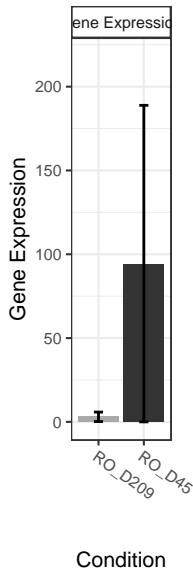
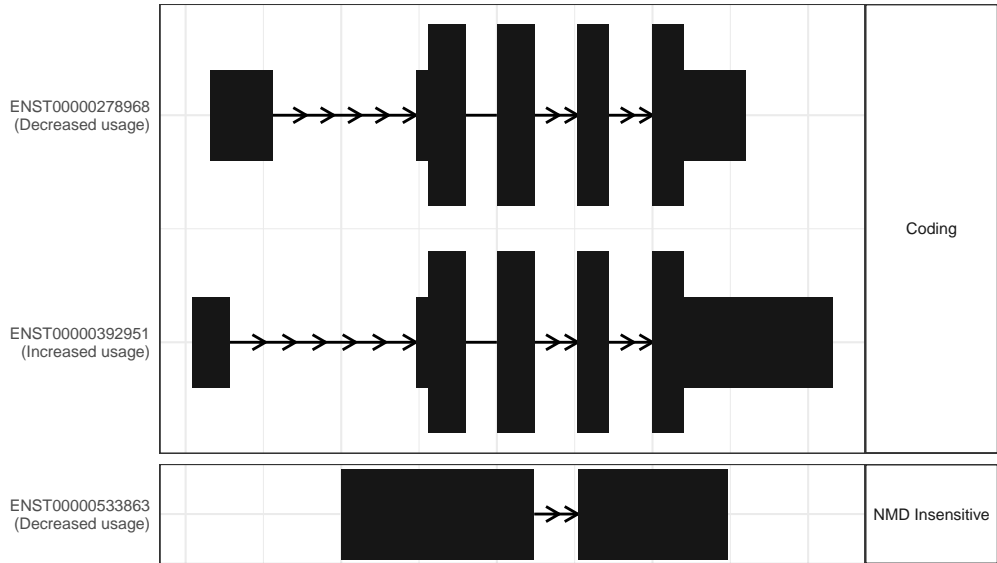
The isoform switch in NUP214 (RO_D209 vs RO_D45)



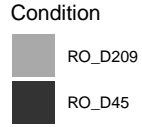
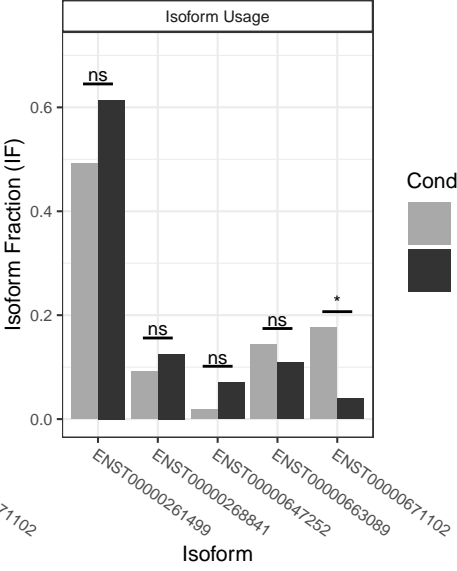
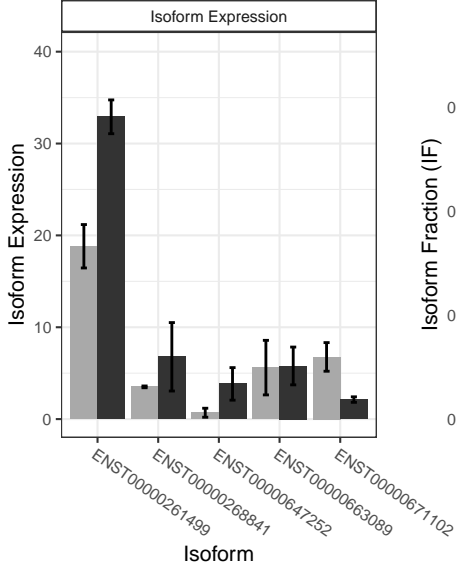
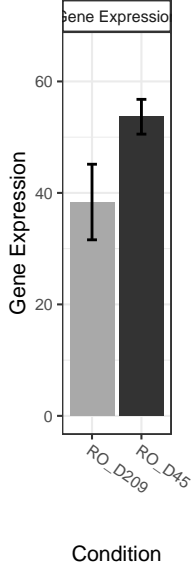
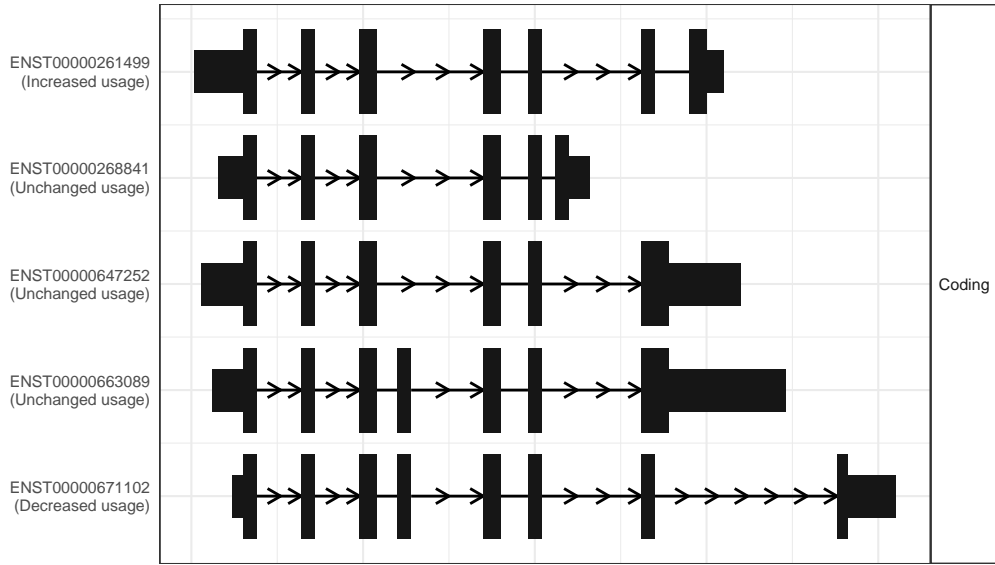
The isoform switch in OSGEP (RO_D209 vs RO_D45)



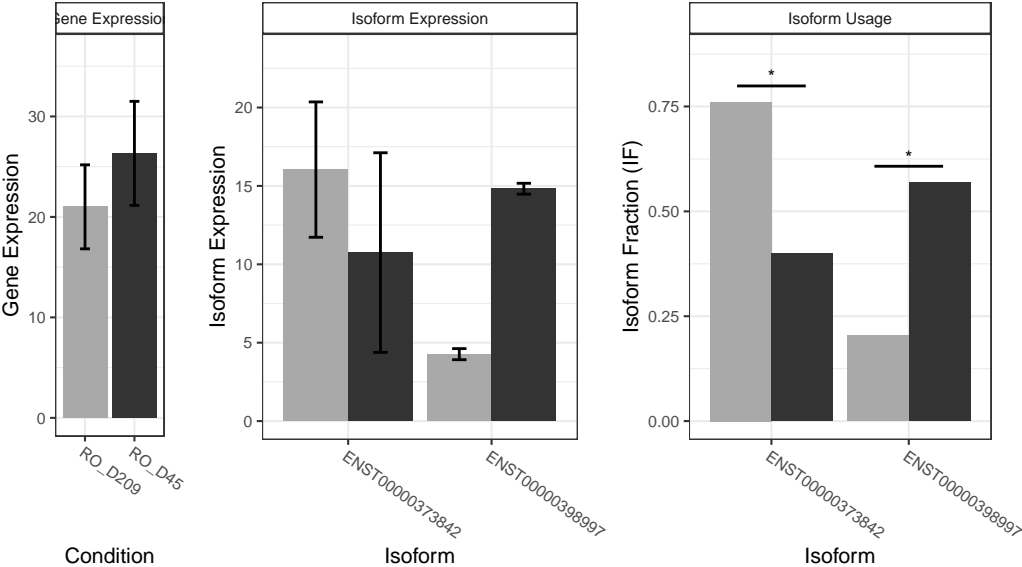
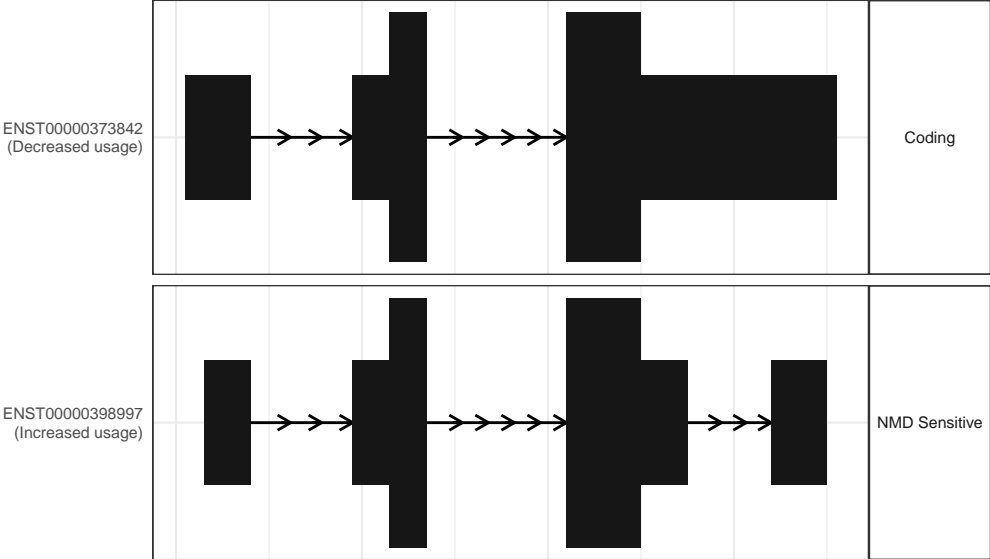
The isoform switch in TAGLN (RO_D209 vs RO_D45)



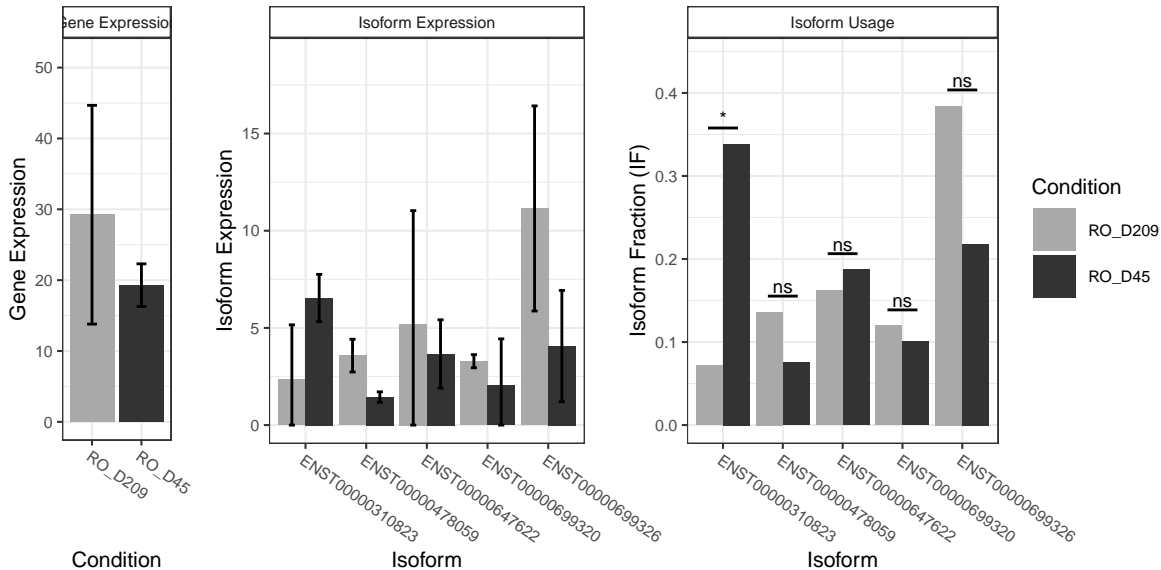
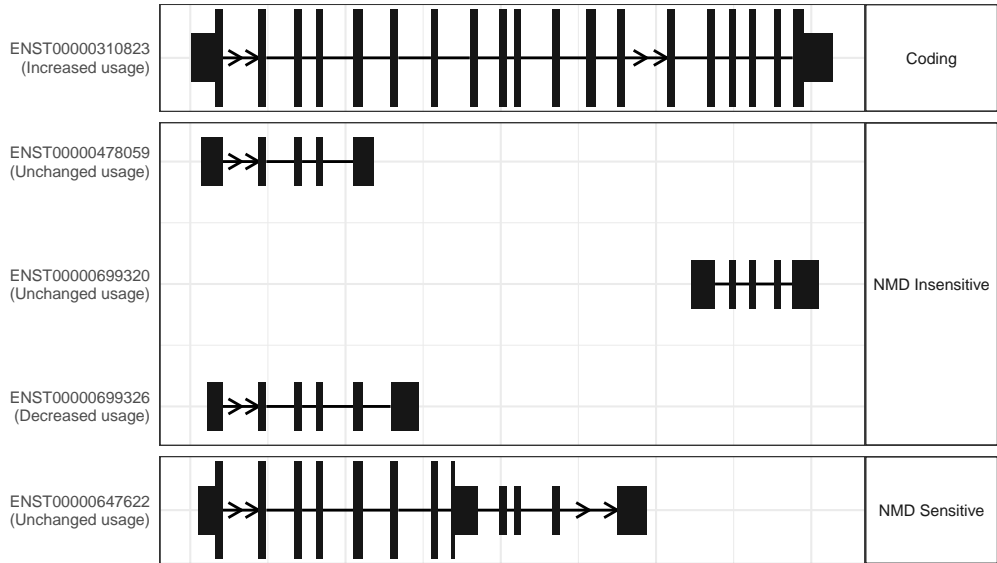
The isoform switch in B9D1 (RO_D209 vs RO_D45)



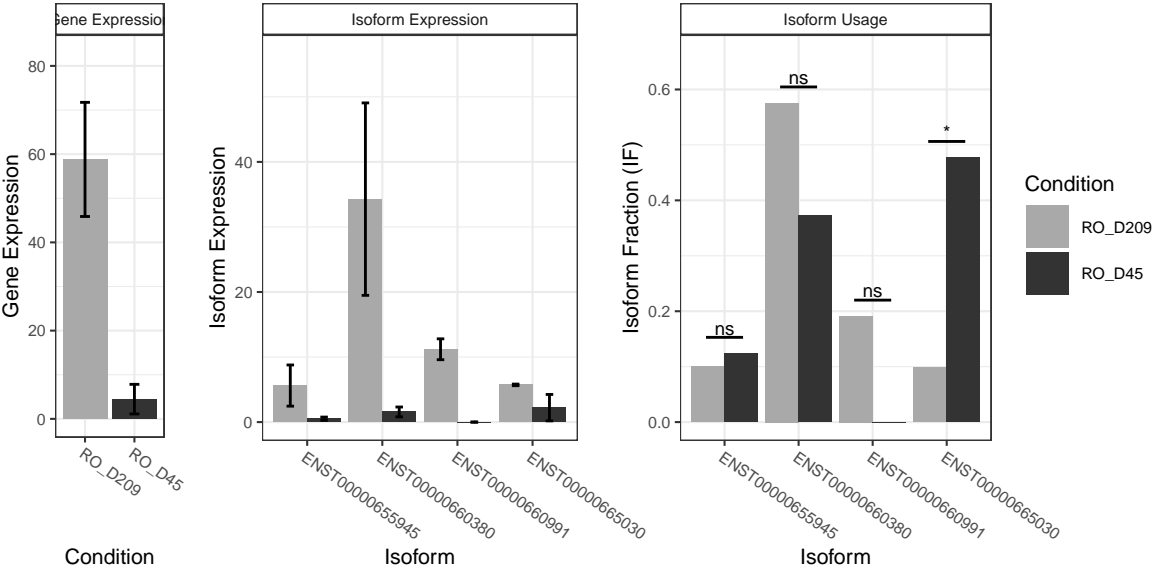
The isoform switch in MED18 (RO_D209 vs RO_D45)



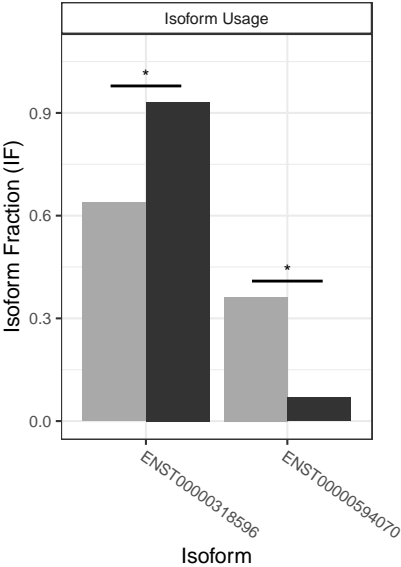
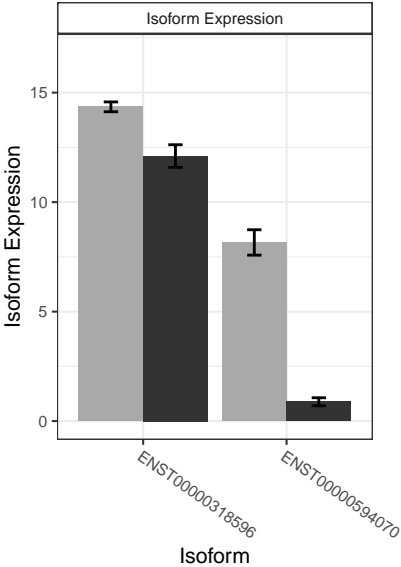
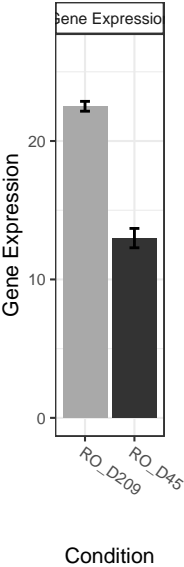
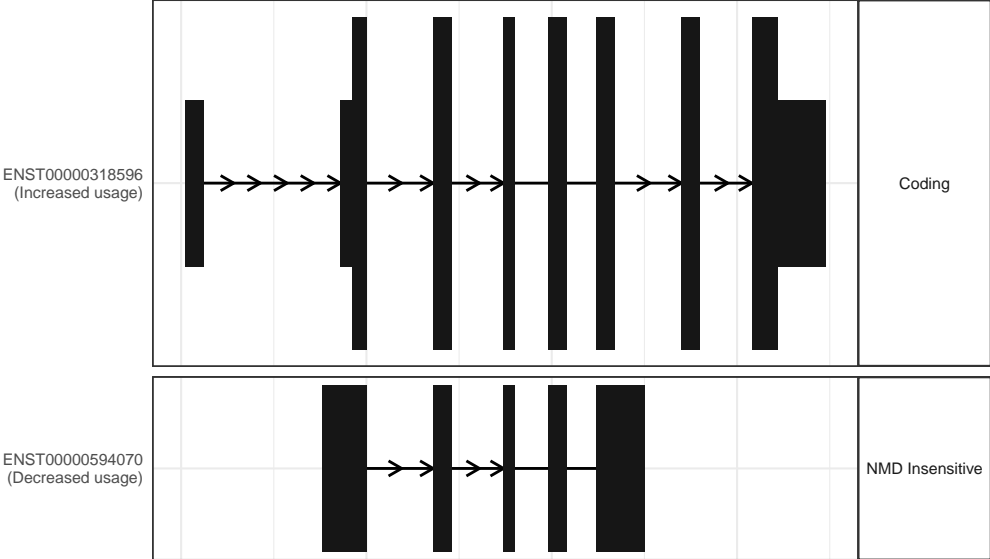
The isoform switch in ADAM17 (RO_D209 vs RO_D45)



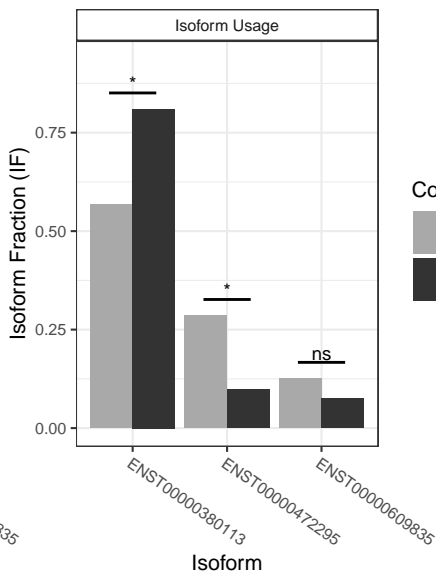
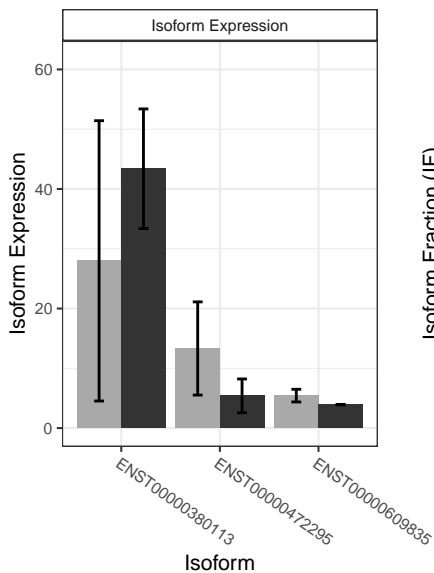
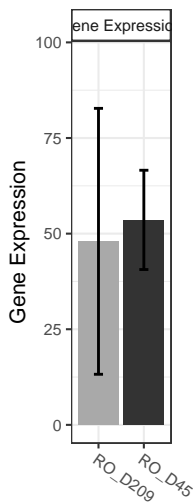
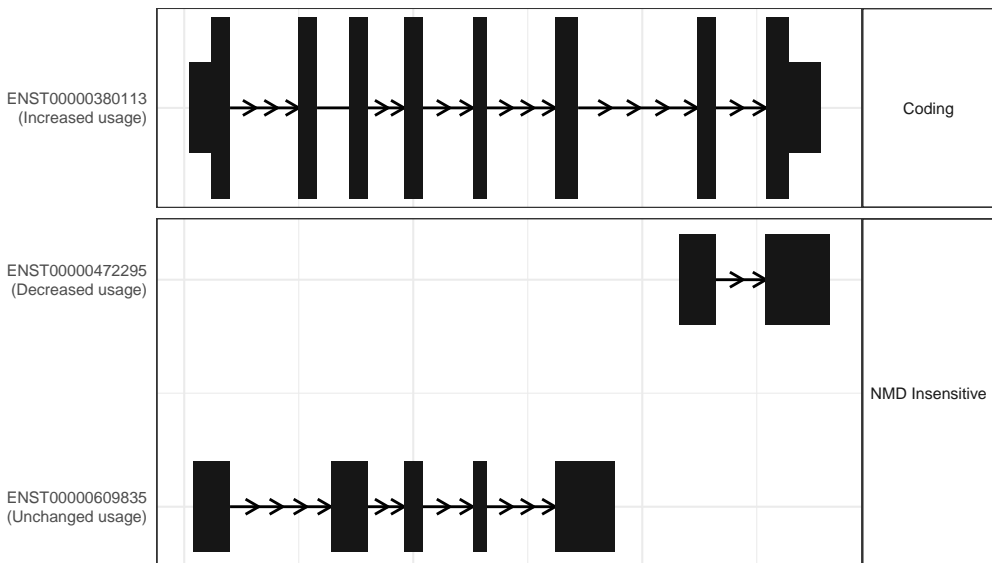
The isoform switch in PDC-AS1 (RO_D209 vs RO_D45)



The isoform switch in SLC25A42 (RO_D209 vs RO_D45)



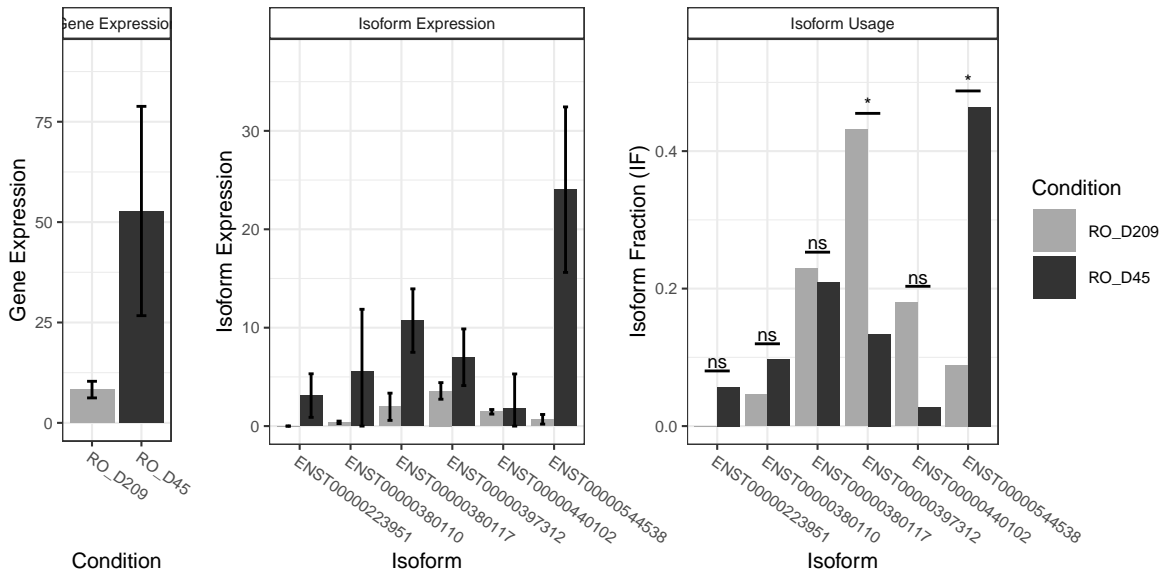
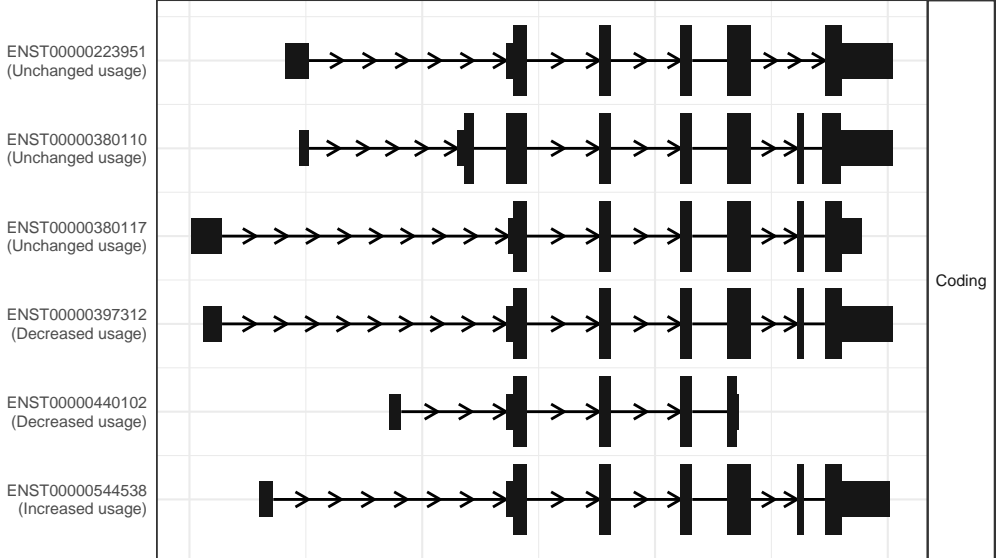
The isoform switch in ITPA (RO_D209 vs RO_D45)



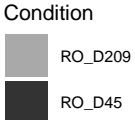
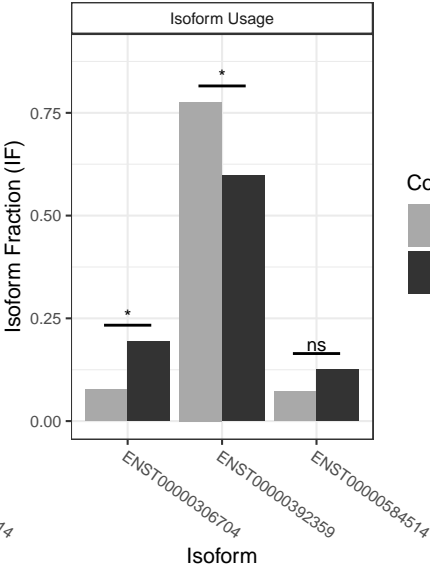
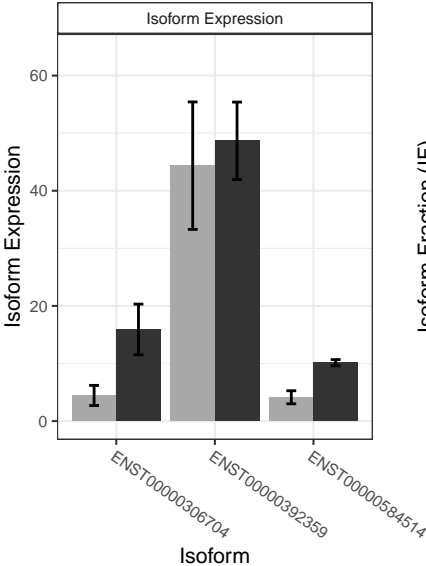
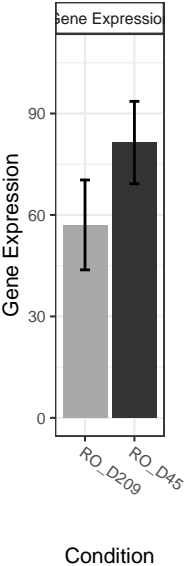
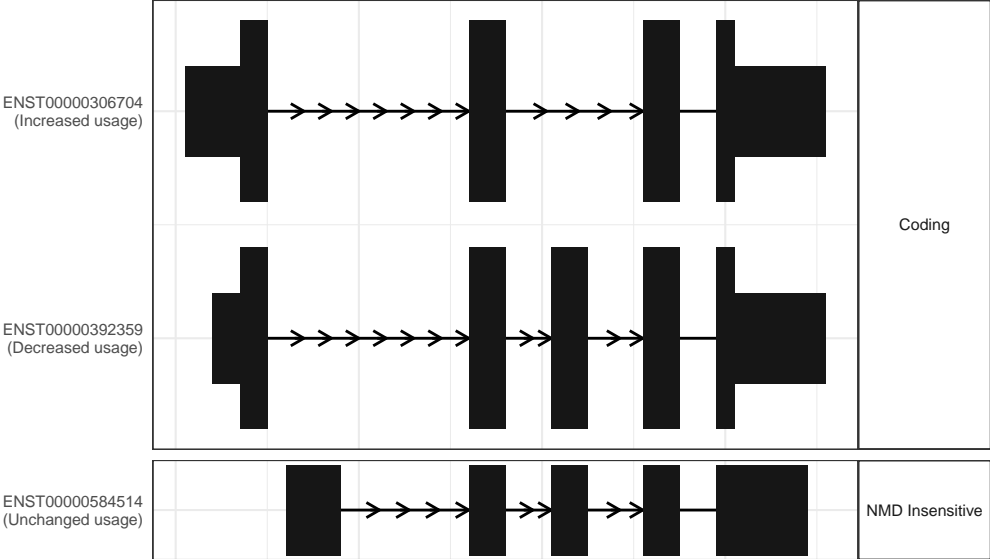
Condition



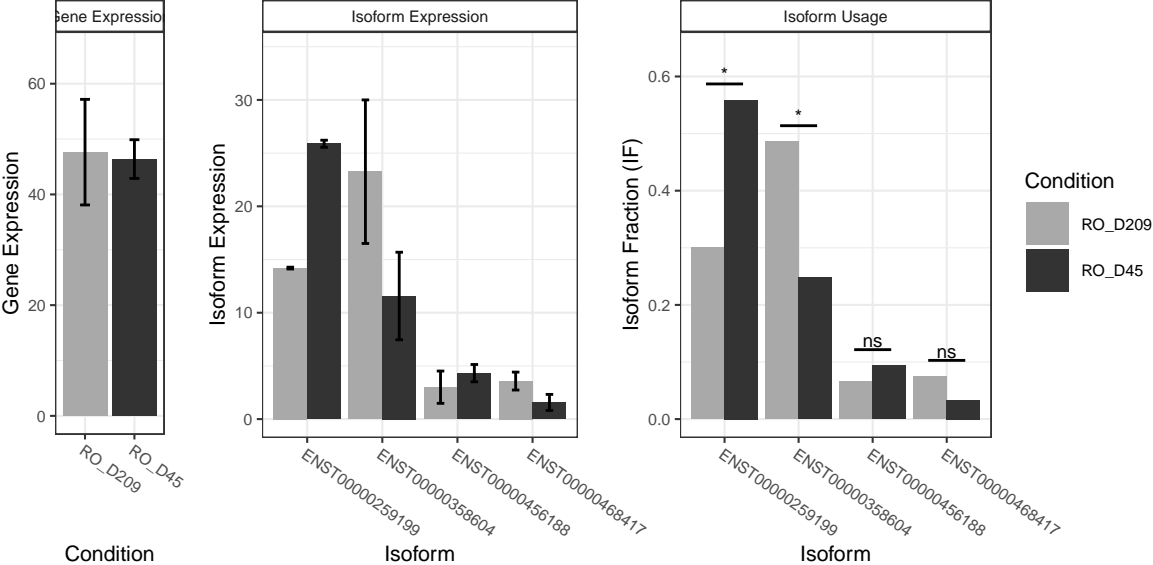
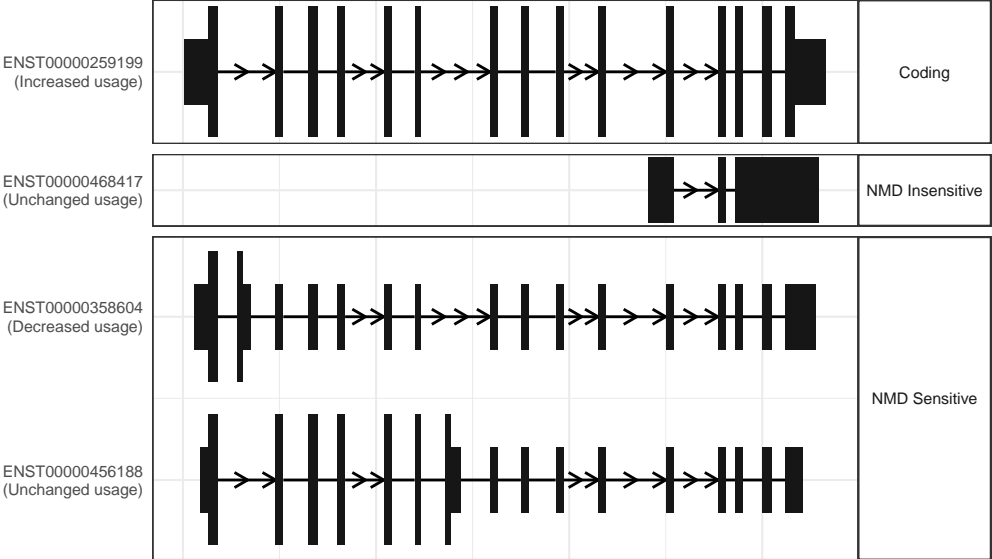
The isoform switch in ELAVL2 (RO_D209 vs RO_D45)



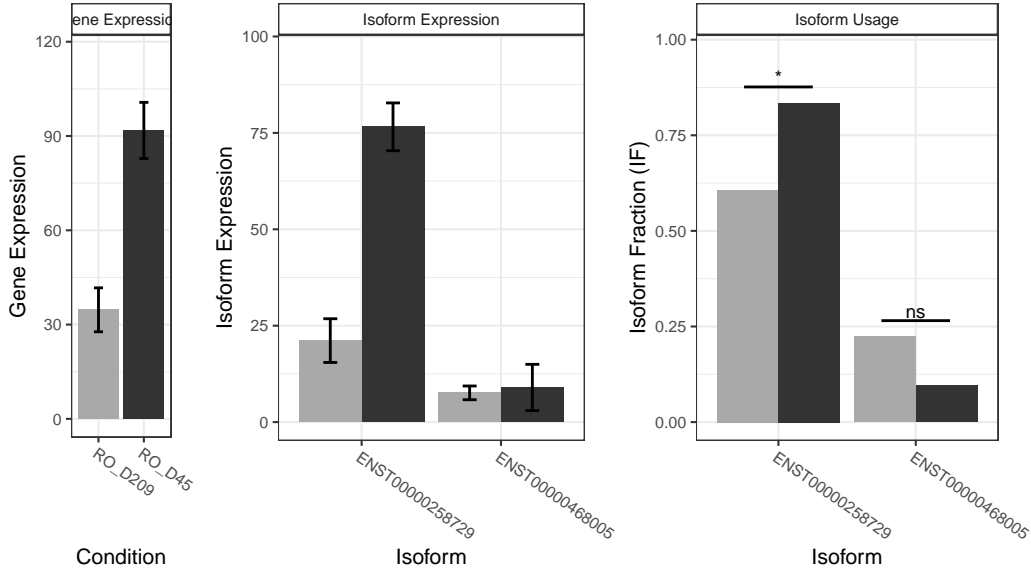
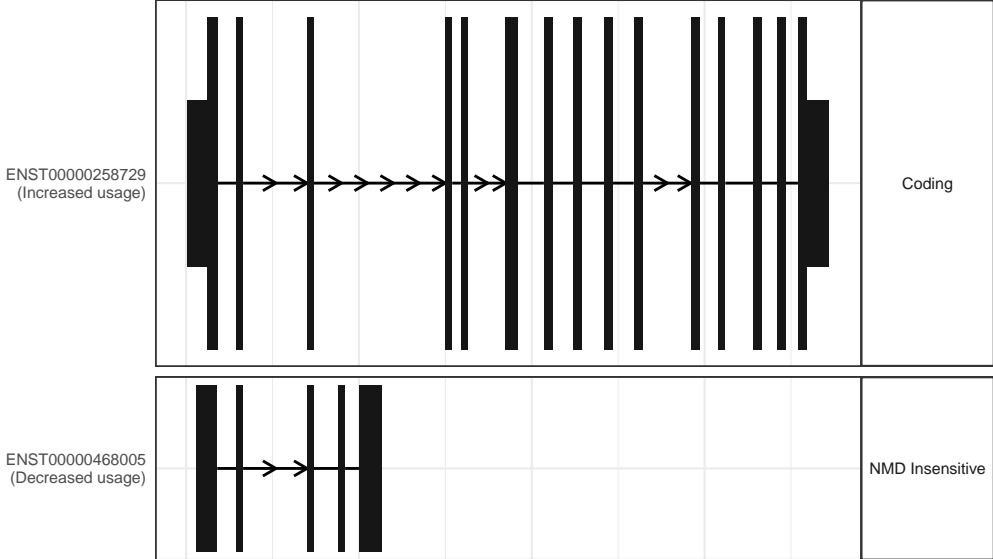
The isoform switch in CENPX (RO_D209 vs RO_D45)



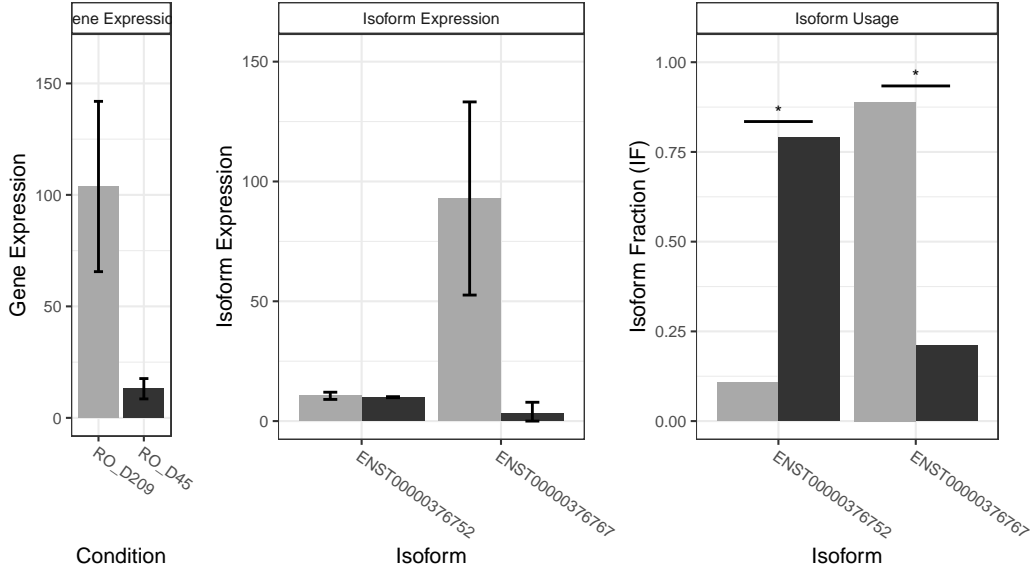
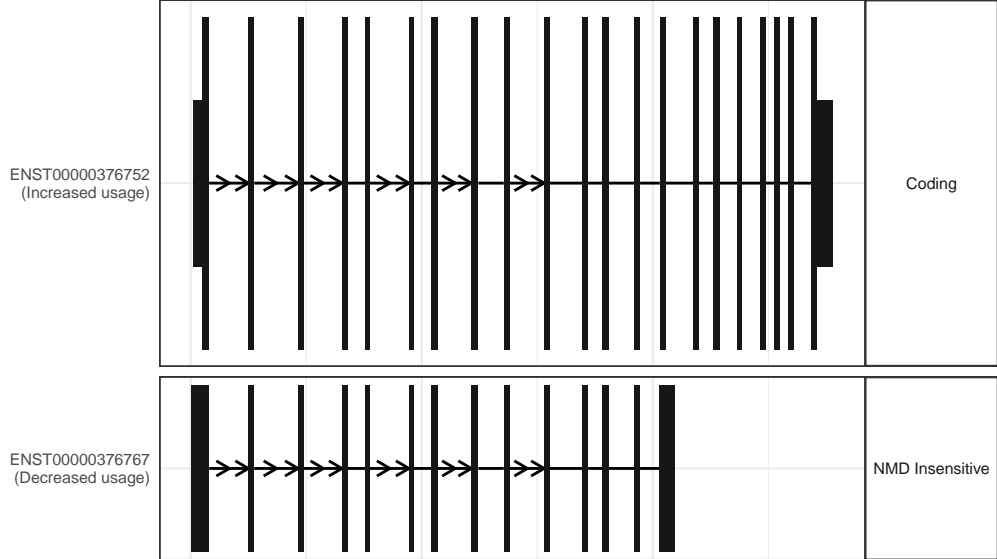
The isoform switch in ZNG1B (RO_D209 vs RO_D45)



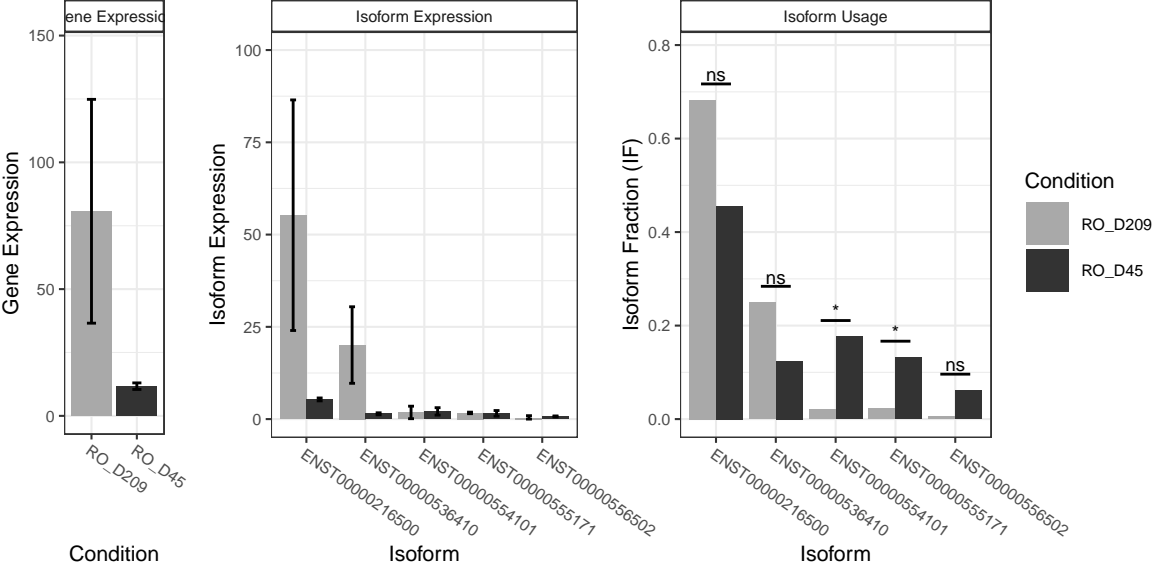
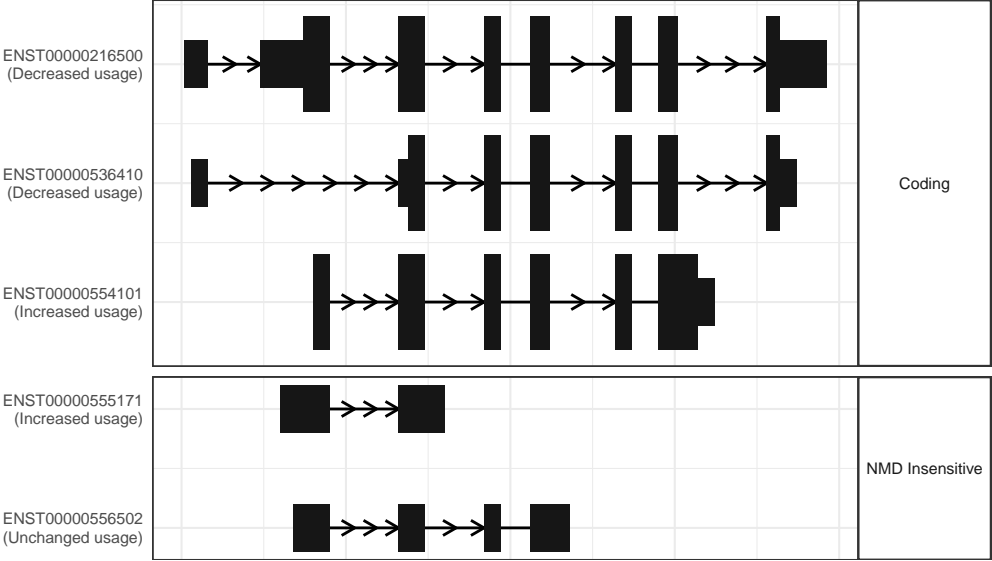
The isoform switch in IGF2BP3 (RO_D209 vs RO_D45)



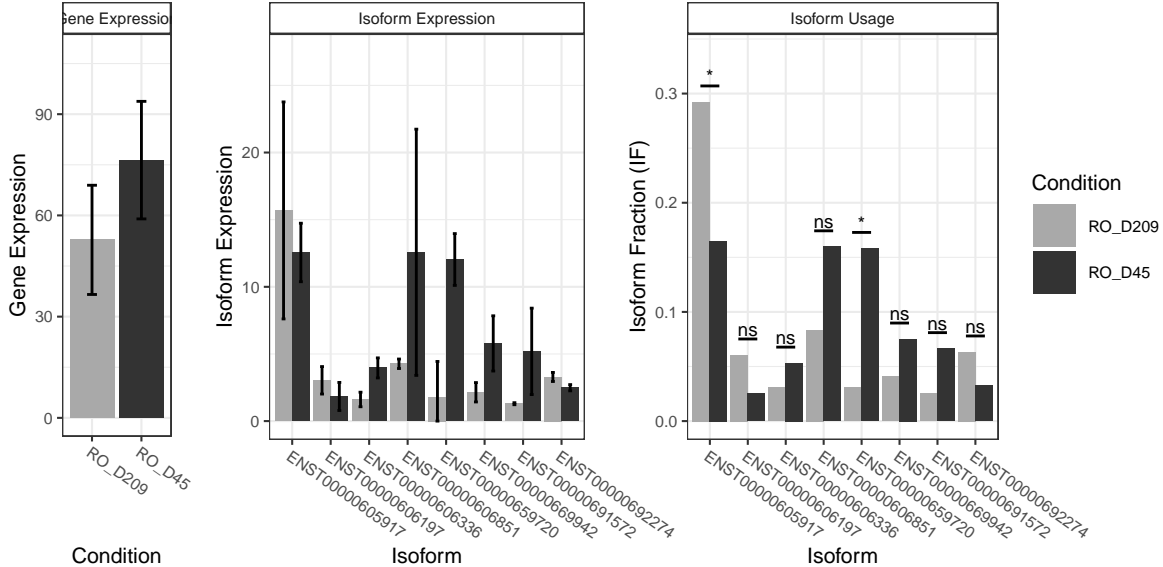
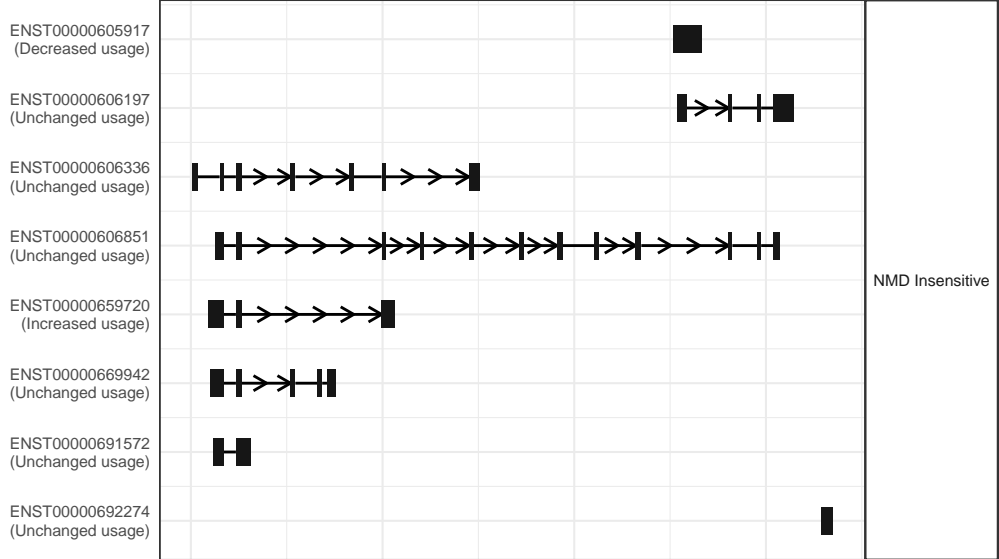
The isoform switch in PCSK5 (RO_D209 vs RO_D45)



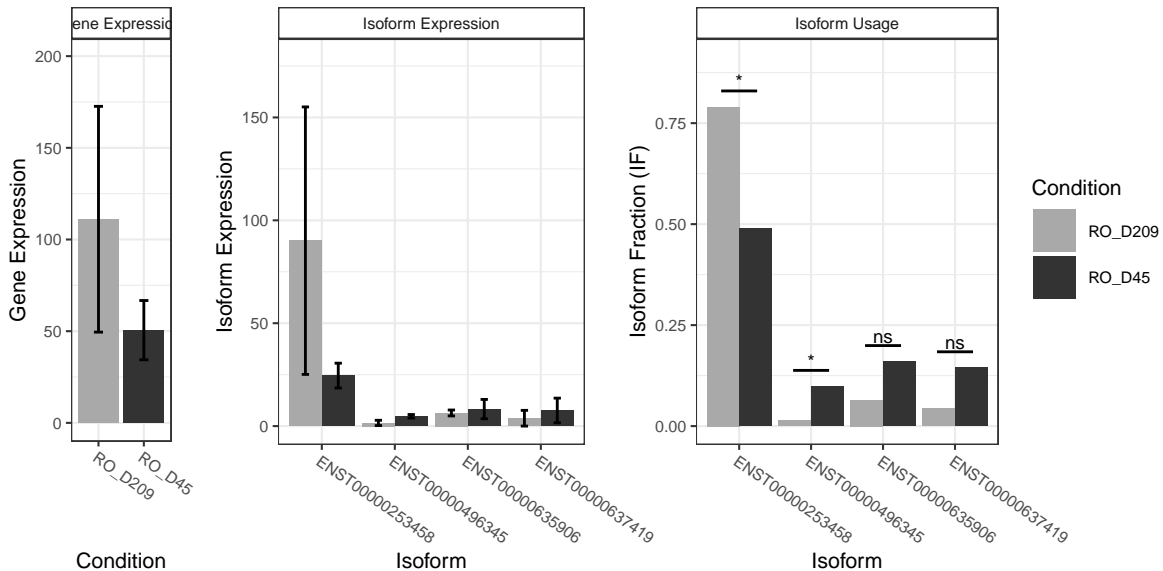
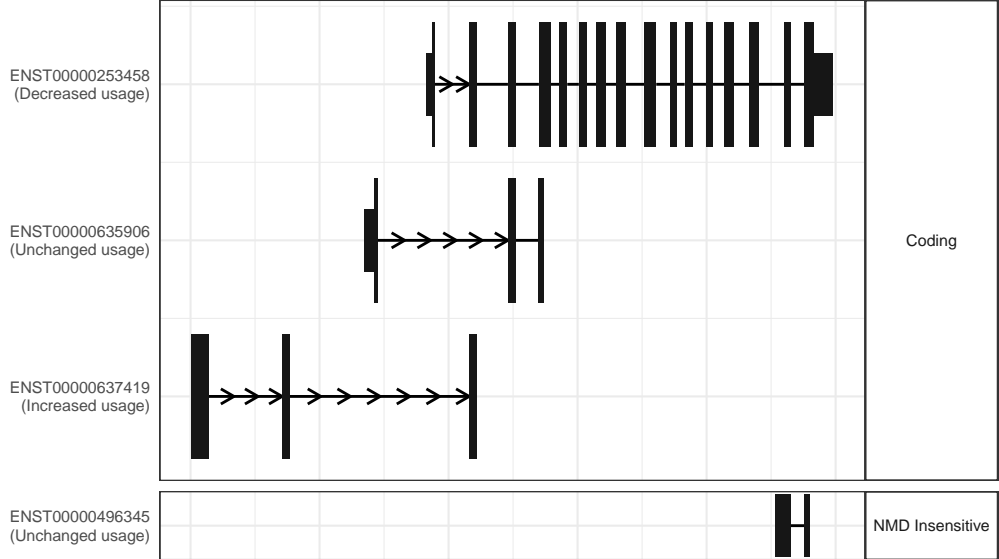
The isoform switch in DHR57 (RO_D209 vs RO_D45)



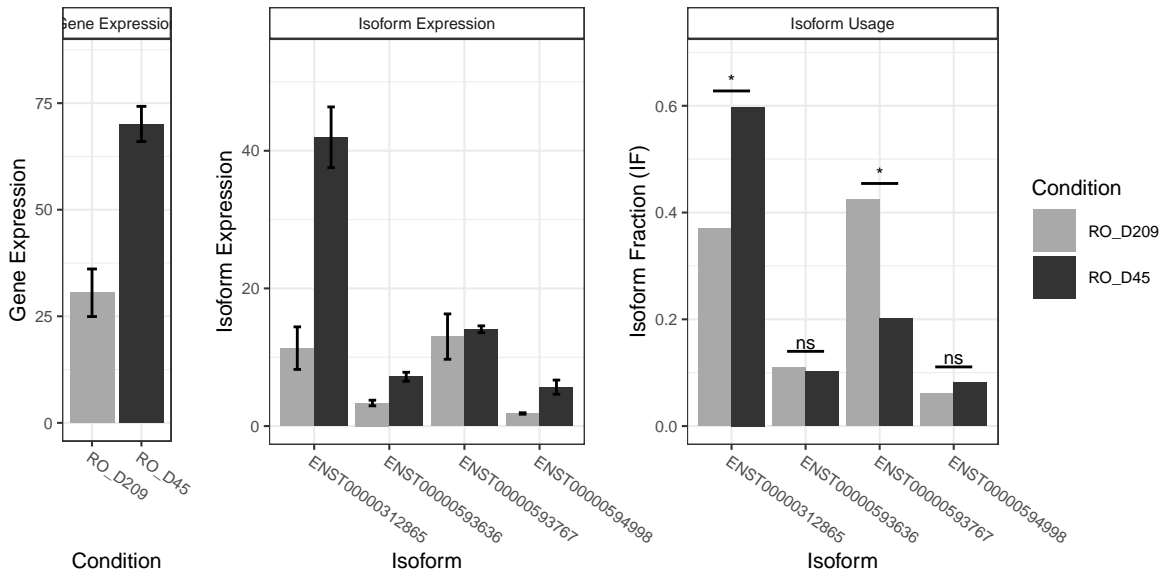
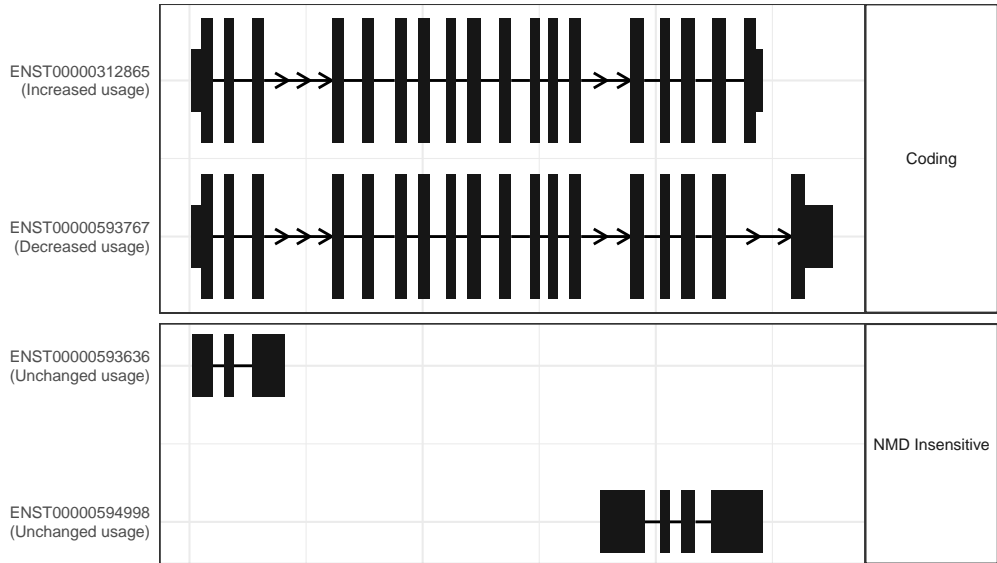
The isoform switch in CASC15 (RO_D209 vs RO_D45)



The isoform switch in GSE1 (RO_D209 vs RO_D45)



The isoform switch in MED25 (RO_D209 vs RO_D45)



The isoform switch in ZNF785 (RO_D209 vs RO_D45)

